

### 崩壊熱を考慮した感度解析について

今回の停止時PRAでは、診断失敗（余熱除去系を手動起動する手順へのエントリ失敗）の余裕時間として1次冷却材の保有水量が最も少なく、かつ崩壊熱量が大きいPOS 5の時間余裕10分を用い、保守的にすべてのPOSに対して一律同じ値を設定したが、実際はPOSごとに崩壊熱及び1次系冷却材インベントリが異なり、RHR機能喪失までの時間余裕が異なることから、これらの影響を感度解析にて確認した。

#### 1. 解析条件

下表に示す崩壊熱及び1次系冷却材インベントリデータを基に、1次系冷却材が沸騰するまでの時間余裕を算出した。

第1表 解析条件

	POS 4	POS 9	POS10	POS12
1次系冷却材保有水量(m <sup>3</sup> )	約286	約105	約286	約286
崩壊熱※ (kcal/hr)	1.80E+07	8.20E+06	7.73E+06	7.37E+06
余裕時間／沸騰時間 (hr)	1.5／2.1	0.4／0.5	1.5／8.9	1.5／9.4

※：重大事故に至るおそれがある事故及び重大事故に対する対策の有効性評価で使用した崩壊熱テーブルに基づく評価値。POS開始時点の崩壊熱とする。

得られた時間余裕から、THERPの信頼性曲線を使用してPOSごとに診断失敗確率を設定した。

POS 5（前半ミッドループ運転時）の診断失敗確率を適用しているPOS 4, 9, 10, 12に対して、崩壊熱及び1次系冷却材インベントリを考慮した診断失敗確率をそれぞれ設定する。

第2表 各POSにおける診断失敗確率

POS	時間余裕 (min)	診断失敗確率
4	90	3.0E-06
5	10	3.0E-02
9	20	3.0E-03
10	90	3.0E-06
12	90	3.0E-06

## 2. 解析結果

解析結果を第3表に示す。起因事象の発生に診断失敗確率を考慮している余熱除去機能喪失及び緩和策で診断失敗確率を考慮している外部電源喪失に関する炉心損傷頻度が低下し、全炉心損傷頻度は約5%低下した。しかし、原子炉冷却材圧力バウンダリ機能喪失の寄与率が大半を占めること、POSごとの炉心損傷頻度がPOSの継続時間に依存するという傾向に対する影響はないことが確認できた。

第3表 起因事象別炉心損傷頻度（停止時PRAの崩壊熱感度解析結果）

プラント状態	期間 (h)	原子炉冷却材 機能喪失	水位維持 失敗	オーバーハー ドレン	余熱除去 機能喪失	外部電源喪失	原子炉補機冷却 機能喪失	反応度の 観扱い	合計 (/炉年)
POS 4 余熱除去系による冷却状態① (1次冷却系は満水状態)	66.0	5. 4E-05	—	—	7. 3E-07 (3. 8E-06)	1. 5E-06 (2. 6E-06)	1. 5E-06	—	5. 8E-05 (6. 2E-05)
POS 5 余熱除去系による冷却状態② (ミッドループ運転状態)	121. 1	9. 9E-05	4. 1E-06	4. 1E-06	6. 9E-06 (7. 1E-06)	4. 8E-06 (4. 8E-06)	2. 8E-06	—	1. 2E-04 (1. 2E-04)
POS 9 余熱除去系による冷却状態③ (ミッドループ運転状態)	172. 8	1. 4E-04	4. 1E-06	4. 1E-06	2. 7E-06 (1. 0E-05)	4. 3E-06 (6. 9E-06)	4. 0E-06	—	1. 6E-04 (1. 7E-04)
POS10 余熱除去系による冷却状態④ (1次冷却系は満水状態)	177. 2	1. 5E-04	—	—	1. 9E-06 (1. 0E-05)	4. 1E-06 (7. 1E-06)	4. 1E-06	—	1. 6E-04 (1. 7E-04)
POS12 余熱除去系による冷却状態⑤ (1次冷却系は満水状態)	85. 3	7. 0E-05	—	—	9. 2E-07 (5. 0E-06)	2. 0E-06 (3. 4E-06)	2. 0E-06	—	7. 5E-05 (8. 0E-05)
POS14 (非常用炉心冷却設備作動信号 ロック解除以降)	37. 1	—	—	—	—	—	—	3. 1E-08	3. 1E-08
合計（/炉年）	—	5. 1E-04	8. 2E-06	8. 2E-06	1. 3E-05 (3. 6E-05)	1. 7E-05 (2. 5E-05)	1. 4E-05	3. 1E-08	5. 7E-04 (6. 0E-04)
比率（感度解析／ベースケース）	—	1. 0	1. 0	0. 4	0. 7	1. 0	1. 0	0. 9	

( ) はベースケースの炉心損傷頻度（変更箇所のみ記載）。ベースケースは余裕時間10分とした評価結果。

泊発電所 3号機  
内部事象停止時レベル1 PRA イベントツリー

原子炉冷却材圧力バウンダリ機能喪失	事故シーケンス
	燃料損傷（緩和手段なし）

第1図 原子炉冷却材圧力バウンダリ機能喪失イベントツリー

水位維持失敗	事故シーケンス
	燃料損傷（緩和手段なし）

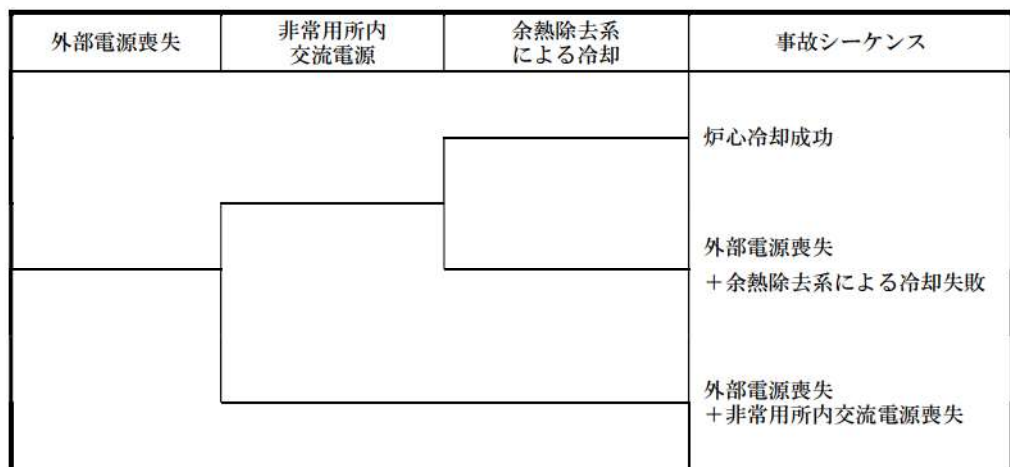
第2図 水位維持失敗イベントツリー

オーバードレン	事故シーケンス
	燃料損傷（緩和手段なし）

第3図 オーバードレンイベントツリー

余熱除去機能喪失	事故シーケンス
	燃料損傷（緩和手段なし）

第4図 余熱除去機能喪失イベントツリー



第5図 外部電源喪失イベントツリー

原子炉補機冷却機能喪失	事故シーケンス
	燃料損傷（緩和手段なし）

第6図 原子炉補機冷却機能喪失イベントツリー

反応度の誤投入	事故シーケンス
	燃料損傷（緩和手段なし）

第7図 反応度の誤投入イベントツリー

### 人的過誤に係わるストレスファクタの考え方について

停止時 PRA における人的過誤の評価結果にストレスファクタを追記したものを第1表から第3表に示す。

停止時 PRA におけるストレスファクタについては、出力運転時と同様の考え方に基づき以下のとおり設定している。

#### 1. ストレスレベルの分類

ヒューマンエラーハンドブック (NUREG/CR-1278) の THERP (Technique for Human Error Rate Prediction) では、作業負荷等に応じて、4つのストレスレベルを分類し、それらの対応した補正係数（ストレスファクタ）を評価した。その詳細については、第3表に示す。

作業負荷が低い場合は注意力が散漫になり、逆に作業負荷が高い場合には人間の通常業務遂行能力の限界に近づいている又は超えている為にタスク遂行の妨害となるため、その作業に対する増倍係数を設定している。

なお、本評価では、異常時の事象の認知や操作方法は訓練されているため、補正係数は「熟練者」の値を選択する。また、運転員の操作内容は手順書に従った段階的操作であることから、各ストレスレベルの「段階的操作」を選択する。

#### 2. ストレスファクタの設定の考え方

ストレスファクタについては、以下の考え方に基づき設定している。

##### ① 起因事象発生前の人的過誤

特に高いストレスには至らないと考えられるため、ストレスレベル「作業負荷が適度（段階的操作）」のストレスファクタ1を設定。

##### ② 起因事象発生に係わる人的過誤

通常の操作については、特に高いストレスには至らないと考えられるため、ストレスレベル「作業負荷が適度（段階的操作）」のストレスファクタ1を設定。

通常の操作に失敗して警報が発令した後の操作については、異常時の操作となり、操作員のストレスが高いと考えられるため、ストレスレベル「作業負荷がやや高い（段階的操作）」のストレスファクタ2を設定。

##### ③ 起因事象発生後の人的過誤

異常時の操作となり、操作員のストレスが高いと考えられるため、ストレスレベル「作業負荷がやや高い（段階的操作）」のストレスファクタ2を設定。

上記の考え方に基づき、以下のとおりストレスファクタを設定した。

##### (1) 起因事象発生前の人的過誤のストレスファクタ（第1表）

起因事象発生前の人的過誤に対して、事故が発生していないときの操作であり、

特に高いストレスは発生していないと考えられるため、本評価では、ストレスレベル「作業負荷が適度（段階的操作）」のストレスファクタ1を設定した。

（2）起因事象発生に係わる人的過誤のストレスファクタ（第2表）

起因事象発生に係わる人的過誤のうち、通常の操作については、事故が発生していないときの操作であり、特に高いストレスは発生していないと考えられるため、本評価では、ストレスレベル「作業負荷が適度（段階的操作）」のストレスファクタ1を設定した。

起因事象発生に係わる人的過誤のうち、通常の操作に失敗して警報が発令した後の操作については、異常時の操作となり、操作員のストレスが高いと考えられるため、本評価では、ストレスレベル「作業負荷がやや高い（段階的操作）」のストレスファクタ2を設定した。

（3）起因事象発生後の人過誤のストレスファクタ（第3表）

起因事象発生後の操作失敗に対しては、異常時の操作であり、操作員のストレスが高いと考えられるため、本評価では、基本的にストレスレベル「作業負荷がやや高い（段階的操作）」のストレスファクタ2を設定した。

なお、起因事象発生後の診断過誤に対してはストレスファクタは設定していない（起因事象発生後の診断過誤の過誤確率及びEFは、NUREG/CR-1278に記載されている固定値を設定する手法を採用したため）。

第1表 起因事象発生前の人的過誤のストレスファクタ

起因事象発生前の人的過誤	ストレス ファクタ	過誤確率 (平均値)	EF	備考
弁／ダッシュパネル操作忘れ	1	1.0E-2	30	事故が発生していないときの操作であり、特に高いストレスには至らないため、ストレスファクタ1を設定

第2表 起因事象発生に係わる人的過誤のストレスファクタ

起因事象発生後の人的過誤	ストレス ファクタ	過誤確率 (平均値)	EF	備考
水位計の読み取り失敗	1	1.3E-03	4	ミッドループ運転の目標水位に到達した際に水抜きを停止する通常の操作であり、特に高いストレスには至らないため、ストレスファクタ1を設定
ドレン停止操作失敗	1	7.9E-04	7	
警報発令後の事象認知失敗	2	8.3E-04	4	ミッドループ運転の目標水位に到達した際に水抜きを停止する通常の操作に失敗して警報が発令した後の操作であり、異常時の操作となり、操作員のストレスが高いと考えられるため、ストレスファクタ2を設定
警報発令後のドレン停止操作失敗	2	8.6E-04	8	
ほう酸濃度読取失敗	1	6.4E-05	6	プラント起動時に目標レベルまでほう酸濃度を希釈する通常の操作であり、特に高いストレスには至らないため、ストレスファクタ1を設定
希釀量の算出失敗	1	1.6E-04	8	
希釀量の設定失敗	1	1.7E-05	18	
状態監視失敗	1	8.0E-05	5	
希釀停止失敗	1	5.0E-05	9	

第3表 起因事象発生後の人的過誤のストレスファクタ

起因事象発生後の人的過誤	ストレス ファクタ	過誤確率 (平均値)	EF	備考
起因事象発生の診断失敗	—	3. 0E-02	10	ストレスファクタは設定していない。 (起因事象発生後の診断過誤の過誤確率及びEFは、 NUREG/CR-1278に記載されている固定値を設定する手法 を採用)
弁／補機の操作失敗	2	1. 0E-03	30	異常時の操作であり、操作員のストレスが高いと考え られるため、ストレスファクタ2を設定

第4表 ストレスと熟練度による補正係数\*

項目	ストレスレベル	HEPs の増倍係数	
		熟練者	熟練度の低い者
1.	作業負荷が大変低い 作業負荷が適度	×2 ×1	×2 ×1
2.	(段階的操作)		
3.	作業負荷が適度 (動的操縦)	×1	×2
4.	作業負荷がやや高い (段階的操作)	×2	×4
5.	作業負荷がやや高い (動的操縦)	×5	×10
6.	作業負荷が極度に高い (段階的操作)	×5	×10
7.	作業負荷が極度に高い (動的操縦又は診断操作)	0.25 (EF=5) 0.50 (EF=5)	0.50 (EF=5)

極度にストレス・レベルが高い場合は、  
増倍係数ではなく、複数のクルーを対象  
とした固定値を用いる。

\*原子力発電所の停止状態を対象とした確率論的安全評価に関する  
実施基準（レベル1 PSA編）：2010 表I.4 より

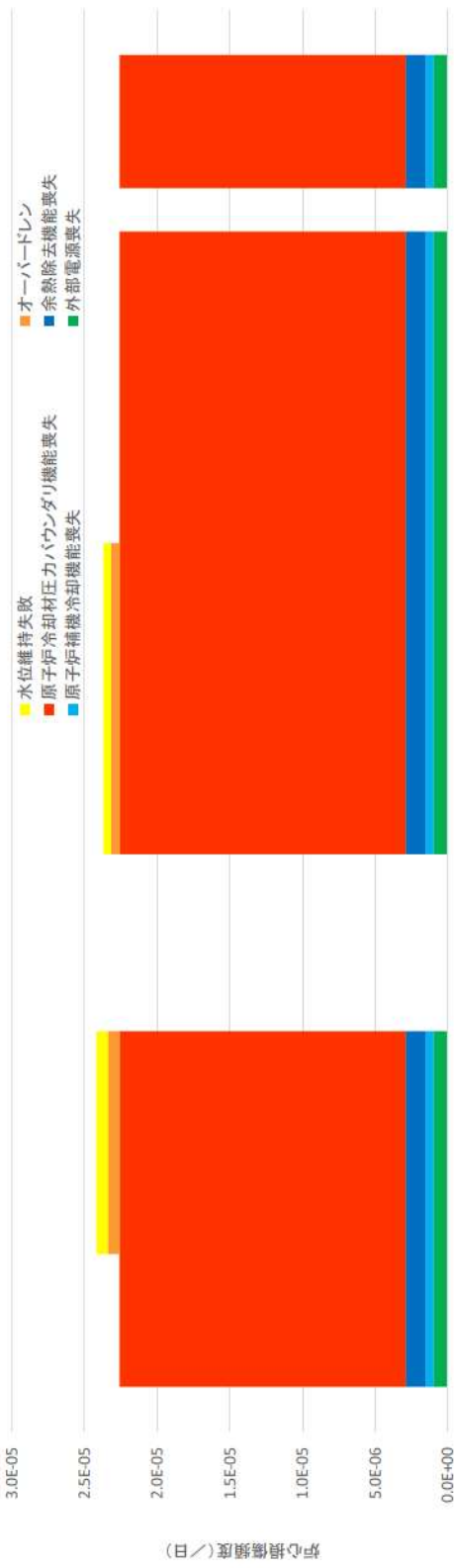
POS 別の炉心損傷頻度（日当たり）について

本評価における、POS 別の日当たりの炉心損傷頻度を図に示す。

POS 別の日当たりの炉心損傷頻度では、オーバードレンと水位維持失敗を評価対象としている POS5, POS9 の炉心損傷頻度が、オーバードレンと水位維持失敗を評価対象としていない POS4, POS10, POS12 に比べて高くなっている。

また、起因事象別の日当たり炉心損傷頻度の内訳においては、起因事象発生後の緩和策に期待していない、原子炉冷却材圧力バウンダリ機能喪失の寄与が大きくなっている。

なお、高温停止中 (POS3, POS11, POS13) と燃料取替期間中 (POS6, POS7, POS8) は評価対象外のため図示していない。



POS別	日当たりの損傷頻度	評価対象外												評価対象外													
		一次冷却系漏水						二次冷却系漏水						余熱除去運転						漏洩試験							
崩壊熱除去																											
RHR-B																											
ディーゼル発電機	A																										
サボート系	B																										
原子炉補機	C																										
冷却海水ポンプ	D																										
原子炉補機冷却水ポンプ	B																										
	C																										
	D																										

図 POS別の日当たりの炉心損傷頻度

### システム信頼性解析の結果について

泊3号炉停止時PRAにおけるシステム信頼性評価結果について、以下に、①「外部電源喪失以外」及び②「外部電源喪失」の起因事象における、代表的なFTの非信頼度の差の要因を述べる。

#### 1. 外部電源喪失時に非信頼度が増加しているシステム

##### (1) 余熱除去系による冷却

①非信頼度： $3.6 \times 10^{-2}$

システムの状態：待機中

電源として外部電源及びディーゼル発電機が使用可能

②非信頼度： $7.1 \times 10^{-2}$

システムの状態：待機中

電源としてディーゼル発電機のみ使用可能

##### 【差とその要因】

余熱除去系の運転／待機状態及び電源状態の違いにより非信頼度に差が生じている。A系及びB系による冷却に期待可能な②はB系のみによる冷却に期待可能な①に比べて非信頼度が減少する一方、ディーゼル発電機のみが使用可能である②は外部電源及びディーゼル発電機が使用可能である①に比べて非信頼度が増加する。結果として全体としては非信頼度が増加する。

なお、①は運転中のA系が故障し待機中のB系の冷却にも失敗することで発生する起因事象「余熱除去機能喪失」の評価において考慮しているシステムである。

### 3.2 外部事象 PRA

#### 3.2.1 地震 PRA

外部事象地震レベル1PRA（以下、「地震 PRA」という。）は、一般社団法人日本原子力学会発行の「原子力発電所の地震を起因とした確率論的安全評価実施基準：2007」（以下、「地震 PSA 学会標準」という。）を参考に評価を実施し、各実施項目については「PRA の説明における参考事項」（原子力規制庁 平成 25 年 9 月）の記載事項への適合性を確認した。評価フローを第 3.2.1-1 図に示す。なお、今回の地震 PRA では、地震単独の影響のみを評価しており、地震に伴う津波（重畠事象）等は対象としていない。（補足 3.2.1-1）

##### 3.2.1.a 対象プラントと事故シナリオ

###### ① 対象とするプラントの説明

###### (1) サイト・プラント関連情報の収集・分析

内部事象出力時レベル1PRA（以下、「内部事象 PRA」という。）で収集した設計、運転・保守管理の情報に加え、地震 PRA を実施するために、プラントの耐震設計やプラント配置の特徴等の地震固有に考慮すべき関連情報を収集・分析した。収集した情報を第 3.2.1.a-1 表に示す。

###### (2) 地震 PRA において考慮する緩和機能(系統)の概要

地震 PRA において考慮する緩和機能(系統)は「3.1.1 出力運転時 PRA」での記載と同様である。

###### (3) 地震に対する特徴

内部事象 PRA に対する地震 PRA の特徴は以下の通りである。（補足 3.2.1.a-7）

- ・タービンバイパス系等の耐震重要度 B 又は C クラスの設備は基本的には期待しない。ただし、以下に示す安全設備の使命時間内の機能維持に必要となる設備は評価対象とする。
  - ・安全補機に関わる空調系
  - ・空調用冷水系
- ・地震時には、機器及び電源の復旧は不可能とする。
- ・複数基同時被災の影響を考慮し、隣接号機からの電源融通（高圧電源融通）に期待しない。
- ・事故シーケンス評価における起因事象に関しては、複数の建屋・構築物、安全機能や緩和機能を有する機器が複数同時損傷することによる様々な起因事象を合理的に処理するために、成功基準の観点からグループ化を行った上で、プラントへの影響が最も厳しい起因事象順に代表させる形で階層イベントツリーを作成している。

#### (4) プラントウォークダウン

机上検討では確認が難しいプラント情報を取得すること及び検討したシナリオの妥当性を確認することを目的として、地震 PRA の観点から重要な機器を対象にプラントウォークダウンを実施し、主に以下の観点について確認した。評価対象機器選定フローを第 3.2.1.a-1 図に、評価結果の例を第 3.2.1.a-2 図に示す。(補足 3.2.1.a-1, 補足 3.2.1.a-2, 補足 3.2.1.a-3)

- ・耐震安全性の確認
- ・二次的影響の確認
- ・必要に応じた地震後のアクセス性の確認

※点検項目については、地震 PSA 学会標準を参考に更に細分化して設定している。

プラントウォークダウンの結果、調査対象に対する耐震安全性や二次的影響等に関する問題はなく、フラジリティ評価及びシステム評価において新たに考慮する事項はないことを確認した。

#### (5) 今回実施した地震 PRA の前提条件等について

今回実施した地震 PRA について、主な留意点を以下に示す。

##### a. 評価の前提条件について

- ・評価地震動範囲は 0.2G～1.5G（解放基盤表面上の加速度）とする。
- ・津波及び地震随伴の火災、溢水が建屋、機器及び緩和機能に及ぼす影響は考慮せず、地震の影響のみ評価する。

##### b. 地震の影響について

- ・冗長機器及び設備は、地震の影響により同時に損傷する（完全相関）と仮定する。
- ・余震による炉心損傷への影響は考慮しない。
- ・経年劣化による炉心損傷への影響は考慮しない。

#### ②地震により炉心損傷に至る事故シナリオと分析

収集したプラント関連情報及びプラントウォークダウンによって得られた情報を用いて、事故シナリオを広範に分析し、事故シナリオを設定した。事故シナリオの選定にあたっては、地震起因による安全機能を有する建屋・構築物、システム、機器（以下、「SSC」という。）の損傷が直接炉心損傷事故に繋がる事故シナリオだけでなく、安全機能への間接的影響、余震による地震の安全機能への影響、経年変化を考慮した場合の影響を考慮した。

なお、地震 PRA の対象範囲は、常用系で耐震クラスの低い主給水系の機器損傷による「主給水流量喪失事象の発生以上の規模」（地震加速度 0.2G 以上）とした。

抽出した事故シナリオについて、炉心損傷に繋がる可能性を定性的又は定量的に判断してスクリーニングを行い、事故シナリオの明確化を行った。事故シナリオに

に対するスクリーニング結果を第 3.2.1.a-2 表に示す。事故シナリオのスクリーニングについては、これまでに決定論的に評価されている情報又は運用面での対策・対応に関する情報に基づき判断している。また、明確になった事故シナリオにより誘発される起因事象の分析を第 3.2.1.a-3 図に示すフローを用いて実施し、以下の起因事象を選定した。(補足 3.2.1.a-4, 補足 3.2.1.a-5, 補足 3.2.1.a-6)

- ・ 格納容器バイパス
- ・ 大破断 LOCA を上回る規模の LOCA (Excess LOCA)
- ・ 原子炉建屋損傷
- ・ 原子炉格納容器損傷
- ・ 原子炉補助建屋損傷
- ・ 電動弁損傷による原子炉補機冷却機能喪失
- ・ 1 次系流路閉塞による 2 次系除熱機能喪失
- ・ 複数の信号系損傷
- ・ 燃料集合体及び制御棒クラスタ損傷による原子炉停止機能喪失
- ・ 大破断 LOCA
- ・ 中破断 LOCA
- ・ 小破断 LOCA
- ・ 2 次冷却系の破断
- ・ 主給水流量喪失
- ・ 外部電源喪失
- ・ 原子炉補機冷却機能喪失

これらの起因事象と内部事象 PRA でグループ化した起因事象の関係を整理し、地震特有の起因事象を分類した。分類した結果を第 3.2.1.a-3 表に示す。

これらの結果に基づき、起因事象の要因となる機器及び起因事象が発生した場合の緩和設備に係る SSC を抽出し、地震 PRA で対象となる建屋・機器リストを作成した。第 3.2.1.a-4 表に評価対象とした建屋・機器の選定方法、第 3.2.1.a-5 表にリストを示す。

### 3.2.1.b 確率論的地震ハザード

令和 3 年 9 月 29 日の発電用原子炉設置変更許可申請書の一部補正時点での確率論的地震ハザードは、以下のとおり評価している。

#### ① 確率論的地震ハザード評価の方法

原子力発電所に対する地震を起因とした確率論的リスク評価に関する実施基準 (2015)<sup>\*1</sup> の方法に基づき評価を行う。

#### ② 確率論的地震ハザード評価に当たっての主要な仮定

##### (1) 震源モデルの設定

震源モデルとしては、以下に示す特定震源モデルと領域震源モデルを設定した。

###### a. 特定震源モデル

敷地から 100km 程度以内にある地質調査結果に基づく断層及び「[新編]日本の活断層」<sup>\*2</sup>に掲載されている確実度 I 及び II の活断層を特定震源としてモデル化した。敷地周辺の活断層分布及び主要活断層の震源モデルの諸元を第 3.2.1.b-1 図及び第 3.2.1.b-1 表に示す。

#### b. 領域震源モデル

領域震源モデルについては、萩原（1991）<sup>\*8</sup> 及び垣見ほか（2003）<sup>\*9</sup> の領域区分に基づき、サイトから半径 200km 以内の領域を対象とし、各領域の最大マグニチュードは領域内の過去の地震の最大値をもとに設定した。第 3.2.1.b-2 図に萩原（1991）及び垣見ほか（2003）による領域区分の図を示す。

### (2) 地震動伝播モデルの設定

地震動伝播モデルとしては、Noda et al. (2002)<sup>\*10</sup> による距離減衰式を用いた。また、ロジックツリーにおいて内陸補正の有無及び観測記録に基づいた補正の有無を考慮した。

### (3) ロジックツリーの作成

ロジックツリーの作成では、震源モデル及び地震動伝播モデルの設定において、選定した認識論的不確かさ要因から確率論的地震ハザード評価に大きな影響を及ぼす要因を選定した。検討用地震として選定した「尻別川断層」、「F<sub>s</sub>-1 0 断層～岩内堆東撓曲～岩内堆南方背斜」、「積丹半島北西沖の断層」、「F<sub>B</sub>-2 断層」については、詳細なロジックツリーに展開して評価した。作成したロジックツリーを第 3.2.1.b-3 図に示す。

## ③ 確率論的地震ハザード評価結果

### (1) 地震ハザード曲線

上記により評価した平均ハザード曲線を第 3.2.1.b-4 図に、震源ごとのハザード曲線を第 3.2.1.b-5 図に示す。また、フラクタル地震ハザード曲線を第 3.2.1.b-6 図に示す。

### (2) 一様ハザードスペクトル

基準地震動 S<sub>s</sub> の応答スペクトルと年超過確率ごとの一様ハザードスペクトルとの比較を第 3.2.1.b-7 図に示す。基準地震動 S<sub>s1</sub> の年超過確率は、水平・鉛直方向ともに、10<sup>-5</sup> 程度となっている。また、基準地震動 S<sub>s2-1</sub>～S<sub>s2-5</sub> の年超過確率は、基準地震動 S<sub>s1</sub> を超過する周期帯で 10<sup>-4</sup>～10<sup>-5</sup> 程度、基準地震動 S<sub>s3-1</sub>～S<sub>s3-5</sub> の年超過確率は、10<sup>-4</sup>～10<sup>-6</sup> 程度となっている。また、一様ハザードスペクトルの算出のもととなる周期ごとの平均ハザード曲線を第 3.2.1.b-8 図に示す。

### (3) フラジリティ評価用地震動

応答解析に基づく方法に用いるフラジリティ評価用地震動は第 3.2.1.b-9 図に示す一様ハザードスペクトルの形状に適合する模擬波とした。模擬波の経時特性は Noda et al. (2002) に基づき、地震規模  $M=8.2$ 、等価震源距離  $X_{eq}=107\text{km}$  として設定した。

#### (参考資料)

- \*1 日本原子力学会 (2015) : 日本原子力学会標準、原子力発電所に対する地震を起因とした確率論的リスク評価に関する実施基準: 2015、一般社団法人 日本原子力学会
- \*2 活断層研究会編 (1991) : [新編]日本の活断層 分布図と資料、東京大学出版会
- \*3 松田時彦 (1975) : 活断層から発生する地震の規模と周期について、地震 第 2 輯、第 28 卷、269-283
- \*4 武村雅之 (1998) : 日本列島における地殻内地震のスケーリング則—地震断層の影響および地震被害との関連—、地震、第 2 輯、第 51 卷、211-228
- \*5 入倉孝次郎・三宅弘恵 (2001) : シナリオ地震の強震動予測、地学雑誌、110、849-875
- \*6 武村雅之 (1990) : 日本列島およびその周辺地域におこる浅発地震のマグニチュードと地震モーメントの関係、地震、第 2 輯、第 43 卷、257-265
- \*7 大竹政和、平朝彦、太田陽子 (2002) : 日本海東縁部の活断層と地震テクトニクス、東京大学出版会
- \*8 萩原尊禮編 (1991) : 日本列島の地震 地震工学と地震地体構造、鹿島出版会
- \*9 垣見俊弘・松田時彦・相田勇・衣笠善博 (2003) : 日本列島と周辺海域の地震地体構造区分、地震、第 2 輯、第 55 卷
- \*10 S. Noda, K. Yashiro, K. Takahashi, M. Takemura, S. Ohno, M. Tohdo and T. Watanabe (2002) : RESPONSE SPECTRA FOR DESIGN PURPOSE OF STIFF STRUCTURES ON ROCK SITES, OECD Workshop on the Relations between Seismological Data and Seismic Engineering. Oct. 16-18, Istanbul, 399-408
- \*11 中田高・今泉俊文編 (2002) : 活断層詳細デジタルマップ、東京大学出版会
- \*12 地震調査委員会 (2013) : 「今後の地震動ハザード評価に関する検討～2013 年における検討結果～」、地震調査研究推進本部

追而【地震ハザード評価結果を反映】

#### 3.2.1.c 建屋・機器フラジリティ

##### 3.2.1.c-1 建屋フラジリティ

###### ① 評価対象と損傷モードの設定

###### (1) 評価対象物

建屋のフラジリティ評価の対象は、第3.2.1.a-5表の建屋・機器リストに記載されたものとし、原子炉建屋、原子炉補助建屋、ディーゼル発電機建屋、A1,A2-燃料油貯油槽タンク室及びB1,B2-燃料油貯油槽タンク室とした。各建屋の概要をそれぞれ第3.2.1.c-1-1図～第3.2.1.c-1-5図に示す。

## (2) 損傷モード及び部位の設定

建屋の要求機能喪失に繋がる支配的な構造的損傷モード及び部位として、建屋の崩壊シーケンスを踏まえ、層崩壊を伴う耐震壁のせん断破壊を選定した。

### ②フラジリティの評価方法の選択

フラジリティ評価方法として「現実的耐力と現実的応答による方法（応答解析に基づく方法）」を用いた。評価手法は地震PSA学会標準に準拠した手法とする。

（補足3.2.1.c-1、補足3.2.1.c-3）

### ③フラジリティ評価上の主要な仮定（不確実さの設定、応答係数等）

#### (1) 考慮する不確実さ要因

現実的耐力及び現実的応答の偶然的不確実さ（以下、「 $\beta_r$ 」という。）と認識論的不確実さ（以下、「 $\beta_u$ 」という。）については、地震PSA学会標準に基づき評価した。考慮する不確実さ要因の例を第3.2.1.c-1-1表に示す。

#### (2) 損傷評価の指標

損傷評価の指標については、耐震壁のせん断破壊の程度を表すことができる指標として、せん断ひずみを選定した。

#### (3) 地震動強さの指標

地震ハザード評価及び事故シーケンス評価と共に、建屋の損傷評価の指標との相関がある指標として、一般的に用いられる解放基盤表面の最大加速度（周期0.02秒時の加速度応答スペクトル値）を選定した。

### ④フラジリティ評価における耐力情報

現実的耐力である損傷限界時のせん断ひずみの平均値と変動係数は地震PSA学会標準に示された実験結果に基づく値を用いることとし、対数正規分布を仮定した。損傷限界点の現実的な値を第3.2.1.c-1-2表に示す。

### ⑤フラジリティ評価における応答情報

現実的応答については、現実的な物性値に基づく非線形地震応答解析を入力レベルごとに実施することにより評価を行った。現実的な物性値は地震PSA学会標準に基づき算出し、対数正規分布を仮定した。損傷評価の指標である耐震壁のせん

断破壊に対しては水平動が支配的であることから、水平動による評価を行うこととした。

#### (1) 入力地震動

入力地震動は、フラジリティ評価用地震動を入力レベルごとに係数倍した地震動を解放基盤表面で定義した（最大 3,000Gal）。

#### (2) 現実的な物性値と応答解析モデル

泊発電所 3 号炉の各建屋の材料物性値をそれぞれ第 3.2.1.c-1-3 表～第 3.2.1.c-1-7 表に、原子炉建屋周辺の地盤物性値を第 3.2.1.c-1-8 表に示す。地震応答解析に用いる現実的な物性値は、地震 PSA 学会標準に示された評価方法に基づき算出した。評価方法を第 3.2.1.c-1-9 表に示す。

地震応答解析モデルは、主要な耐震壁を曲げ・せん断部材に置換し、重量を各階床位置に集中させた質点系モデルを用いた。各建屋の地震応答解析モデルを第 3.2.1.c-1-6 図～第 3.2.1.c-1-10 図に、各建屋の地震応答解析モデル諸元を第 3.2.1.c-1-10 表～第 3.2.1.c-1-19 表示す。

#### (3) 解析ケース

応答のばらつきを求めるための確率論的応答解析では、第 3.2.1.c-1-9 表に示す  $F_c$ 、 $V_s$  及び  $h$  の 3 つの主変動パラメータに対して 2 点推定法で得られた 2 つのサンプル点をすべて組み合わせ、 $2^3=8$  ケースの解析を実施した。モデルの諸元と物性値の関係及び解析ケースをそれぞれ第 3.2.1.c-1-20 表及び第 3.2.1.c-1-21 表に示す。

#### (4) 現実的応答

各建屋の現実的応答は地震 PSA 学会標準に準拠し対数正規分布を仮定し、確率論的応答解析結果より各ケースの重みを考慮して算出した。

### ⑥建屋のフラジリティ評価結果

現実的耐力と現実的応答を用いて、各耐震要素の各入力レベルでの損傷確率を対数正規累積分布関数（最小 2 乗法）により近似し、信頼度ごとの連続的なフラジリティ曲線を算出した。高信頼度低損傷確率（以下、「HCLPF」という。）は、95% 信頼度フラジリティ曲線における 5% 損傷確率の加速度として定義する。

建屋のフラジリティ曲線は、各建屋を構成する要素のうち、入力レベル 3,000Gal の際に損傷確率が最大となる要素を対象として算出することとした。

各建屋のフラジリティ曲線を第 3.2.1.c-1-11 図～第 3.2.1.c-1-13 図に示す。また、信頼度 50% の 50% 損傷確率（加速度中央値）及び HCLPF について第 3.2.1.a-5 表に示す。なお、A1, A2-燃料油貯油槽タンク室及び B1, B2-燃料油貯油槽タンク室については、入力レベル 3,000Gal においても損傷確率が極めて小さかったことか

らフラジリティ曲線を算出していない。

### 3.2.1.c-2 屋外重要土木構造物のフラジリティ

#### ①評価対象と損傷モードの設定

##### (1) 評価対象

屋外重要土木構造物のフラジリティ評価の対象は、第3.2.1.a-5表の建屋・機器リストに示す取水ピットポンプ室、原子炉補機冷却海水ポンプ出口ストレーナ室及び原子炉補機冷却海水管ダクトのうち、耐震評価がより厳しい原子炉補機冷却海水管ダクトとする。

原子炉補機冷却海水管ダクトの平面図を第3.2.1.c-2-1図、断面図を第3.2.1.c-2-2図に示す。

##### (2) 損傷モード及び部位の設定

屋外重要土木構造物の損傷モードとしては、構造部材の曲げ及びせん断破壊のうち、耐震裕度がより厳しいせん断破壊を選定し、すべての部材を評価対象とした。

#### ②フラジリティの評価方法の選択

フラジリティ評価方法として「現実的耐力と現実的応答による方法（応答解析に基づく方法）」を選択した。評価手法は地震PSA学会標準に準拠した手法とする。

（補足3.2.1.c-1、補足3.2.1.c-3）

ただし、部材のせん断耐力は、部材に作用する断面力に依存することから、現実的耐力と現実的応答を独立として見なすことが困難であるため、耐震裕度（許容限界値／応答値）として評価する。

#### ③フラジリティ評価上の主要な仮定

##### (1) 考慮する不確実さ要因

$\beta_r$ と $\beta_u$ については、地震PSA学会標準等に基づき評価する。

##### (2) 損傷評価の指標

損傷評価の指標については、「原子力発電所屋外重要土木構造物の耐震性能照査指針・マニュアル（土木学会、2005）」のせん断破壊に対する照査（せん断耐力評価式による方法）による評価値を適用した。損傷評価に含まれる不確実さ要因は、地震PSA学会標準を参考に、コンクリートの圧縮強度と鉄筋の降伏強度を考慮した。

損傷評価に当たっての材料物性値（中央値）について、コンクリートの実強度の平均値は、設計基準強度の1.4倍とした（地震PSA学会標準による）。また、鉄筋の実降伏点の平均値は、規格降伏点の1.1倍とした（「鋼材等及び溶接部の

許容応力度並びに材料強度の基準強度を定める件、平成12年（2000年）12月26日、建設省告示第2464号による)。

#### ④ フラジリティ評価における応答解析

##### (1) 入力地震動

入力地震動は、フラジリティ評価用地震動を入力レベルごとに係数倍したものとした（最大4,100Gal）。

##### (2) 地震応答解析手法

地盤と構造物の非線形性を考慮した地盤－構造物連成系の二次元有限要素による時刻歴非線形解析を用いる。

##### (3) 変動因子

フラジリティ評価においては、屋外重要土木構造物の耐震評価に支配的と考えられる、地盤の初期せん断剛性 $G_0$ 、コンクリートの圧縮強度 $F_c$ の2つの変動因子を考慮する。第3.2.1.c-2-1表に考慮した変動因子の考え方を示す。

##### (4) 損傷確率

損傷確率は一次近似二次モーメント法を用いて算定する。

#### ⑤ 屋外重要土木構造物のフラジリティ評価結果

各入力レベルによる損傷確率よりフラジリティ曲線とHCLPFを算出する。屋外重要土木構造物のフラジリティ曲線を第3.2.1.c-2-3図に示す。また、信頼度50%での50%損傷確率及びHCLPFについて第3.2.1.a-5表に示す。

### 3.2.1.c-3 機器のフラジリティ

#### ① 評価対象と損傷モードの設定

機器のフラジリティ評価の対象は、3.2.1.a.②項で作成した建屋・機器リストに記載されたものとする。損傷モードは、構造損傷と機能損傷に分類し、評価対象機器の要求機能を踏まえて適切に設定する。

タンク・熱交換器のような静的機器は、要求機能の喪失につながる延性破壊や脆性破壊等の構造損傷の観点から支配的な部位に着目してフラジリティを評価する。また、電気盤類及びポンプ・弁のような動的機器は、システム評価上の要求機能に対応して、構造損傷に加え、動的機能限界や電気的機能限界等の機能損傷の双方の観点から支配的な部位に着目してフラジリティを評価する。ここで、フラジリティ評価はJEAG4601に基づき実施した既工認等の耐震評価結果を基に算出する。

なお、構造強度に関する評価では、機器の本体・支持脚・基礎ボルト等の主要

部位について耐震評価が実施されるが、部位間で裕度（例えば、設計許容値／発生応力）が異なり、また、同一部位でも評価応力の種類（引張応力、曲げ応力、組合せ応力等）によって裕度が異なる。構造損傷に関するフラジリティ評価では、これらの各部位・各評価応力の中から、基本的には耐震性評価上最も裕度が低かった部位・評価応力に着目して強度に関する係数等の評価を行う。

## ② フラジリティの評価方法の選択

フラジリティの評価方法は、「現実的耐力と現実的応答による方法（以下、「応答解析に基づく方法」という。）」、「現実的耐力と応答係数による方法（以下、「原研法」という。）」、「耐力係数と応答係数による方法（以下、「安全係数法」という。）」の中から「安全係数法」を選択した。（補足 3.2.1.c-1）

「安全係数法」は後述のとおり、既工認等の地震応答解析結果、耐力係数及び応答係数により評価する。

「安全係数法」は十分精度のある設計応答を基に、不確実さの要因を既往知見に基づく係数として積み上げて現実的応答を求める方法であり、不確実さ要因を考慮した応答解析により現実的応答を直接求める手法と同等の結果が得られると考えられる。

なお、「安全係数法」は米国において、評価手法として提案され<sup>\*13</sup>、約 40 プラントでの評価実績がある<sup>\*14-16</sup>。（補足 3.2.1.c-2）

## ③ フラジリティ評価上の主要な仮定（不確実さの設定、応答係数等）

機器フラジリティ評価とは、地震動の入力が増大し、評価対象機器が損傷に至る時点における最大加速度を評価尺度として表示するものである。このとき、最大加速度 A をフラジリティ加速度と称し、機器フラジリティ解析ではこれを確率量として扱い、以下の式で表す。

$$A = A_u \cdot \varepsilon_r \cdot \varepsilon_u$$

ここで、

$A_u$ ：機器が損傷に達する時の地震動強さ（フラジリティ加速度）A の中央値

$\varepsilon_r$ ：中央値に対する偶然的不確実さを示すランダム変数。中央値を 1 として対数標準偏差  $\beta_r$  である対数正規分布を仮定する。

$\varepsilon_u$ ：中央値に対する認識論的不確実さによるランダム変数。中央値を 1 として対数標準偏差  $\beta_u$  である対数正規分布を仮定する。

フラジリティ加速度 A を累積分布関数で示したものが機器フラジリティ曲線である。

なお、フラジリティ評価では、直接  $A_u$ 、 $\varepsilon_r$  及び  $\varepsilon_u$  からフラジリティ加速度を算定せず、一般に安全係数の概念を用いて下式の様に算定する。

$$A_n = F \cdot A_d \quad (\text{式 3.2.1-1})$$

ここで、

$F$  : 安全係数（裕度）

$A_d$  : 基準地震動の最大地動加速度

$$F = \frac{\text{現実的な耐力}}{\text{現実的な応答}} \quad (\text{式 3.2.1-2})$$

$$= \frac{\text{設計応答値}}{\text{現実的な応答}} \times \frac{\text{現実的な耐力}}{\text{設計応答値}}$$

応答に関する安全係数      耐力に関する安全係数

$$\therefore F = F_{EC} \cdot F_{ER} \cdot F_{SR} \quad (\text{式 3.2.1-3})$$

ここで、

$F_{EC}$  : 機器の耐力係数

$F_{ER}$  : 機器の応答係数

$F_{SR}$  : 建屋の応答係数

(式 3.2.1-1) の安全係数（裕度）は、(式 3.2.1-2) のように基準とする地震動による現実的な応答に対する機器の現実的な耐力の割合で定義されるが、(式 3.2.1-3) のように評価対象機器の設計応答値に対する現実的な応答の割合（応答に関する安全係数）と現実的な耐力に対する設計応答値の割合（耐力に関する安全係数）に分離して評価する。

ただし、入力地震動に対する機器の応答には、機器自身の応答に加えて建屋の応答が影響することから、応答に関する係数は機器の応答係数  $F_{ER}$  と建屋の応答係数  $F_{SR}$  に分割して評価する。

耐力係数  $F_{EC}$ 、機器応答係数  $F_{ER}$  及び建屋応答係数  $F_{SR}$  は、それぞれ以下に示す係数に分離して評価する。これらの係数は、さらにいくつかの係数から構成されている。また、これらの係数は、フラジリティ評価上に存在する各種の不確実さ要因を評価したものであり、全て対数正規分布する確率量と仮定する。不確実さ要因の整理結果を第 3.2.1.c-3-1 表に示す。

機器の耐力係数 :  $F_{EC}$

$$F_{EC} = F_s \cdot F_\mu$$

ここで、

$F_s$  : 強度係数

$F_\mu$  : 塑性エネルギー吸収係数

機器の応答係数： $F_{ER}$

$$F_{ER} = F_{ESS} \cdot F_D \cdot F_{EM} \cdot F_{EMC}$$

ここで、

$F_{ESS}$ ：スペクトル形状係数

$F_D$ ：減衰係数

$F_{EM}$ ：モデル化係数

$F_{EMC}$ ：モード合成係数

建屋の応答係数： $F_{SR}$

$$F_{SR} = F_{SS} \cdot F_\delta \cdot F_M \cdot F_{NL}$$

ここで、

$F_{SS}$ ：入力地震動のスペクトル形状に関する係数

$F_\delta$ ：建屋の減衰に関する係数

$F_M$ ：建屋のモデル化に関する係数

$F_{NL}$ ：建屋の非線形応答に関する係数

ここで、建屋の応答係数について、第3.2.1.c-3-2表の値を使用する。

#### ④ フラジリティ評価における耐力情報

評価部位及び損傷モード（応力種類）は、その機器において最も耐震性の低いものを選定した。耐力値は、その評価部位に使われる部材の、「JSME 発電用原子力設備規格 設計・建設規格」（以下、「設計・建設規格」という。）に記載されている許容値に基づく現実的値を適用した。確率分布は、中央値に関する不確実さの要素について、加振試験結果、文献値、工学的判断等によって評価し、 $\beta_r$ 、 $\beta_u$ として定量化して考慮した。

なお、評価部位及び損傷モードの指標については、既工認等における耐震解析で考慮されている。

#### ⑤ フラジリティ評価における応答情報

評価部位及び損傷モード（応力種類）は、その機器において最も耐震性の低いものを選定した。応答値はその部位にかかる発生応力を設定した。確率分布については、中央値に関する不確実さの要素について、加振試験結果、文献値、工学的判断等によって評価し、 $\beta_r$ 、 $\beta_u$ として定量化して考慮した。

なお、機器応答の伝達特性については、既工認等における耐震解析で考慮されている。

#### ⑥ 機器のフラジリティ評価結果

機器フラジリティ評価結果を第3.2.1.a-5表に示す。

機器フラジリティ評価は、その評価上の特徴を踏まえ、「大型機器」、「静的機器」、「動的機器」、「電気盤・計装」及び「配管」の5グループに分類した。

5グループの分類の考え方については以下のとおり。

大型機器：1次冷却材バウンダリ設備で、多質点系時刻歴解析評価が主となる  
機器の構造損傷

静的機器：上記大型機器以外で、スペクトルモーダル解析評価が主となる機器  
の構造損傷

動的機器：ポンプ、内燃機関、電動弁等の動的機器の機能損傷

電気盤・計装：電気盤、計装品等の電気的機器の機能損傷

配管：配管・弁等の構造損傷

また、グループ毎に代表機器をFV重要度より抽出し、その評価の具体例を以下に示す。

### (1) 大型機器（1次冷却材ポンプ）

評価対象機器の諸元及び耐震評価結果を以下に示す。

- ・評価対象機器：1次冷却材ポンプ
- ・設置位置：原子炉格納容器 T.P. 17.8m
- ・耐震クラス：S
- ・固有振動数：柔構造
- ・評価地震動：最大加速度 550 ガル (S s<sup>-1</sup>)
- ・評価項目：構造損傷（バウンダリ機能）
- ・評価対象部位：上部支持構造物
- ・評価応力：組合せ応力

第3.2.1.c-3-3表に、1次冷却材ポンプ上部支持構造物の耐震評価結果を示す。

第3.2.1.c-3-3表をもとにフラジリティを算出した。

#### a. 機器の耐力係数F<sub>EC</sub>の評価

##### (a) 強度係数F<sub>S</sub>の評価

本係数は、設計応力に対する限界応力の持つ裕度を評価するものであり、次式により評価する。

$$F_S = \frac{\sigma_C - \sigma_N}{\sigma_T - \sigma_N}$$

ここで、 $\sigma_C$ ：限界応力の中央値

$\sigma_T$ ：地震時発生応力

$\sigma_N$ ：通常運転時応力

本機器における組合せ応力の評価は許容応力と地震応力の比を示す評価式とな

っているため、耐震評価による裕度を  $F_s$  として設定し、不確実さは考慮しない。  
以上より、本係数及び不確実さは以下の値とする。

$$F_s = 1.40, \quad \beta_r = 0.00, \quad \beta_u = 0.00$$

### (b) 塑性エネルギー吸収係数 $F_\mu$ の評価

本係数は、塑性変形によるエネルギー吸収による裕度を評価するものである。  
支持構造物のような鋼構造機器では評価対象部位の降伏後の塑性変形による機器全体系としてのエネルギー吸収効果が期待できる。  
したがって、 $F_\mu$  は塑性率  $\mu = 3.0$  を適用して、Newmark のエネルギー等価式より下記のように算出される。

$$F_\mu = \sqrt{2\mu - 1} = 2.24$$

ここで、 $\mu$  : 塑性率 = 3.0 (鋼構造)

また、不確実さは次式により算定する。

$$\beta_c = \frac{1}{3} \ln(F_\mu)$$

$$\beta_r = \beta_u = \frac{1}{\sqrt{2}} \beta_c = 0.19$$

以上より、本係数及び不確実さは以下の値とする。

$$F_\mu = 2.24, \quad \beta_r = 0.19, \quad \beta_u = 0.19$$

### b. 機器の応答係数 $F_{ER}$ の評価

#### (a) スペクトル形状係数 $F_{ESS}$ の評価

本係数は、設計で用いられる床応答スペクトルの拡幅に含まれる裕度を評価するものであり、次式により評価する。なお、スペクトル形状係数の概念図を第 3.2.1.c-3-1 図に示す。

$$F_{ESS} = \frac{\text{拡幅後の床応答スペクトルによる応答加速度}}{\text{拡幅前の床応答スペクトルによる応答加速度}}$$

本機器は建屋ループ連成解析による荷重を考慮した耐震評価を実施しているため、荷重にかけられている設計マージン 1.30 を係数として考慮する。

以上より、本係数及び不確実さは以下の値とする。

$$F_{ESS} = 1.30, \quad \beta_r = 0.00, \quad \beta_u = 0.00$$

### (b) 減衰係数 $F_D$ の評価

本係数は、現実的減衰定数の中央値に対する設計用減衰定数が持つ裕度を評価するものであり、次式により評価する。なお、減衰係数の概念図を第 3.2.1.c-3-2 図に示す。

$$F_D = \frac{\text{設計用減衰定数での応答値}}{\text{減衰定数の中央値での応答値}}$$

本機器については減衰定数の中央値は設計用減衰定数よりも大きいと考えられるが、保守的に設計用減衰定数と同一とする。

以上より、本係数及び不確実さは以下の値とする。

$$F_D = 1.00, \beta_r = 0.00, \beta_u = 0.00$$

### (c) モデル化係数 $F_{EM}$ の評価

本係数は、機器のモデル化におけるモデル形状・諸元等の実機との差などに起因する保守性及び不確実さを評価するものである。

本機器の解析モデル化は妥当であり、中央値に相当すると考える。

また、本機器の耐震評価は建屋連成解析モデルを用いて行われており、モデル化に関する不確実さは、建屋応答係数に含まれるため、本係数では考慮しない。

以上より、本係数及び不確実さは以下の値とする。

$$F_{EM} = 1.00, \beta_r = 0.00, \beta_u = 0.00$$

### (d) モード合成係数 $F_{EMC}$ の評価

本係数は、機器の地震応答がスペクトルモーダル解析で評価されている場合に、モード合成に起因する保守性及び不確実さを評価するものである。

本機器については時刻歴解析を適用しており、スペクトルモーダル解析を実施していないため考慮しない。

以上より、本係数及び不確実さは以下の値とする。

$$F_{EMC} = 1.00, \beta_r = 0.00, \beta_u = 0.00$$

## c. 建屋の応答係数 $F_{SR}$ の評価

建屋応答に関する各係数は、第 3.2.1.c-3-2 表に示す原子炉建屋の応答係数を用いる。

### (a) 入力地震動のスペクトル形状に関する係数 $F_{SS}$ の評価

本係数は、基準地震動のスペクトルの持つ裕度を評価するものであり、第 3.2.1.c-3-3 図にスペクトル形状係数の概念図を示す。

中央値は、基準地震動のスペクトルと一様ハザードスペクトルの建屋の固有周

期における比として、次式により評価する。

$$\text{スペクトル形状係数} = \frac{\text{基準地震動の応答加速度}}{\text{一様ハザードスペクトルの応答加速度}}$$

また、不確実さは、地震ハザードにおける距離減衰式等のばらつきに考慮されるため、本係数では考慮しない。

本機器については1次固有周期での比を適用する。

以上より、本係数及び不確実さは以下の値とする。

$$F_{ss} = 1.00, \beta_r = 0.00, \beta_u = 0.00$$

#### (b) 建屋の地震応答に関する係数の評価

本係数は、建屋振動モデルに関する設計上の裕度、地盤－建屋連成系モデルに関する設計上の裕度及び建屋の非線形応答が機器入力に与える裕度を評価するものである。

##### ・建屋の減衰に関する係数 $F_\delta$ の評価

本係数は、建屋の減衰評価にかかる設計上の保守性及び不確実さを評価するものであり、次式により評価する。

$$F_\delta = \frac{\text{設計用減衰定数による応答}}{\text{現実的減衰定数の中央値による応答}}$$

$\beta_r$  は、現実的な減衰定数に対する基準応答スペクトル値のばらつきから評価する。

$\beta_u$  は、地震 PSA 学会標準に基づき 0.00 とする。

以上より、本係数及び不確実さは以下の値とする。

$$F_\delta = 0.99, \beta_r = 0.08, \beta_u = 0.00$$

##### ・建屋のモデル化に関する係数 $F_M$ の評価

本係数は、建屋のモデル化に関する保守性及び不確実さを評価するものであり、次式により評価する。

$$F_M = \frac{\text{設計用基準モデル 1 次周期の加速度}}{\text{現実的な建屋の 1 次周期の加速度}}$$

$\beta_r$  は、現実的な建屋の 1 次周期に対する基準応答スペクトル値のばらつきから評価する。

$\beta_u$  は、国内文献<sup>\*17</sup>に基づき 0.15 とする。

以上より、本係数及び不確実さは以下の値とする。

$$F_M = 0.99, \beta_r = 0.01, \beta_u = 0.15$$

##### ・建屋の非線形応答に関する係数 $F_{NL}$ の評価

本係数は、建屋の非線形応答が機器入力に与える保守性及び不確実さを評価するものである。

建屋の非線形応答により建屋の入力レベルに応じて床応答スペクトルの長周期側ではスペクトル形状が変動すると考えられ、本係数ではこのスペクトル形状の変動の影響を不確実さとして考慮する。

以上より、本係数及び不確実さは以下の値とする。

$$F_{NL} = 1.00, \beta_r = 0.17, \beta_u = 0.10$$

#### d. 評価結果のまとめ

各係数の評価結果を第 3.2.1.c-3-4 表に示す。これらの結果より、1 次冷却材ポンプのフラジリティ加速度の中央値  $A_m$ 、その不確実さ  $\beta_r$ ・ $\beta_u$  及び HCLPF は、以下の通りとなる。

また、フラジリティ曲線を第 3.2.1.c-3-4 図に示す。

$$A_m = 2.23 \text{ (G)}$$

$$\beta_r = 0.27, \beta_u = 0.27$$

$$\begin{aligned} HCLPF &= A_m \times \exp[-1.65 \times (\beta_r + \beta_u)] \\ &= 2.23 \times \exp[-1.65 \times (0.27 + 0.27)] \\ &= 0.93 \text{ (G)} \end{aligned}$$

#### (2) 静的機器（余熱除去冷却器）

評価対象機器の諸元及び耐震評価結果を以下に示す。

- ・評価対象機器：余熱除去冷却器
- ・設置位置：原子炉補助建屋 T.P. 4.1m
- ・耐震クラス：S
- ・固有振動数：剛構造
- ・評価地震動：最大加速度 550 ガル (S s 1)
- ・評価項目：構造損傷（バウンダリ機能）
- ・評価対象部位：胴板
- ・評価応力：一次応力

第 3.2.1.c-3-5 表に、余熱除去冷却器の耐震評価結果を示す。第 3.2.1.c-3-5 表をもとにフラジリティを算出した。

#### a. 機器の耐力係数 $F_{EC}$ の評価

##### (a) 強度係数 $F_s$ の評価

本係数は、設計応力に対する限界応力の持つ裕度を評価するものであり、次式により評価する。

$$F_s = \frac{\sigma_c - \sigma_n}{\sigma_t - \sigma_n}$$

ここで、

$\sigma_c$ ：限界応力の中央値

$\sigma_t$ ：地震時発生応力

$\sigma_n$ ：通常運転時応力

評価対象部位である胴板の材質（SGV410）から、限界応力として「設計・建設規格」の第I編付録材料図表Part5の引張応力  $S_u = 373 \text{ N/mm}^2$ （最高使用温度 95°C）を採用する。

なお、上記規格値に含まれる余裕（ $S_u$  値の 1.1 倍）を考慮して限界応力の中央値とする。

$$\sigma_c = 1.1 \times S_u = 1.1 \times 373 = 410.3 \text{ N/mm}^2$$

なお、通常運転時応力は耐震評価の時点で分離して評価されていないため、0 とする。

$$\sigma_n = 0 \text{ N/mm}^2$$

$$F_s = \frac{\sigma_c}{\sigma_t} = \frac{1.1 \times S_u}{\sigma_t} = \frac{410.3}{78} = 5.26$$

不確実さ  $\beta_u$  として、限界応力の中央値  $1.1 \times S_u$  に対して、JSME 値  $S_u$  が 95% 信頼下限に相当すると考える。

$$\beta_u = \frac{1}{1.65} \ln \left( \frac{1.1 \times S_u}{S_{u_r}} \right) = 0.06 \quad (\beta_r = 0)$$

以上より、本係数及び不確実さは以下の値とする。

$$F_s = 5.26, \quad \beta_r = 0.00, \quad \beta_u = 0.06$$

### (b) 塑性エネルギー吸収係数 $F_\mu$ の評価

胴板の塑性変形によるエネルギー吸収効果は考慮しない。

以上より、本係数及び不確実さは以下の値とする。

$$F_\mu = 1.00, \quad \beta_r = 0.00, \quad \beta_u = 0.00$$

### b. 機器の応答係数 $F_{ER}$ の評価

#### (a) スペクトル形状係数 $F_{ESS}$ の評価

本機器は剛であり、最大床応答加速度（ZPA）に設計マージン 1.20 をかけられているため、これを係数として考慮する。

以上より、本係数及び不確実さは以下の値とする。

$$F_{ESS} = 1.20, \quad \beta_r = 0.00, \quad \beta_u = 0.00$$

(b) 減衰係数  $F_D$  の評価

本機器は剛構造であるため、本係数及び不確実さは以下の値とする。

$$F_D = 1.00, \beta_r = 0.00, \beta_u = 0.00$$

(c) モデル化係数  $F_{EM}$  の評価

機器の解析モデル化は妥当であり、中央値に相当すると考える。

また、本機器の耐震評価は、1質点系モデルを用いて行われており、不確実さは考慮しない。

$$F_{EM} = 1.00, \beta_r = 0.00, \beta_u = 0.00$$

(d) モード合成係数  $F_{EMC}$  の評価

本機器は1質点系モデルであるため、本係数及び不確実さは考慮しない。

$$F_{EMC} = 1.00, \beta_r = 0.00, \beta_u = 0.00$$

c. 建屋の応答係数  $F_{SR}$  の評価

建屋応答に関する各係数は、第3.2.1.c-3-2表に示す原子炉補助建屋の応答係数を用いる。

(a) 入力地震動のスペクトル形状に関する係数  $F_{SS}$  の評価

本係数及び不確実さは、原子炉補助建屋の1次固有周期における応答スペクトルの比を適用し、以下の値とする。

$$F_{SS} = 1.00, \beta_r = 0.00, \beta_u = 0.00$$

(b) 建屋の地震応答に関する係数の評価

・建屋の減衰に関する係数  $F_\delta$  の評価

本係数及び不確実さは以下の値とする。

$$F_\delta = 0.99, \beta_r = 0.08, \beta_u = 0.00$$

・建屋のモデル化に関する係数  $F_M$  の評価

本係数及び不確実さは以下の値とする。

$$F_M = 0.99, \beta_r = 0.01, \beta_u = 0.15$$

・建屋の非線形応答に関する係数  $F_{NL}$  の評価

建屋の非線形応答により建屋の入力レベルに応じて床応答スペクトルの長周期側ではスペクトル形状が変動すると考えられ、本係数ではこのスペクトル形状の変動の影響を不確実さとして考慮する。ただし、剛領域ではこの変動は小さいため、本係数は考慮しない。

以上より、本係数及び不確実さは以下の値とする。

$$F_{NL} = 1.00, \beta_r = 0.00, \beta_u = 0.00$$

#### d. 評価結果のまとめ

各係数の評価結果を第 3.2.1.c-3-6 表に示す。これらの結果より、余熱除去冷却器のフラジリティ加速度の中央値  $A_m$ 、その不確実さ  $\beta_r \cdot \beta_u$  及び HCLPF は、以下の通りとなる。

また、フラジリティ曲線を第 3.2.1.c-3-5 図に示す。

$$A_m = 2.29 \text{ (G)}$$

$$\beta_r = 0.09, \beta_u = 0.17$$

$$\begin{aligned} \text{HCLPF} &= A_m \times \exp[-1.65 \times (\beta_r + \beta_u)] \\ &= 2.29 \times \exp[-1.65 \times (0.09 + 0.17)] \\ &= 1.53 \text{ (G)} \end{aligned}$$

#### (3) 動的機器（内燃機関（ディーゼル発電機））

評価対象機器の諸元及び耐震評価結果を以下に示す。

- ・評価対象機器：内燃機関（ディーゼル発電機）
- ・設置位置：ディーゼル発電機建屋 T.P. 10.3m
- ・耐震クラス：S
- ・固有振動数：剛構造
- ・評価地震動：最大加速度 620 ガル (S s 3 - 4)
- ・評価項目：機能損傷（動的機能）

第 3.2.1.c-3-7 表に、ディーゼル発電設備内燃機関の耐震評価結果を示す。第 3.2.1.c-3-7 表をもとにフラジリティを算出した。

ポンプ及びディーゼル類については、水平方向と上下方向の同時入力が、機能維持に対して与える影響が否定できないため、水平方向と上下方向の入力加速度を二乗和平方根 (SRSS) により合成するものとする。

- ・機能維持確認済加速度：

$$\text{水平方向 } 10.7 \text{ m/s}^2, \text{ 上下方向 } 9.80 \text{ m/s}^2 \rightarrow \text{SRSS} = 14.51 \text{ m/s}^2$$

#### a. 機器の耐力係数 $F_{Ec}$ の評価

##### (a) 強度係数 $F_s$ の評価

本係数は下記の式で算出する。

$$F_s = \frac{\text{損傷加速度中央値}}{\text{応答加速度}}$$

- ・損傷加速度中央値について

ディーゼル機関のように、構造強度に加え動的機能維持が必要な機器は、試験加速度（機能維持確認済加速度 等）に基づきフラジリティ評価を行う。

フラジリティ評価のベースとする試験加速度レベルでは誤動作・損傷が見られないことから、以下に示す方法（ここでは、「 $\beta$  設定法」という。）により誤動作・

損傷に対する損傷加速度の中央値の推定する。

#### [ $\beta$ 設定法の概要]

フラジリティ評価において、HCLPFは次式により評価される。

$$HCLPF = A_m \times \exp(-1.65 \times (\beta_r + \beta_u))$$

上式より、

$$A_m = HCLPF \times \exp(1.65 \times (\beta_r + \beta_u))$$

これと同様に、加振試験における損傷加速度中央値と損傷加速度のHCLPFの関係は次式により表される。

$$\text{損傷加速度中央値} = \text{損傷加速度の HCLPF} \times \exp(1.65 \times (\beta_r + \beta_u))$$

従って、“損傷加速度の HCLPF=試験加速度”とし、不確実さ  $\beta_r$  及び  $\beta_u$  を与えることにより、損傷加速度中央値を推定できる。

なお、ポンプ及びディーゼル等の動的機器に関する誤動作等の不確実さデータの知見は現状得られていないため、電気盤類の評価で用いた電気品の誤動作に関する不確実さよりも小さいと仮定し、 $\beta_r = \beta_u = 0.10$  とする。

ここで、この  $\beta$  設定法は、従来一般的に試験加速度として用いられてきた機能確認済加速度が、実際に誤動作等が生じる加速度レベルに対して十分に安全側との考え方から適用されているものである。

以上から、内燃機関の損傷加速度の中央値は、 $\beta$  設定法に基づき以下のとおりとなる。

$$\begin{aligned}\text{損傷加速度の中央値} &= \text{試験加速度} \times \exp[1.65 \times (\beta_r + \beta_u)] \\ &= 14.51 \times \exp[1.65 \times (0.10 + 0.10)] = 20.18 \text{m/s}^2\end{aligned}$$

以上より、本係数及び不確実さは以下の値とする。

$$F_s = \frac{\text{損傷加速度中央値}}{\text{応答加速度}} = \frac{20.18}{7.409} = 2.72$$

$$\beta_r = 0.10, \quad \beta_u = 0.10$$

#### (b) 塑性エネルギー吸収係数 $F_\mu$ の評価

本機器のような動的機器については、弾性範囲内で誤動作が生じることが否定できないため、本係数及び不確実さは以下の値とする。

$$F_\mu = 1.00, \quad \beta_r = 0.00, \quad \beta_u = 0.00$$

#### b. 機器の応答係数 $F_{ER}$ の評価

##### (a) スペクトル形状係数 $F_{ESS}$ の評価

本機器は剛構造であるため、本係数及び不確実さは以下の値とする。

$$F_{ESS} = 1.00, \quad \beta_r = 0.00, \quad \beta_u = 0.00$$

(b) 減衰係数  $F_D$  の評価

本機器は剛構造であるため、本係数及び不確実さは以下の値とする。

$$F_D = 1.00, \beta_r = 0.00, \beta_u = 0.00$$

(c) モデル化係数  $F_{EM}$  の評価

機器の解析モデル化は妥当であり、中央値に相当すると考える。

また、本機器の耐震評価は、1質点系モデルを用いて行われており、不確実さは考慮しない。

$$F_{EM} = 1.00, \beta_r = 0.00, \beta_u = 0.00$$

(d) モード合成係数  $F_{EMC}$  の評価

本機器は1質点系モデルであるため、本係数及び不確実さは以下の値とする。

$$F_{EMC} = 1.00, \beta_r = 0.00, \beta_u = 0.00$$

c. 建屋の応答係数  $F_{SR}$  の評価

建屋応答に関する各係数は、第3.2.1.c-3-2表に示すディーゼル発電機建屋の応答係数を用いる。

(a) 入力地震動のスペクトル形状に関する係数  $F_{SS}$  の評価

本係数及び不確実さは、ディーゼル発電機建屋の1次固有周期における応答スペクトルの比を適用し、以下の値とする。

$$F_{SS} = 0.93, \beta_r = 0.00, \beta_u = 0.00$$

(b) 建屋の地震応答に関する係数の評価

・ 建屋の減衰に関する係数  $F_\delta$  の評価

本係数及び不確実さは以下の値とする。

$$F_\delta = 0.99, \beta_r = 0.07, \beta_u = 0.00$$

・ 建屋のモデル化に関する係数  $F_M$  の評価

本係数及び不確実さは以下の値とする。

$$F_M = 1.03, \beta_r = 0.01, \beta_u = 0.15$$

・ 建屋の非線形応答に関する係数  $F_{NL}$  の評価

建屋の非線形応答により建屋の入力レベルに応じて床応答スペクトルの長周期側ではスペクトル形状が変動すると考えられ、本係数ではこのスペクトル形状の変動の影響を不確実さとして考慮する。ただし、剛領域ではこの変動は小さいため、本係数は考慮しない。

以上より、本係数及び不確実さは以下の値とする。

$$F_{NL} = 1.00, \beta_r = 0.00, \beta_u = 0.00$$

d. 評価結果のまとめ

各係数の評価結果を第 3.2.1.c-3-8 表に示す。これらの結果より、内燃機関のフラジリティ加速度の中央値  $A_m$ 、その不確実さ  $\beta_r \cdot \beta_u$  及び HCLPF は、以下の通りとなる。

また、フラジリティ曲線を第 3.2.1.c-3-6 図に示す。

$$A_m = 1.63 \text{ (G)}$$

$$\beta_r = 0.13, \quad \beta_u = 0.19$$

$$\begin{aligned} \text{HCLPF} &= A_m \times \exp[-1.65 \times (\beta_r + \beta_u)] \\ &= 1.63 \times \exp[-1.65 \times (0.13 + 0.19)] \\ &= 0.99 \text{ (G)} \end{aligned}$$

#### (4) 電気盤・計装（パワーコントロールセンタ）

評価対象機器の諸元及び耐震評価結果を以下に示す。

- ・評価対象機器：パワーコントロールセンタ
- ・設置位置：原子炉補助建屋 T.P. 10.3m
- ・耐震クラス：S
- ・固有振動数：柔構造
- ・評価地震動：最大加速度 550 ガル (S s<sup>-1</sup>)
- ・評価項目：機能損傷（電気的機能）

第 3.2.1.c-3-9 表に、パワーコントロールセンタの耐震評価結果を示す。第 3.2.1.c-3-9 表をもとにフラジリティを算出した。

##### a. 機器の耐力係数 $F_{Ec}$ の評価

###### (a) 強度に関する係数 $F_s$ の評価

$F_s$  は下記の式で算出する。

$$F_s = \frac{\text{損傷加速度中央値}}{\text{応答加速度}}$$

###### ・損傷加速度中央値について

電気盤・計装のように、構造強度に加え電気的機能維持が必要な機器については、試験加速度（機能維持確認済加速度 等）に基づきフラジリティ評価を行う。

フラジリティ評価のベースとする試験加速度レベルでは誤動作・損傷が見られないことから、 $\beta$  設定法により誤動作・損傷に対する加速度の中央値を推定する。

なお、既往の電気品の試験結果より、電気品の誤動作に関する不確実さは最低でも  $\beta_r = 0.11, \beta_u = 0.17$  程度と考えられる。

従って、パワーコントロールセンタの損傷加速度中央値は、 $\beta$  設定法に基づき以下の通りとなる。

$$\begin{aligned}
 \text{損傷加速度中央値} &= \text{試験加速度} \times \exp(1.65 \times (\beta_r + \beta_u)) \\
 &= 49.0 \times \exp(1.65 \times (0.11 + 0.17)) \\
 &= 77.8 \text{ (m/s}^2\text{)}
 \end{aligned}$$

以上より、本係数及び不確実さは以下の値とする。

$$F_s = \frac{\text{損傷加速度中央値}}{\text{応答加速度}} = \frac{77.8}{25.9} = 3.00$$

$$\beta_r = 0.11, \quad \beta_u = 0.17$$

#### (b) 塑性エネルギー吸収係数 $F_\mu$ の評価

電気盤・計装については、弾性範囲内で誤動作が生じることが否定できないため、本係数及び不確実さは以下の値とする。

$$F_\mu = 1.00, \quad \beta_r = 0.00, \quad \beta_u = 0.00$$

#### b. 機器の応答係数 $F_{ER}$ の評価

##### (a) スペクトル形状係数 $F_{ESS}$ の評価

本評価では床応答の拡幅による余裕は、保守的に考慮していないため、本係数及び不確実さは以下の値とする。

$$F_{ESS} = 1.00, \quad \beta_r = 0.00, \quad \beta_u = 0.00$$

##### (b) 減衰係数 $F_D$ の評価

本機器の設計用減衰定数と減衰定数の中央値での応答値の比は、下記の Newmark 応答倍率式<sup>\*18</sup>を用いる。

$$\text{応答値} = 3.21 - 0.68 \times \ln(h)$$

ここで、 $h$ ：減衰定数（%）

減衰定数の中央値及び不確実さは、振動試験データや基準類等を参考にして設定する。

また、不確実さとして、減衰定数の中央値に対して、設計用減衰定数が 99% 信頼下限（応答加速度では 99% 信頼上限）と考え、認識論的不確実さ  $\beta_u$  として次式により評価する。なお、本評価で算出された不確実さの値は安全側となるよう丸めて使用する。

本機器においては、設計用減衰定数 4.0%，減衰定数の中央値 7.3% を用いる。

$$F_D = \frac{3.21 - 0.68 \times \ln(4)}{3.21 - 0.68 \times \ln(7.3)} = 1.22$$

$$\beta_u = \frac{1}{2.33} \ln \left( \frac{3.21 - 0.68 \times \ln(4)}{3.21 - 0.68 \times \ln(7.3)} \right) \doteq 0.10$$

以上より、本係数及び不確実さは以下の値とする。

$$F_D = 1.22, \beta_r = 0.00, \beta_u = 0.10$$

(c) モデル化係数  $F_{EM}$  の評価

機器の解析モデル化は妥当であり、中央値に相当すると考える。

また、本機器の耐震評価は、1質点系モデルを用いて行われており、不確実さは考慮しない。

$$F_{EM} = 1.00, \beta_r = 0.00, \beta_u = 0.00$$

(d) モード合成係数  $F_{EMC}$  の評価

本機器は1質点系モデルであるため、本係数及び不確実さは以下の値とする。

$$F_{EMC} = 1.00, \beta_r = 0.00, \beta_u = 0.00$$

c. 建屋の応答係数  $F_{SR}$  の評価

建屋応答に関する各係数は、第3.2.1.c-3-2表に示す原子炉建屋の応答係数を用いる。

(a) 入力地震動のスペクトル形状に関する係数  $F_{SS}$  の評価

本係数及び不確実さは、原子炉建屋の1次固有周期における応答スペクトルの比を適用し、以下の値とする。

$$F_{SS} = 1.00, \beta_r = 0.00, \beta_u = 0.00$$

(b) 建屋の地震応答に関する係数の評価

・建屋の減衰に関する係数  $F_\delta$  の評価

本係数及び不確実さは以下の値とする。

$$F_\delta = 0.99, \beta_r = 0.08, \beta_u = 0.00$$

・建屋のモデル化に関する係数  $F_M$  の評価

本係数及び不確実さは以下の値とする。

$$F_M = 0.99, \beta_r = 0.01, \beta_u = 0.15$$

・建屋の非線形応答に関する係数  $F_{NL}$  の評価

建屋の非線形応答により建屋の入力レベルに応じて床応答スペクトルの長周期側ではスペクトル形状が変動すると考えられ、本係数ではこのスペクトル形状の変動の影響を不確実さとして考慮する。

本係数及び不確実さは以下の値とする。

$$F_{NL} = 1.00, \beta_r = 0.17, \beta_u = 0.10$$

d. 評価結果のまとめ

各係数の評価結果を第3.2.1.c-3-10表に示す。これらの結果より、パワーコントロールセンタのフアジリティ加速度の中央値  $A_m$ 、その不確実さ  $\beta_r \cdot \beta_u$  及び

HCLPF は、以下の通りとなる。

また、フラジリティ曲線を第 3.2.1.c-3-7 図に示す。

$$A_m = 2.01 \text{ (G)}$$

$$\beta_r = 0.22, \beta_u = 0.27$$

$$\begin{aligned} HCLPF &= A_m \times \exp[-1.65 \times (\beta_r + \beta_u)] \\ &= 2.01 \times \exp[-1.65 \times (0.22 + 0.27)] \\ &= 0.90 \text{ (G)} \end{aligned}$$

### (5) 配管（一般代表弁）

評価対象機器の諸元及び耐震評価結果を以下に示す。

- ・評価対象機器：一般代表弁（高圧注入ポンプ燃料取替用水ピット側入口弁）
- ・設置位置：原子炉補助建屋 T.P. 11.1m
- ・耐震クラス：S
- ・固有振動数：柔構造（当該弁を含む配管）
- ・評価地震動：最大加速度 550 ガル (S s 1)
- ・評価項目：機能損傷（動的機能）

第 3.2.1.c-3-11 表に、一般代表弁の耐震評価結果を示す。第 3.2.1.c-3-11 表とともにフラジリティを算出した。

弁類については、水平方向と上下方向の同時入力が、機能維持に対して与える影響が否定できないため、水平方向と上下方向の入力加速度を二乗和平方根 (SRSS) により合成するものとする。

#### a. 機器の耐力係数 $F_{EC}$ の評価

##### (a) 強度係数 $F_s$ の評価

本係数は下記の式で算出する。

$$F_s = \frac{\text{損傷加速度中央値}}{\text{応答加速度}}$$

##### ・損傷加速度中央値について

弁のように、動的機能維持が必要な機器については、試験加速度（機能維持確認済加速度 等）に基づきフラジリティ評価を行う。

フラジリティ評価のベースとする試験加速度レベルでは誤動作・損傷が見られないことから、 $\beta$  設定法により誤動作・損傷に対する加速度の中央値を推定する。

なお、弁等の動的機器に関する誤動作等の不確実さデータの知見は現状得られていないため、電気盤類の評価で用いた電気品の誤動作に関する不確実さよりも小さいと仮定し、 $\beta_r = \beta_u = 0.10$  とする。

ここで、この  $\beta$  設定法は、従来一般的に試験加速度として用いられてきた機

能確認済加速度が、実際に誤動作等が生じる加速度レベルに対して十分に安全側との考え方から適用されているものである。

以上から、弁の損傷加速度の中央値は、 $\beta$  設定法に基づき以下のとおりとなる。

$$\begin{aligned}\text{損傷加速度の中央値} &= \text{試験加速度} \times \exp[1.65 \times (\beta_r + \beta_u)] \\ &= 83.16 \times \exp[1.65 \times (0.10 + 0.10)] \\ &= 115.67 \text{m/s}^2\end{aligned}$$

以上より、本係数及び不確実さは以下の値とする。

$$F_s = \frac{\text{損傷加速度中央値}}{\text{応答加速度}} = \frac{115.67}{20.225} = 5.71$$

$$\beta_r = 0.10, \quad \beta_u = 0.10$$

(b) 塑性エネルギー吸収係数  $F_\mu$  の評価

弁のような動的機器については、弾性範囲内で誤動作が生じることが否定できないため、本係数及び不確実さは以下の値とする。

$$F_\mu = 1.00, \quad \beta_r = 0.00, \quad \beta_u = 0.00$$

b. 機器の応答係数  $F_{ER}$  の評価

当該弁の地震による応答加速度は、当該弁を含む配管のスペクトルモーダル解析により得られることから、機器の応答係数は配管に対して評価する。

(a) スペクトル形状係数  $F_{ESS}$  の評価

本機器は配管のスペクトルモーダル解析による応答解析に基づく応答加速度により評価しているが、配管の場合は支配的な振動モードが1次とは限らず、また、支配的な固有値を一意に特定できないため、保守的に考慮しない。

以上より、本係数及び不確実さは以下の値とする。

$$F_{ESS} = 1.00, \quad \beta_r = 0.00, \quad \beta_u = 0.00$$

(b) 減衰係数  $F_D$  の評価

本機器は配管のスペクトルモーダル解析による応答解析に基づく応答加速度により評価しているが、配管の場合は支配的な振動モードが1次とは限らず、また、支配的な固有値を一意に特定できないため、保守的に考慮しない。

以上より、本係数及び不確実さは以下の値とする。

$$F_D = 1.00, \quad \beta_r = 0.00, \quad \beta_u = 0.10$$

(c) モデル化係数  $F_{EM}$  の評価

機器の解析モデル化は妥当であり、中央値に相当すると考える。

また、本機器の耐震評価は多質点系モデルを用いて行われているため、不確実さは海外文献<sup>\*13</sup>より 0.15 とする。

以上より、本係数及び不確実さは以下の値とする。

$$F_{EM} = 1.00, \beta_r = 0.00, \beta_u = 0.15$$

#### (d) モード合成係数 $F_{EMC}$ の評価

本機器はスペクトルモーダル解析を行っているため、モード合成法に関する本係数及び不確実さは海外文献<sup>\*13</sup>に基づき以下の値とする。

$$F_{EMC} = 1.00, \beta_r = 0.15, \beta_u = 0.00$$

#### c. 建屋の応答係数 $F_{SR}$ の評価

建屋応答に関する各係数は、第 3.2.1.c-3-2 表に示す原子炉補助建屋の応答係数を用いる。

##### (a) 入力地震動のスペクトル形状に関する係数 $F_{SS}$ の評価

本係数及び不確実さは、原子炉補助建屋の 1 次固有周期における応答スペクトルの比を適用し、以下の値とする。

$$F_{SS} = 1.00, \beta_r = 0.00, \beta_u = 0.00$$

##### (b) 建屋の地震応答に関する係数の評価

###### ・ 建屋の減衰に関する係数 $F_\delta$ の評価

本係数及び不確実さは以下の値とする。

$$F_\delta = 0.99, \beta_r = 0.08, \beta_u = 0.00$$

###### ・ 建屋のモデル化に関する係数 $F_M$ の評価

本係数及び不確実さは以下の値とする。

$$F_M = 0.99, \beta_r = 0.01, \beta_u = 0.15$$

###### ・ 建屋の非線形応答に関する係数 $F_{NL}$ の評価

建屋の非線形応答により建屋の入力レベルに応じて床応答スペクトルの長周期側ではスペクトル形状が変動すると考えられ、本係数ではこのスペクトル形状の変動の影響を不確実さとして考慮する。

本係数及び不確実さは以下の値とする。

$$F_{NL} = 1.00, \beta_r = 0.17, \beta_u = 0.10$$

#### d. 評価結果のまとめ

各係数の評価結果を第 3.2.1-c-3-12 表に示す。これらの結果より、一般代表弁のフラジリティ加速度の中央値  $A_m$ 、その不確実さ  $\beta_r \cdot \beta_u$  及び HCLPF は、以下の通りとなる。

また、フラジリティ曲線を第 3.2.1.c-3-8 図に示す。

$$A_m = 3.13 \text{ (G)}$$

$$\begin{aligned}\beta_r &= 0.27, \quad \beta_u = 0.26 \\ HCLPF &= A_m \times \exp[-1.65 \times (\beta_r + \beta_u)] \\ &= 3.13 \times \exp[-1.65 \times (0.27 + 0.26)] \\ &= 1.34 \text{ (G)}\end{aligned}$$

(参考資料)

- \*13 : R. P. Kennedy and M. K. Ravindra, "Seismic Fragilities for Nuclear Power Plant Risk Studies", Nuclear Engineering and Design 79 (1984)
- \*14 : R. Kassawara. EPRI Report 1003121. "Methodology for Probabilistic Risk Assessment Applications of Seismic Margin Evaluations", Electric Power Research Institute. December 2001
- \*15 : Westinghouse Electric Company. "AP-1000 Design Control Document", December 2011  
(年・月は、AP1000 標準設計認証修正版の NRC 認可時期を示す)
- \*16 : General Electric (GE) Nuclear Energy, "ABWR Design Document", March 1997  
(年・月は、ABWR 標準設計認証の NRC 認可時期を示す)
- \*17 : 原子力発電所建屋のフラジリティ評価における認識的不確実さに関する研究(その3)まとめ, 日本建築学会大会学術講演梗概集(九州), 2007年8月
- \*18 : N. M. Newmark and W. J. Hall, "Development of Criteria for Seismic Review of Selected Nuclear Power Plants", NUREG/CR-0098

### 3.2.1.d 事故シーケンス

#### ①起因事象

##### (1) 評価対象とした起因事象のリスト、説明及び発生頻度

3.2.1.a. ②にて同定した地震時特有の要因による分類を踏まえた地震 PRA における起因事象及びその説明を以下に示す。また、起因事象の発生頻度を第 3.2.1.d-1 表に示す。

##### a. 格納容器バイパス

蒸気発生器の内部構造品である伝熱管等の損傷により、格納容器バイパスが発生する事象である。発生した場合の損傷程度が不明であり、どの程度緩和設備に期待できるか不明であるため、保守的に緩和手段のない事象として選定した。

##### b. 大破断 LOCA を上回る規模の LOCA (Excess LOCA)

原子炉容器等の損傷により原子炉格納容器内に原子炉冷却材が流出する事象である。ECCS 容量を超える LOCA であるため緩和手段のない起因事象として

選定した。

c. 原子炉建屋損傷

原子炉建屋の損傷により、原子炉格納容器、原子炉容器、非常用交流電源や注水設備等の広範囲にわたる建屋内の構築物及び緩和設備が損傷する事象である。発生した場合にどの程度緩和設備に期待できるか不明であるため、保守的に緩和手段のない起因事象として選定した。

d. 原子炉格納容器損傷

原子炉格納容器等の損傷により、原子炉容器、原子炉格納容器内配管、加圧器逃がし弁、加圧器安全弁等の原子炉格納容器内及び周辺設備が損傷する事象である。発生した場合の損傷程度の特定が難しく、どの程度緩和設備に期待できるか不明であるため、保守的に緩和手段のない起因事象として選定した。

e. 原子炉補助建屋損傷

原子炉補助建屋の損傷により、建屋内の運転コンソール及び直流電源等が損傷する事象である。事象発生時、ほぼ全ての安全機能の制御機能が喪失すると考えられるが、実際の影響範囲を特定することが難しいため、保守的に緩和手段のない事象として選定した。

f. 電動弁損傷による原子炉補機冷却機能喪失

原子炉補機冷却水系の C ヘッダに設置されている隔離弁（電動弁）の損傷により、耐震クラスの低い原子炉補機冷却水系の C ヘッダの隔離に失敗し、原子炉補機冷却機能が喪失することで RCP シール LOCA が発生する事象である。

g. 1 次系流路閉塞による 2 次系除熱機能喪失

炉内構造物等の損傷により、原子炉冷却系の流路が阻害される事象である。事象発生時、原子炉トリップ後の蒸気発生器による自然循環を用いた炉心冷却に失敗すると考えられるが、実際の影響範囲を特定することが難しいため、保守的に緩和手段のない起因事象として選定した。

h. 複数の信号系損傷

運転コンソール等の損傷により、各種制御が不能となる事象である。事象発生時、ほぼ全ての安全機能の制御機能が喪失すると考えられるが、実際の影響範囲を特定することが難しいため、保守的に緩和手段のない事象として選定した。

i. 燃料集合体及び制御棒クラスタ損傷による原子炉停止機能喪失

燃料集合体や制御棒クラスタの損傷により、制御棒の挿入性に影響がある事象である。事象発生時、制御棒が挿入不能となると考えられるが、実際の影響範囲を特定することが難しいため、保守的に緩和手段のない起因事象として選定した。

j. 大破断 LOCA, 中破断 LOCA, 小破断 LOCA

原子炉冷却材圧力バウンダリを構成する設備の損傷により、原子炉格納容器内に原子炉冷却材が流出する事象である。なお、小破断 LOCA を下回る極小 LOCA は、小破断 LOCA で代表して評価する。

k. 2 次冷却系の破断

主蒸気ライン配管又はライン上の付帯機器（主蒸気逃がし弁、主蒸気安全弁）の損傷により、2 次冷却系が喪失する事象である。なお、耐震クラス C の配管、機器については地震時には損傷しているとして扱っている。

l. 原子炉補機冷却機能喪失

原子炉補機冷却水系や原子炉補機冷却海水系の損傷により、原子炉補機冷却機能が喪失する事象である。

m. 外部電源喪失

地震耐力の小さい外部電源設備の損傷により引き起こされる過渡事象である。

n. 主給水流量喪失

主給水系の損傷により、主給水流量が喪失する事象である。なお、初期に PCS（主給水、主蒸気、復水系）が使用不可能な過渡事象や初期に PCS が使用可能な過渡事象については主給水流量喪失で代表して評価する。

o. ATWS

原子炉トリップが必要な起因事象発生時に原子炉トリップに失敗する事象である。保守的に緩和手段のない起因事象として選定した。地震による原子炉トリップは、地震加速度トリップ信号の加速度大信号で考慮した。ただし、外部電源が喪失している場合には制御棒の自動落下を考慮して、原子炉トリップ信号は不要とした。

(2) 階層イベントツリーとその説明

選定した起因事象の発生頻度を合理的に評価するため、階層イベントツリ

一により起因事象の階層化を行った。階層イベントツリーのヘディングは、各起因事象を発生時の影響の大きい順に配列し、先行するヘディングにあるすべての起因事象が発生しない場合は、主給水流量喪失が発生するものとした。第 3.2.1.d-1 図に地震 PRA の階層イベントツリーを示す。

起因事象の発生頻度は、それぞれ関連する事象をイベントツリーのヘディングに設定し、それぞれ対象となる SSC のフラジリティを評価することで算出する。なお、後続のヘディングの分岐確率は、先行のヘディングで考慮している起因事象が発生しない場合には、主給水流量喪失として扱う。(補足 3.2.1.d-1)

## ②成功基準

### (1) 成功基準の一覧

炉心損傷を防止するための緩和系の成功基準及び余裕時間は、地震時においても内部事象 PRA と相違ない。ただし、同様の系統は完全相関を仮定しているため、事故緩和に必要な系統数は考慮していない。また、緩和手段がない事象については成功基準を設定していない。(補足 3.2.1.d-2)

使命時間については、内部事象 PRA と同様に 24 時間とする。また、地震動で損傷した機器の復旧は期待していない。(補足 3.2.1.d-3)

また、空調系の機能喪失から 7 日後に部屋の温度が許容温度を超える場合には、室内にある設備が機能喪失するとした。

## ③事故シーケンス

### (1) イベントツリー

イベントツリーは小イベントツリー／大フォールトツリー法に基づいて作成し、ヘディングは、地震に引き続き発生する、プラントの事故に至る起因事象、緩和機能に関わるシステム及び事象の進展に影響する重要な設備状態及び運転員操作を選定した(補足 3.2.1.c-3)。また、炉心損傷防止の観点から、「原子炉停止機能」、「原子炉冷却機能」の安全機能に着目し、炉心損傷に至る事故シーケンスグループの分類を行った。分類した結果を第 3.2.1.d-2 表に示す。

本評価では、以下に示す 3 つのイベントツリーを作成し、各々を結合した。

(補足 3.2.1.d-4)

#### a. 起因事象階層イベントツリー

地震による機器損傷により発生するプラントの事故に至る起因事象は、階層イベントツリーで考慮する。起因事象階層イベントツリーは第 3.2.1.d-1 図の通りである。

#### b. 過渡分類イベントツリー

階層イベントツリーのヘディングに全て成功した場合、本ツリーに至る。

過渡分類イベントツリーでは全交流動力電源喪失、原子炉補機冷却機能喪失及び外部電源喪失が発生している事象を識別する。外部電源喪失が発生していない場合、主給水流量喪失に至る。過渡分類イベントツリーを第 3.2.1.d-2 図に示す。

#### c. フロントライインイベントツリー

緩和手段に期待できる場合に、本ツリーに至る。フロントライインイベントツリーを第 3.2.1.d-3 図に示す。

### ④システム信頼性

#### (1) 評価対象としたシステムとその説明

内部事象 PRA でまとめた情報の活用や、地震による建屋・機器ごとの損傷モードによるプラントへの影響を整理して作成した建屋・機器リストを使って対象範囲を明確にした。各系統の情報や依存性については内部事象 PRA と同等である。

なお、タービンバイパス系等の耐震重要度 B 又は C クラスの設備は基本的には期待しない。ただし、以下に示す安全設備の使命時間内の機能維持に必要となる設備は評価対象とする。評価対象システムの一覧を第 3.2.1.d-3 表に示す。

- ・安全補機に関わる空調系
- ・空調用冷水系

#### (2) 機器損傷に関する機器間の相関の取扱い

冗長設備は基本的に同一の耐震設計がなされた上で同一フロアに設置されるため、同様の系統及び機器に対する機能喪失は、系統間及び機器間で完全に従属するものとした。それ以外の系統間及び機器間の相関は完全独立を想定した。

#### (3) システム信頼性評価結果

起因事象の原因となる設備及び起因事象を緩和する設備は、内部事象 PRA におけるシステム信頼性評価の結果及び、地震の影響を受ける可能性がある設備については建屋・機器フラジリティ評価の結果も考慮して信頼性評価を実施した。

#### (4) システム信頼性評価を実施せずに設定した非信頼度とその根拠

地震 PRA では損傷した機器の復旧に期待しないため、原子炉補機冷却機能が喪失した場合は封水注入及び RCP サーマルバリアによる冷却機能が喪失することから、原子炉補機冷却機能喪失の RCP シール LOCA ヘディングの失敗確率を 1.0 とした。

## ⑤人的過誤

### (1) 評価対象とした人的過誤及び評価結果

#### a. 起因事象発生前人的過誤

試験、保守作業後の復旧ミスであり、事象発生の起因が地震であっても変わることはないため、内部事象 PRA での検討結果を用いた。起因事象発生前の人的過誤確率を第 3.2.1. d-4 表に示す。

#### b. 起因事象発生後人的過誤

事象発生後の対応操作に対する過誤であり、事象発生の起因が地震であっても内的事象 PRA における人的過誤と同様である。ただし、現場操作については、実施が困難である可能性があるため期待していない。起因事象発生後の人的過誤確率を第 3.2.1. d-5 表に示す。

## ⑥炉心損傷頻度

### (1) 炉心損傷頻度の算出に用いた方法

本評価では、RiskSpectrum®PSA を使用し、フォールトツリー結合法によってミニマルカットセットを作成し、炉心損傷頻度を算出した。(補足 3.1.1. h-1)

なお、評価地震動範囲は 0.2G～1.5G とした。

安全機能が喪失する事象が重畳する場合は、地動最大加速度の増加に伴う複数機器の同時損傷により複数の起因事象が発生する可能性があるため、地震 PSA 学会標準にしたがい、重畳による影響を包含できるように階層化処理を行っている。具体的には、先行するヘディングにある起因事象が発生した時は後続のヘディングにある起因事象が重畳している可能性があるものとして考え、先行する起因事象で想定している緩和系により「後続の起因事象の事象進展の抑制が可能」又は「後続の起因事象に係る緩和操作に期待する必要がない」ことを考慮した上で起因事象階層イベントツリーを作成している。

また、サポート系（電源系、原子炉補機冷却水系及び原子炉補機冷却海水系等）については当該機能が喪失すると複数の安全機能に影響を与えることから、従属性を有する緩和系機能喪失の原因として考慮するとともに、例えば原子炉補機冷却水系が喪失することで RCP シール LOCA が発生するように従属性に発生する事象についても考慮した。

一方、さらに異なる組合せや複数の安全機能が喪失する事象が重畳する場合も想定されるが、すべての重畳の組合せを事故シーケンスとして区別すると複雑になるため、事象発生後に要求される安全機能の時系列に着目し炉心損傷の直接要因となる安全機能が喪失する事故シーケンスに整理した。

### (2) 炉心損傷頻度結果

事故シーケンスの定量化を行った結果、全炉心損傷頻度は  $2.1 \times 10^{-6}$  (／炉年)と算出された。

起因事象別の炉心損傷頻度の内訳を第 3.2.1. d-6 表に示す。事故シーケンスグループ別の炉心損傷頻度の内訳を第 3.2.1. d-7 表に、地震加速度区別の炉心損傷頻度を第 3.2.1. d-8 表に示す。

起因事象別の炉心損傷頻度への寄与割合を第 3.2.1. d-4 図、事故シーケンスグループ別炉心損傷頻度寄与割合を第 3.2.1. d-5 図、また、地震加速度に対する炉心損傷頻度及び条件付炉心損傷確率を第 3.2.1. d-6 図に示す。

### (3) 評価結果の分析

起因事象別の結果では、外部電源喪失を起因とする炉心損傷頻度が最も大きく (37.1%)、次いで大破断 LOCA を上回る規模の LOCA (Excess LOCA) を起因としたもの (15.1%) となった。

事故シーケンスグループ別の結果では、ECCS 注水機能喪失 (37.7%) と全交流動力電源喪失 (35.8%) が大部分を占める結果となった。

ECCS 注水機能喪失では、地震による安全補機開閉器室空調系防火ダンパの構造損傷の寄与が支配的となった。地震により一次冷却材管や加圧器等が構造損傷し、LOCA が発生した場合に、安全補機開閉器室空調系の機能喪失により従属性にメタクラやパワーコントロールセンタが機能喪失することで ECCS による炉心注水に失敗し、炉心損傷に至る。

全交流動力電源喪失では、地震によるパワーコントロールセンタの機能損傷の寄与が支配的となった。地震により外部電源が喪失した場合に、パワーコントロールセンタの機能喪失により従属性にディーゼル発電機が機能喪失することで、炉心損傷に至る。

地震加速度区別では、 $1.0G \sim 1.2G$  が最も支配的な加速度区間となった。これは、この加速度領域（高加速度領域）においては、機器の地震故障の寄与が支配的になるためである。

なお、原子炉建屋損傷、複数の信号系損傷などの炉心損傷直結事象については、事象進展の特定、詳細な事故シーケンスの定量化が困難であるため、保守的に炉心損傷直結事象として整理しており、地震に対するプラントの現実的な耐性が PRA の結果に現れているものではない。(補足 3.2.1. d-4)

### (4) 重要度解析、不確実さ解析及び感度解析

#### a. 重要度解析

地震 PRA で評価した SSC が、炉心損傷に与える影響を把握するために、Fussell-Vesely (FV) 重要度評価を実施した（重要度は地震 PRA で評価対象とした  $0.2G$  から  $1.5G$  の全加速度範囲の炉心損傷頻度の積分値に対して算出）。

なお、定義式は以下に示すとおりである。

$$\begin{aligned}\text{Fussell-Vesely 指標} &= \frac{P_i(\text{top})}{P(\text{top})} \\ &= 1 - \frac{P(\text{top}/A=0)}{P(\text{top})}\end{aligned}$$

ここで、

$P_i(\text{top})$ ：機器  $i$  の機能喪失が寄与して発生する頂上事象の発生確率

$P(\text{top})$ ：頂上事象の発生確率

全炉心損傷頻度への寄与が大きい因子を分析するため FV 重要度を評価した。評価結果を第 3.2.1.d-9 表に示す。

地震によるパワーコントロールセンタの機能損傷が最も炉心損傷への寄与割合が大きく、約 3% を占めた。次いで、地震による安全補機開閉器室空調系の空調系ダクトの FV 重要度が高い結果となっている。続いて、地震による安全補機開閉器室空調系の防火ダンバが続き、FV 重要度の上位 3 位を地震による機器故障が占める結果となった。

#### b. 不確実さ解析

【確率論的地震ハザード確定後の  
地震 PRA 評価完了後にご説明】

#### c. 感度解析

感度解析は、相関仮定に係るケースについて実施した。

##### (a) 感度解析ケース

##### (b) 評価結果

【確率論的地震ハザード確定後の  
地震 PRA 評価完了後にご説明】

第3.2.1.a-1表 地震レベルIPRAを実施するために収集した情報及びその主な情報源（1/2）

PRA評価作業	収集した情報	主な情報源
1 プラントの設計・運転の把握	PRA実施に当たり必要とされる設計、運転管理に関する情報	<ul style="list-style-type: none"> <li>内部事象PRAで使用した設計図書（原子炉設置許可申請書、工事計画認可申請書、保安規定等）</li> <li>全機器配置図、換気空調設備図、構内配置図、耐震計算書、プラントウォークダウン報告書</li> <li>発電用原子炉施設設置変更許可申請書</li> </ul>
2 地震ハザード評価	敷地周辺地域における地震発生様式を考慮し、震源モデルの設定に係る地震動伝播特性や、地震動伝播特性に関する情報	<ul style="list-style-type: none"> <li>原子炉設置許可申請書</li> <li>気象庁地震カタログ</li> <li>文献調査結果</li> <li>地質調査結果</li> <li>地震調査委員会（2013）：「今後の地震活動ハザード評価に関する検討～2013年における検討結果～」、地震調査研究推進本部</li> </ul>
3 建屋・機器フランジリティ評価	プラント固有の建屋・機器の耐力評価並びに応答評価に関する情報	<ul style="list-style-type: none"> <li>国内外のPRA情報</li> <li>工事計画認可申請書</li> </ul>
4 事故シーケンス評価	<p>a) 事故シナリオの分析と起因事象の分類</p> <p>b) 事故シーケンスの分析</p> <ul style="list-style-type: none"> <li>成功基準の設定</li> <li>イベンツツリーの作成</li> </ul> <p>c) システムのモデル化</p> <p>d) 事故シーケンスの定量化</p>	<ul style="list-style-type: none"> <li>大規模地震時に想定されるプラント状態</li> <li>安全系などのシステム使用条件</li> <li>システムの現実的な性能</li> <li>運転員による緩和操作</li> <li>対象プラントに即した機器故障モード、運転形態</li> <li>評価結果の妥当性を確認できる情報</li> </ul> <ul style="list-style-type: none"> <li>上記1の情報源</li> <li>既往のPRA情報</li> <li>NUREG/CR-1278</li> </ul>

第3.2.1.a-1表 地震レベルIPRAを実施するために収集した情報及びその主な情報源 (2/2)

参考文献	
地震ハザード 評価	<ul style="list-style-type: none"> <li>*1 日本原子力学会 (2015) : 日本原子力学会標準, 原子力発電所に対する地震を起因とした確率論的リスク評価に関する実施基準 : 2015, 一般社団法人 日本原子力学会</li> <li>*2 活断層研究会編 (1991) : 「新編日本の活断層 分布図と資料, 東京大学出版会</li> <li>*3 松田時彦 (1975) : 活断層から発生する地震の規模と周期について, 地震 第2輯, 第28巻, 269-283</li> <li>*4 武村雅之 (1998) : 日本列島における地殻内地震のスケーリング則—地震断層の影響および地震被害との関連—, 地震, 第2輯, 第51巻, 211-228</li> <li>*5 入倉孝次郎・三宅弘恵 (2001) : シナリオ地震の強震動予測, 地学雑誌, 110, 849-875</li> <li>*6 武村雅之 (1990) : 日本列島およびその周辺地域における浅発地震のマグニチュードと地震モーメントの関係, 地震, 第2輯, 第43巻, 257-265</li> <li>*7 大竹政和, 平朝彦, 太田陽子 (2002) : 日本海東縁部の活断層と地震テクトニクス, 東京大学出版会</li> <li>*8 萩原尊禮編 (1991) : 日本列島の地震 地震工学と地震地体構造, 鹿島出版会</li> <li>*9 垣見俊弘・松田時彦・相田勇・衣笠善博 (2003) : 日本列島と周辺海域の地震地体構造区分, 地震, 第2輯, 第55巻</li> <li>*10 S. Noda, K. Yashiro, K. Takahashi, M. Takemura, S. Ohno, M. Tohdo and T. Watanabe (2002) : RESPONSE SPECTRA FOR DESIGN PURPOSE OF STIFF STRUCTURES ON ROCK SITES, OECD Workshop on the Relations Between Seismological DATE and Seismic Engineering. Oct. 16-18, Istanbul, 399-408</li> <li>*11 中田高・今泉俊文編 (2002) : 活断層詳細地図マップ, 東京大学出版会</li> <li>*12 地震調査委員会 (2013) : 「今後の地震動ハザード評価に関する検討結果～」, 地震調査研究推進本部</li> </ul>
建屋・機器 フジリティ評価	<ul style="list-style-type: none"> <li>*13 : R. P. Kennedy and M. K. Ravindra, "Seismic Fragilities for Nuclear Power Plant Risk Studies", Nuclear Engineering and Design 79(1984)</li> <li>*14 : R. Kassawara. EPRI Report 1003121. "Methodology for Probabilistic Risk Assessment Applications of Seismic Margin Evaluations", Electric Power Research Institute. December 2001</li> <li>*15 : Westinghouse Electric Company. "AP-1000 Design Control Document" , December 2011</li> <li>(年・月は、AP1000標準設計認証修正版のNRC認可時期を示す)</li> <li>*16 : General Electric (GE) Nuclear Energy. "ABWR Design Document" , March 1997</li> <li>(年・月は、ABWR標準設計認証のNRC認可時期を示す)</li> <li>*17 : 原子力発電所建屋のフジリティ評価における認識的不確実さに関する研究(その3)まとめ, 日本建築学会大会学術講演梗概集(九州), 2007年8月</li> <li>*18 : N. M. Newmark and W. J. Hall, "Development of Criteria for Seismic Review of Selected Nuclear Power Plants" , NUREG/CR-0098</li> </ul>

第3.2.1.a-2表 地震による事故シナリオのスクリーニング（1/5）

①本震による炉心損傷事故に直接的に繋がりうる事故シナリオ		分析	スクリーニング結果
事故シナリオ 耐震重要度Sクラス機器の損傷	・地震PRAでは設計基準地震動を超えるような領域の地震を考慮するため、そのような地震が発生した場合には耐震重要度Sクラスの機器が損傷し、重大な事象に至る可能性がある。	地震PRAで考慮	地震PRAで考慮
安全設備の使命時間内の機能維持に必要な設備の損傷	・事象緩和に必要となる設備を使命時間の間作動させるのに必要な設備（燃料油系設備等）が損傷した場合、重大な事象に至る可能性がある。	地震PRAで考慮	地震PRAで考慮
耐震重要度Sの非常用発電機用の蓄電池の過放電に伴う立ち上がり不能	・蓄電池は定期的な点検（サンプル確認及び全数確認）により保守管理されており、地震以外の過放電であればランダム故障として考慮している。 ・また、加振試験により蓄電池の機能維持が確認されており、地震時の過放電の可能性は極めて低い。	除外	

第3.2.1.a-2表 地震による事故シナリオのスクリーニング（2/5）

②本震による炉心損傷事故に間接的に繋がりうる事故シナリオ －安全機能を有する建屋・構築物、機器以外の屋内・屋外設備の損傷（その1）		
事故シナリオ	分析	スクリーニング結果
天井クレーンの転倒・落下による原子炉容器、原子炉格納容器への影響	<ul style="list-style-type: none"> <li>・格納容器ポーラクレーンは、Ss 地震動に対して落下防止装置を有している。</li> <li>・万一落下防止装置が破損しても、リンクガーダの内径はクレーン内径よりも小さいため物理的にもクレーンが落下することはない。</li> <li>・仮に落下を想定しても、架台等の構造物があることから直接原子炉容器に衝突することはない。</li> </ul>	除外
耐震 B, C クラスの機器の損傷に伴う S クラス機器の損傷	<ul style="list-style-type: none"> <li>・当該プラントの耐震設計において、耐震重要度 S クラスの機器は、耐震重要度 B, C クラスの機器の破損によって波及的破損が生じないよう配置等の考慮を行っている。</li> <li>・プラントウォークダウンにより耐震重要度 S クラス機器が波及的影響を受けないことを確認している。</li> </ul>	除外
タービンミサイルによる隣接原子炉建屋内関連設備への影響	<ul style="list-style-type: none"> <li>・タービンミサイルの影響は設置許可申請において評価・審査されており、万一、タービンの設計最大速度でミサイルとなつた場合も格納容器を貫通しないことを確認している。</li> <li>・地震でタービン軸受けが損傷するような地震動には「タービン軸振動大」によりタービントリップされ減速されるため、タービン翼が破損しても設計最大速度でミサイルとなることはない。</li> </ul>	除外
排気筒の転倒による原子炉建屋又は周辺構造物への影響	<ul style="list-style-type: none"> <li>・PWR の排気筒は格納容器に沿った、ステンレス製の軽量のダクト形状であり、万一損傷して落下しても建屋等を損傷させることはない。</li> </ul>	除外

第3.2.1.a-2表 地震による事故シナリオのスクリーニング（3/5）

②本震による炉心損傷事故に間接的に繋がりうる事故シナリオ －安全機能を有する建屋・構築物、機器以外の屋内・屋外設備の損傷（その2）		
事故シナリオ	分析	スクリーニング結果
斜面崩壊による原子炉建屋又は周辺構造物への影響	(基準地震動による地震力に対して周辺斜面の安定性について評価中のため) ・地震 PRA では外部電源のフライテイは、米国事例に基づく保守的な想定で考慮している。	追而
送電網の鉄塔などの損傷に伴う外部電源喪失への影響	・安全上重要な設備の冷却は、海水を最終ヒートシンクとする耐震設計された冷却設備(海水取水設備、原子炉補機冷却水サーチタンク、燃料取替用水ピット等)で構成されており地震 PRA で考慮済みであるが、原水供給には期待していない。	除外
安全上重要な設備の冷却に使用可能な工業用水などの原水供給停止に伴う冷却水枯渇の影響	・取水ピットボンプ室、原子炉補機冷却海水ポンプ出口ストレーナ室及び原子炉補機冷却水管ダクトのうち、耐震評価がより厳しい原子炉補機冷却海水管ダクトのフライテイを地震 PRA で考慮済みである。	地震 PRA で考慮
取水ピットボンプ室、原子炉補機冷却海水管ダクトなどの損傷による最終ヒートシンク喪失への影響		

第3.2.1.a-2 表 地震による事故シナリオのスクリーニング（4/5）  
②本震による炉心損傷事故に間接的に繋がりうる事故シナリオ  
-地震特有の現象による運転操作の阻害及び地震時の安全機能への人的過誤の影響

事故シナリオ	分析	スクリーニング結果
地震発生前（施設の計画、設計、材料選定、製作、組立、完成検査）のみ	<ul style="list-style-type: none"> <li>原子炉施設の安全性、信頼性及び点検保守上の要求を満足するため、設計・製作・施工段階における品質保証活動で適正に管理されている。</li> <li>万が一、これらのミスがあつたとしても、多重性を備えた設備の全てに同様のミスが発生する可能性は小さいと考えられる。</li> <li>また、地震 PRA では保守的に多重設備の損傷の完全相関を想定している。</li> </ul>	工学的判断により除外
地震中、地震後の操作員、構内勤務者、周辺関係者（送電関係など）のみオペレーション	<ul style="list-style-type: none"> <li>地震により原子炉はトリップされ、プラントは長期炉心冷却モードに移行する。この安全停止のための運転員操作は地震収束後であり、運転員の操作は可能である。</li> <li>地震により炉心損傷に至るような事象が発生したとしても、地震 PRA で期待する運転員による緩和操作は中央制御室近傍で可能である。</li> <li>ただし、運転員以外の人員による操作は必要ないため考慮しない。</li> </ul>	地震 PRA で考慮
変圧器などの碍子類の損傷によるサイト電源の停電に伴うバッカアップ操作の支障	<ul style="list-style-type: none"> <li>現場での復旧操作には期待していないため停電の影響はない。</li> <li>中央制御室への影響も、非常用照明が備えられているため、小さいと考えられる。</li> <li>非常用母線及び常用母線からの給電ができない場合のバックアップ操作（ディーゼル発電機の起動等）は、運転要領（緊急処置編）に従い、中央制御室近傍で操作可能である。</li> </ul>	地震 PRA で考慮
地盤液状化、よう壁損傷による構内通行支障	<ul style="list-style-type: none"> <li>安全上重要な設備は中央制御室より操作できるため問題にならないと考えられる。</li> </ul>	除外
二次部材損傷による操作員等従業員への影響	<ul style="list-style-type: none"> <li>施設内の損壊物や地盤動による飛来物が運転員等を傷付け、操作を妨げる可能性があるが、中央制御室付近において、運転員操作を著しく妨げると、物体は基本的にはなく、プラントウォータンにより、アクセルートを塞いでしまう設備がないことを確認している。</li> </ul>	除外

第3.2.1.a-2表 地震による事故シナリオのスクリーニング（5/5）

③余震に係る事故シナリオ 事故シナリオ	分析	スクリーニング結果
本震直後の余震による炉心損傷への影響	<ul style="list-style-type: none"> <li>本震と比較して、余震のハザード又は建屋・構築物及び機器・配管系の損傷に対する影響が無視できない場合、本震と余震の地震動を連続して受けた場合の事故シナリオを分析して炉心損傷頻度を評価する必要がある。</li> <li>しかし、これららの評価技術は研究段階にあり、評価方法の詳細及び評価例などに関する情報が非常に少ないため、余震による炉心損傷への影響評価方法を体系的に示すには至っていない。（補足3.2.1.a-4）</li> <li>確率論的地震ハザード評価では余震を除外し、本震で発生頻度が評価されている。また、本震を上回るような余震の可能性は低い。</li> <li>本震後は原子炉はトリップされ、運転要領（緊急処置編）に従い安全停止に移行するため、余震が発生したとしても影響はない。</li> </ul>	除外（今後の課題）
④経年変化に係る事故シナリオ 事故シナリオ	分析	スクリーニング結果
経年変化事象を考慮した場合の炉心損傷への影響	<ul style="list-style-type: none"> <li>予防保全等で設計想定以上の劣化が予測された場合は補修や交換がなされる。</li> </ul>	除外

第3.2.1.a-3表 地震により発生する起因事象の検討結果（1/2）

	起因事象	地震 PRA における検討結果	評価対象
	大破断 LOCA	地震による原子炉冷却材圧力バウンタリを構成する設備の損傷により、冷却材喪失が発生する。	○：対象 ×：対象外
	中破断 LOCA		○
	小破断 LOCA		○
内部事象 PRA で選定した起因事象	インターフェイスシステム LOCA	地震により多重の余熱除去系隔離弁（電動弁）が同時に誤開するような状況は稀有であり、また地震により弁体内部破損のような構造損傷が発生するよりも弁と接続する配管の構造損傷の方が先行して発生すると考えられ、配管破損であれば隔離弁は健全な可能性が高く隔離機能に期待できるため、インターフェイスシステム LOCA は評価対象外とする。	×
	主給水流量喪失	地震による主給水系の損傷により主給水流量喪失が発生する。	○
	外部電源喪失	地震による外部電源設備の損傷により外部電源喪失が発生する。	○
	ATWS	地震による原子炉トリップが必要な起因事象発生時に原子炉トリップに失敗し ATWS が発生する。	○
	2 次冷却系の破断	地震による主蒸気ライン配管又はライン上の付帯機器の損傷により 2 次冷却系が喪失する。	○
	蒸気発生器伝熱管破損	地震による蒸気発生器伝熱管の 1 本破損が考えられるが、より事象進展の厳しい格納容器バイパスに包絡される。	(○)
	過渡事象	地震による本事象の発生は考えられるが、地震が発生している状況においては、同様の緩和策で対応可能な主給水流量喪失で代表する。	(○)
	原子炉補機冷却機能喪失	地震による原子炉補機冷却水系又は原子炉補機冷却海水系の損傷により原子炉補機冷却機能喪失が発生する。	○
	手動停止	地震による原子炉トリップを想定するため、手動停止は評価対象外とする。	×

※ (○) は評価対象とした起因事象に包絡されることを示す。

第3.2.1.a-3表 地震により発生する起因事象の検討結果（2/2）

	起因事象	地震 PRA における検討結果	評価対象
	格納容器バイパス	地震による蒸気発生器伝熱管の複数破損が発生し、格納容器バイパスが発生する。	○：対象外 ×：対象外
	大破断 LOCA を上回る規模の LOCA (Excess LOCA)	地震による原子炉容器等の損傷が発生し、ECCS 容量を超える冷却材喪失が発生する。	○
	原子炉建屋損傷	地震による原子炉建屋又は原子炉格納容器損傷に伴い、大規模な LOCA 及び広範囲の緩和設備の機能が発生する。	○
	原子炉補助建屋損傷	地震による原子炉補助建屋損傷に伴い、建屋内の運転コンソール及び直流電源等が喪失する。	○
	電動弁損傷による原子炉補機冷却機能喪失	地震による原子炉補機冷却水系統の C ヘッダに設置されている隔離弁（電動弁）の損傷が発生し、原子炉補機冷却機能喪失が発生する。	○
	1 次系流路閉塞による 2 次系除熱機能喪失	地震による炉内構造物等の損傷が発生し、蒸気発生器による自然循環を用いた炉心冷却機能が喪失する。	○
地震 PRA 特有の起因事象	複数の信号系損傷	地震による運転コンソール等の損傷が発生し、複数の信号系が損傷する。	○
	燃料集合体及び制御棒クラスタ損傷による原子炉停止機能喪失	地震による燃料集合体及び制御棒クラスタの損傷が発生し、原子炉停止機能喪失が発生する。	○

第3.2.1.a-4表 建屋・機器選定のステップ(1/2)

ステップ	機器	内容(内部事象出力時レベル1 PRA)	
		建屋	屋外重要土木構造物
1-1	<ul style="list-style-type: none"> <li>・ランダム故障をきつかけとして炉心損傷に至る起因事象を選定。</li> </ul>	—	—
1-2	<ul style="list-style-type: none"> <li>・各起因事象について、事象の影響緩和に必要な機能を抽出し、イベントツリーを作成して、収束シナリオを特定。</li> </ul>	—	—
1-3	<p>・系統図等をもとに炉心損傷頻度を評価する上で有意な影響が考えられない機器を除外。</p> <p>【考え方】：炉心損傷頻度を評価する上で有意な影響がないこと</p> <p>【対象】：小口径枝管の配管、弁等</p>	—	—
1-4	<ul style="list-style-type: none"> <li>・フォールトツリーを作成して関連する設備を抽出し、機器リストを作成。</li> </ul>	—	—

第3.2.1.a-4表 建屋・機器選定のステップ(2/2)

ステップ	機器	内容(地震PRA)
	建屋	屋外重要土木構築物
2-1	内部事象出力時レベル1 PRAの結果に以下の追加を検討。 ・地震で損傷した際に起因事象を発生させる機器／建屋／屋外重要土木構築物 ・起因事象発生後に事象を緩和させる機器／建屋／屋外重要土木構築物 〔考え方〕：①地震動による安全上重要な建物、構築物、配管等の大型静的機器の損傷に伴い、緩和設備によって事象の進展を抑制できず、炉心損傷に至る機器／建屋／屋外重要土木構築物を追加 ②地震動による安全機能への広範な影響を及ぼす計装・制御系、非常用系を追加	〔対象〕：①原子炉容器、炉内構造物、燃料 〔対象〕：①原子炉建屋、原子炉補助建屋等を追加 ②電気盤(メタクラ、運転コントロール)等を追加 ②追加なし 〔対象〕：①原子炉補機冷却海水管ダクト等を追加 ②追加なし
2-2	内部事象出力時レベル1 PRAの結果から以下の削除を検討。 〔考え方〕：地震が発生した場合に期待できない機器／建屋／土木構築物を削除 〔対象〕：タービンバイパス弁 〔対象〕：削除なし 等を削除	〔対象〕：削除なし 〔対象〕：削除なし
2-3	プラントウォーターダウンにより二次的な影響を及ぼす機器／建屋／屋外重要土木構築物の追加を検討。 〔考え方〕：地震 PSA 学会標準及び過去に実施した当社のプラントウォーターダウン実績をもとに、重要事故シーケンス選定に当たつて確認が必要な機器を抽出し、以下の観点で影響機器の有無を確認 ・倒壊により被害を受けないか ・周辺機器の損傷時、周辺機器の保有水による影響はないか 等 〔対象〕：追加なし 〔対象〕：追加なし 等	〔対象〕：追加なし 〔対象〕：追加なし

第3.2.1.a-5表 地震PRA評価対象建屋・機器リスト(1/32)

起因事象/ 影響緩和機能	機器名称	損傷モード	評価部位	泊3号炉	
				中央値(G) $\beta_r$	HCLPF(G) $\beta_u$
CVバイパス	蒸気発生器内部構造物	構造損傷	伝熱管(面内)	2.55 0.31	0.92 0.31
原子炉建屋損傷	原子炉建屋	構造損傷	-	2.38 0.33	1.08 0.15
Excess-L0CA	原子炉容器	構造損傷	サポートシユ(①部)	1.77 0.19	0.95 0.19
Excess-L0CA	一次冷却材管	構造損傷	ホットレグ	2.63 0.19	1.41 0.19
Excess-L0CA	1次冷却材ポンプ	構造損傷	フランケット(①部)(RCP-U-C-2)	2.23 0.27	0.93 0.27
Excess-L0CA	炉内計装引出管	構造損傷	コンジットチューブ	4.33 0.31	1.57 0.31
Excess-L0CA	制御棒駆動装置	構造損傷	制御棒駆動装置耐圧部	2.08 0.25	0.93 0.25
原子炉格納容器損傷	原子炉格納容器	構造損傷	リングガータ下端部(C点)	2.44 0.19	1.20 0.25
Excess-L0CA	蒸気発生器本体	構造損傷	冷却材入口管台	2.66 0.19	1.42 0.19
原子炉補助建屋損傷	原子炉補助建屋	構造損傷	-	2.84 0.16	1.71 0.15

第3.2.1.a-5表 地震PRA評価対象建屋・機器リスト(2/32)

起因事象/ 影響緩和機能	機器名称	損傷モード	評価部位	泊3号炉	
				中央値(G) $\beta_r$	HCLPF(G) $\beta_u$
最終ヒートシンク喪失	電動弁	機能損傷	-	2.79 0.27	1.16 0.26
最終ヒートシンク喪失		構造損傷	-	- -	- -
複数の信号系損傷	安全系現場制御監視盤	機能損傷	-	3.06 0.22	1.37 0.27
複数の信号系損傷		構造損傷	基礎ボルト	20.21 0.19	10.58 0.21
複数の信号系損傷	運転コントール	機能損傷	-	2.51 0.14	1.37 0.23
複数の信号系損傷		構造損傷	基礎溶接部	1.76 0.09	1.07 0.23
複数の信号系損傷	中央制御室外原子炉停止盤	機能損傷	-	11.59 0.14	6.37 0.23
複数の信号系損傷		構造損傷	基礎ボルト	62.74 0.09	42.07 0.17
複数の信号系損傷	工学的安全施設作動盤	機能損傷	-	3.06 0.22	1.37 0.27
複数の信号系損傷		構造損傷	基礎ボルト	20.21 0.19	10.58 0.21

第3.2.1.a-5表 地震PRA評価対象建屋・機器リスト(3/32)

起因事象/ 影響緩和機能	機器名称	損傷モード	評価部位	泊3号炉	
				中央値(G) $\beta_r$	HCLPF(G) $\beta_u$
複数の信号系損傷	原子炉安全保護盤	機能損傷	-	3.06	1.37
		構造損傷	基礎ボルト	0.22 0.27 20.21	0.19 10.58
複数の信号系損傷	1次系流路閉塞による2次系除 熱機能喪失	構造損傷	制御棒クラスタ案内管	0.21 16.83	0.25 7.32
		構造損傷	下部炉心支持板 【鉛直のみ】	0.27 1.62 0.25	0.31 0.65 0.27
複数の信号系損傷	1次系流路閉塞による2次系除 熱機能喪失	ケーブルレイ	-	2.42 0.19	0.31 1.07
		ソレノイド分電盤	機能損傷	-	3.01 0.14 0.23
複数の信号系損傷	複数の信号系損傷	構造損傷	取付ボルト	41.82 0.09	28.04
		機能損傷	-	0.17 8.43	0.14 4.63
複数の信号系損傷	共通要因故障対策操作盤	構造損傷	据付ボルト	8.71 0.09	0.23 5.84
		-	-	0.17	

第3.2.1.a-5表 地震PRA評価対象建屋・機器リスト(4/32)

起因事象／影響緩和機能	機器名称	損傷モード	評価部位	泊3号炉	
				中央値(G) $\beta_r$	HCLPF(G) $\beta_u$
複数の信号系損傷	ATWS 対策設備(共通要因故障対策盤) (自動制御盤)(CMFP)	機能損傷	-	8.43 0.14	4.63 0.23
複数の信号系損傷		構造損傷	据付ボルト	8.71 0.09	5.84 0.17
複数の信号系損傷	安全系マルチブレーカ	機能損傷	-	3.06 0.22	1.37 0.27
複数の信号系損傷		構造損傷	基礎ボルト	20.21 0.19	10.58 0.21
複数の信号系損傷	安全系FDPプロセッサ	機能損傷	-	3.06 0.22	1.37 0.27
複数の信号系損傷		構造損傷	基礎ボルト	20.21 0.19	10.58 0.21
複数の信号系損傷	共通要因故障対策 EP 盤室操作盤	機能損傷	-	10.16 0.14	5.58 0.23
複数の信号系損傷		構造損傷	取付ボルト	41.82 0.09	28.04 0.17
複数の信号系損傷	電磁弁ラック	機能損傷	-	4.16 0.14	2.28 0.23
複数の信号系損傷		構造損傷	取付ボルト	41.82 0.09	28.04 0.17

第3.2.1.a-5表 地震PRA評価対象建屋・機器リスト(5/32)

起因事象／影響緩和機能	機器名称	損傷モード	評価部位	泊3号炉	
				中央値(G) $\beta_r$	HCLPF(G) $\beta_u$
複数の信号系損傷	逆止弁	機能損傷	-	2.79 0.27 0.26	1.16
複数の信号系損傷		構造損傷	-	- - -	-
地震 AT+制御棒挿入不能	燃料集合体	構造損傷	燃料被覆管 過渡変化時 寿命初期	1.91 0.19 0.25	0.94
地震 AT+制御棒挿入不能	制御棒クラスタ	構造損傷	制御棒被覆管 (全引き状態)	2.01 0.09 0.23	1.22
大破断 LOCA	一次冷却材管	構造損傷	14B 1次冷却材管加压器サーチ管台	1.99 0.25 0.25	0.89
大破断 LOCA	加压器	構造損傷	上部支持構造物埋込金物 基礎ボルト PR-1	2.14 0.25 0.32	0.86
大破断 LOCA	RHR 高温側吸込み配管	構造損傷	配管本体	4.77 0.31 0.35	1.61
大破断 LOCA	加压器サーチ管	構造損傷	配管本体	4.77 0.31 0.35	1.61
大破断 LOCA	蓄圧タンク注入配管(C/L側)	構造損傷	配管本体	4.77 0.31 0.35	1.61
大破断 LOCA	低圧注入配管(C/L側)	構造損傷	配管本体	4.77 0.31 0.35	1.61

第3.2.1.a-5表 地震PRA評価対象建屋・機器リスト(6/32)

起因事象/ 影響緩和機能	機器名称	損傷モード	評価部位	泊3号炉	
				中央値(G) $\beta_r$	HCLPF(G) $\beta_u$
中破断LOCA	一次冷却材管	構造損傷	6B 安全注入管台	1.48 0.25	0.66 0.25
中破断LOCA	余熱除去ポンプ高温側注入配管	構造損傷	配管本体	4.77 0.31	1.61 0.35
中破断LOCA	SIS 高圧注入ポンプ高温側注入配管	構造損傷	配管本体	4.77 0.31	1.61 0.35
中破断LOCA	高压注入系配管(C/L側)	構造損傷	配管本体	4.77 0.31	1.61 0.35
中破断LOCA	充てん注入ライン配管(C/L側)	構造損傷	配管本体	4.77 0.31	1.61 0.35
中破断LOCA	加圧器スプレーライン配管	構造損傷	配管本体	4.77 0.31	1.61 0.35
中破断LOCA	CVCS 抽出配管	構造損傷	配管本体	4.77 0.31	1.61 0.35
小破断LOCA	原子炉容器	構造損傷	空気抜管	1.69 0.25	0.76 0.25
小破断LOCA	一次冷却材管	構造損傷	2B 余剰抽出管台	2.32 0.25	1.04 0.25
小破断LOCA	加圧器	構造損傷	スプレーライン用管台 セーフエンド	2.13 0.25	0.96 0.25

第3.2.1.a-5表 地震PRA評価対象建屋・機器リスト(7/32)

起因事象/ 影響緩和機能	機器名称	損傷モード	評価部位	泊3号炉	
				中央値(G) $\beta_r$	HCLPF(G) $\beta_u$
小破断 LOCA	RCS 加圧器スプレイヘッダライン配管	構造損傷	配管本体	5.12 0.31	1.73 0.35
小破断 LOCA	加圧器補助スプレイ配管	構造損傷	配管本体	5.12 0.31	1.73 0.35
小破断 LOCA	格納容器冷却材ドレン配管	構造損傷	配管本体	5.12 0.31	1.73 0.35
小破断 LOCA	SS サンブル冷却器注入配管	構造損傷	配管本体	5.12 0.31	1.73 0.35
小破断 LOCA	余剰抽出冷却器注入ライン配管	構造損傷	配管本体	5.12 0.31	1.73 0.35
小破断 LOCA	RV頂部ペントライン配管	構造損傷	配管本体	5.12 0.31	1.73 0.35
小破断 LOCA	加圧器安全弁配管	構造損傷	配管本体	5.12 0.31	1.73 0.35
小破断 LOCA	加圧器逃がし弁配管	構造損傷	配管本体	5.12 0.31	1.73 0.35
小破断 LOCA	加圧器安全弁(安全弁 3V-RC-055, 056, 057)	構造損傷	-	-	-
小破断 LOCA	加圧器逃がし弁(空気作動弁 3PCV-452A, B)	構造損傷	-	-	-

第3.2.1.a-5表 地震PRA評価対象建屋・機器リスト(8/32)

起因事象/ 影響緩和機能	機器名称	損傷モード	評価部位	泊3号炉	
				中央値(G) $\beta_r$	HCLPF(G) $\beta_u$
2次系破断	蒸気発生器	構造損傷	給水入口管台	2.04 0.19	1.09 0.19
2次系破断	主蒸気ライン配管	構造損傷	配管本体	3.34 0.27	1.38 0.27
2次系破断	3A, B, C-主蒸気逃がし弁(空気作動弁 3PCV-3610, 3620, 3630	構造損傷	-	- - -	- - -
2次系破断	主蒸気安全弁(安全弁3V-MS- 521A, B, C~525A, B, C)	構造損傷	-	- - -	- - -
2次系破断	3-タービン動補助給水ポンプ駆動蒸 気入口弁 A, B(電動弁 3V-MS-582A, B)	構造損傷	-	- - -	- - -
2次系破断	3A, B, C-主蒸気隔壁弁(電磁弁を含 む)(空気作動弁 3V-MS-528A, B, C)	構造損傷	-	- - -	- - -
外部電源系	外部電源系	工学的判断	-	0.30 0.25 0.50	0.09 0.22 0.27
125V DC電源	直流コントロールセンタ	機能損傷	-	2.16 0.22	0.97 0.27
125V DC電源		構造損傷	基礎溶接部	9.28 0.19	4.86 0.21

第3.2.1.a-5表 地震PRA評価対象建屋・機器リスト(9/32)

起因事象/ 影響緩和機能	機器名称	損傷モード	評価部位	泊3号炉	
				中央値(G) $\beta_r$	HCLPF(G) $\beta_u$
125V DC電源	補助建屋直流分電盤	機能損傷	-	3.01	1.65
		構造損傷	取付ボルト	0.14 0.23 25.09 0.09	0.23 0.17 16.82
125V DC電源(バッテリ)	蓄電池	構造損傷	基礎溶接部	2.57 0.09	1.56
		機能損傷	-	0.23 3.18 0.22 0.27	0.23 1.43
6.6kV非常用電源	6.6kVメータラ	構造損傷	基礎ボルト	7.17 0.19 0.21	3.75
		機能損傷	-	1.63 0.13 0.19	0.99
6.6kV非常用電源	ディーゼル発電機	構造損傷	中間台取付ボルト	3.44 0.08 0.17	2.35
		機能損傷	-	1.63 0.13 0.19	0.99
6.6kV非常用電源 DG	内燃機関(ディーゼル機関)	構造損傷	基礎ボルト	6.96 0.08 0.17	4.75
		機能損傷	-	0.19 5.43 0.31	0.19 1.84
6.6kV非常用電源 DG	DG関連配管 (燃料油配管等)	構造損傷	配管本体	0.35	
		機能損傷	-		

第3.2.1.a-5表 地震PRA評価対象建屋・機器リスト(10/32)

起因事象/ 影響緩和機能	機器名称	損傷モード	評価部位	泊3号炉	
				中央値(G) $\beta_r$	HCLPF(G) $\beta_u$
6. 6kV 非常用電源 DG	ディーゼル発電機用励磁機	機能損傷	-	2.06	0.92
		構造損傷	基礎ボルト	0.22 0.27 10.71	0.19 0.21
6. 6kV 非常用電源 DG	清水タンク	構造損傷	-	-	-
		構造損傷	-	-	-
6. 6kV 非常用電源 DG	清水冷却器	構造損傷	-	-	-
		構造損傷	-	-	-
6. 6kV 非常用電源 DG	燃料油こし器	構造損傷	-	-	-
		構造損傷	-	-	-
6. 6kV 非常用電源 DG	潤滑油こし器	構造損傷	-	-	-
		構造損傷	-	-	-
6. 6kV 非常用電源 DG	潤滑油冷却器	構造損傷	-	-	-
		構造損傷	-	-	-
6. 6kV 非常用電源 DG	潤滑油タンク	構造損傷	-	-	-
		構造損傷	-	-	-
6. 6kV 非常用電源 DG	ディーゼル発電機制御盤	機能損傷	-	2.06 0.27	0.92
		構造損傷	基礎ボルト	0.19 0.21	5.61

第3.2.1.a-5表 地震PRA評価対象建屋・機器リスト(11/32)

起因事象/ 影響緩和機能	機器名称	損傷モード	評価部位	泊3号炉	
				中央値(G) $\beta_r$	HCLPF(G) $\beta_u$
6. 6kV 非常用電源 DG	ディーゼル発電機 計器盤-1 (潤滑油温度スイッチ) 計器盤-2(圧力スイッチ)	機能損傷	-	-	-
6. 6kV 非常用電源 DG	ディーゼル発電機コントロールセンタ	構造損傷	-	-	-
6. 6kV 非常用電源 DG	ディーゼル発電機 DG	機能損傷	-	2.16 0.22	0.97 0.27
6. 6kV 非常用電源 DG	燃料油貯油槽タンク室	構造損傷	基礎溶接部	9.09 0.19	4.76 0.21
6. 6kV 非常用電源 DG	燃料油貯油槽	構造損傷	-	損傷確率極小のため スクリーンアワト	
6. 6kV 非常用電源 DG	燃料油移送ポンプ	構造損傷	基礎ボルト	4.98 0.05	3.54 0.17
6. 6kV 非常用電源 DG	燃料油サービスタンク	構造損傷	基礎ボルト	-	-
6. 6kV 非常用電源 DG	燃料油サービスタンク	構造損傷	基礎ボルト	6.58 0.09	4.41 0.17

第3.2.1.a-5表 地震PRA評価対象建屋・機器リスト(12/32)

起因事象/ 影響緩和機能	機器名称	損傷モード	評価部位	泊3号炉	
				中央値(G) $\beta_r$	HCLPF(G) $\beta_u$
6. 6kV 非常用電源 DG	D/G出力電圧計	機能損傷	-	2.06 0.22 0.27	0.92
6. 6kV 非常用電源 DG		構造損傷	-	- - -	-
6. 6kV 非常用電源 DG	空気だめ	構造損傷	胴板	3.14 0.08 0.17	2.14
6. 6kV 非常用電源 DG	始動用電磁弁	機能損傷	-	1.63 0.13 0.19	0.99
6. 6kV 非常用電源 DG	ディーゼル発電機室給気ファン 3VSF39A, B	構造損傷	-	- - -	-
6. 6kV 非常用電源 DG	ディーゼル発電機室給気ファン 3VSG2A	機能損傷	-	2.05 0.13 0.19	1.20
6. 6kV 非常用電源 DG	ディーゼル発電機室給気ファン 3VSG2A	構造損傷	原動機取付ボルト	16.88 0.09 0.17	10.99
6. 6kV 非常用電源 DG	原子炉建屋給気ガラリ	構造損傷	-	3.42 0.31 0.15	1.61
6. 6kV 非常用電源 DG	ディーゼル発電機室換気系タクト	構造損傷	-	- -	-
6. 6kV 非常用電源 DG	タクト本体	構造損傷	タクト本体	2.62 0.31 0.35	0.90

第3.2.1.a-5表 地震PRA評価対象建屋・機器リスト(13/32)

起因事象/ 影響緩和機能	機器名称	損傷モード	評価部位	泊3号炉	
				中央値(G) $\beta_r$	HCLPF(G) $\beta_u$
6. 6kV 非常用電源 DG	ディーゼル発電機室換気系 空気作動ダンパー	機能損傷	ケーシング	2.48 0.19 0.20	1.30
6. 6kV 非常用電源 DG		構造損傷	-	- - -	-
6. 6kV 非常用電源 DG	ディーゼル発電機室換気系 防火ダンバー	機能損傷	ペーン	1.77 0.19 0.20	0.93
6. 6kV 非常用電源 DG		構造損傷	-	- - -	-
6. 6kV 非常用電源 DG	ディーゼル発電機室換気系 逆止ダンバー	機能損傷	駆動部	4.45 0.19 0.20	2.33
6. 6kV 非常用電源 DG		構造損傷	-	- - -	-
6. 6kV 非常用電源 DG	ディーゼル発電機室室內空気温度計 3TS-2747, 2748, 2751, 2752	機能損傷	-	2.39 0.14 0.23	1.29
6. 6kV 非常用電源 DG		構造損傷	-	- - -	-
6. 6kV 非常用電源 DG	ディーゼル発電機室外空気取入風量調節ダンバ流量設定器 3HC-2741	機能損傷	-	6.74 0.14 0.23	3.66
6. 6kV 非常用電源 DG		構造損傷	-	- - -	-

第3.2.1.a-5表 地震PRA評価対象建屋・機器リスト(14/32)

起因事象/ 影響緩和機能	機器名称	損傷モード	評価部位	泊3号炉	
				中央値(G) $\beta_r$	HCLPF(G) $\beta_u$
440V 非常用電源	パワーコントロールセントラル 盤、き電盤(CLN限流装置付)	機能損傷	-	2.01 0.22	0.90 0.27
440V 非常用電源		構造損傷	基礎ボルト	3.27 0.19	1.71 0.21
440V 非常用電源	動力変圧器	機能損傷	-	-	-
440V 非常用電源		構造損傷	基礎ボルト	4.10 0.19	2.05 0.24
440V 非常用電源	原子炉コントロールセンタ	機能損傷	-	2.16 0.22	0.97 0.27
440V 非常用電源		構造損傷	基礎溶接部	9.11 0.19	4.77 0.21
125V DC電源(充電器)		機能損傷	鉛直方向評価	1.23 0.14	0.67 0.23
125V DC電源(充電器)	充電器盤	構造損傷	基礎ボルト	15.94 0.25	7.06 0.26
100V 計装用電源		機能損傷	鉛直方向評価	1.48 0.14	0.81 0.23
100V 計装用電源		構造損傷	-	-	-

第3.2.1.a-5表 地震PRA評価対象建屋・機器リスト(15/32)

起因事象/ 影響緩和機能	機器名称	損傷モード	評価部位	泊3号炉	
				中央値(G) $\beta_r$	HCLPF(G) $\beta_u$
100V 計装用電源	計装用交流分電盤	機能損傷	-	3.01	1.65
		構造損傷	取付ボルト	0.14 0.23 41.82	0.09 28.04
100V 計装用電源	計装用交流電源切換器盤	機能損傷	鉛直方向評価	0.17 3.12	0.17 1.71
		構造損傷	取付ボルト	0.14 0.23 31.37	0.17 0.09 21.03
100V 計装用電源	高压注入ポンプ	機能損傷	基礎ボルト	15.52	10.41
		構造損傷	原動機取付ボルト	0.09 0.17	0.09 0.17
RWSP	余熱除去ポンプ	構造損傷	原動機取付ボルト	9.44	6.33
		構造損傷	原動機取付ボルト	0.09 0.17	0.09 0.17
RWSP	格納容器スプレイポンプ	構造損傷	原動機取付ボルト	27.16	18.21
		構造損傷	配管本体	0.09 0.17 4.70	0.17 0.31 1.59
RWSP	余熱除去系配管	構造損傷	配管本体	0.35 4.70	0.35 1.59
		構造損傷	配管本体	0.31 4.70	0.31 1.59
RWSP	格納容器スプレイ系配管	構造損傷	配管本体	0.35 0.31	0.35 1.59
		構造損傷	配管本体	0.31 4.70	0.31 1.59

第3.2.1.a-5表 地震PRA評価対象建屋・機器リスト(16/32)

起因事象/ 影響緩和機能	機器名称	損傷モード	評価部位	泊3号炉	
				中央値(G) $\beta_r$	HCLPF(G) $\beta_u$
RWSP	燃料取替用水系配管	構造損傷	配管本体	4.70 0.31	1.59 0.35
RWSP	燃料取替用水ピット	構造損傷	-	2.38 0.33	1.08 0.15
RWSP	燃料取替用水ポンプ	構造損傷	基礎ボルト	19.75 0.09	13.25 0.17
RWSP	燃料取替用水加熱器	構造損傷	支持脚	3.41 0.19	1.60 0.27
原子炉トリップ	原子炉トリップ遮断器盤	機能損傷	-	2.25 0.22	1.01 0.27
原子炉トリップ		構造損傷	基礎ボルト	24.14 0.19	12.64 0.21
原子炉トリップ	制御用地震計	機能損傷	-	2.20 0.14	1.21 0.23
原子炉トリップ		構造損傷	-	- -	- -
安全注入信号	格納容器圧力計	機能損傷	鉛直方向評価	3.21 0.14	1.76 0.23
安全注入信号		構造損傷	-	- -	- -

第3.2.1.a-5表 地震PRA評価対象建屋・機器リスト(17/32)

起因事象/ 影響緩和機能	機器名称	損傷モード	評価部位	泊3号炉	
				中央値(G) $\beta_r$	HCLPF(G) $\beta_u$
安全注入信号	加圧器圧力計	機能損傷	鉛直方向評価	1.78 0.14	0.98 0.23
		構造損傷	-	-	-
安全注入信号	原子炉補機冷却水ポンプ	機能損傷	-	1.70 0.13	1.02 0.19
		構造損傷	原動機取付ボルト	9.05 0.09	6.07 0.17
補機冷却系	補機冷却水系配管	構造損傷	配管本体	5.43 0.31	1.84 0.35
		構造損傷	基礎ボルト	2.76 0.09	1.85 0.17
補機冷却系	原子炉補機冷却水サーボタンク	構造損傷	-	2.29 0.09	1.53 0.17
		構造損傷	胴	2.23 0.09	1.49 0.17
補機冷却系	余熱除去冷却器	構造損傷	胴	2.84 0.09	1.90 0.17
		構造損傷	胴板	2.34 0.19	1.13 0.26
補機冷却系	格納容器スプレイ冷却器	構造損傷	-	-	-
		構造損傷	-	-	-
補機冷却系	使用済燃料ピット冷却器	構造損傷	胴板	2.84 0.09	1.90 0.17
		構造損傷	溶接部	2.34 0.19	1.13 0.26

第3.2.1.a-5表 地震PRA評価対象建屋・機器リスト(18/32)

起因事象/ 影響緩和機能	機器名称	損傷モード	評価部位	泊3号炉	
				中央値(G) $\beta_r$	HCLPF(G) $\beta_u$
補機冷却系	格納容器雰囲気ガスサンプル冷却器	構造損傷	溶接部	3.04 0.19	1.45 0.26
補機冷却系	制御用空気圧縮機	構造損傷	基礎ボルト	15.52 0.09	10.41 0.17
低圧注入系	余熱除去ポンプ	機能損傷	-	1.72 0.13	1.03 0.19
低圧注入系	余熱除去ポンプ出口流量計	機能損傷	鉛直方向評価	2.91 0.14	1.59 0.23
低圧注入系		構造損傷	-	- -	- -
格納容器スプレイ注入系	格納容器圧力計	機能損傷	鉛直方向評価	3.21 0.14	1.76 0.23
格納容器スプレイ注入系		構造損傷	-	- -	- -
格納容器スプレイ注入系	格納容器スプレーリング	構造損傷	配管本体	4.70 0.31	1.59 0.35
格納容器スプレイ注入系	格納容器スライポンプ	機能損傷	-	1.72 0.13	1.03 0.19
格納容器スプレイ注入系	よう素除去薬品タンク	構造損傷	基礎ボルト	4.10 0.09	2.75 0.17

第3.2.1.a-5表 地震PRA評価対象建屋・機器リスト(19/32)

起因事象/ 影響緩和機能	機器名称	損傷モード	評価部位	泊3号炉	
				中央値(G) $\beta_r$	HCLPF(G) $\beta_u$
補助給水系	補助給水系配管	構造損傷	配管本体	5.43 0.31	1.84 0.35
補助給水系	補助給水ピット	構造損傷	-	2.38 0.33	1.08 0.15
補助給水系	蒸気発生器水位計(狭域)	機能損傷	鉛直方向評価	1.78 0.14	0.98 0.23
補助給水系		構造損傷	-	- -	- -
補助給水系	電動補助給水ポンプ	構造損傷	ポンプ取付ボルト	19.06 0.09	12.78 0.17
補助給水系	3A, B, C-主蒸気隔壁弁(電磁弁を含む)(空氣作動弁3V-MS-528A, B, C)	機能損傷	-	2.79 0.27	1.16 0.26
補助給水系	タービン動輪制給水ポンプ	構造損傷	基礎ボルト	18.11 0.09	12.14 0.17
補助給水系	主蒸気ライン圧力計	機能損傷	鉛直方向評価	1.69 0.14	0.92 0.23
補助給水系		構造損傷	-	- -	- -
海水系	海水系配管	構造損傷	配管本体	5.43 0.31	1.84 0.35

第3.2.1.a-5表 地震PRA評価対象建屋・機器リスト(20/32)

起因事象/ 影響緩和機能	機器名称	損傷モード	評価部位	泊3号炉	
				中央値(G) $\beta_r$	HCLPF(G) $\beta_u$
海水系	原子炉補機冷却水冷却器	構造損傷	側板	4.30 0.19	2.18 0.23
海水系	原子炉補機冷却海水ポンプ	機能損傷	電動機上部軸受	2.33 0.23	1.02 0.27
海水系	空調用冷凍機 3CHE1A, B	構造損傷	電動機支え台取合ボルト	13.81 0.23	6.02 0.28
海水系	海水取水ラック/構造物(取水ピット ポンプ室、原子炉補機冷却海水ポン プ出ロストレーナ室、原子炉補機冷 却海水管ダクト上)	構造損傷	基礎(取付)ボルト	9.87 0.09	6.62 0.17
海水系	原子炉補機冷却海水入口ストレーナ	構造損傷	基礎ボルト	6.94 0.17	4.53 0.12
再循環切替	燃料取替用水ピット水位計	機能損傷	鉛直方向評価	1.91 0.14	1.05 0.23
再循環切替		構造損傷	-	-	-
再循環切替	格納容器再循環サンプ	構造損傷	-	2.38 0.33	1.08 0.15
再循環切替	格納容器再循環サンプ配管	構造損傷	配管本体	4.70 0.31	1.59 0.35

追而【原子炉補機冷却海水管ダクトのフライワイヤは暫定値】

第3.2.1.a-5表 地震PRA評価対象建屋・機器リスト(21/32)

起因事象/ 影響緩和機能	機器名称	損傷モード	評価部位	泊3号炉	
				中央値(G) $\beta_r$	HCLPF(G) $\beta_u$
再循環切替	格納容器再循環サンプクリーン	構造損傷	モジュール テンションロッド	1.95 0.09 0.23	1.19
再循環切替		機能損傷	-	2.29 0.13 0.19	1.35
再循環切替	安全補機室冷却ファン 3VST70A	構造損傷	基礎(取付)ボルト	6.55 0.09 0.17	4.26
再循環切替	安全補機室冷却系ダクト(手動ダンバ含む)	構造損傷	ダクト本体	2.62 0.31 0.35	0.90
再循環切替	安全補機室空調系 空気作動ダンバ	機能損傷	ケーシング	2.48 0.19 0.20	1.30
再循環切替		構造損傷	-	- - -	-
再循環切替	安全補機室空調系 防火ダンバ	機能損傷	ベース	1.77 0.19 0.20	0.93
再循環切替		構造損傷	-	- - -	-
再循環切替	安全補機室空調系 逆止ダンバ	機能損傷	駆動部	4.45 0.19 0.20	2.33
再循環切替		構造損傷	-	- - -	-

第3.2.1.a-5表 地震PRA評価対象建屋・機器リスト(22/32)

起因事象/ 影響緩和機能	機器名称	損傷モード	評価部位	泊3号炉	
				中央値(G) $\beta_r$	HCLPF(G) $\beta_u$
再循環切替	安全補機室空調系 逆止弁 3V-VS-921A	機能損傷	-	2.79 0.27	1.16 0.26
再循環切替		構造損傷	-	- - -	- - -
再循環切替	余熱除去冷却器室室内空気溫度計 3TS-2631, 2632	機能損傷	-	4.26 0.14 0.23	2.31 0.14 0.23
再循環切替		構造損傷	-	- - -	- - -
再循環切替	格納容器スプレイポンプ室内空気 温度計 3TS-2633	機能損傷	-	5.42 0.14 0.23	2.94 0.14 0.23
再循環切替		構造損傷	-	- - -	- - -
高压注入系	高压注入ポンプ	機能損傷	-	1.72 0.13 0.19	1.03 0.13 0.19
高压注入系	ほう酸注入タンク循環ライン出口第1止め弁(空気作動弁 3V-SI-145), 第2止め弁(空気作動弁 3V-SI-146)	機能損傷	-	2.79 0.27 0.26	1.16 1.16 1.16
高压注入系	ほう酸注入タンク	構造損傷	-	- -	- -
高压注入系		基礎ボルト	基礎ボルト	2.29 0.19 0.21	1.20 1.20 1.20

第3.2.1.a-5表 地震PRA評価対象建屋・機器リスト(23/32)

起因事象/ 影響緩和機能	機器名称	損傷モード	評価部位	泊3号炉	
				中央値(G) $\beta_r$	HCLPF(G) $\beta_u$
制御用空気系	制御用空気除湿装置	構造損傷	胴板	8.09 0.09	5.42 0.17
制御用空気系	制御用空気圧縮機盤	機能損傷	鉛直方向評価	3.70 0.14	2.03 0.23
制御用空気系		構造損傷	取付ボルト	62.74 0.09	42.07 0.17
制御用空気系	制御用空気圧縮機容量調節盤	機能損傷	-	4.36 0.14	2.39 0.23
制御用空気系		構造損傷	取付ボルト	41.82 0.09	28.04 0.17
制御用空気系	制御用空気系配管	構造損傷	配管本体	5.43 0.31	1.84 0.35
制御用空気系	制御用空気だめ	構造損傷	胴板	5.25 0.09	3.52 0.17
制御用空気系	制御用空気圧縮機	機能損傷	-	2.39 0.13	1.43 0.19
制御用空気系		機能損傷	鉛直方向評価	2.29 0.14	1.26 0.23
制御用空気系	制御用空気ヘッダ圧力計	構造損傷	-	-	-

第3.2.1.a-5表 地震PRA評価対象建屋・機器リスト(24/32)

起因事象/ 影響緩和機能	機器名称	損傷モード	評価部位	泊3号炉	
				中央値(G) $\beta_r$	HCLPF(G) $\beta_u$
制御用空気系	制御用空気圧縮機室給氣ファン 3VSF42A	機能損傷	-	2.05	1.20
		構造損傷	原動機取付ボルト	0.13 0.19 26.82	0.19 0.09 17.46
制御用空気系	制御用空気圧縮機室空調系 動ダンバ	機能損傷	ケーリング	0.17 2.48	0.17 0.19 1.30
		構造損傷	-	0.20 -	- -
制御用空気系	制御用空気圧縮機室給排氣系ダクト	構造損傷	ダクト本体	2.62 0.31	0.90 0.35
		機能損傷	ペーン	1.77 0.19	0.93 0.20
制御用空気系	制御用空気圧縮機室空調系 シバ	構造損傷	-	-	-
		機能損傷	-	-	-
制御用空気系	制御用空気圧縮機室空調系 逆止ダ	構造損傷	駆動部	4.45 0.19	2.33 0.20
		機能損傷	-	-	-
制御用空気系	制御用空気圧縮機室空調系 シバ 3G-VS-431A	構造損傷	-	-	-
		機能損傷	-	-	-

第3.2.1.a-5表 地震PRA評価対象建屋・機器リスト(25/32)

起因事象/ 影響緩和機能	機器名称	損傷モード	評価部位	泊3号炉	
				中央値(G) $\beta_r$	HCLPF(G) $\beta_u$
制御用空気系	制御用空気圧縮機室室内空気温度計 3TS-2702, 2703	機能損傷	-	4.06 0.14 0.23	2.20
制御用空気系		構造損傷	-	-	-
制御用空気系	制御用空気圧縮機室外空気取入風量調節ダンバ流量設定器 3HC-2701	機能損傷	-	7.46 0.14 0.23	4.05
加圧器圧力制御系	加圧器安全弁(安全弁 3V-RC-055, 056, 057)	機能損傷	-	3.69 0.27 0.26	1.57
加圧器圧力制御系	加圧器遮がし弁(空気作動弁 3PCV-452A, B)	機能損傷	-	2.79 0.27 0.26	1.16
主蒸気圧力制御系	3A, B, C-主蒸気逃がし弁(空気作動弁 3PCV-3610, 3620, 3630)	機能損傷	-	2.26 0.27 0.31	0.89
電動補助給水ポンプ	電動補助給水ポンプ	機能損傷	-	1.70 0.13 0.19	1.02
電動補助給水ポンプ	電動補助給水ポンプ出口流量調節弁盤	機能損傷	鉛直方向評価	4.07 0.14 0.23	2.23
電動補助給水ポンプ		構造損傷	基礎ボルト	27.62 0.19 0.21	14.46

第3.2.1.a-5表 地震PRA評価対象建屋・機器リスト(26/32)

起因事象/ 影響緩和機能	機器名称	損傷モード	評価部位	泊3号炉	
				中央値(G) $\beta_r$	HCLPF(G) $\beta_u$
電動補助給水ポンプ	電動補助給水ポンプ室給氣ファン 3VSP40A	機能損傷	-	2.05 0.13	1.20 0.19
電動補助給水ポンプ		構造損傷	原動機取付ボルト	26.82 0.09	17.46 0.17
電動補助給水ポンプ	電動補助給水ポンプ室給排気系ダクト (手動ダンバ含む)	構造損傷	ダクト本体	2.62 0.31	0.90 0.35
電動補助給水ポンプ	電動補助給水ポンプ室換気系 作動ダンバ	機能損傷	ケーシング	2.48 0.19	1.30 0.20
電動補助給水ポンプ		構造損傷	-	-	-
電動補助給水ポンプ	電動補助給水ポンプ室換気系 ダンバ	機能損傷	ベン	1.77 0.19	0.93 0.20
電動補助給水ポンプ		構造損傷	-	-	-
電動補助給水ポンプ	電動補助給水ポンプ室換気系 ダンバ	機能損傷	駆動部	4.45 0.19	2.33 0.20
電動補助給水ポンプ		構造損傷	-	-	-

第3.2.1.a-5表 地震PRA評価対象建屋・機器リスト(27/32)

起因事象/ 影響緩和機能	機器名称	損傷モード	評価部位	泊3号炉	
				中央値(G) $\beta_r$	HCLPF(G) $\beta_u$
電動補助給水ポンプ	電動補助給水ポンプ 計 3TS-2671, 2672	機能損傷	-	4.06 0.14 0.23	2.20
電動補助給水ポンプ		構造損傷	-	-	-
電動補助給水ポンプ	電動補助給水ポンプ 調節タンク流量設定器 3HC-2670	機能損傷	-	7.46 0.14 0.23	4.05
電動補助給水ポンプ		構造損傷	-	-	-
タービン動補助給水ポンプ	タービン動補助給水ポンプ	機能損傷	-	1.70 0.13 0.19	1.02
タービン動補助給水ポンプ	タービン動補助給水ポンプ起動盤	機能損傷	鉛直方向評価	4.07 0.14 0.23	2.23
タービン動補助給水ポンプ		構造損傷	基礎ボルト	31.04 0.09 0.17	20.82
タービン動補助給水ポンプ	タービン動補助給水ポンプ計器盤	機能損傷	鉛直方向評価	3.70 0.14 0.23	2.03
タービン動補助給水ポンプ		構造損傷	取付ボルト	20.91 0.09 0.17	14.02
タービン動補助給水ポンプ	3-タービン動補助給水ポンプ駆動蒸 気入口弁 A, B (電動弁 3V-MS-582A, B)	機能損傷	-	2.79 0.27 0.26	1.16

第3.2.1.a-5表 地震PRA評価対象建屋・機器リスト(28/32)

起因事象/ 影響緩和機能	機器名称	損傷モード	評価部位	泊3号炉	
				中央値(G) $\beta_r$	HCLPF(G) $\beta_u$
タービン動補助給水ポンプ	タービン動補助給水ポンプ 逆止弁(逆止弁 3V-MS-576A, B)	機能損傷	-	2.79 0.27 0.26	1.16
タービン動補助給水ポンプ	タービン動補助給水ポンプ駆動用ターピング	構造損傷	-	- - -	-
タービン動補助給水ポンプ	タービン動補助給水ポンプ駆動用ターピング	機能損傷	-	1.58 0.13 0.19	0.95
主蒸気隔離	3A, B, C-主蒸気隔離弁(電磁弁を含む)(空氣作動弁 3V-MS-528A, B, C)	機能損傷	-	2.79 0.27 0.26	1.16
主蒸気隔離	主蒸気ライン圧力計	機能損傷	鉛直方向評価	1.69 0.14 0.23	0.92
主蒸気隔離		構造損傷	-	- - -	-
蓄圧注入系	蓄圧タンク	構造損傷	基礎ボルト	3.30 0.19 0.21	1.73
蓄圧注入系	蓄圧タンク注入配管	構造損傷	配管本体	4.77 0.31 0.35	1.61
空調用冷水設備	空調用冷凍機 3CHE1A, B	機能損傷	-	2.39 0.13 0.19	1.43

第3.2.1.a-5表 地震PRA評価対象建屋・機器リスト(29/32)

起因事象/ 影響緩和機能	機器名称	損傷モード	評価部位	泊3号炉	
				中央値(G) $\beta_r$	HCLPF(G) $\beta_u$
空調用冷水設備	空調用冷凍機盤(3VCPA,B)	機能損傷	鉛直方向評価	2.76 0.14	1.49 0.23
空調用冷水設備		構造損傷	取付ボルト	11.65 0.09	7.58 0.17
空調用冷水設備	空調用冷水ポンプ 3CHPIA,B	機能損傷	-	1.70 0.13	1.02 0.19
空調用冷水設備		構造損傷	ポンプ取付ボルト	35.95 0.09	24.10 0.17
空調用冷水設備	空調用冷水膨張タンク 3CHT1	構造損傷	基礎ボルト	2.49 0.09	1.67 0.17
空調用冷水設備	中央制御室給気ユニット(冷却コイルを含む) 3VSAA,B	構造損傷	基礎(取付)ボルト	4.34 0.09	2.91 0.17
空調用冷水設備	空調用冷水設備 流量調節弁	機能損傷	-	2.79 0.27	1.16 0.26
空調用冷水設備		構造損傷	-	- -	- -
空調用冷水設備	空調用冷水設備 隔離弁	機能損傷	-	2.79 0.27	1.16 0.26
空調用冷水設備		構造損傷	-	- -	- -

第3.2.1.a-5表 地震PRA評価対象建屋・機器リスト(30/32)

起因事象/ 影響緩和機能	機器名称	損傷モード	評価部位	泊3号炉	
				中央値(G) $\beta_r$	HCLPF(G) $\beta_u$
空調用冷水設備	空調用冷水設備 逆止弁	機能損傷	-	2.79 0.27 0.26	1.16
空調用冷水設備		構造損傷	-	- -	-
空調用冷水設備	空調用冷水配管(手動弁含む)	構造損傷	配管本体	5.73 0.31 0.35	1.92
空調用冷水設備	安全補機室冷却ユニット(冷却コイルを含む) 3VSA18A, B	構造損傷	基礎(取付)ボルト	13.58 0.09 0.17	9.10
空調用冷水設備	安全補機開閉器室給気ユニット 3VSA6A(冷却コイルを含む)	構造損傷	基礎(取付)ボルト	2.56 0.09 0.17	1.71
安全補機開閉器室空調系	安全補機開閉器室給気ファン 3VSF27A	機能損傷	ケーシング	2.77 0.25 0.29	1.13
安全補機開閉器室空調系		構造損傷	基礎(取付)ボルト	2.52 0.19 0.25	1.21
安全補機開閉器室空調系	安全系計装盤室蒸気加熱コイル 3VSH6A, B	構造損傷	蒸気コイル	7.17 0.09 0.17	4.81
安全補機開閉器室空調系	常用系計装盤室蒸気加熱コイル 3VSH7	構造損傷	蒸気コイル	8.55 0.09 0.17	5.73
安全補機開閉器室空調系	計算機室加湿器 3VSM2	構造損傷	ケーシング	4.25 0.19 0.20	2.27

第3.2.1.a-5表 地震PRA評価対象建屋・機器リスト(31/32)

起因事象/ 影響緩和機能	機器名称	損傷モード	評価部位	泊3号炉	
				中央値(G) $\beta_r$	HCLPF(G) $\beta_u$
安全補機開閉器室空調系	計算機室蒸気加熱コイル 3VSH9	構造損傷	蒸気コイル	7.01 0.19	3.74 0.20
安全補機開閉器室空調系	SWGR 室空調系ダクト(手動ダンバ含む)	構造損傷	ダクト本体	2.62 0.31	0.90 0.35
安全補機開閉器室空調系	1次系補機操作室蒸気加熱コイル 3VSH8	構造損傷	蒸気コイル	8.89 0.09	5.96 0.17
安全補機開閉器室空調系	2次系計装盤室蒸気加熱コイル 3VSH5	構造損傷	蒸気コイル	6.68 0.19	3.51 0.21
安全補機開閉器室空調系	安全補機開閉器室空調系 防火ダンバ	機能損傷	ペーン	1.77 0.19	0.93 0.20
安全補機開閉器室空調系		構造損傷	-	-	-
安全補機開閉器室空調系		機能損傷	駆動部	4.45 0.19	2.33 0.20
安全補機開閉器室空調系	安全補機開閉器室空調系 逆止ダンバ 3G-VS-531A,B	構造損傷	-	-	-
安全補機開閉器室空調系		機能損傷	-	-	-
安全補機開閉器室空調系	安全補機開閉器室空調系 逆止弁 3V-VS-971A,B	構造損傷	-	2.79 0.27	1.16 0.26
安全補機開閉器室空調系		機能損傷	-	-	-

第3.2.1.a-5表 地震PRA評価対象建屋・機器リスト(32/32)

起因事象/ 影響緩和機能	機器名称	損傷モード	評価部位	泊3号炉	
				中央値(G) $\beta_r$	HCLPF(G) $\beta_u$
安全補機開閉器室空調系	安全系計装盤室室内空気温度計 3TS-2790	機能損傷	-	3.88 0.14 0.23	2.10
安全補機開閉器室空調系		構造損傷	-	- - -	-
主蒸気安全弁	主蒸気安全弁(安全弁 3V-MS-521A, B, C~525A, B, C)	機能損傷	-	2.26 0.27 0.31	0.89
換気空調系(Q3, Q4)	換気空調系集中現場盤	機能損傷	-	10.16 0.14 0.23	5.58
換気空調系(Q3, Q4)		構造損傷	取付ボルト	13.94 0.09 0.17	9.34

第3.2.1.b-1表 主要活断層の震源モデルの諸元 (1/2)

断層名	長さ (km)	地震規模 (M)				$\lambda_{eq}$ (km)	活動度	年発生頻度 (回/年)
		松田 (1975) *3	武村 (1998) *4	入倉・三宅 (2001)*5 武村 (1990)*6	大竹ほか (2002)*7			
尻別川断層	地質調査結果	16.0	6.8	7.0	—	—	26	3.91E-05
	基本震源モデル	22.6	7.1	7.2	7.2	—	28	C
	不確かさ考慮モデル(断層の傾斜角)	32.0	7.3	7.5	—	—	34	1.96E-05
F <sub>S</sub> -10断層～ 岩内堆東焼曲～ 岩内堆南方背斜	基本震源モデル	100.4	8.2	8.3	8.2	—	46	3.01E-05
	不確かさ考慮モデル(断層の傾斜角)	100.0	8.2	8.3	8.3	—	49	B
	走向0° ケース	22.6	7.1	7.2	7.2	—	21	1.37E-04
	走向0° ケース	32.0	7.3	7.5	—	—	17	1.04E-04
	不確かさ考慮モデル(断層の傾斜角)	32.0	7.3	7.5	—	—	21	1.37E-04
	走向20° ケース	22.6	7.1	7.2	7.2	—	21	B
	基本震源モデル	32.0	7.3	7.5	—	—	17	1.04E-04
	不確かさ考慮モデル(断層の傾斜角)	32.0	7.3	7.5	—	—	21	1.37E-04
	走向40° ケース	22.6	7.1	7.2	7.2	—	23	1.37E-04
	基本震源モデル	32.0	7.3	7.5	—	—	20	1.04E-04
	不確かさ考慮モデル(断層の傾斜角)	101.0	8.2	8.3	—	7.6	98	3.01E-05
F <sub>B</sub> -2断層	基本震源モデル(断層の傾斜角)	101.0	8.2	8.3	—	7.6	107	B
	不確かさ考慮モデル(断層の傾斜角)	101.0	8.2	8.3	—	7.6	107	3.01E-05

追而【地震ハザード評価結果を反映】

第3.2.1.b-1表 主要活断層の震源モデルの諸元（2/2）

断層名	長さ (km)	地震規模 (M)	$X_{eq}$ (km)	活動度	年発生頻度 (回/年)
神威海脚西側の断層	31.5	7.3	53	B	1.04E-04
F <sub>b</sub> -1断層～岩内堆北方の断層	39	7.5	57	B	7.91E-05
F <sub>s</sub> -12断層	6.7	6.2	35	B	4.76E-04
寿都海底谷の断層	42	7.5	54	B	7.91E-05
F <sub>a</sub> -2断層	65	7.9	90	B	4.55E-05
F <sub>a</sub> -3断層	45	7.6	103	B	6.89E-05
F <sub>c</sub> -1断層	27	7.2	62	A	1.15E-03
赤井川断層	5	6.0	24	B	6.28E-04
黒松内低地帯の断層	51	7.7	66	B	7.03E-04
目名付近の断層	5	6.0	32	C	1.18E-04

\*3 松田時彦（1975）：活断層から発生する地震の規模と周期について、地震 第2輯、第28巻、269-283

\*4 武村雅之（1998）：日本列島における地殻内地震のスケーリング則—地震断層の影響および地震被害との関連—、地震、第2輯、第51巻、211-228

\*5 入倉孝次郎・三宅弘恵（2001）：シナリオ地震の強震動予測、地学雑誌、110、849-875

\*6 武村雅之（1990）：日本列島およびその周辺地域におこる浅発地震のマグニチュードと地震モーメントの関係、地震、第2輯、第43巻、257-265

\*7 大竹政和、平朝彦、太田陽子（2002）：日本海東縁部の活断層と地震テクトニクス、東京大学出版会

追而【地震ハザード評価結果を反映】

第3.2.1.c-1-1表 考慮する不確実さ要因の例

評価方法		偶然的不確実さ ( $\beta_r$ )	認識論的不確実さ ( $\beta_u$ )
建屋	現実的耐力	<ul style="list-style-type: none"> <li>・構造材料定数</li> <li>・損傷限界時ひずみ</li> </ul>	<ul style="list-style-type: none"> <li>・施工精度</li> <li>・実験データの統計的精度</li> <li>・耐力評価式の誤差</li> </ul>
	現実的応答	<ul style="list-style-type: none"> <li>・構造材料定数</li> <li>・地盤材料定数</li> </ul>	<ul style="list-style-type: none"> <li>・モデル形態</li> <li>・剛性評価の仮定</li> <li>・復元力特性のモデル化</li> <li>・耐震要素の評価範囲</li> </ul>

第3.2.1.c-1-2表 損傷限界点の現実的な値（地震 PSA 学会標準）

損傷限界点の指標		平均値	変動係数
せん断ひずみ	ポックス壁	$5.36 \times 10^{-3}$	0.24
	円筒壁	$9.77 \times 10^{-3}$	0.33

第3.2.1.c-1-3表 物性値（原子炉建屋）

部 位		使用材料	ヤング係数 E (N/mm <sup>2</sup> )	せん断弾性係数 G (N/mm <sup>2</sup> )	減衰定数 h (%)
外部遮へい建屋	T. P. 33.1m を超える部分	コンクリート： Fc=30 (N/mm <sup>2</sup> ) 鉄筋：SD345	$2.44 \times 10^4$	$1.02 \times 10^4$	5
	T. P. 33.1m 以下	コンクリート： Fc=24 (N/mm <sup>2</sup> ) 鉄筋：SD345	$2.27 \times 10^4$	$0.94 \times 10^4$	5
燃料取扱棟 及び 周辺補機棟	T. P. 47.6m 以下	コンクリート： Fc=24 (N/mm <sup>2</sup> ) 鉄筋：SD345	$2.27 \times 10^4$	$0.94 \times 10^4$	5
内部コンクリート		コンクリート： Fc=36 (N/mm <sup>2</sup> ) 鉄筋：SD390	$2.59 \times 10^4$	$1.08 \times 10^4$	5
燃料取扱棟 (鉄骨部)	T. P. 47.6m~55.0m	SS400, SN490B	$2.05 \times 10^5$	$0.79 \times 10^5$	2
原子炉格納容器		SGV480	$1.96 \times 10^5$	$7.53 \times 10^4$	1
蒸気発生器	部材番号 31, 32 及 び 34~37	SQV2B	$1.85 \times 10^5$	$7.12 \times 10^4$	3(水平) 1(鉛直)
	部材番号 33	SFVQ1A	$1.77 \times 10^5$	$6.81 \times 10^4$	
	部材番号 38	SQV2A	$1.80 \times 10^5$	$6.92 \times 10^4$	

第3.2.1.c-1-4表 物性値（原子炉補助建屋）

部 位	使用材料	ヤング係数 E (N/mm <sup>2</sup> )	せん断弾性係数 G (N/mm <sup>2</sup> )	減衰定数 h (%)
原子炉補助建屋	コンクリート： Fc=24 (N/mm <sup>2</sup> ) 鉄筋：SD345	$2.27 \times 10^4$	$0.94 \times 10^4$	5

第3.2.1.c-1-5表 物性値（ディーゼル発電機建屋）

部 位	使用材料	ヤング係数 E (N/mm <sup>2</sup> )	せん断弾性係数 G (N/mm <sup>2</sup> )	減衰定数 h (%)
ディーゼル発電機建屋	コンクリート： Fc=24 (N/mm <sup>2</sup> ) 鉄筋：SD345	$2.27 \times 10^4$	$0.94 \times 10^4$	5

第3.2.1.c-1-6表 物性値 (A1, A2-燃料油貯油槽タンク室)

部 位	使用材料	ヤング係数 E (N/mm <sup>2</sup> )	せん断弾性係数 G (N/mm <sup>2</sup> )	減衰定数 h (%)
A1, A2-燃料油貯油槽 タンク室	コンクリート： $F_c = 24 \text{ (N/mm}^2\text{)}$ 鉄筋：SD345	$2.27 \times 10^4$	$0.94 \times 10^4$	5

第3.2.1.c-1-7表 物性値 (B1, B2-燃料油貯油槽タンク室)

部 位	使用材料	ヤング係数 E (N/mm <sup>2</sup> )	せん断弾性係数 G (N/mm <sup>2</sup> )	減衰定数 h (%)
B1, B2-燃料油貯油槽 タンク室	コンクリート： $F_c = 30 \text{ (N/mm}^2\text{)}$ 鉄筋：SD345	$2.44 \times 10^4$	$1.02 \times 10^4$	5

第3.2.1.c-1-8表 地盤物性値

		A <sub>I</sub> 級	A <sub>III</sub> 級	A級	B級	C級
地盤の物性値	S波速度 (km/s)	1.8	1.4	1.4	1.3	1.2
	P波速度 (km/s)	3.8	2.9	3.0	2.7	2.5
	密度 (g/cm <sup>3</sup> )	2.67	2.62	2.20	2.19	2.01
	ポアソン比	0.36	0.35	0.36	0.35	0.35

第3.2.1.c-1-9表 現実的な物性値の評価方法

物性値		現実的な物性値の評価方法
構造材料定数	コンクリート強度 $F_c$	平均値：1.4×設計基準強度 変動係数：0.13
	コンクリートの減衰定数 $h$	平均値：5% 変動係数：0.25
	鉄筋の降伏強度 $s \sigma_y$	平均値：1.1×規格降伏点 変動係数：0（考慮しない）
地盤材料定数	地盤のせん断 $V_s$	平均値：設計値 変動係数：0.10

第3.2.1.c-1-10表 原子炉建屋の地震応答解析モデル諸元 (1/3)

構造物	質点番号 ( ) 節点	質点高さ T. P. (m)	重 量 (kN)	重量回転慣性 (kN·m <sup>2</sup> )	
				EW方向	NS方向
外部遮へい建屋	1	83.10	1,150	—	—
	2	81.38	5,860		
	3	76.48	13,210		
	4	69.15	22,120		
	5	60.5	24,140		
	6	56.2	14,360		
	7	51.9	14,360		
	8	47.6	18,180		
	9	41.0	24,720		
	10	33.1	28,470		
	11	24.8	27,670		
	12	17.8	16,430		
	13	17.0	41,560		
燃料取扱機棟	21	55.0	9,420	—	—
	22	47.6	53,650	$1.89 \times 10^7$	$3.95 \times 10^7$
	23	41.0	122,410	$5.35 \times 10^7$	$8.20 \times 10^7$
	24	33.1	221,700	$9.13 \times 10^7$	$1.88 \times 10^8$
	25	24.8	234,220	$8.00 \times 10^7$	$2.10 \times 10^8$
	26	17.8	210,310	$7.84 \times 10^7$	$1.68 \times 10^8$
蒸気発生器	31	42.7700	1,111	—	—
	32	39.3000	2,857		
	33	36.7983	674		
	34	35.1003	1,500		
	35	32.3000	2,348		
	36	30.1688	673		
	37	26.9865	3,151		
	38	24.9058	373		
	39	23.9600	1,237		
コンクリート内部	41	44.3	4,160	—	—
	42	38.8	14,900		
	(43)	33.1	—		
	44	33.1	49,200		
	45	24.8	57,900		
	46	21.3	30,790		
	47	17.8	55,190		
原子炉格納容器	51	80.51	153	—	—
	52	77.83	1,171		
	53	70.5	1,982		
	54	60.489	1,945		
	55	56.9	8,803		
	56	50.68	3,679		
	57	43.24	3,599		
	58	35.8	3,584		
	59	30.3	2,484		
	60	24.8	3,052		
基礎版	(61)	12.1	—	—	—
	(62)	10.3	—	—	—
	63	6.91	983,040	$2.88 \times 10^8$	$4.57 \times 10^8$
	(64)	2.8	—	—	—
総重量			2,343,496		

第3.2.1.c-1-10表 原子炉建屋の地震応答解析モデル諸元 (2/3)

構造物	部材番号	EW方向		NS方向	
		せん断 断面積 (m <sup>2</sup> )	断面2次 モーメント (m <sup>4</sup> )	せん断 断面積 (m <sup>2</sup> )	断面2次 モーメント (m <sup>4</sup> )
外部遮へい建屋	1	22.4	694	22.4	694
	2	29.7	4,796	29.7	4,796
	3	43.1	14,890	43.1	14,890
	4	60.5	28,690	60.5	28,690
	5	69.5	33,930	69.5	33,930
	6	69.5	33,930	69.5	33,930
	7	69.5	33,930	69.5	33,930
	8	69.5	33,930	69.5	33,930
	9	69.5	33,930	69.5	33,930
	10	69.5	33,930	69.5	33,930
	11	69.5	33,930	69.5	33,930
	12	174	79,230	174	79,230
	13	307	126,800	307	126,800
燃料周辺補機棟	21	0.382	—	0.0542	—
	22	87.4	55,010	54.4	53,550
	23	175	102,000	207	208,300
	24	355	167,100	314	474,700
	25	310	140,000	312	513,400
	26	288	139,200	287	472,900
蒸気発生器	31	2.00	9.59	2.00	9.59
	32	2.00	9.59	2.00	9.59
	33	1.85	6.98	1.85	6.98
	34	1.35	3.84	1.35	3.84
	35	1.35	3.84	1.35	3.84
	36	1.40	3.98	1.40	3.98
	37	1.40	3.98	1.40	3.98
	38	10.60	54.34	10.60	54.34
内部コンクリート	41	15.3	11.0	23.0	12.3
	42	45.2	178	51.5	266
	44	82.5	1,482	121	3,154
	45	79.1	5,761	137	6,742
	46	79.1	5,761	137	6,742
	47	126	22,100	97.3	30,990
原子炉格納容器	51	0.365	9.84	0.365	9.84
	52	1.000	211.4	1.000	211.4
	53	1.365	511.0	1.365	511.0
	54	2.800	1,122	2.800	1,122
	55	2.800	1,122	2.800	1,122
	56	2.800	1,122	2.800	1,122
	57	2.800	1,122	2.800	1,122
	58	2.800	1,122	2.800	1,122
	59	2.800	1,122	2.800	1,122
	60	2.800	1,122	2.800	1,122

第3.2.1.c-1-10表 原子炉建屋の地震応答解析モデル諸元（3/3）

	部材番号	ばね定数	EW方向	NS方向
周辺補機棟	61	水平ばね (kN/m)	$1.79 \times 10^6$	$3.35 \times 10^7$
	62	水平ばね (kN/m)	$1.55 \times 10^7$	$6.82 \times 10^7$
	63	水平ばね (kN/m)	$7.78 \times 10^7$	$1.44 \times 10^8$
	64	水平ばね (kN/m)	$6.54 \times 10^7$	$9.08 \times 10^7$
	65	水平ばね (kN/m)	$5.08 \times 10^7$	$1.27 \times 10^8$
蒸気発生器	71	水平ばね (kN/m)	$2.94 \times 10^6$	$2.94 \times 10^6$
	72	水平ばね (kN/m)	$9.90 \times 10^6$	$2.40 \times 10^7$
	73	水平ばね (kN/m)	$1.06 \times 10^7$	$9.80 \times 10^6$
	73	回転ばね (kN·m/rad)	$4.98 \times 10^7$	$3.53 \times 10^7$
	73	鉛直ばね (kN/m)	—	—
内部コンクリート	74	水平ばね (kN/m)	$2.41 \times 10^8$	$2.41 \times 10^8$
	75	回転ばね (kN·m/rad)	$4.64 \times 10^9$	$5.39 \times 10^9$

第3.2.1.c-1-11表 地盤ばね定数と減衰係数（原子炉建屋）

		ばね定数	減衰係数
水平	EW方向	$1.249 \times 10^9$ (kN/m)	$1.898 \times 10^7$ (kN·s/m)
	NS方向	$1.218 \times 10^9$ (kN/m)	$1.805 \times 10^7$ (kN·s/m)
回転	EW方向	$1.261 \times 10^{12}$ (kN·m/rad)	$7.000 \times 10^9$ (kN·m·s/rad)
	NS方向	$1.843 \times 10^{12}$ (kN·m/rad)	$1.447 \times 10^{10}$ (kN·m·s/rad)

第3.2.1.c-1-12表 原子炉補助建屋の地震応答解析モデル諸元 (1/2)

構造物	質点番号 ( ) 節点	質点高さ T. P. (m)	重 量 (kN)	重量回転慣性 (kN·m <sup>2</sup> )	
				EW方向	NS方向
上部構造物	1	47.6	6,840	$2.18 \times 10^5$	$2.45 \times 10^5$
	2	43.3	5,890	$1.89 \times 10^5$	$2.21 \times 10^5$
	3	40.3	10,120	$3.44 \times 10^5$	$5.68 \times 10^5$
	4	42.2	6,770	$1.66 \times 10^5$	$2.36 \times 10^5$
	5	38.1	10,640	$6.60 \times 10^5$	$9.14 \times 10^5$
	6	33.1	116,650	$3.74 \times 10^7$	$3.43 \times 10^7$
	7	24.8	197,500	$6.57 \times 10^7$	$7.37 \times 10^7$
	8	17.8	221,080	$7.21 \times 10^7$	$8.16 \times 10^7$
	9	10.3	213,440	$7.29 \times 10^7$	$7.44 \times 10^7$
基礎版	(10)	2.8	—	—	—
	11	1.1	399,540	$1.28 \times 10^8$	$1.41 \times 10^8$
	(12)	0.3	—	—	—
総重量			1,188,470		

第3.2.1.c-1-12表 原子炉補助建屋の地震応答解析モデル諸元 (2/2)

構造物	部材 番号	EW方向		NS方向	
		せん断 断面積 (m <sup>2</sup> )	断面2次 モーメント (m <sup>4</sup> )	せん断 断面積 (m <sup>2</sup> )	断面2次 モーメント (m <sup>4</sup> )
上部構造物	1	13.4	807	12.1	717
	2	15.2	823	14.9	787
	3	24.1	1,543	25.7	1,572
	4	16.3	642	17.9	976
	5	22.4	1,050	20.8	1,940
	6	117	36,310	105	38,960
	7	255	77,420	205	79,390
	8	214	80,280	224	73,980
	9	248	73,610	294	91,880

第3.2.1.c-1-13表 地盤ばね定数と減衰係数（原子炉補助建屋）

		ばね定数	減衰係数
水平	EW方向	$1.027 \times 10^9$ (kN/m)	$1.805 \times 10^7$ (kN·s/m)
	NS方向	$1.025 \times 10^9$ (kN/m)	$1.800 \times 10^7$ (kN·s/m)
回転	EW方向	$9.259 \times 10^{11}$ (kN·m/rad)	$4.894 \times 10^8$ (kN·m·s/rad)
	NS方向	$9.709 \times 10^{11}$ (kN·m/rad)	$5.439 \times 10^9$ (kN·m·s/rad)

第3.2.1.c-1-14表 ディーゼル発電機建屋の地震応答解析モデル諸元（1/2）

構造物	質点番号 ( ) 節点	質点高さ T.P. (m)	重量 (kN)	重量回転慣性 (kN·m <sup>2</sup> )	
				EW方向	NS方向
上部 構造物	1	18.8	15,340	$8.1240 \times 10^5$	$8.6240 \times 10^5$
	2	10.3	23,030	$1.0530 \times 10^5$	$1.2430 \times 10^6$
基礎版	(3)	6.2	—	—	—
	4	5.74	33,270	$1.3070 \times 10^6$	$1.5570 \times 10^6$
	(5)	4.2	—	—	—
総重量			71,640		

第3.2.1.c-1-14表 ディーゼル発電機建屋の地震応答解析モデル諸元（2/2）

構造物	部材 番号	EW方向		NS方向	
		せん断 断面積 (m <sup>2</sup> )	断面2次 モーメント (m <sup>4</sup> )	せん断 断面積 (m <sup>2</sup> )	断面2次 モーメント (m <sup>4</sup> )
上部 構造物	1	28.8	2,512	10.4	2,276
	2	154	5,230	154	3,988

第3.2.1.c-1-15表 地盤ばね定数と減衰係数（ディーゼル発電機建屋）

		ばね定数	減衰係数
水平	EW方向	$3.547 \times 10^8$ (kN/m)	$1.105 \times 10^6$ (kN·s/m)
	NS方向	$3.538 \times 10^8$ (kN/m)	$9.226 \times 10^5$ (kN·s/m)
回転	EW方向	$4.623 \times 10^{10}$ (kN·m/rad)	$2.023 \times 10^7$ (kN·m·s/rad)
	NS方向	$4.987 \times 10^{10}$ (kN·m/rad)	$1.597 \times 10^7$ (kN·m·s/rad)

第3.2.1.c-1-16表 A1,A2-燃料油貯油槽タンク室の地震応答解析モデル諸元 (1/2)

構造物	質点番号 ( ) 節点	質点高さ T.P. (m)	重 量 (kN)	重量回転慣性 (kN·m <sup>2</sup> )	
				EW方向	NS方向
上部 構造物	1	8.8	12,100	$2.63 \times 10^5$	$1.88 \times 10^5$
	2	5.7	7,820	$1.51 \times 10^5$	$1.18 \times 10^5$
基礎版	(3)	3.1	—	—	—
	4	2.6	8,770	$1.61 \times 10^5$	$1.32 \times 10^5$
	(5)	2.1	—	—	—
総重量			28,690		

第3.2.1.c-1-16表 A1,A2-燃料油貯油槽タンク室の地震応答解析モデル諸元 (2/2)

構造物	部材 番号	EW方向		NS方向	
		せん断 断面積 (m <sup>2</sup> )	断面2次 モーメント (m <sup>4</sup> )	せん断 断面積 (m <sup>2</sup> )	断面2次 モーメント (m <sup>4</sup> )
上部 構造物	1	29.4	1,105	17.6	497
	2	29.4	1,105	17.6	497

第3.2.1.c-1-17表 地盤ばね定数と減衰係数 (A1,A2-燃料油貯油槽タンク室)

		ばね定数	減衰係数
水平	EW方向	$3.031 \times 10^8$ (kN/m)	$7.330 \times 10^5$ (kN·s/m)
	NS方向	$3.042 \times 10^8$ (kN/m)	$6.976 \times 10^5$ (kN·s/m)
回転	EW方向	$1.729 \times 10^{10}$ (kN·m/rad)	$1.038 \times 10^6$ (kN·m·s/rad)
	NS方向	$1.505 \times 10^{10}$ (kN·m/rad)	$7.645 \times 10^6$ (kN·m·s/rad)
側面 ばね	EW方向	T.P. 8.8m	$3.929 \times 10^7$ (kN/m)
		T.P. 5.7m	$4.072 \times 10^7$ (kN/m)
		T.P. 3.1m	$2.215 \times 10^7$ (kN/m)
		T.P. 2.6m	$7.144 \times 10^6$ (kN/m)
		T.P. 2.1m	$3.572 \times 10^6$ (kN/m)
	NS方向	T.P. 8.8m	$4.163 \times 10^7$ (kN/m)
		T.P. 5.7m	$4.314 \times 10^7$ (kN/m)
		T.P. 3.1m	$2.346 \times 10^7$ (kN/m)
		T.P. 2.6m	$7.568 \times 10^6$ (kN/m)
		T.P. 2.1m	$3.784 \times 10^6$ (kN/m)

第3.2.1.c-1-18表 B1, B2-燃料油貯油槽タンク室の地震応答解析モデル諸元 (1/2)

構造物	質点番号 ( ) 節点	質点高さ T.P. (m)	重量 (kN)	重量回転慣性 (kN·m <sup>2</sup> )	
				EW方向	NS方向
上部構造物	1	8.8	12,520	$2.45 \times 10^5$	$2.03 \times 10^5$
	2	5.8	9,430	$1.83 \times 10^5$	$1.51 \times 10^5$
基礎版	(3)	3.0	—	—	—
	4	2.5	10,390	$2.02 \times 10^5$	$1.67 \times 10^5$
	(5)	2.0	—	—	—
総重量			32,340		

第3.2.1.c-1-18表 B1, B2-燃料油貯油槽タンク室の地震応答解析モデル諸元 (2/2)

構造物	部材番号	EW方向		NS方向	
		せん断断面積 (m <sup>2</sup> )	断面2次モーメント (m <sup>4</sup> )	せん断断面積 (m <sup>2</sup> )	断面2次モーメント (m <sup>4</sup> )
上部構造物	1	37.8	1,444	24.7	725
	2	37.8	1,444	24.7	725

第3.2.1.c-1-19表 地盤ばね定数と減衰係数 (B1, B2-燃料油貯油槽タンク室)

		ばね定数	減衰係数
水平	EW方向	$2.081 \times 10^8$ (kN/m)	$5.589 \times 10^5$ (kN·s/m)
	NS方向	$2.114 \times 10^8$ (kN/m)	$5.506 \times 10^5$ (kN·s/m)
回転	EW方向	$1.179 \times 10^{10}$ (kN·m/rad)	$7.245 \times 10^6$ (kN·m·s/rad)
	NS方向	$1.015 \times 10^{10}$ (kN·m/rad)	$5.114 \times 10^6$ (kN·m·s/rad)
側面ばね	EW方向	T.P. 8.8m	$4.103 \times 10^7$ (kN/m)
		T.P. 5.8m	$4.407 \times 10^7$ (kN/m)
		T.P. 3.0m	$2.508 \times 10^7$ (kN/m)
		T.P. 2.5m	$7.599 \times 10^6$ (kN/m)
		T.P. 2.0m	$3.800 \times 10^6$ (kN/m)
	NS方向	T.P. 8.8m	$4.103 \times 10^7$ (kN/m)
		T.P. 5.8m	$4.407 \times 10^7$ (kN/m)
		T.P. 3.0m	$2.508 \times 10^7$ (kN/m)
		T.P. 2.5m	$7.599 \times 10^6$ (kN/m)
		T.P. 2.0m	$3.800 \times 10^6$ (kN/m)

第3.2.1.c-1-20表 現実的応答評価用モデルで用いる諸元と物性値の関係

		物性値		
		Fc	h	Vs
RC部	E	○	—	—
	G	○	—	—
	h	—	○	—
	Q-γスケルトン	○	—	—
	M-φスケルトン	○	—	—
地盤ばね	ばね値	—	—	○
	減衰	○	—	○

第3.2.1.c-1-21表 2点推定法による解析ケース

解析ケース	Fc	h	Vs
1	+	+	+
2	+	—	+
3	+	+	—
4	+	—	—
5	—	+	+
6	—	—	+
7	—	+	—
8	—	—	—

第3.2.1.c-2-1表 現実的な物性値の評価方法

現実的な物性値の評価方法	
コンクリート強度 $F_c$	平均 値：1.4×設計基準強度 変動係数：0.13
埋戻土の初期せん断剛性 $G_0$	平均 値：室内試験結果に基づき設定 変動係数：試験結果のばらつきから設定
岩盤のせん断剛性 $G$	平均 値：PS 検層結果に基づき設定 変動係数：試験結果のばらつきから設定

第3.2.1.c-3-1表 不確実さ要因整理表

評価方法		偶然的不確実さ ( $\beta_r$ )	認識論的不確実さ ( $\beta_u$ )
機器 配管系	現実的耐力	・機能試験データの統計的精度	・機能データの統計的精度 ・材料物性値
	現実的応答	・水平・上下地震荷重組合せ方法 ・モード合成法	・減衰定数 ・床応答スペクトル ・解析モデル化

第3.2.1.c-3-2表 建屋の応答係数

建屋	方向	係数		中央値	$\beta_r$	$\beta_u$
原子炉建屋	水平	$F_{ss}$	入力地震動のスペクトル形状に関する係数	1.02	0.00	0.00
		$F_\delta$	建屋の減衰に関する係数	0.99	0.08	0.00
		$F_M$	建屋のモデル化に関する係数	0.99	0.01	0.15
		$F_{NL}$	建屋の非線形応答に関する係数	※	※	※
	鉛直	$F_{ss}$	入力地震動のスペクトル形状に関する係数	0.94	0.00	0.00
		$F_\delta$	建屋の減衰に関する係数	0.99	0.08	0.00
		$F_M$	建屋のモデル化に関する係数	1.00	0.01	0.15
		$F_{NL}$	建屋の非線形応答に関する係数	※	※	※

建屋	方向	係数		中央値	$\beta_r$	$\beta_u$
原子炉補助建屋	水平	$F_{ss}$	入力地震動のスペクトル形状に関する係数	1.01	0.00	0.00
		$F_\delta$	建屋の減衰に関する係数	0.99	0.08	0.00
		$F_M$	建屋のモデル化に関する係数	0.99	0.01	0.15
		$F_{NL}$	建屋の非線形応答に関する係数	※	※	※
	鉛直	$F_{ss}$	入力地震動のスペクトル形状に関する係数	0.93	0.00	0.00
		$F_\delta$	建屋の減衰に関する係数	0.99	0.08	0.00
		$F_M$	建屋のモデル化に関する係数	1.01	0.03	0.15
		$F_{NL}$	建屋の非線形応答に関する係数	※	※	※

建屋	方向	係数		中央値	$\beta_r$	$\beta_u$
ディーゼル発電機建屋	水平	$F_{ss}$	入力地震動のスペクトル形状に関する係数	0.93	0.00	0.00
		$F_\delta$	建屋の減衰に関する係数	0.99	0.07	0.00
		$F_M$	建屋のモデル化に関する係数	1.03	0.01	0.15
		$F_{NL}$	建屋の非線形応答に関する係数	※	※	※
	鉛直	$F_{ss}$	入力地震動のスペクトル形状に関する係数	0.98	0.00	0.00
		$F_\delta$	建屋の減衰に関する係数	1.00	0.02	0.00
		$F_M$	建屋のモデル化に関する係数	1.01	0.03	0.15
		$F_{NL}$	建屋の非線形応答に関する係数	※	※	※

※建屋の非線形応答に関する係数については、機器の固有周期により個別に算定する

第3.2.1.c-3-3表 1次冷却材ポンプの耐震評価結果

評価部位	材料	評価応力	許容値 (MPa)	発生応力 (MPa)	裕度
上部支持構造物	SM490B	組合せ	1	0.71	1.40
		せん断	193	21	9.19
		曲げ	336	175	1.92

第3.2.1.c-3-4表 1次冷却材ポンプ 安全係数評価結果の一覧

$F_s$	$F_\mu$	$F_{ESS}$	$F_D$	$F_{EM}$	$F_{EMC}$	$F_{SS}$	$F_\delta$	$F_M$	$F_{NL}$	$A_u$	HCLPF
$\beta_r$	$\beta_r$	$\beta_r$	$\beta_r$								
$\beta_u$	$\beta_u$	$\beta_u$	$\beta_u$								
1.40	2.24	1.30	1.00	1.00	1.00	1.00	0.99	0.99	1.00	2.23	0.93
0.00	0.19	0.00	0.00	0.00	0.00	0.00	0.08	0.01	0.17	0.27	
0.00	0.19	0.00	0.00	0.00	0.00	0.00	0.00	0.15	0.10	0.27	

第3.2.1.c-3-5表 余熱除去冷却器の耐震評価結果

評価部位	材料	評価応力	許容値 (MPa)	発生応力 (MPa)	裕度
胴板	SGV410	一次応力	334	118	2.83
支持脚	SS400	組合せ	255	30	8.50
基礎ボルト	SNB7	引張	451	117	3.85

第3.2.1.c-3-6表 余熱除去冷却器 安全係数評価結果の一覧

$F_s$	$F_\mu$	$F_{ESS}$	$F_D$	$F_{EM}$	$F_{EMC}$	$F_{SS}$	$F_\delta$	$F_M$	$F_{NL}$	$A_u$	HCLPF
$\beta_r$	$\beta_r$	$\beta_r$	$\beta_r$								
$\beta_u$	$\beta_u$	$\beta_u$	$\beta_u$								
3.47	1.00	1.20	1.00	1.00	1.00	1.00	0.99	0.99	1.00	2.29	1.53
0.00	0.00	0.00	0.00	0.00	0.00	0.00	0.08	0.01	0.00	0.09	
0.06	0.00	0.00	0.00	0.00	0.00	0.00	0.00	0.15	0.00	0.17	

第3.2.1.c-3-7表 内燃機関（ディーゼル発電機）の耐震評価結果

評価位置	水平		鉛直		水平・鉛直 SRSS	
	応答加速度 (m/s <sup>2</sup> )	機能維持確認済 加速度 (m/s <sup>2</sup> )	応答加速度 (m/s <sup>2</sup> )	機能維持確認済 加速度 (m/s <sup>2</sup> )	応答加速度 (m/s <sup>2</sup> )	機能維持確認済 加速度 (m/s <sup>2</sup> )
機関重心 位置	6.3	10.7	3.90	9.80	7.409	14.51

第3.2.1.c-3-8表 内燃機関（ディーゼル発電機） 安全係数評価結果の一覧

F <sub>s</sub>	F <sub>μ</sub>	F <sub>ESS</sub>	F <sub>D</sub>	F <sub>EM</sub>	F <sub>EMC</sub>	F <sub>SS</sub>	F <sub>δ</sub>	F <sub>M</sub>	F <sub>NL</sub>	A <sub>m</sub>	HCLPF
β <sub>r</sub>	β <sub>r</sub>	β <sub>r</sub>	β <sub>r</sub>	β <sub>r</sub>	β <sub>r</sub>	β <sub>r</sub>	β <sub>r</sub>	β <sub>r</sub>	β <sub>r</sub>	β <sub>r</sub>	
β <sub>u</sub>	β <sub>u</sub>	β <sub>u</sub>	β <sub>u</sub>	β <sub>u</sub>	β <sub>u</sub>	β <sub>u</sub>	β <sub>u</sub>	β <sub>u</sub>	β <sub>u</sub>	β <sub>u</sub>	
2.72	1.00	1.00	1.00	1.00	1.00	0.93	0.99	1.03	1.00	1.63	
0.10	0.00	0.00	0.00	0.00	0.00	0.00	0.07	0.01	0.00	0.13	0.99
0.10	0.00	0.00	0.00	0.15	0.00	0.00	0.00	0.15	0.00	0.19	

第3.2.1.c-3-9表 パワーコントロールセンタの耐震評価結果

評価位置	水平				鉛直			
	応答 加速度 (m/s <sup>2</sup> )	機能維持確認済 加速度 (m/s <sup>2</sup> )			応答 加速度 (m/s <sup>2</sup> )	機能維持確認済 加速度 (m/s <sup>2</sup> )		
盤頂部	25.90		40.9		4.40		19.60	

第3.2.1.c-3-10表 パワーコントロールセンタ 安全係数評価結果の一覧

F <sub>s</sub>	F <sub>μ</sub>	F <sub>ESS</sub>	F <sub>D</sub>	F <sub>EM</sub>	F <sub>EMC</sub>	F <sub>SS</sub>	F <sub>δ</sub>	F <sub>M</sub>	F <sub>NL</sub>	A <sub>m</sub>	HCLPF
β <sub>r</sub>	β <sub>r</sub>	β <sub>r</sub>	β <sub>r</sub>	β <sub>r</sub>	β <sub>r</sub>	β <sub>r</sub>	β <sub>r</sub>	β <sub>r</sub>	β <sub>r</sub>	β <sub>r</sub>	
β <sub>u</sub>	β <sub>u</sub>	β <sub>u</sub>	β <sub>u</sub>	β <sub>u</sub>	β <sub>u</sub>	β <sub>u</sub>	β <sub>u</sub>	β <sub>u</sub>	β <sub>u</sub>	β <sub>u</sub>	
3.00	1.00	1.00	1.22	1.00	1.00	1.00	0.99	0.99	1.00	2.01	
0.11	0.00	0.00	0.00	0.00	0.00	0.00	0.08	0.01	0.17	0.22	0.90
0.17	0.00	0.00	0.10	0.00	0.00	0.00	0.00	0.15	0.10	0.27	

第3.2.1.c-3-11表 一般代表弁の耐震評価結果

評価位置	水平		鉛直		水平・鉛直 SRSS	
	応答加速度 (m/s <sup>2</sup> )	機能維持確認済 加速度 (m/s <sup>2</sup> )	応答加速度 (m/s <sup>2</sup> )	機能維持確認済 加速度 (m/s <sup>2</sup> )	応答加速度 (m/s <sup>2</sup> )	機能維持確認済 加速度 (m/s <sup>2</sup> )
駆動部	19.62	58.8	4.91	58.8	20.225	83.16

第3.2.1.c-3-12表 一般代表弁 安全係数評価結果の一覧

F <sub>s</sub>	F <sub>μ</sub>	F <sub>ESS</sub>	F <sub>D</sub>	F <sub>EM</sub>	F <sub>EMC</sub>	F <sub>SS</sub>	F <sub>δ</sub>	F <sub>M</sub>	F <sub>NL</sub>	A <sub>u</sub>	HCLPF
β <sub>r</sub>	β <sub>r</sub>	β <sub>r</sub>	β <sub>r</sub>	β <sub>r</sub>	β <sub>r</sub>	β <sub>r</sub>	β <sub>r</sub>	β <sub>r</sub>	β <sub>r</sub>	β <sub>r</sub>	
5.71	1.00	1.00	1.00	1.00	1.00	1.00	0.99	0.99	1.00	3.13	1.34
0.10	0.00	0.00	0.00	0.00	0.15	0.00	0.08	0.01	0.17	0.27	
0.10	0.00	0.00	0.00	0.15	0.00	0.00	0.00	0.15	0.10	0.26	

第 3.2.1.d-1 表 起因事象発生頻度

起因事象	発生頻度 [／年]
格納容器バイパス	9.8E-08
大破断 LOCA を上回る規模の LOCA (Excess LOCA)	3.5E-07
原子炉建屋損傷	4.7E-08
原子炉格納容器損傷	1.8E-08
原子炉補助建屋損傷	$\epsilon$
電動弁損傷による原子炉補機冷却機能喪失	1.2E-08
1 次系流路閉塞による 2 次系除熱機能喪失	3.0E-08
複数の信号系損傷	1.2E-07
燃料集合体及び制御棒クラスタ損傷による原子炉停止機能喪失	1.1E-07
大破断 LOCA	2.5E-07
中破断 LOCA	7.4E-07
小破断 LOCA	3.3E-07
2 次冷却系の破断	9.6E-09
原子炉補機冷却機能喪失	5.0E-08
外部電源喪失	3.2E-04
主給水流量喪失	4.0E-04
ATWS	9.3E-11

$\epsilon$  : 1.0E-15 未満

第3.2.1.d-2表 事故シーケンスグループ

事故シーケンス	事故シーケンスグループ
小破断 LOCA + 補助給水失敗	2次冷却系からの除熱機能喪失
主給水流量喪失 + 補助給水失敗	
外部電源喪失 + 補助給水失敗	
2次冷却系の破断 + 補助給水失敗	
2次冷却系の破断 + 主蒸気隔離失敗	
1次系流路閉塞による2次系除熱機能喪失	
外部電源喪失 + 非常用所内交流電源喪失	全交流動力電源喪失
原子炉補機冷却機能喪失 + RCP シール LOCA	原子炉補機冷却機能喪失
原子炉補機冷却機能喪失 + 加圧器逃がし弁／安全弁 LOCA	
原子炉補機冷却機能喪失 + 補助給水失敗	
大破断 LOCA + 低圧再循環失敗 + 格納容器スプレイ注入失敗	原子炉格納容器の除熱機能喪失
大破断 LOCA + 低圧再循環失敗 + 格納容器スプレイ再循環失敗	
中破断 LOCA + 格納容器スプレイ注入失敗	
中破断 LOCA + 格納容器スプレイ再循環失敗	
小破断 LOCA + 格納容器スプレイ注入失敗	
小破断 LOCA + 格納容器スプレイ再循環失敗	
原子炉トリップが必要な起因事象 + 原子炉トリップ失敗	原子炉停止機能喪失
燃料集合体及び制御棒クラスタ損傷による原子炉停止機能喪失	
大破断 LOCA + 低圧注入失敗	ECCS注水機能喪失
大破断 LOCA + 蓄圧注入失敗	
中破断 LOCA + 蓄圧注入失敗	
中破断 LOCA + 高圧注入失敗	
小破断 LOCA + 高圧注入失敗	
大破断 LOCA を上回る規模の LOCA (Excess LOCA)	
大破断 LOCA + 低圧再循環失敗 + 高圧再循環失敗	ECCS再循環機能喪失
中破断 LOCA + 高圧再循環失敗	
小破断 LOCA + 高圧再循環失敗	
蒸気発生器伝熱管破損 (複数本破損)	蒸気発生器伝熱管破損 (複数本破損)
原子炉建屋損傷	原子炉建屋損傷
原子炉格納容器損傷	原子炉格納容器損傷
原子炉補助建屋損傷	原子炉補助建屋損傷
電動弁損傷による原子炉補機冷却機能喪失	電動弁損傷による原子炉補機冷却機能喪失
複数の信号系損傷	複数の信号系損傷

第3.2.1.d-3表 評価対象システム一覧

分類	評価対象
起因事象	格納容器バイパス
	大破断 LOCA を上回る規模の LOCA (Excess LOCA)
	原子炉建屋損傷
	原子炉格納容器損傷
	原子炉補助建屋損傷
	電動弁損傷による原子炉補機冷却機能喪失
	1 次系流路閉塞による 2 次系除熱機能喪失
	複数の信号系損傷
	燃料集合体及び制御棒クラスタ損傷による原子炉停止機能喪失
	大破断 LOCA
	中破断 LOCA
	小破断 LOCA
	2 次冷却系の破断
	原子炉補機冷却機能喪失
	外部電源喪失
	主給水流量喪失
	非常用所内交流電源
緩和系	原子炉トリップ
	高圧注入
	高圧再循環
	蓄圧注入
	低圧注入
	低圧再循環
	格納容器スプレイ注入
	格納容器スプレイ再循環
	補助給水
	主蒸気隔離
	1 次冷却材ポンプ封水 LOCA
	加圧器逃がし弁／安全弁 LOCA

第3.2.1.d-4表 起因事象発生前の人的過誤確率

起因事象発生前の人的過誤	ストレス ファクタ	過誤確率	EF
3A-原子炉補機冷却海水ポンプ出口弁(3V-SW-503B) 戻し忘れ	1	1.6E-03	4
3B-原子炉補機冷却海水ポンプ出口弁(3V-SW-503D) 戻し忘れ	1	1.6E-03	4

第3.2.1.d-5表 起因事象発生後の人的過誤確率

起因事象発生後の人的過誤	ストレス ファクタ	余裕時間	過誤確率	EF
低温再循環自動切替信号許可 (A) 操作器操作失敗	2	—	8.6E-04	8
低温再循環自動切替信号許可 (B) 操作器操作失敗	2	—	8.6E-04	8
3B-補助給水隔離弁 (3V-FW-589B) 閉ロック操作失敗	2	—	8.6E-04	8
3B-電動補助給水ポンプ出口流量調節弁 (3V-FW-582B) の 操作器「全開」操作失敗	2	—	8.6E-04	8
3B-余熱除去冷却器補機冷却水出口弁 (3V-CC-117B) 開操作失敗	2	—	8.6E-04	8
3B-格納容器スプレイ冷却器補機冷却水出口弁 (3V-CC-177B) 開操作失敗	2	—	8.6E-04	8
B ヘッダ 3B-余熱除去冷却器補機冷却水出口弁 (3V-CC- 117B) または 3B-格納予期スプレイ冷却器補機冷却水出口 弁 (3V-CC-177B) 負荷制御操作失敗	2	—	8.6E-04	8
3A-余熱除去冷却器補機冷却水出口弁 (3V-CC-117A) 開操作失敗	2	—	8.6E-04	8
3A-格納容器スプレイ冷却器補機冷却水出口弁 (3V-CC-177A) 開操作失敗	2	—	8.6E-04	8
3B-安全補機開閉器室給気ファン (3VSF27B) 起動操作失敗	2	—	8.6E-04	8
3C-空調用冷水ポンプ (3CHP1C) 起動操作失敗	2	—	8.6E-04	8
3D-空調用冷水ポンプ (3CHP1D) 起動操作失敗	2	—	8.6E-04	8
3-空調用冷水 B 母管入口隔離弁 (3V-CH-012B) 開操作失敗	2	—	8.6E-04	8
3C-空調用冷凍機 (3CHE1C) 起動操作失敗	2	—	8.6E-04	8
3D-空調用冷凍機 (3CHE1D) 起動操作失敗	2	—	8.6E-04	8
3A-安全補機開閉器室給気ファントリップ警報 読取失敗	2	—	8.3E-04	4
1次冷却材の喪失診断失敗	下限値	30 分	2.7E-04	10
2次系破断の発生診断失敗	下限値	20 分	2.7E-03	10
補機冷却系故障診断失敗	下限値	20 分	2.7E-03	10

第3.2.1.d-6表 起因事象別炉心損傷頻度 (1/2)

起因事象	主要な事故シナリオ	CDF (／炉年)	寄与割合 (%)	主要なミニマルカットセット
格納容器バイパス	地震により蒸気発生器伝熱管が複数本破損した場合には、格納容器バイパスが発生する。緩和設備により、格納容器外への冷却材流出が継続するため、保守的に炉心損傷に至ると想定する。	9.8E-08	4.2	蒸気発生器内部構造物の損傷
大破断LOCAを上回る規模のLOCA(Excess LOCA)	地震により原子炉冷却材圧力バウンタリを構成する機器等の大規模な損傷が発生する。ECCS容量を超えるLOCAであるため、炉心損傷に至る。	3.5E-07	15.1	原子炉容器(サポートシユ)の損傷
原子炉建屋損傷	地震により原子炉建屋が損傷した場合には、建屋内の緩和設備への影響の程度を判断することが困難であるため、保守的に全ての緩和系が機能喪失し、炉心損傷に至ると想定する。	4.7E-08	2.0	原子炉建屋の損傷
原子炉格納容器損傷	地震により原子炉格納容器が損傷した場合には、緩和設備への影響の程度を厳密に判断することが困難であるため、保守的に全ての緩和系が機能喪失し、炉心損傷に至ると想定する。	1.8E-08	0.8	原子炉格納容器の損傷
原子炉補助建屋損傷	地震により原子炉補助建屋が損傷した場合には、緩和設備への影響の程度を判断することが困難であるため、保守的に全ての計測・制御系が機能喪失し、プラントの制御が不能となり炉心損傷に至ると想定する。	$\epsilon$	<0.1	—
電動弁損傷による原子炉補機冷却機能喪失	地震により原子炉補機冷却水系統のCヘッダに設置されている隔壁弁が損傷し、原子炉補機冷却系の機能喪失が発生する。RCPシールLOCAが従属性に発生し、炉心損傷に至る。	1.2E-08	0.5	電動弁の損傷
1次系流路閉塞による2次系除熱機能喪失	地震により炉心構造部等が損傷し、原子炉補機冷却系の流路が阻害され2次系からの除熱機能喪失が発生する。損傷の程度を厳密に判断することが困難である。	3.0E-08	1.3	炉心支持構造物の損傷
複数の信号系損傷	地震により信号系が機能喪失した場合には、緩和設備への影響の程度を厳密に判断することが困難であるため、保守的に複数の信号系が機能喪失し、プラントの制御が不能となり炉心損傷に至ると想定する。	1.2E-07	5.3	運転コントールの損傷

第3.2.1.d-6表 起因事象別炉心損傷頻度 (2/2)

起因事象	主要な事故シナリオ	CDF (／炉年)	寄与割合 (%)	主要なミニマルカットセット
燃料集合体及び制御棒クラスタ損傷による原子炉停止機能喪失	地震により燃料集合体や制御棒クラスタが損傷し、制御棒が挿入性に影響がある場合には、原子炉停止機能喪失が発生する。損傷の程度を厳密に判断することが困難であるため、保守的に炉心損傷に至ると想定する。	1.1E-07	4.7	燃料集合体の損傷
大破断 LOCA	地震により原子炉冷却材圧力バウンタリを構成する機器等の損傷が発生する。地震により炉心冷却や格納容器スプレイも機能喪失することで、炉心損傷に至る。	1.7E-07	7.5	一次冷却材管(1次冷却材管加圧器サーボジング管台)の損傷+外部電源系の損傷+ディーゼル発電機の損傷
中破断 LOCA		2.7E-07	11.7	一次冷却材管(安全注入管台)の損傷+外部電源系の損傷+ディーゼル発電機の損傷
小破断 LOCA		1.5E-07	6.6	原子炉容器(空気抜管)の損傷+外部電源系の損傷+ディーゼル発電機の損傷
2次冷却系の破断	地震により2次冷却系を構成する機器等の損傷が発生する。地震により補助給水も機能喪失することで、炉心損傷に至る。	6.7E-09	0.3	蒸気発生器(給水入口管台)の損傷+安全補機開閉器室空調系防火ダンバの損傷
原子炉補機冷却機能喪失	地震により原子炉補機冷却設備の損傷が発生する。RCP シール LOCA が従属性に発生し、炉心損傷に至る。	1.5E-08	0.6	原子炉補機冷却水ポンプの損傷
外部電源喪失	地震により外部電源設備の損傷が発生する。地震により非常用所内交流電源も機能喪失することで、炉心損傷に至る。	8.6E-07	37.1	外部電源系の損傷+ディーゼル発電機の損傷
主給水流量喪失	地震により主給水設備の損傷が発生する。地震により補助給水も機能喪失することで、炉心損傷に至る。	5.1E-08	2.2	外部電源系健全+補助給水ピットランダム故障
ATWS	地震により原子炉トリップが必要な起因事象が発生する。地震により原子炉トリップ機能も喪失することで、炉心損傷に至る。	9.3E-11	<0.1	外部電源系健全+ペーシックソフトウェアランダム故障
合計		2.1E-06	100.0*	

※四捨五入処理のため寄与割合の合計が 100.0 とならないことがある。

 $\epsilon : 1.0 \times 10^{-15}$  未満

第3.2.1.d-7表 事故シーケンスグループ別炉心損傷頻度

事故シーケンス グループ	事故シーケンス	事故シーケンス 別CDF (/炉年)	事故シーケンス 全CDFに対する 寄与割合 (%)	事故シーケンス 全CDF (/炉年)	全CDFに対する 寄与割合 (%)	主要なミニマル カットセット
2次冷却系からの 除熱機能喪失	小破断LOCA+補助給水失敗 主給水流量喪失+補助給水失敗 外部電源喪失+補助給水失敗 2次冷却系の破断+補助給水失敗 2次冷却系の破断+主蒸気隔離失敗 1次系流路閉塞による2次系除熱機能喪失 外部電源喪失+非常用所内交流電源喪失	4.2E-08 5.1E-08 3.0E-08 5.7E-09 1.0E-09 3.0E-08 8.3E-07	1.8 2.2 1.3 0.2 <0.1 1.3 35.8	1.6E-07 1.6E-07	6.9	炉心支持構造物の損傷 外部電源系の損傷 +ディーゼル発電機の損傷
原子炉補機 冷却機能喪失	全交流動力電源喪失 原子炉補機冷却機能喪失+加圧器逃がし弁/安全弁LOCA 原子炉補機冷却機能喪失+補助給水失敗 電動弁損傷による原子炉補機冷却機能喪失 大破断LOCA+低圧車両環失敗+格納容器ブレイ注入失敗 大破断LOCA+低圧再循環失敗+格納容器ブレイ再循環失敗 中破断LOCA+格納容器ブレイ注入失敗 中破断LOCA+格納容器ブレイ再循環失敗 小破断LOCA+格納容器ブレイ注入失敗 小破断LOCA+格納容器ブレイ再循環失敗	1.4E-08 1.1E-10 6.2E-10 1.2E-08 3.0E-13 ε 3.4E-09 2.0E-10 1.9E-09 7.9E-11	0.6 <0.1 <0.1 0.5 <0.1 <0.1 0.1 <0.1 <0.1 <0.1	2.7E-08 2.7E-08	1.1	原子炉補機冷却水ポンプの損傷 原子炉補機冷却水ポンプの損傷 一次冷却材管(安全注入管)の損傷 +格納容器ブレイボンプの損傷
原子炉格納容器の 除熱機能喪失	原子炉停止機能喪失 燃料集合体及び制御棒クラスター損傷による原子炉停止機能喪失 大破断LOCA+低圧注入失敗 大破断LOCA+蓄圧注入失敗 中破断LOCA+蓄圧注入失敗 中破断LOCA+高圧注入失敗 小破断LOCA+高圧注入失敗 大破断LOCAを上回る規模のLOCA(Excess LOCA) 大破断LOCA+低圧車両環失敗+高圧再循環失敗 中破断LOCA+高圧再循環失敗 小破断LOCA+高圧再循環失敗 蒸気発生器伝熱管破損(複数本破損)	1.1E-07 1.7E-07 1.7E-07 6.0E-11 2.0E-13 2.6E-07 1.0E-07 3.5E-07 6.9E-09 1.3E-08 7.3E-09 9.8E-08 4.7E-08 1.8E-08 ε 1.2E-07	4.7 7.2 <0.1 <0.1 11.0 4.4 15.1 0.3 0.6 0.3 4.2 2.0 0.8 <0.1 5.3 2.7E-08 2.7E-08 100.0 4.2	1.1E-07 8.7E-07 37.7	4.7	燃料集合体の損傷 原子炉容器(サボーツュ)の損傷 一次冷却材管(安全注入管)の損傷 +安全補機開閉器室空調系防火ダム +安全補機開閉器室空調系防火ダム 運転コントールの損傷
ECCS 注水機能喪失	ECCS 再循環機能喪失 蒸気発生器伝熱管破損(複数本破損)	ε 1.0E-15未満	0.2	1.2	100.0	蒸気発生器内部構造物の損傷 原子炉建屋損傷 原子炉格納容器損傷 原子炉補助建屋損傷 原子炉補助建屋損傷 複数の信号系損傷 合計

※四捨五入処理のため寄与割合の合計が100.0とならないことがある。

ε : 1.0E-15未満

第3.2.1.d-8表 加速度区別炉心損傷頻度

地震加速度区間	地震発生頻度 (／年)	CDF (／炉年)	寄与割合 (%)
0.2G-0.4G	6.3E-4	2.5E-7	11.8
0.4G-0.6G	6.6E-5	4.4E-8	2.1
0.6G-0.8G	1.4E-5	1.1E-8	0.5
0.8G-1.0G	4.1E-6	2.6E-7	12.1
1.0G-1.2G	1.4E-6	8.8E-7	41.3
1.2G-1.5G	6.9E-7	6.9E-7	32.2
合計		2.1E-6	

※四捨五入処理のため寄与割合の合計が100.0とならないことがある。

第3.2.1-d-9表 重要度解析結果(FV重要度、10位までの基事象)

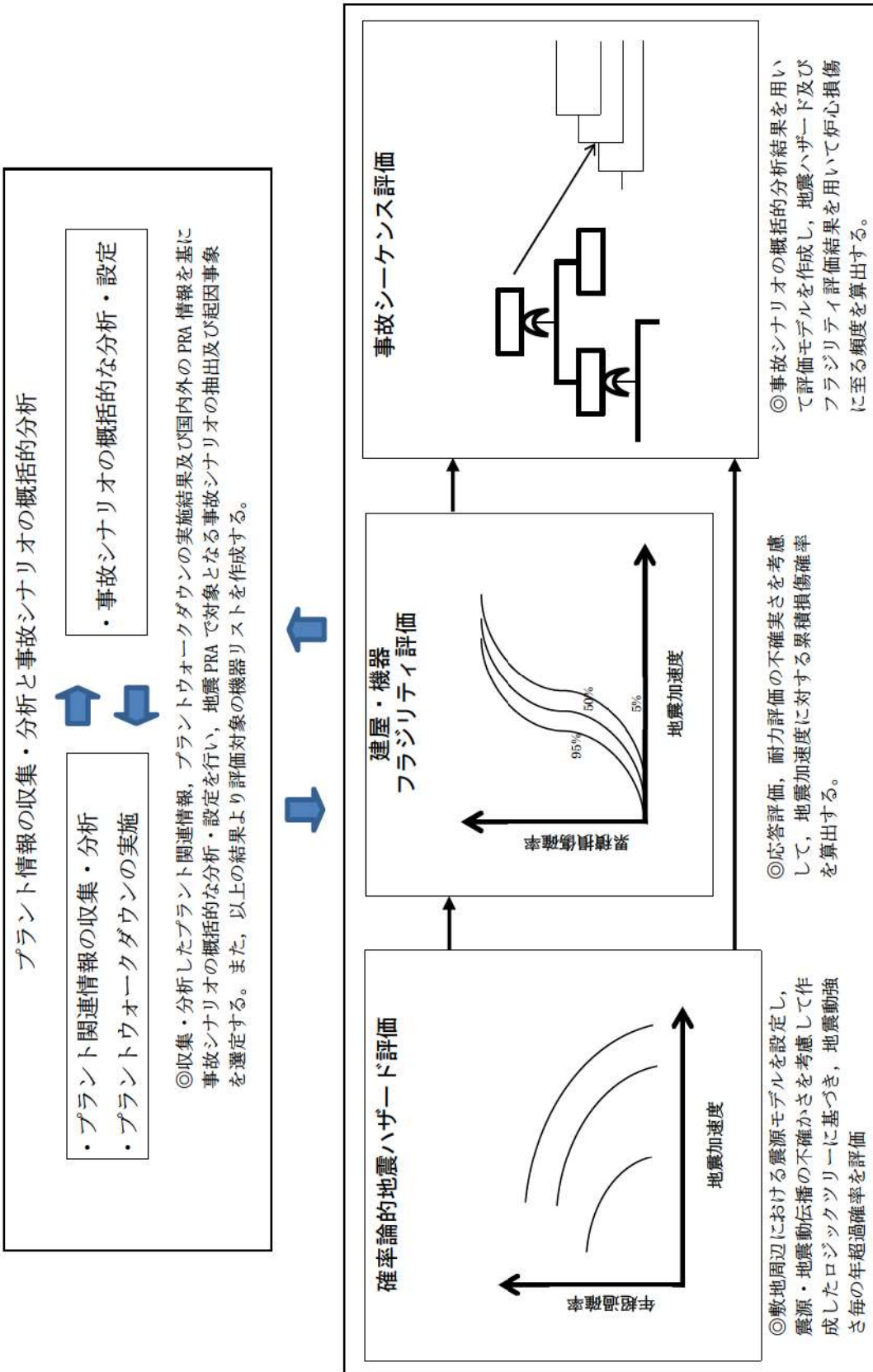
順位	建屋・機器	中央値 (G)	HCLPF (G)	FV 重要度	建屋・機器の損傷が影響を与える 主要な事故シーケンス
1	パワーコントロールセントラルき電盤、き電盤 (CLN限流装置付) (機能損傷)	2.01	0.90	0.03	
2	安全補機開閉器室空調系ダクト(手動ダンパ含む) (構造損傷)	2.62	0.90	0.02	
3	安全補機開閉器室空調系 防火ダンパ(機能損傷)	1.77	0.93	0.02	
4	ディーゼル発電機室換気系ダクト(構造損傷)	2.62	0.90	0.02	
5	ディーゼル発電機室換気系 防火ダンパ(機能損傷)	1.77	0.93	0.02	外部電源喪失+非常用所内交流電源喪失
6	D/G出力電圧計(機能損傷)	2.06	0.92	0.02	
6	ディーゼル発電機用励磁機(機能損傷)	2.06	0.92	0.02	
6	ディーゼル発電機制御盤(機能損傷)	2.06	0.92	0.02	
9	内燃機関(ディーゼル機関)(機能損傷)	1.63	0.99	0.02	
9	始動用電磁弁(機能損傷)	1.63	0.99	0.02	
9	ディーゼル発電機(機能損傷)	1.63	0.99	0.02	

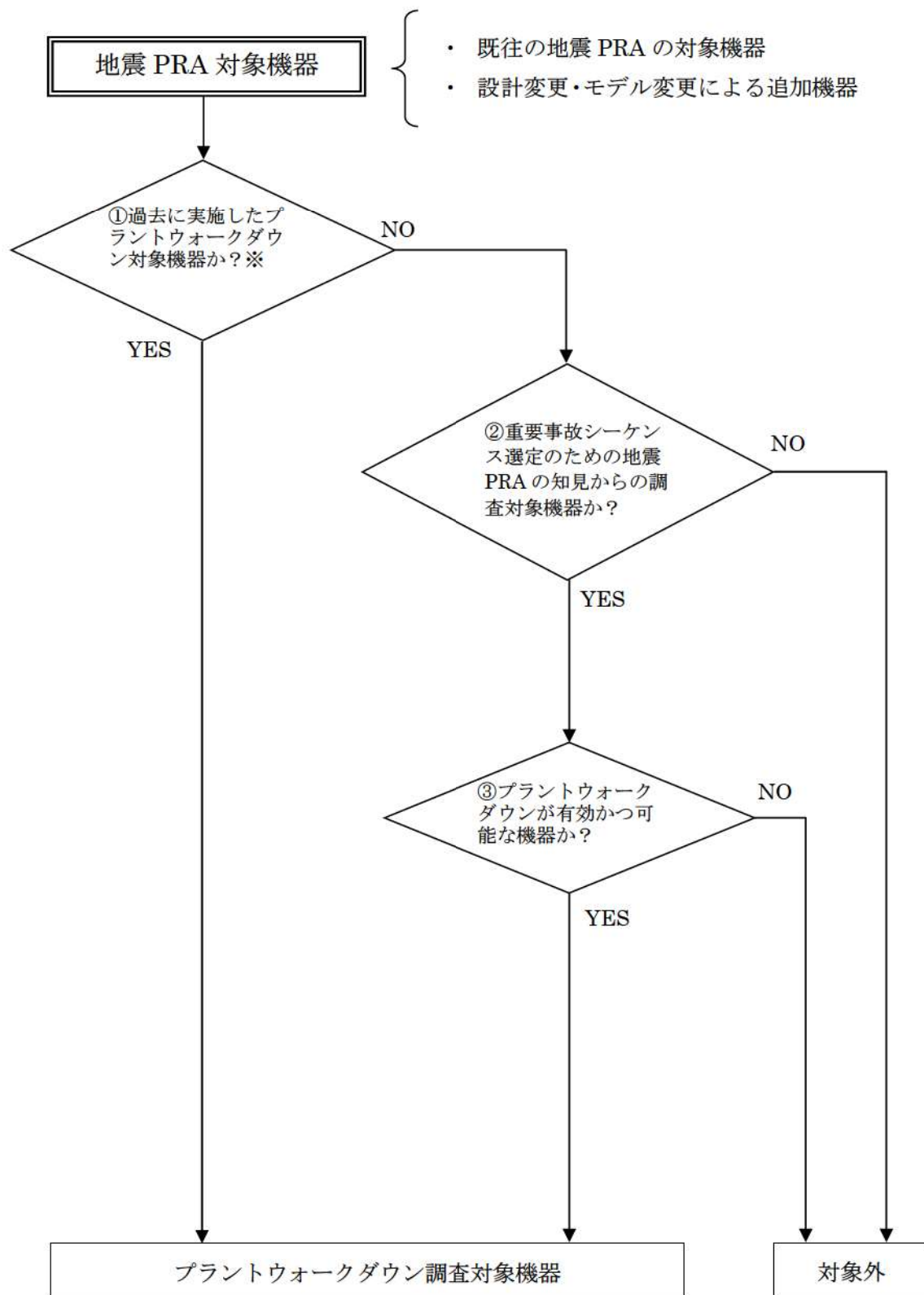
第3.2.1.d-10表 不確実さ解析結果

【確率論的地震ハザード確定後の  
地震PRA評価完了後にご説明】

第3.2.1.d-11表 相関仮定に係る感度解析結果

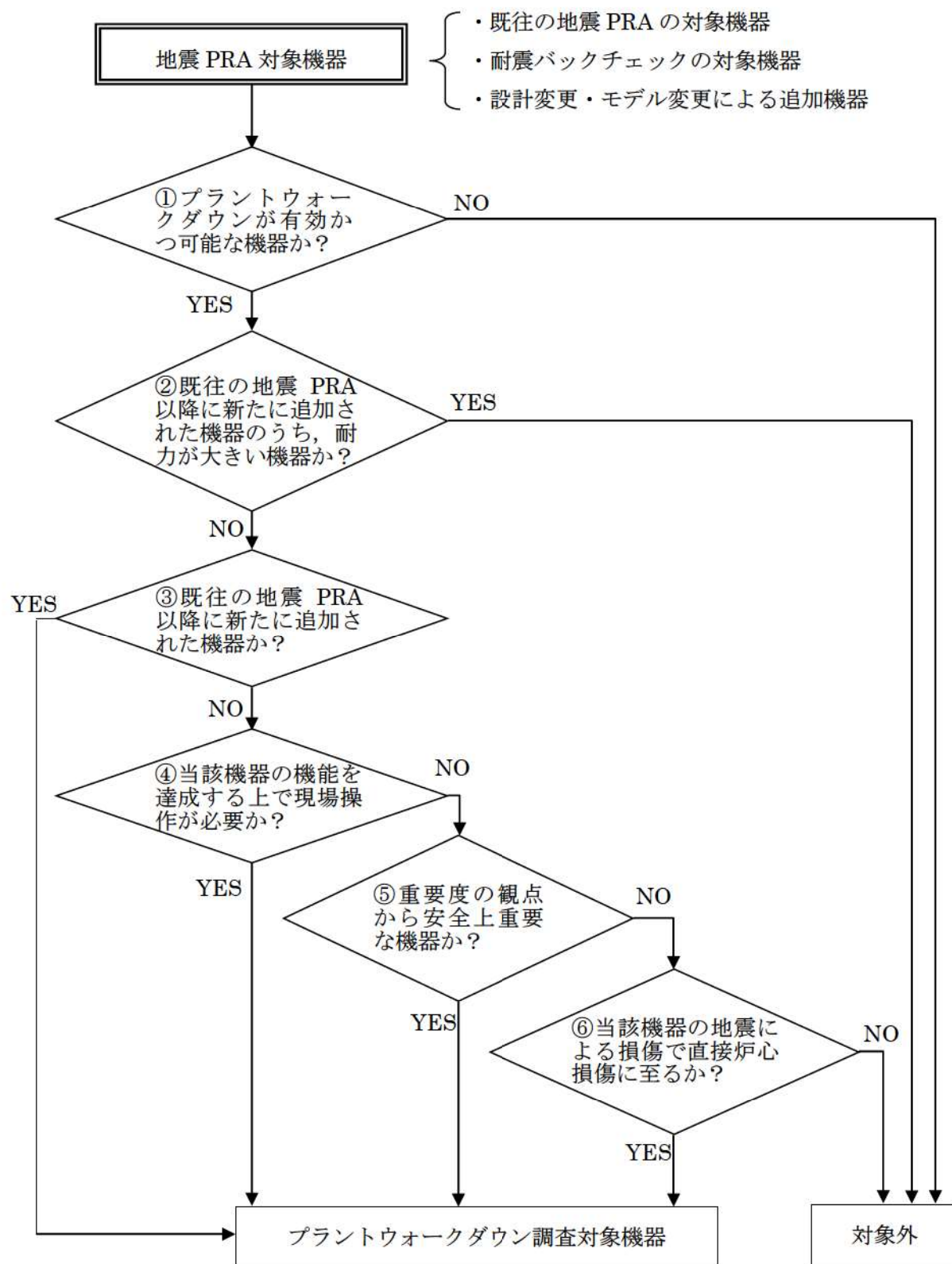
【確率論的地震ハザード確定後の  
地震PRA評価完了後にご説明】





※次ページ参照

第 3.2.1.a-1 図 プラントウォークダウン調査機器の選定フロー (1/2)



第3.2.1.a-1図 プラントウォークダウン調査機器の選定フロー (2/2)

## 泊発電所 3号機 プラントウォークダウンチェックシート

機器名称 : 余熱除去ポンプ

機器 I D : 3RHP1A, B 耐震クラス : S

建屋 : A/B 床 E L : -1.7 M 区画 : 添付 2(Page2-7)

参照

形状 : 横置ポンプうず巻形 支持タイプ : 基礎ボルト 通り芯 : 添付 2(Page2-7)

参照

二次的影響を考慮する設備 : なし

アクセス性 (ルート : —)

系統図番号 : 添付 3(Page3-6) 参照 機器配置図番号 : 添付 2(Page2-7) 参照

モデル化の前提条件（リカバリー条件の概要）／ロジック

条件①

### [チェック対象項目]

- A) 耐震安全性の確認
- B) リカバリー操作の確認
- C) モデル化の前提条件の確認

総合評価（モデルへの反映方法、取り扱いについての記載）

問題となる箇所は特に見当たらなかった。

(特記事項なし)

実施日 : 2013 年 1 月 16 日

実施者 : \_\_\_\_\_

第 3.2.1. a-2 図 プラントウォークダウンの評価結果の例 (1/6)

## A) 耐震安全性の確認

対象機器本体の評価

	Y	N	U	N/A
1. 対象機器の図面（外形図・耐震計算書等）と外見上相違点は無い	<input checked="" type="checkbox"/>	<input type="checkbox"/>	<input type="checkbox"/>	<input type="checkbox"/>
2. 対象機器と支持構造物との接合部に外見上の異常（腐食・亀裂等）は無い	<input type="checkbox"/>	<input type="checkbox"/>	<input type="checkbox"/>	<input checked="" type="checkbox"/>
3. 配管接合部と図面に外見上の相違点は無い	<input checked="" type="checkbox"/>	<input type="checkbox"/>	<input type="checkbox"/>	<input type="checkbox"/>
4. 配管接合部に外見上の異常（腐食・亀裂等）は無い	<input checked="" type="checkbox"/>	<input type="checkbox"/>	<input type="checkbox"/>	<input type="checkbox"/>

アンカーボルト評価

	Y	N	U	N/A
1. 図面（外形図・耐震計算書等）と外見上の相違は無い	<input checked="" type="checkbox"/>	<input type="checkbox"/>	<input type="checkbox"/>	<input type="checkbox"/>
2. 外見上の異常（腐食・亀裂等）は無い	<input checked="" type="checkbox"/>	<input type="checkbox"/>	<input type="checkbox"/>	<input type="checkbox"/>
3. 締め付け強度は適切に管理されている (管理要領書等で確認)	<input checked="" type="checkbox"/>	<input type="checkbox"/>	<input type="checkbox"/>	<input type="checkbox"/>

二次的影響について

	Y	N	U	N/A
1. 周辺の耐震クラスが低い機器の倒壊により被害を受けない	<input checked="" type="checkbox"/>	<input type="checkbox"/>	<input type="checkbox"/>	<input type="checkbox"/>
2. 倒壊により被害を与える周辺の機器の耐震性は問題ない(対象機器本体の評価に準じた評価)	<input checked="" type="checkbox"/>	<input type="checkbox"/>	<input type="checkbox"/>	<input type="checkbox"/>
3. 無筋のブロック壁が近傍にない	<input checked="" type="checkbox"/>	<input type="checkbox"/>	<input type="checkbox"/>	<input type="checkbox"/>
4. 周辺機器の損傷時、周辺機器の保有水による影響はない	<input checked="" type="checkbox"/>	<input type="checkbox"/>	<input type="checkbox"/>	<input type="checkbox"/>
5. 周辺に仮置の火災源はない	<input checked="" type="checkbox"/>	<input type="checkbox"/>	<input type="checkbox"/>	<input type="checkbox"/>

(記号の説明) Y : YES, N : NO, U : 調査不可, N/A : 対象外

第 3.2.1.a-2 図 プラントウォークダウンの評価結果の例 (2/6)

機器 I D : 3RHP1A, B

B) リカバリー操作の確認

アクセス性

	Y	N	U	N/A
1. 対象機器の識別が可能である	<input type="checkbox"/>	<input type="checkbox"/>	<input type="checkbox"/>	<input checked="" type="checkbox"/>
2. 周辺設備からの被害を受けない	<input type="checkbox"/>	<input type="checkbox"/>	<input type="checkbox"/>	<input checked="" type="checkbox"/>
3. 可動部分のある器具は存在しない	<input type="checkbox"/>	<input type="checkbox"/>	<input type="checkbox"/>	<input checked="" type="checkbox"/>
4. 近傍の設備の倒壊によりアクセスルートが 塞がれる可能性はない	<input type="checkbox"/>	<input type="checkbox"/>	<input type="checkbox"/>	<input checked="" type="checkbox"/>

現場操作性

	Y	N	U	N/A
1. 現場での操作が可能である	<input type="checkbox"/>	<input type="checkbox"/>	<input type="checkbox"/>	<input checked="" type="checkbox"/>
2. 操作のための場所が確保できる	<input type="checkbox"/>	<input type="checkbox"/>	<input type="checkbox"/>	<input checked="" type="checkbox"/>
3. 機器の作動状態が確認できる	<input type="checkbox"/>	<input type="checkbox"/>	<input type="checkbox"/>	<input checked="" type="checkbox"/>

C) モデル化の前提条件の確認

	Y	N	U	N/A
1. モデル化の前提条件①が適切である	<input type="checkbox"/>	<input type="checkbox"/>	<input type="checkbox"/>	<input checked="" type="checkbox"/>
2. モデル化の前提条件①が適切でない場合、モデルの変更を行う	<input type="checkbox"/>	<input type="checkbox"/>	<input type="checkbox"/>	<input checked="" type="checkbox"/>

(記号の説明) Y : YES, N : NO, U : 調査不可, N/A : 対象外

第 3.2.1.a-2 図 プラントウォークダウンの評価結果の例 (3/6)



余熱除去ポンプ 名称



余熱除去ポンプ 外観

第 3.2.1.a-2 図 プラントウォークダウンの評価結果の例 (4/6)



余熱除去ポンプ 据付部



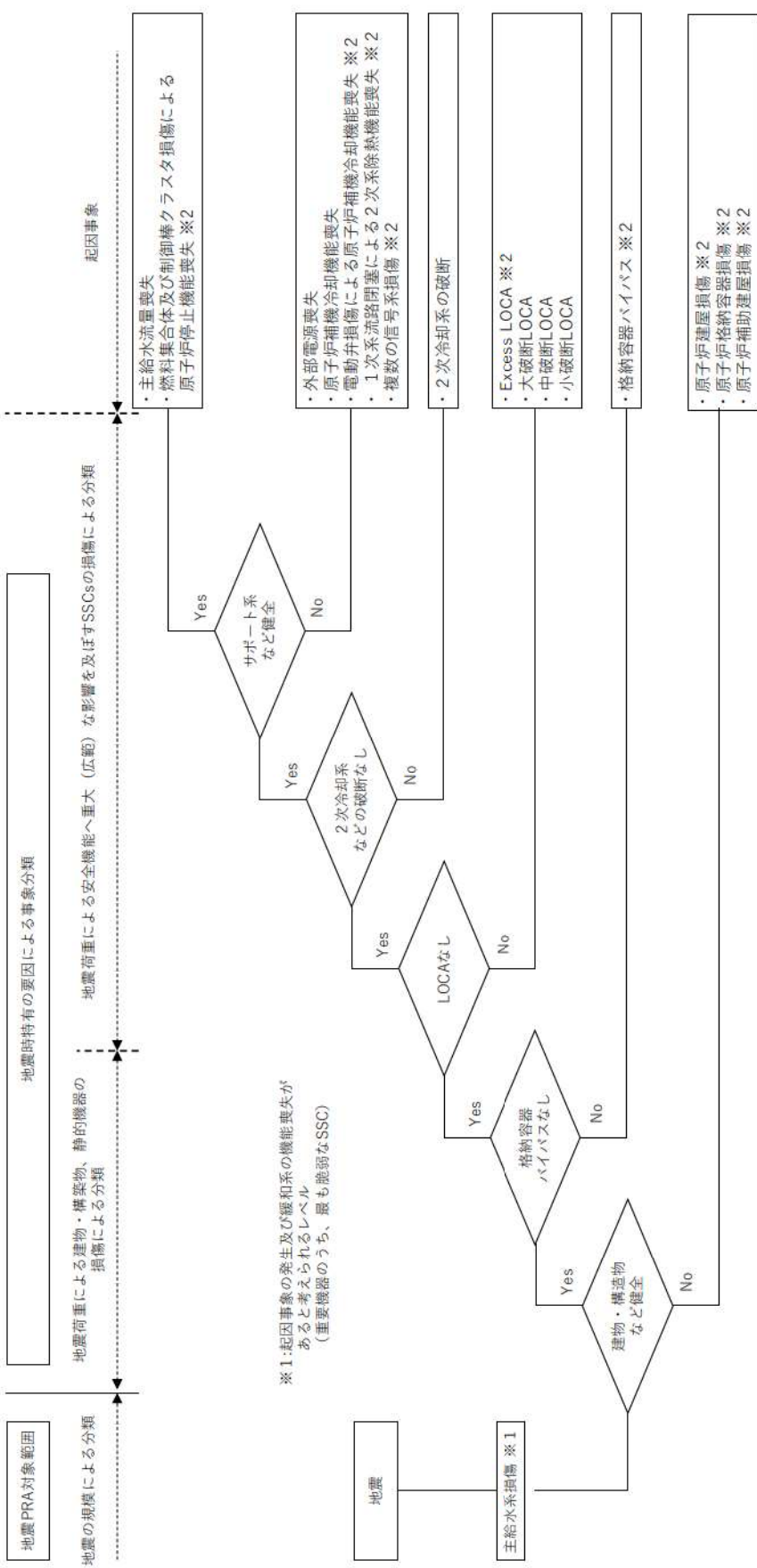
余熱除去ポンプ 周辺状況

第3.2.1.a-2図 プラントウォークダウンの評価結果の例 (5/6)

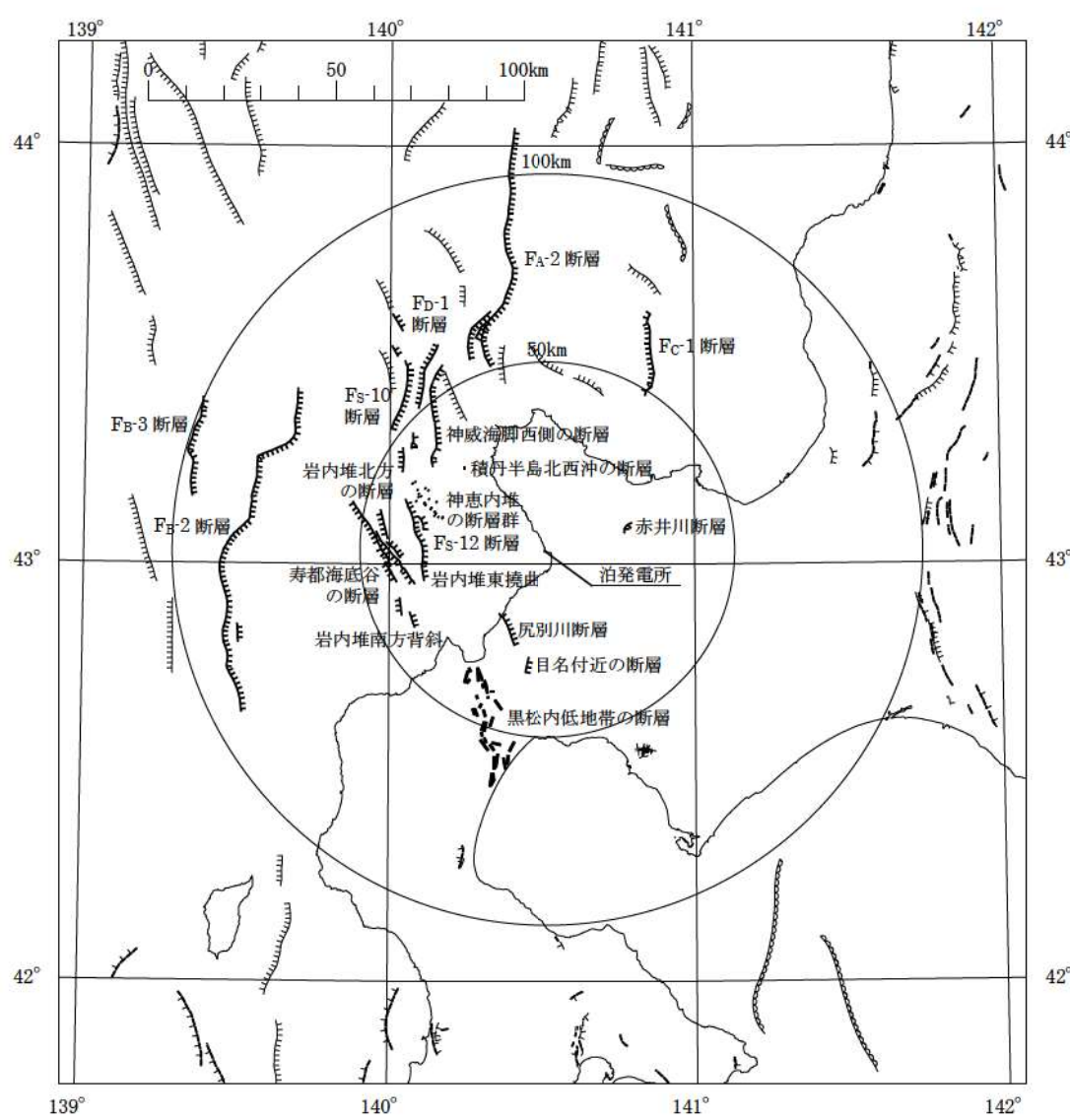


余熱除去ポンプ 配管周辺部

第3.2.1.a-2図 プラントウォークダウンの評価結果の例 (6/6)



### 第3.2.1.a-3図 起因事象の抽出フロー

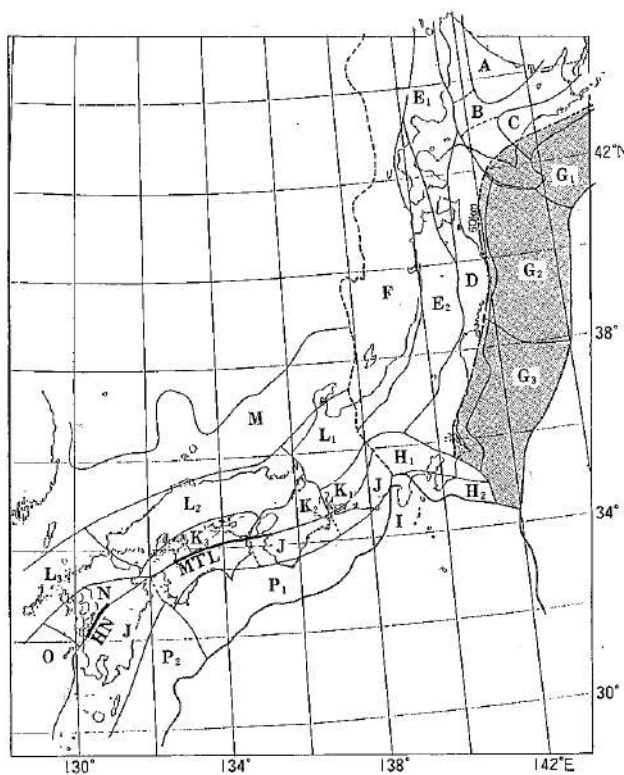


凡 例 ([新編]日本の活断層)	
陸 上	海 底
----- 活断層(確実度Ⅰ)	----- 活断層(確実)
---- 活断層(確実度Ⅱ)	---- 活断層(推定)
— 活断層(確実度Ⅲ)	— 活撓曲(確実)

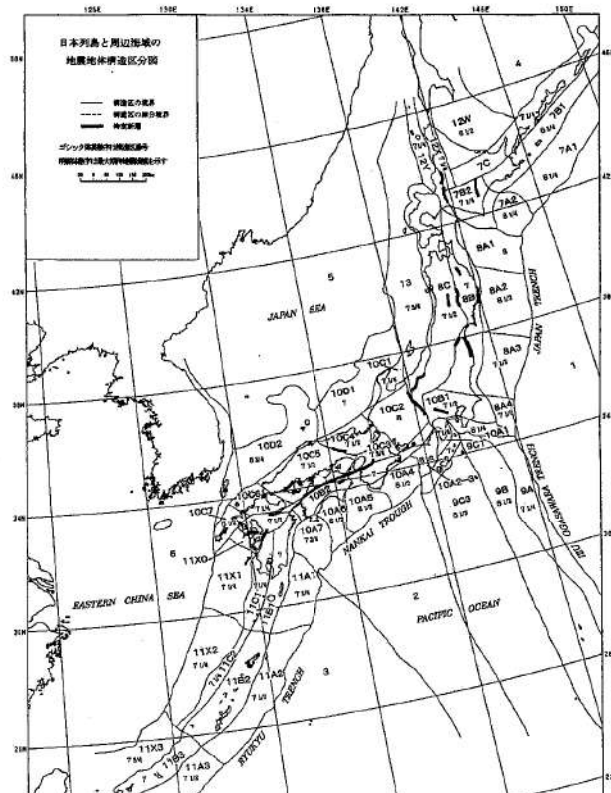
太線は主な活断層を示す

第3.2.1.b-1図 敷地周辺の活断層分布

追而【地震ハザード評価結果を反映】

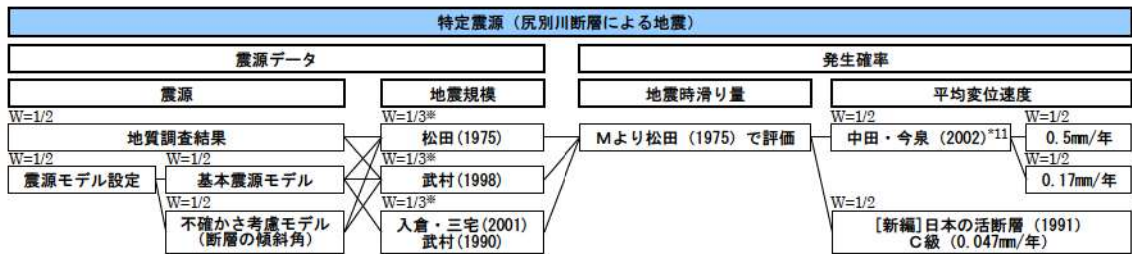


第3.2.1.b-2図(1/2) 萩原(1991)による領域区分



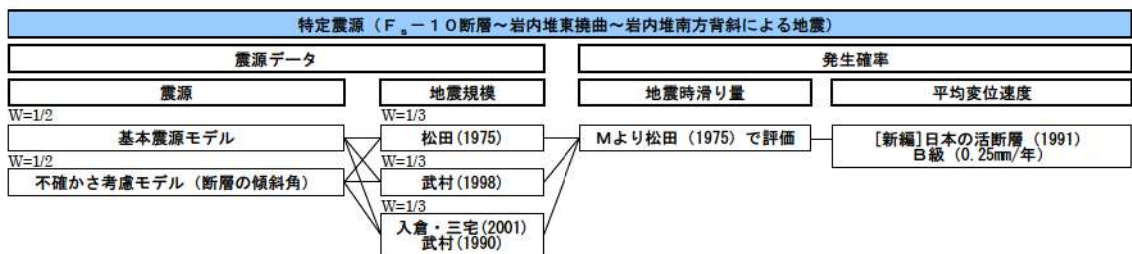
第3.2.1.b-2図(2/2) 垣見ほか(2003)による領域区分

追而【地震ハザード評価結果を反映】

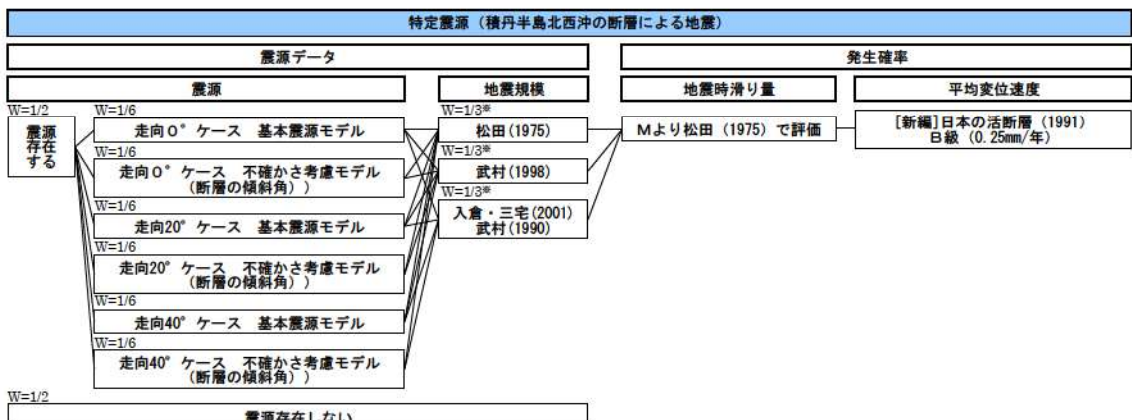


※ 地質調査結果および不確かさ考慮モデル（断層の傾斜角）については、入倉・三宅（2001）、武村（1990）の分岐がないため、重みは松田（1975）を1/2、武村（1998）を1/3とする。

第3.2.1.b-3図 (1/7) ロジックツリー（特定震源その1）

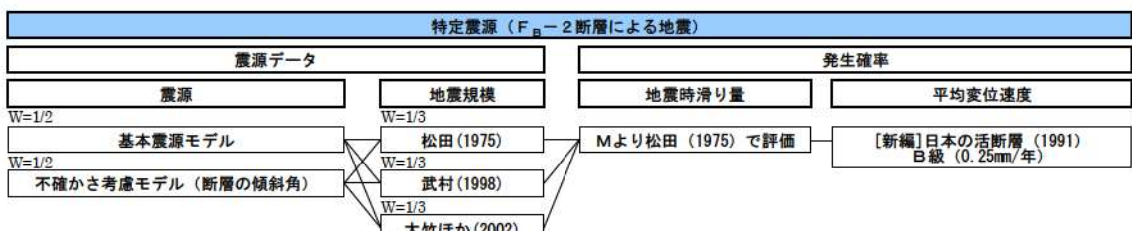


第3.2.1.b-3図 (2/7) ロジックツリー（特定震源その2）



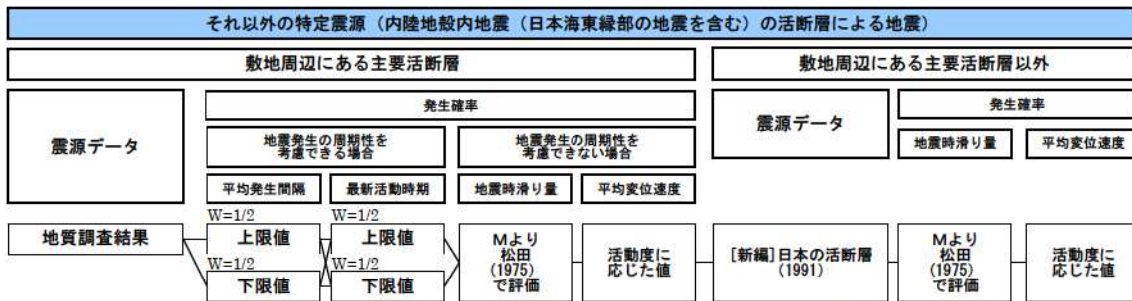
※ 不確かさ考慮モデル（断層の傾斜角）については、入倉・三宅（2001）、武村（1990）の分岐がないため、重みは松田（1975）を1/2、武村（1998）を1/3とする。

第3.2.1.b-3図 (3/7) ロジックツリー（特定震源その3）



第3.2.1.b-3図 (4/7) ロジックツリー（特定震源その4）

追而【地震ハザード評価結果を反映】



第3.2.1.b-3図 (5/7) ロジックツリー (特定震源その5)



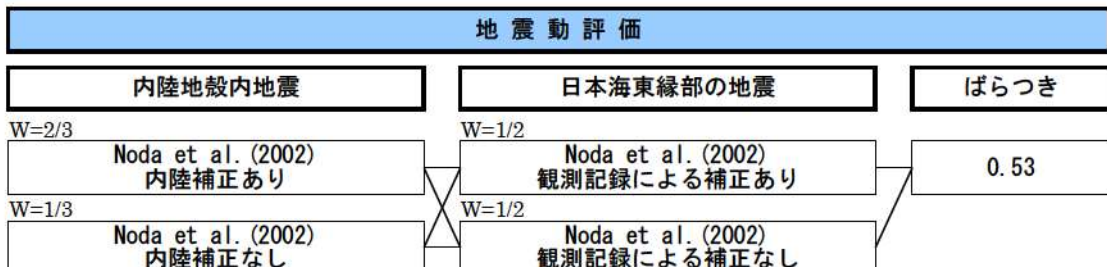
※1 最大地震規模の下限値として、地震調査委員会(2013)<sup>12</sup>のモデル1(M6.8)およびモデル2(M7.3)の地震規模を参考に分岐を考慮する。

※2 過去最大地震規模と下限値を比較し、大きい方を最大地震規模として採用する。最大地震規模に幅がある場合は等分した分岐を考慮する。

※3 堀見ほか(2003)に基づく領域8Cは、南北に長大な領域であり、北部領域と南部領域で地震環境が異なる(地震の発生頻度および過去最大地震規模が異なる)ことから、北部領域と南部領域に分割したロジックツリーの分岐を考慮する。

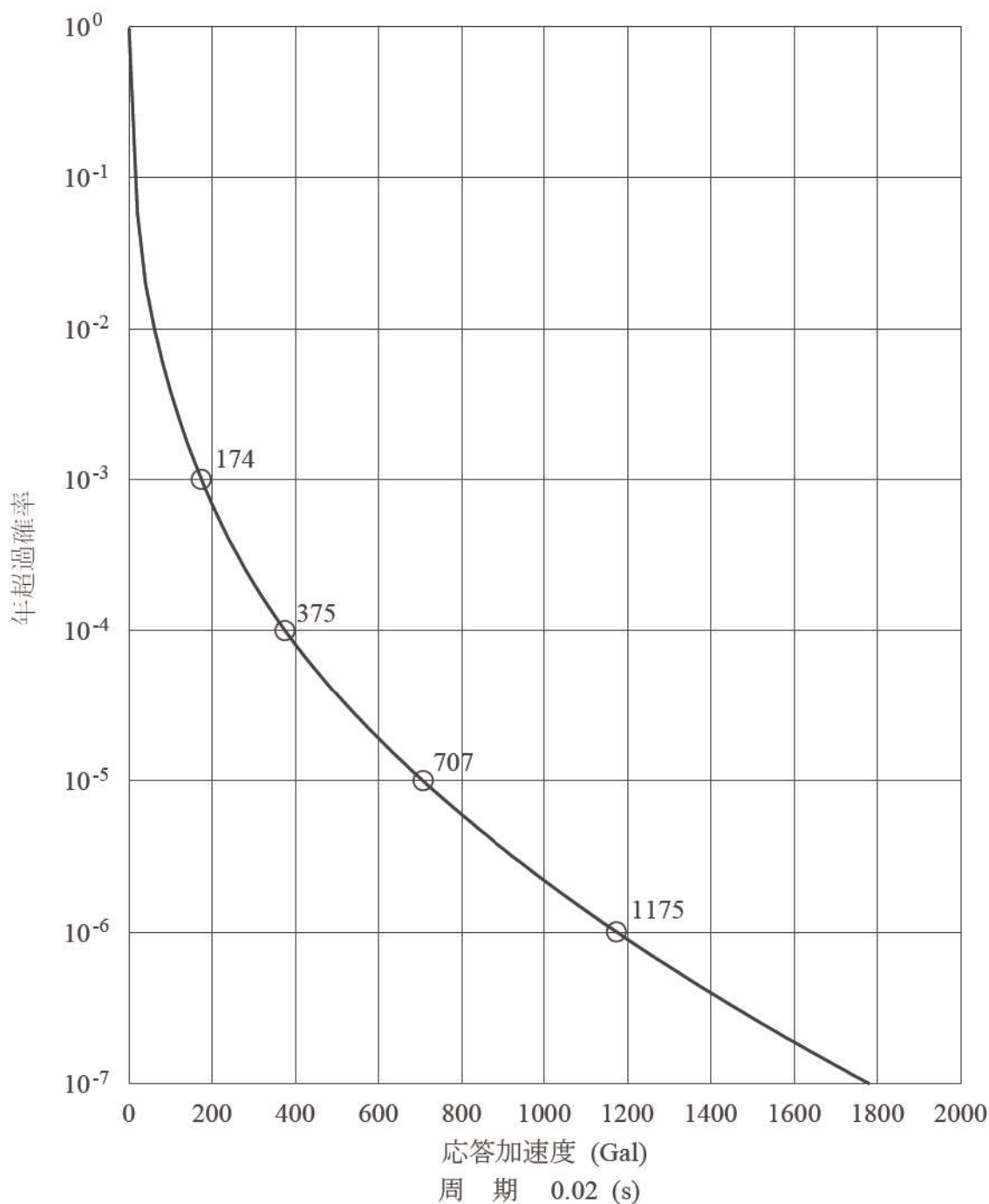
※4 岩手・宮城内陸地震に関しては、活断層との関連が指摘されている知見もあることから、ロジックツリーの分岐を考慮する。

第3.2.1.b-3図 (6/7) ロジックツリー (領域震源)



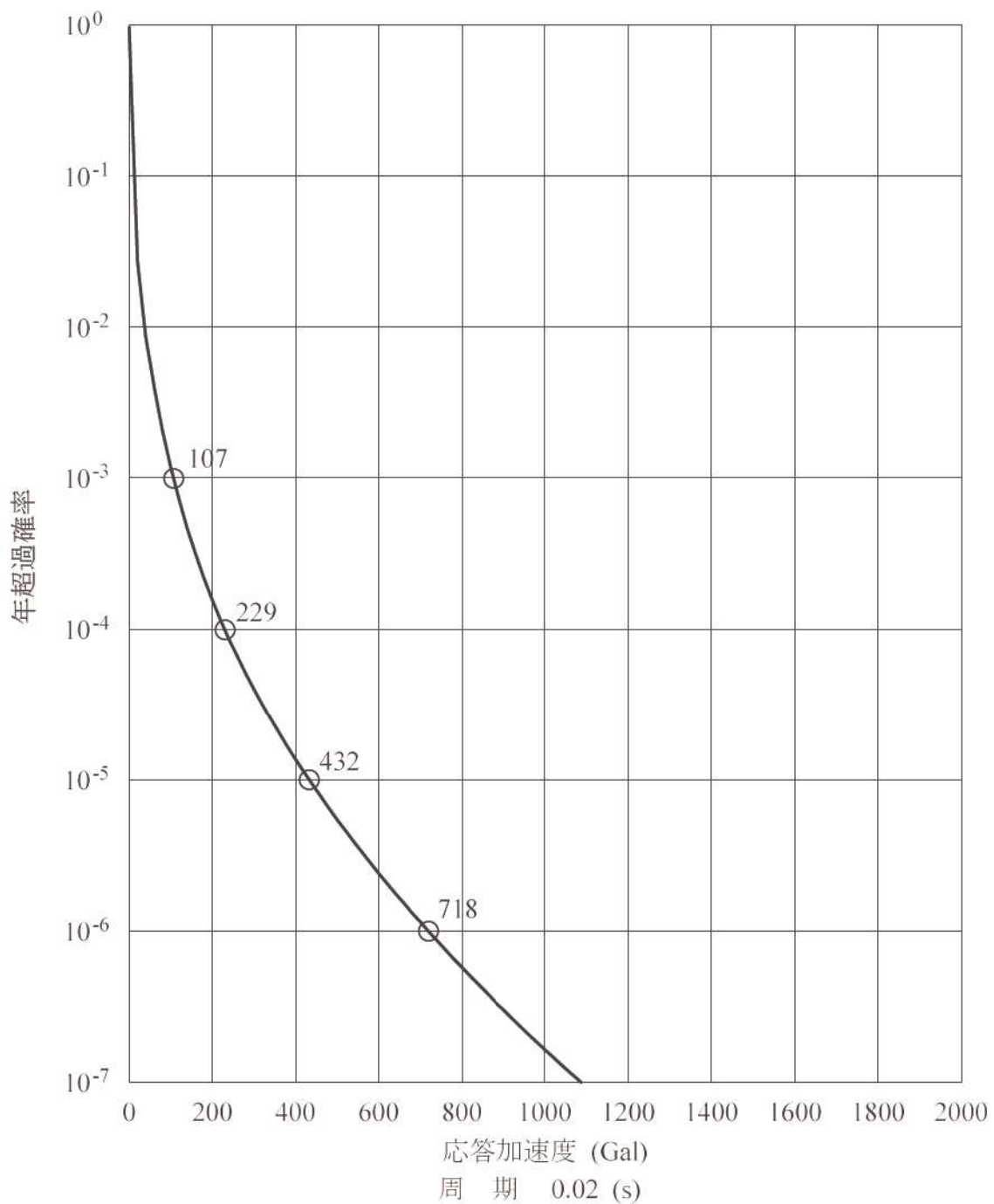
第3.2.1.b-3図 (7/7) ロジックツリー (地震動評価)

追而【地震ハザード評価結果を反映】



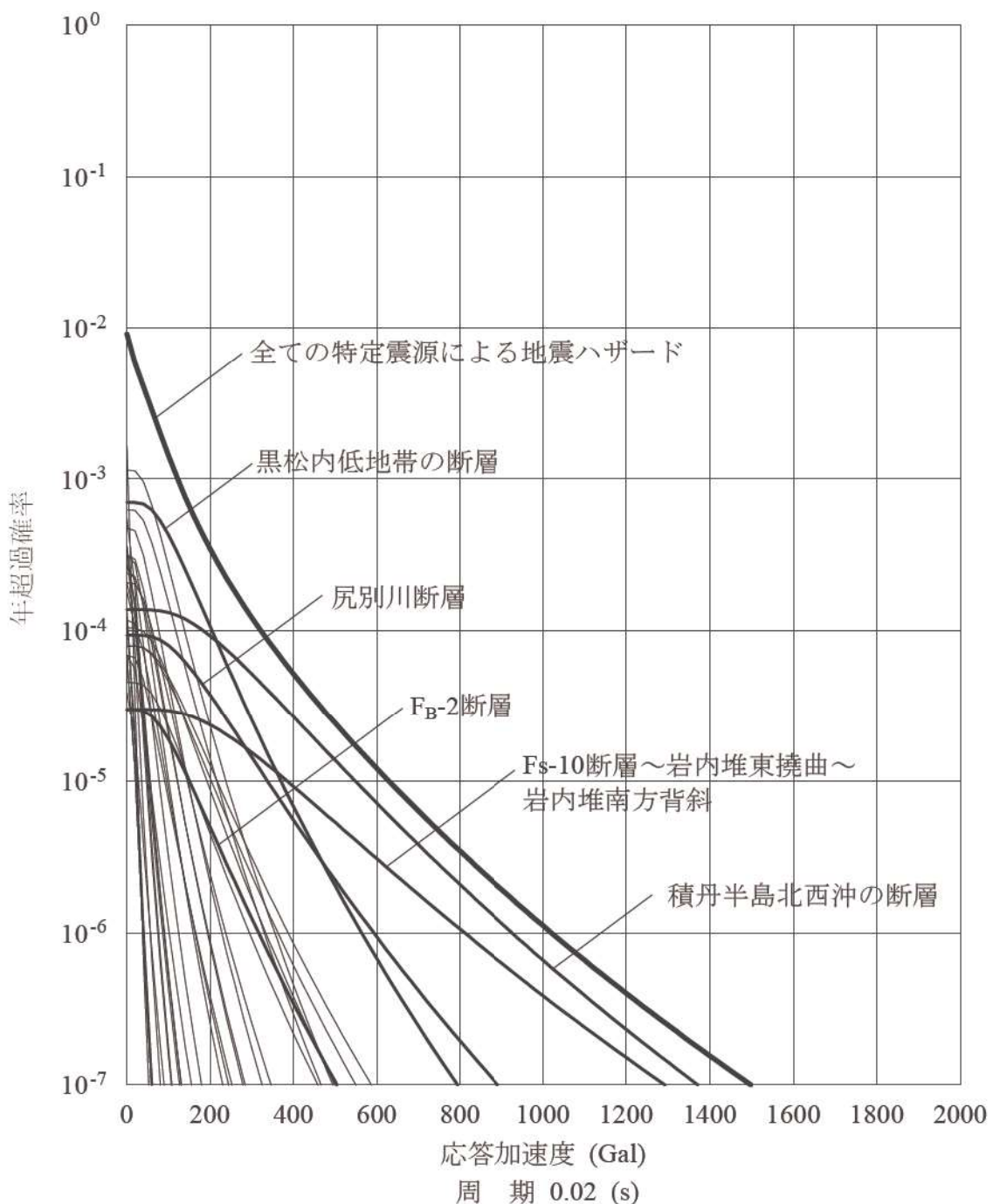
第 3.2.1.b-4 図 (1/2) 平均ハザード曲線 (水平方向)

追而【地震ハザード評価結果を反映】



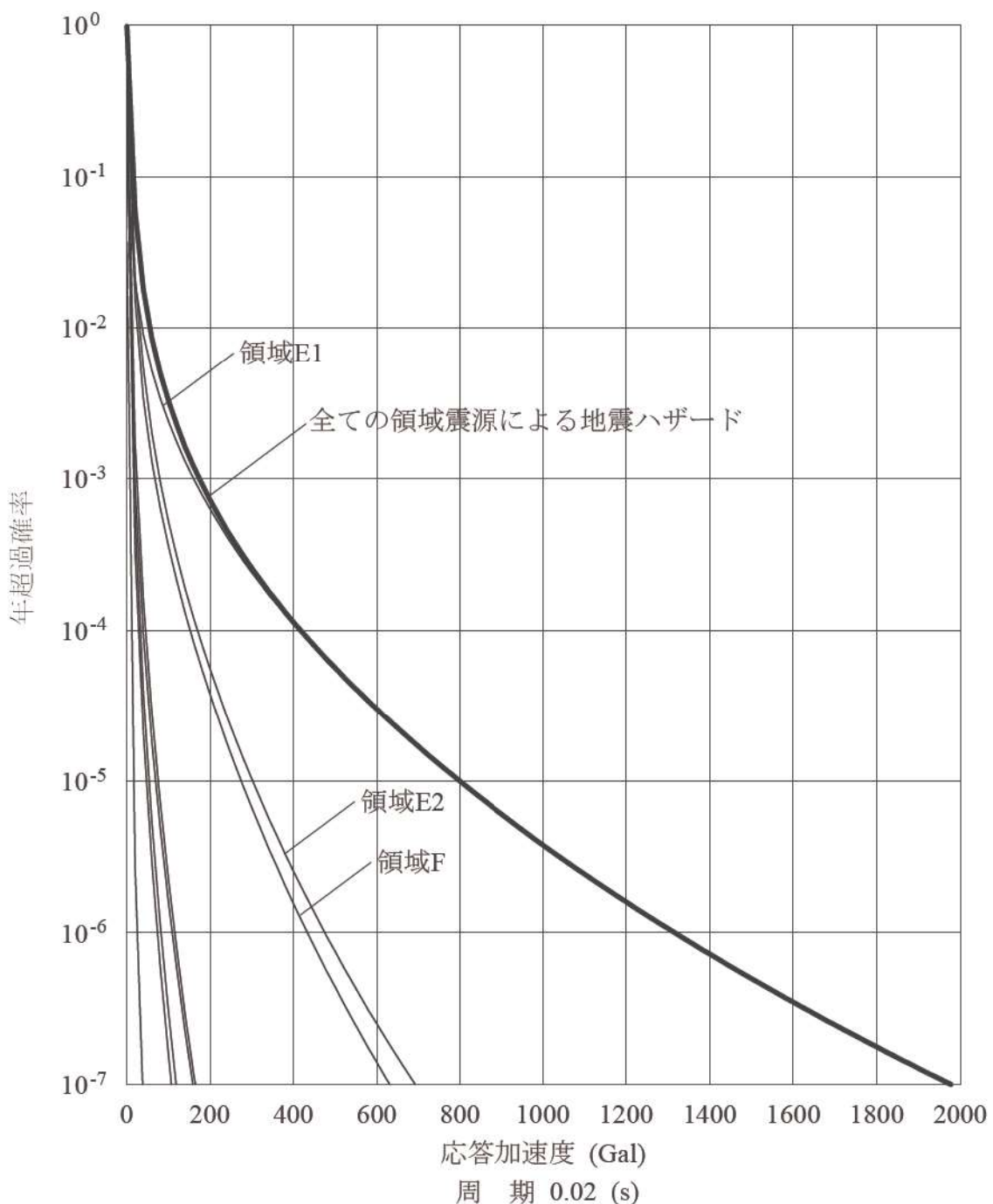
第 3.2.1.b-4 図 (2/2) 平均ハザード曲線 (鉛直方向)

追而【地震ハザード評価結果を反映】



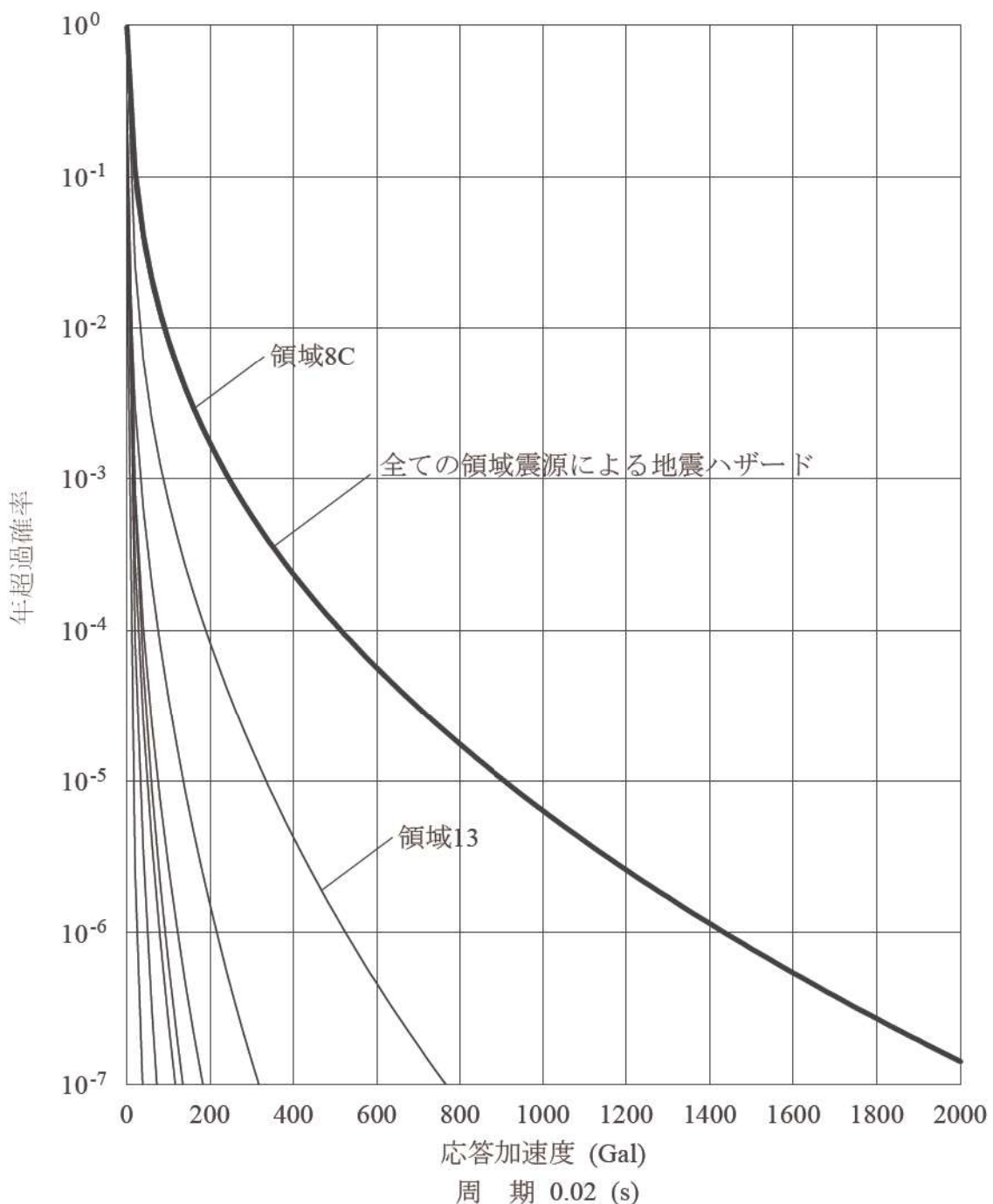
第3.2.1.b-5図(1/5) 震源ごとのハザード曲線(特定震源)

追而【地震ハザード評価結果を反映】



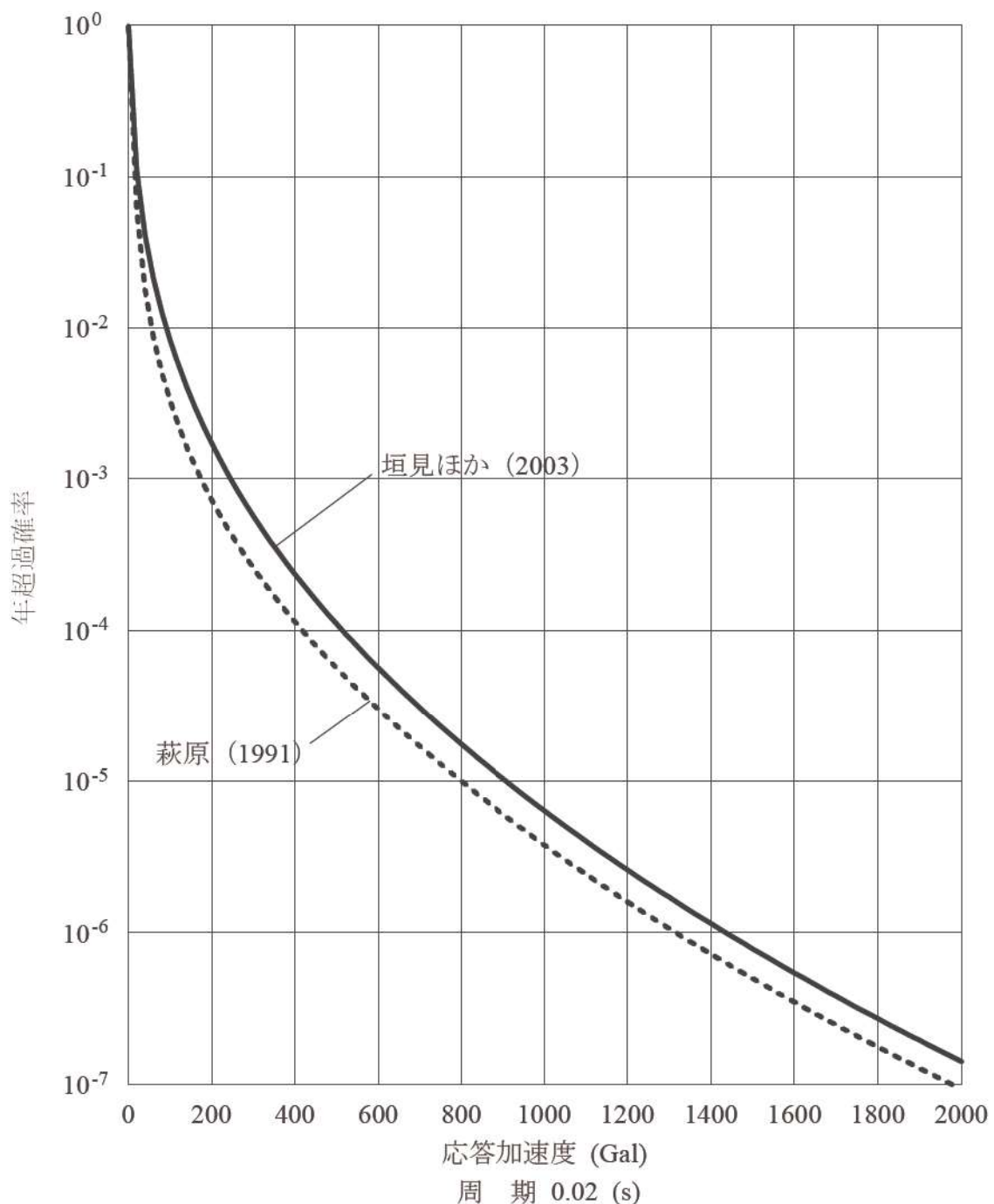
第3.2.1.b-5図(2/5) 震源ごとのハザード曲線  
(萩原(1991)に基づく領域震源)

追而【地震ハザード評価結果を反映】



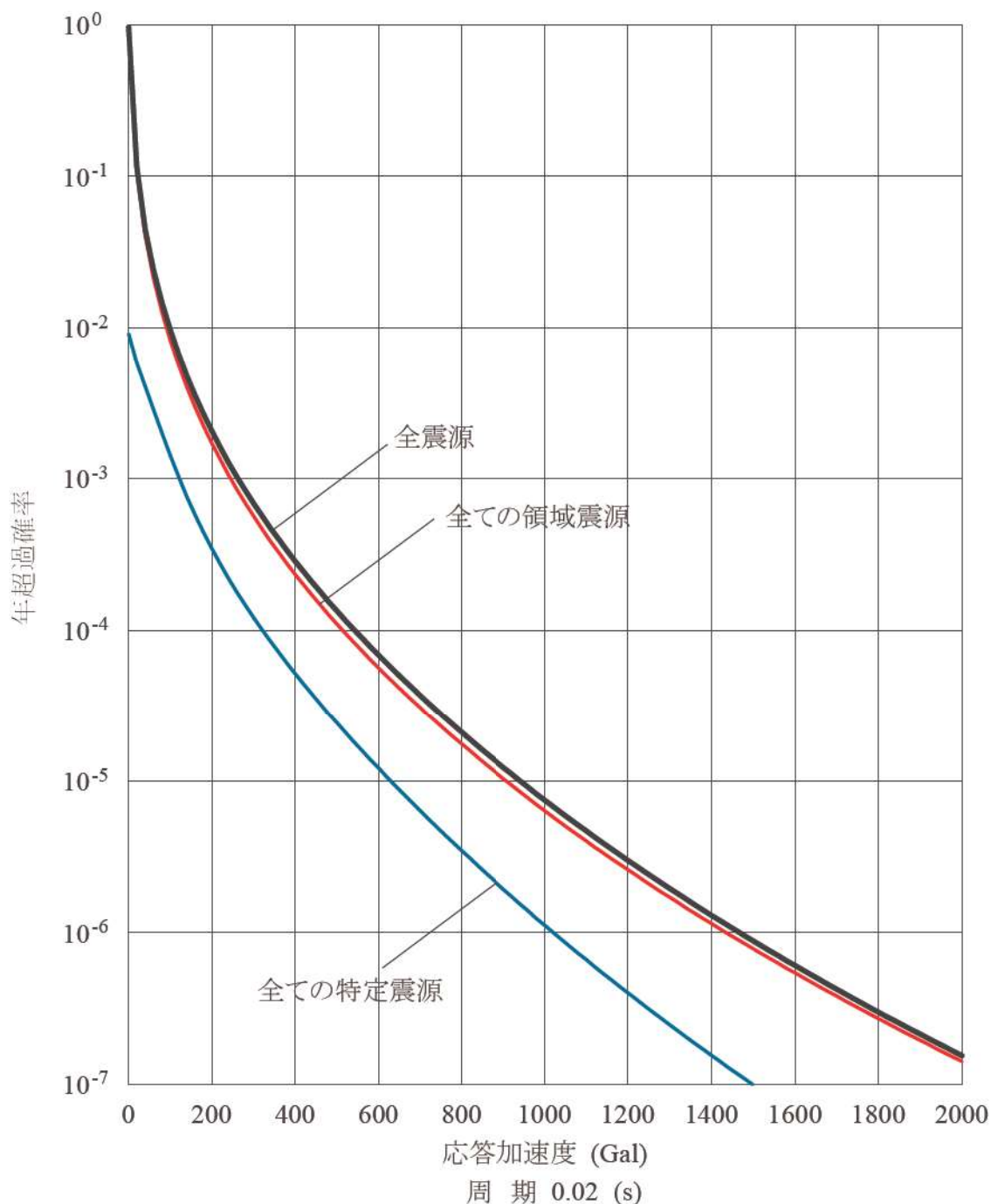
第3.2.1.b-5図(3/5) 震源ごとのハザード曲線  
(垣見ほか(2003)に基づく領域震源)

追而【地震ハザード評価結果を反映】



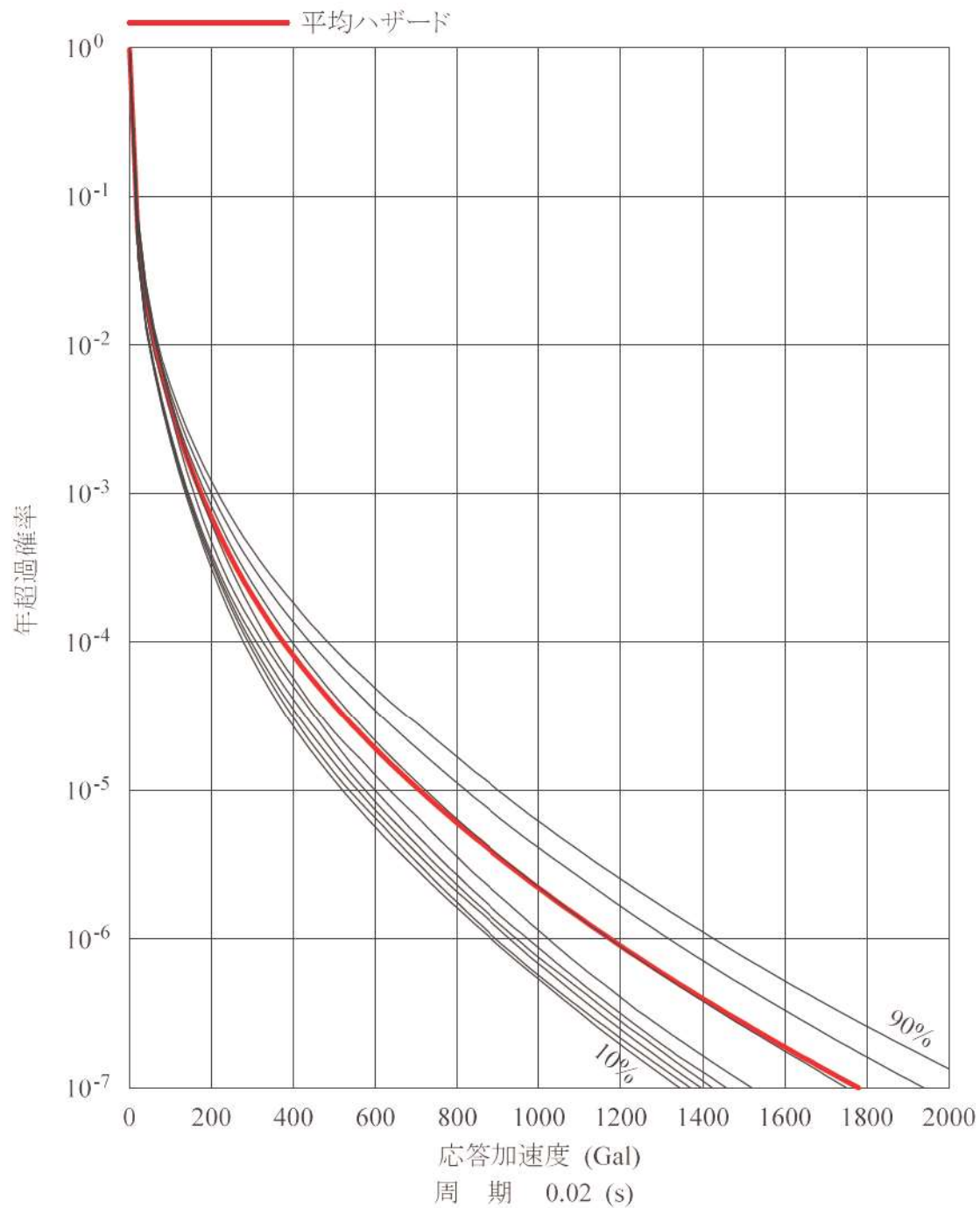
第3.2.1.b-5図 (4/5) 震源ごとのハザード曲線（領域震源）

追而【地震ハザード評価結果を反映】



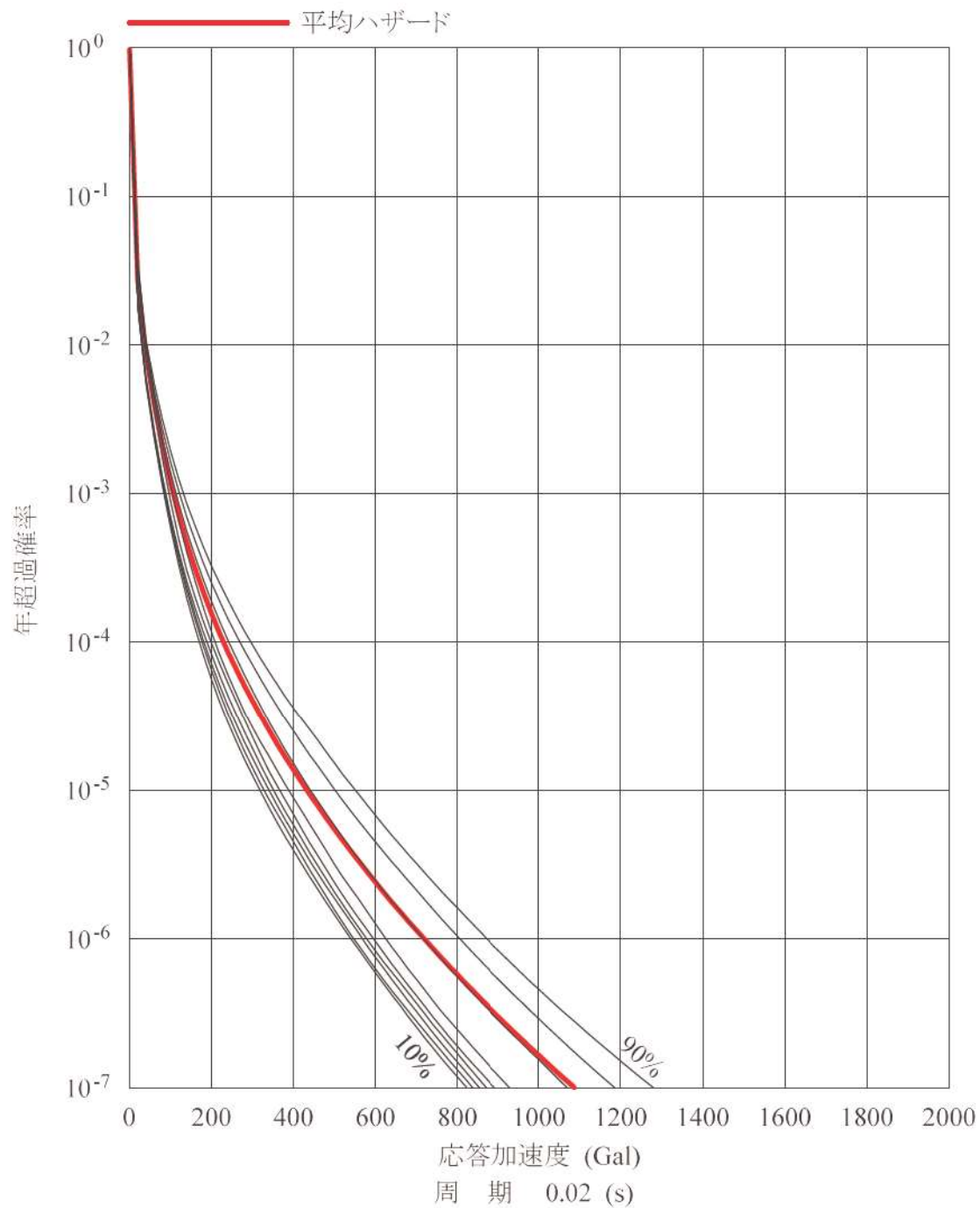
第3.2.1.b-5図 (5/5) 震源ごとのハザード曲線 (全震源)

追而【地震ハザード評価結果を反映】



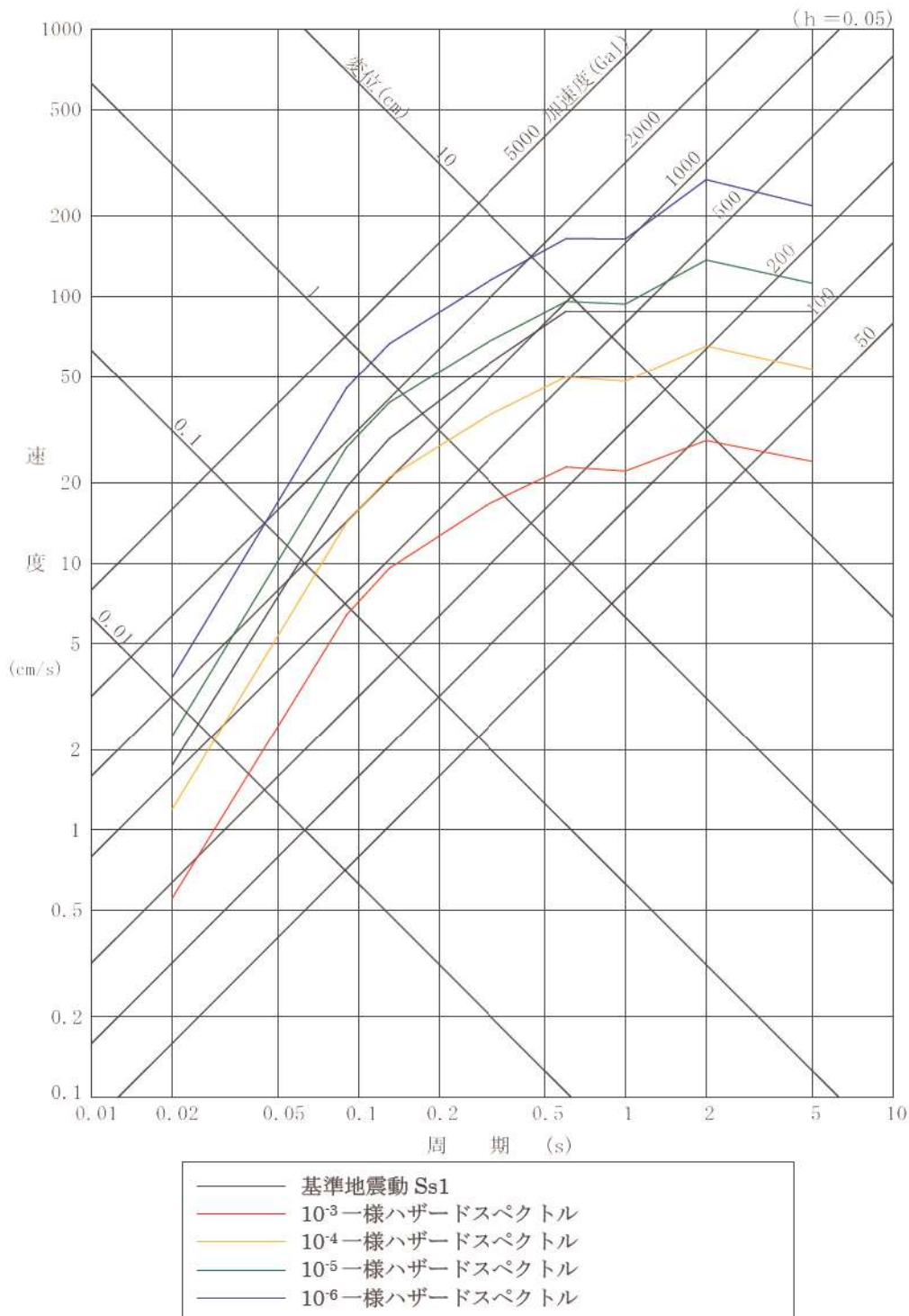
第3.2.1.b-6図 (1/2) フラクタイル地震ハザード曲線 (水平方向)

追而【地震ハザード評価結果を反映】



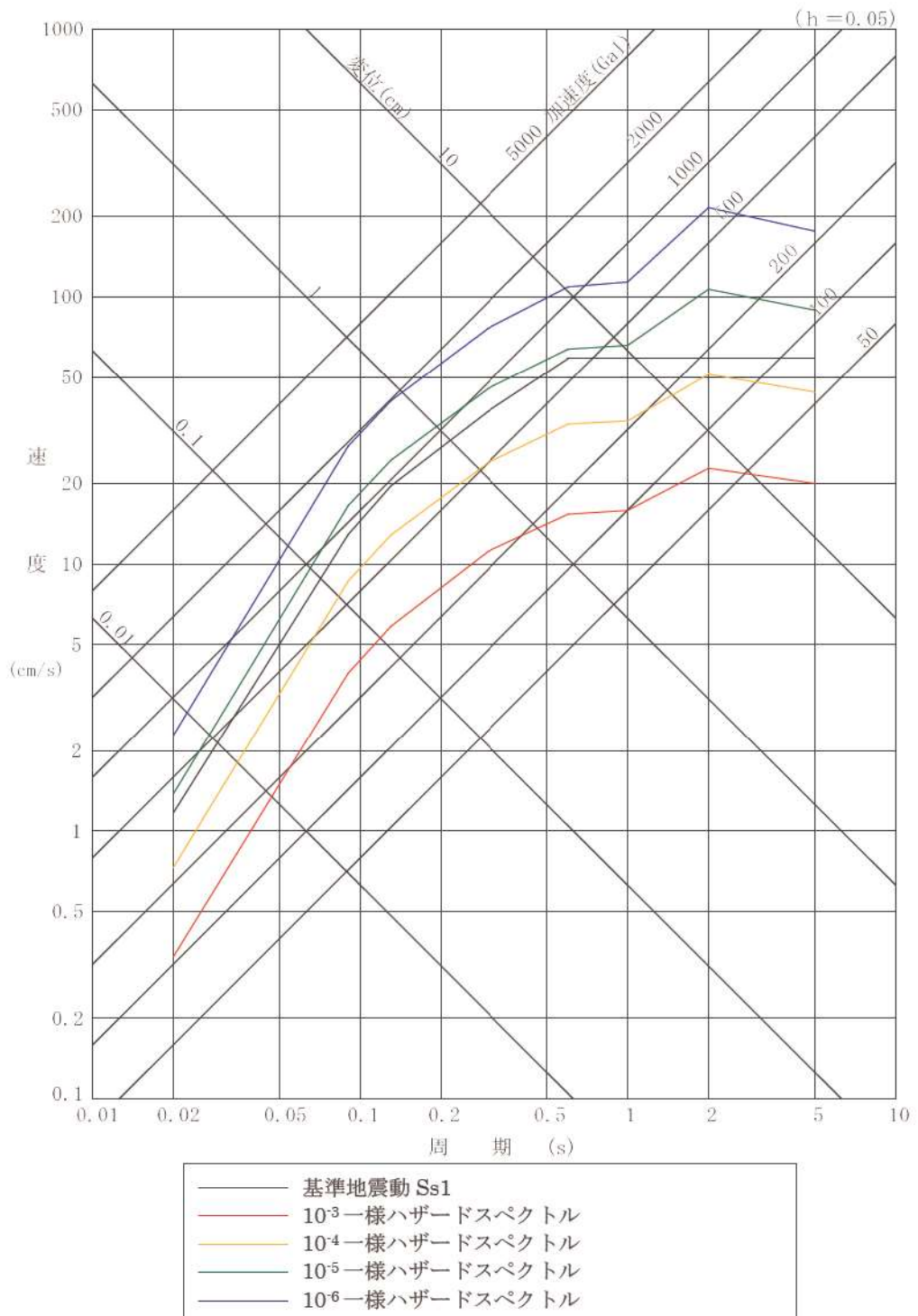
第 3.2.1.b-6 図 (2/2) フラクタイル地震ハザード曲線（鉛直方向）

追而【地震ハザード評価結果を反映】



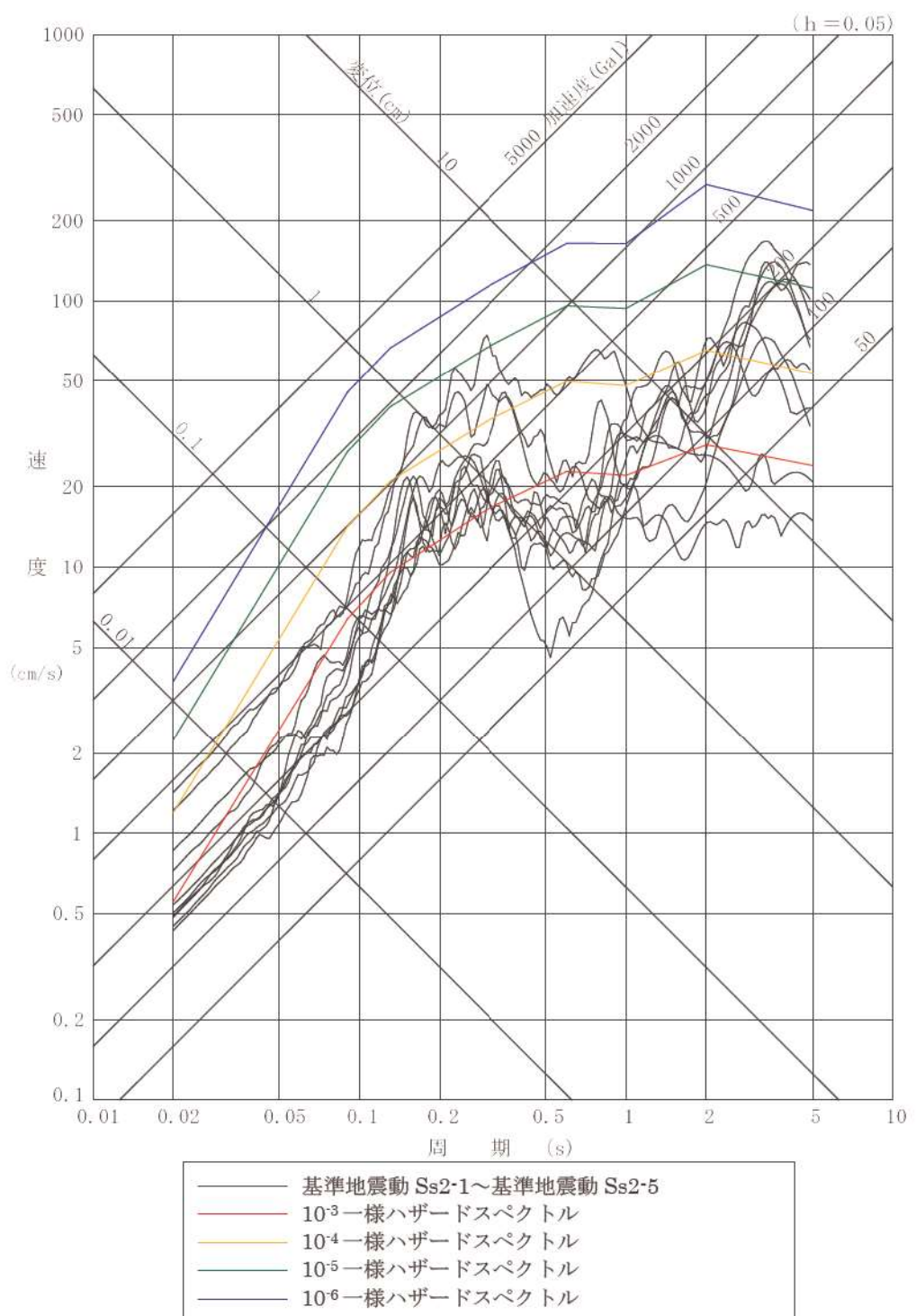
第3.2.1.b-7図 (1/6) 基準地震動 Ss の応答スペクトルと年超過確率ごとの  
一様ハザードスペクトルとの比較 (水平方向)

追而【地震ハザード評価結果を反映】



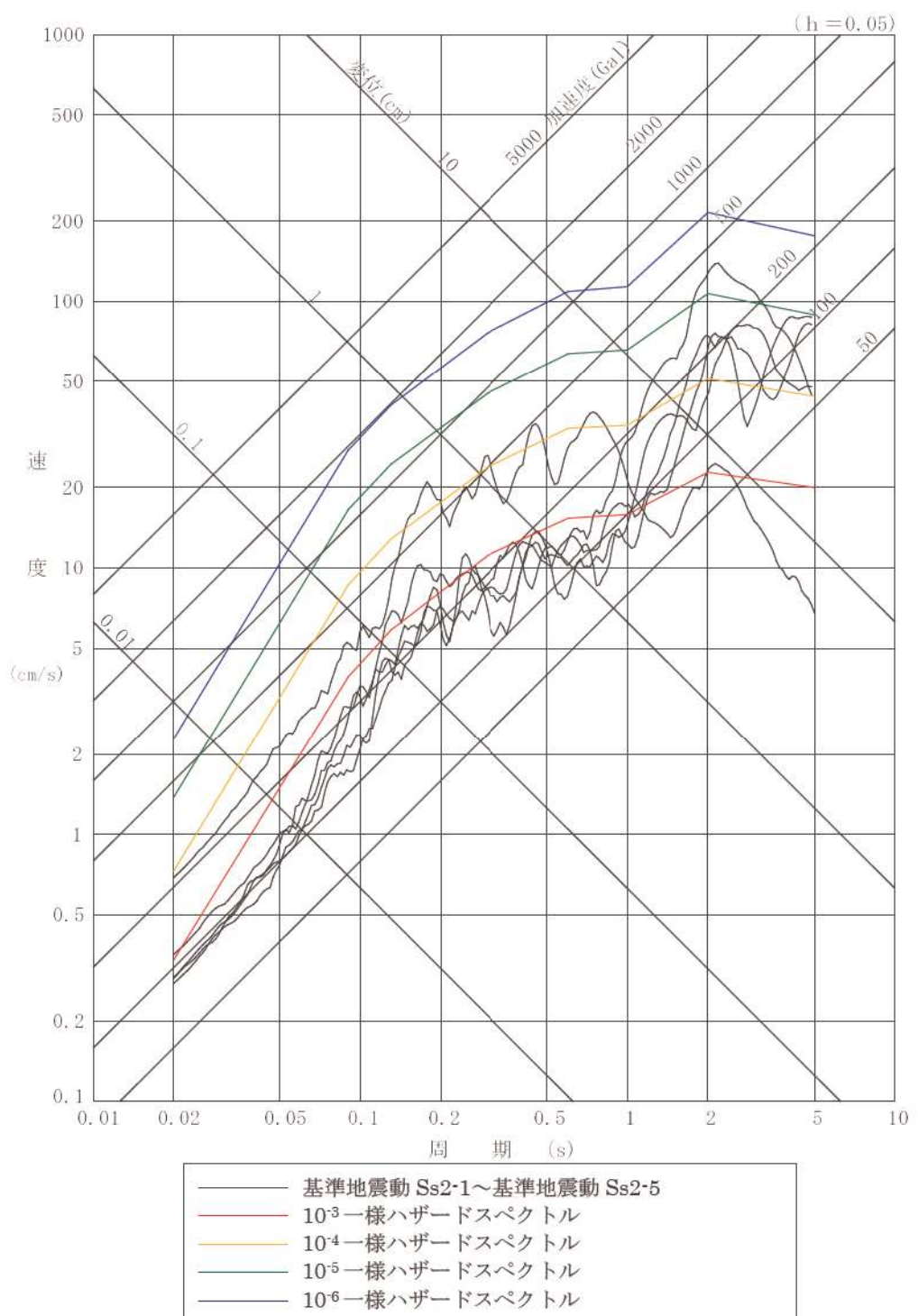
第3.2.1.b-7図(2/6) 基準地震動Ssの応答スペクトルと年超過確率ごとの  
一様ハザードスペクトルとの比較(鉛直方向)

追而【地震ハザード評価結果を反映】



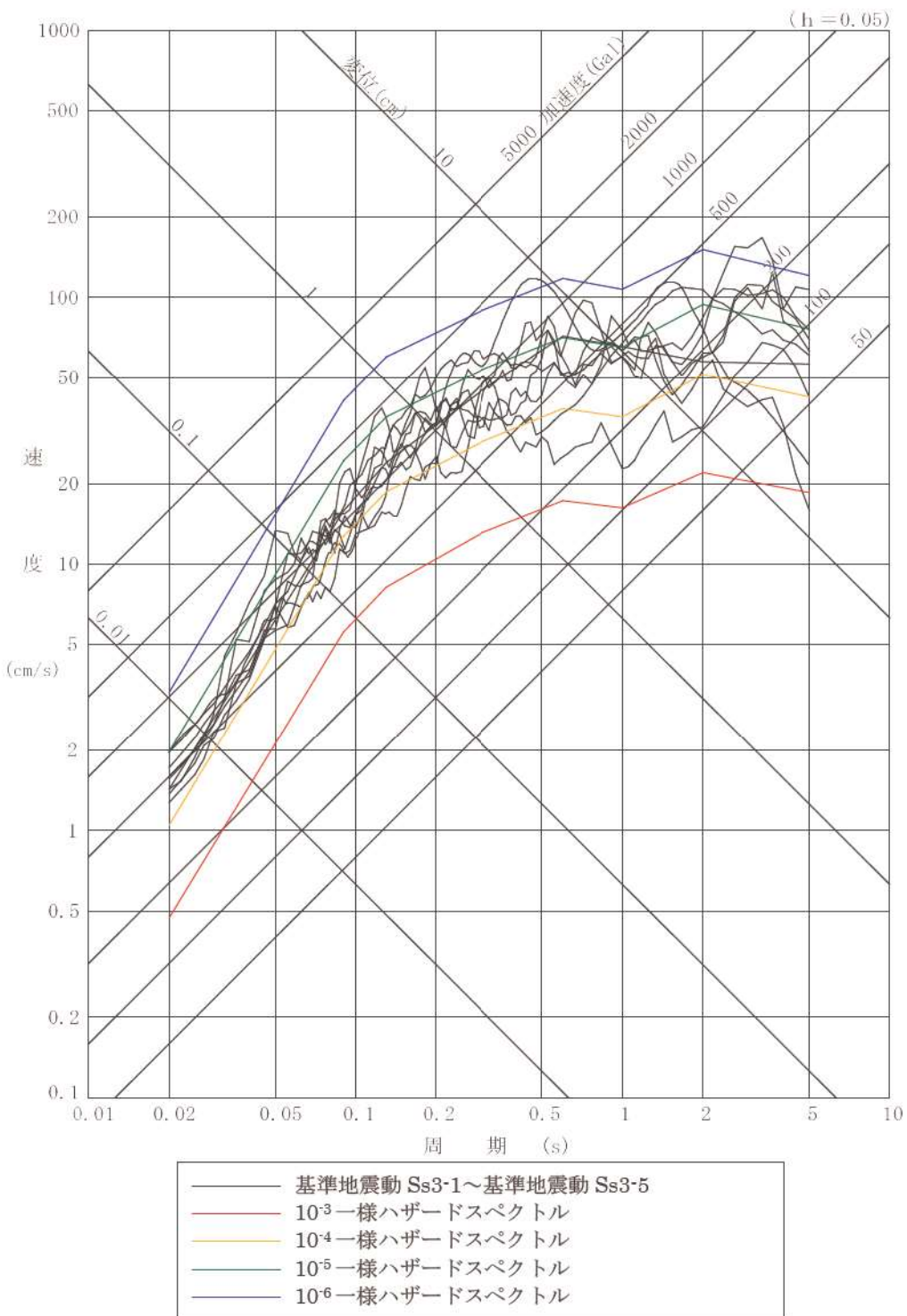
第3.2.1.b-7図(3/6) 基準地震動Ssの応答スペクトルと年超過確率ごとの  
一様ハザードスペクトルとの比較(水平方向)

追而【地震ハザード評価結果を反映】



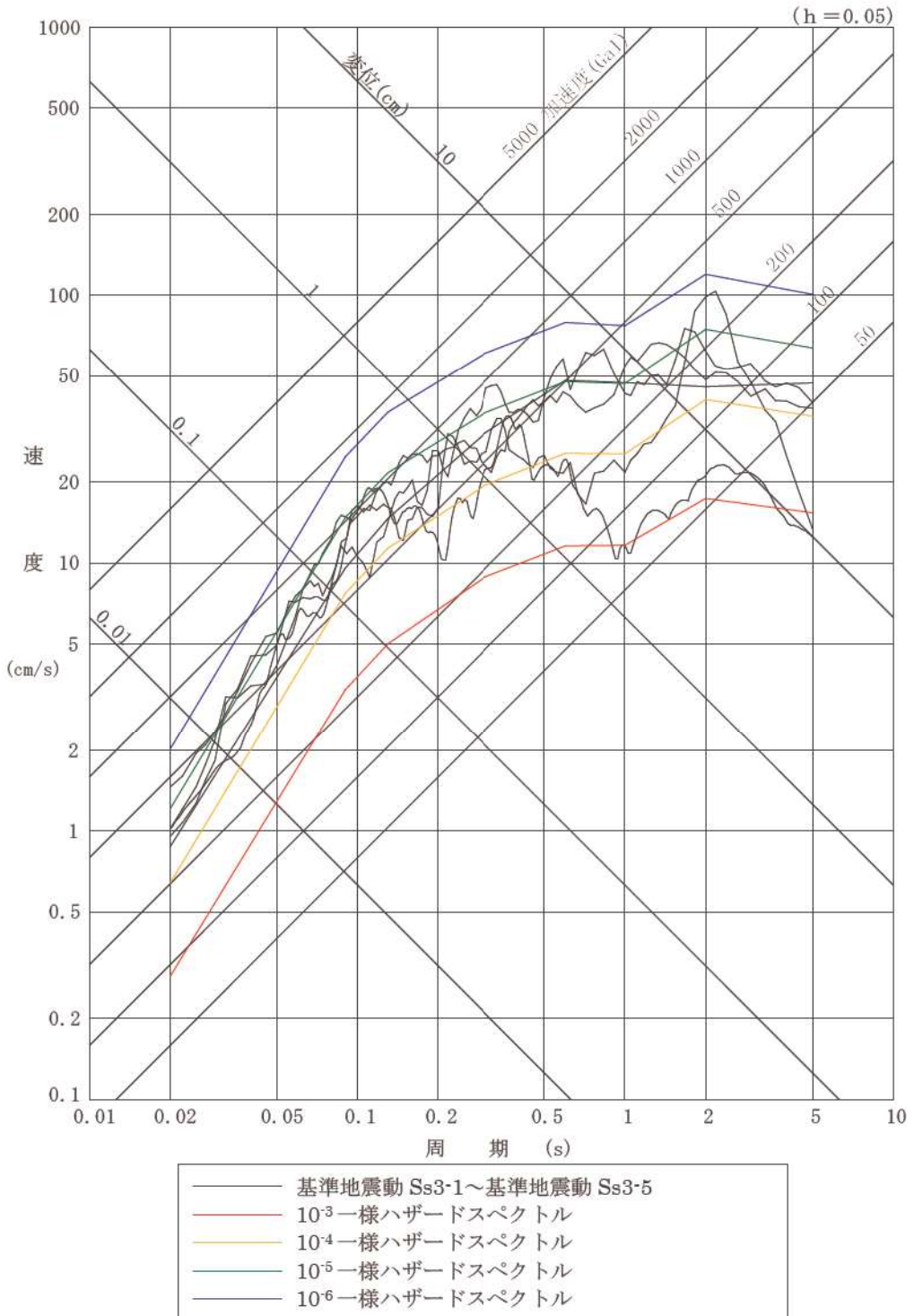
第3.2.1.b-7図 (4/6) 基準地震動 Ss の応答スペクトルと年超過確率ごとの  
一様ハザードスペクトルとの比較（鉛直方向）

追而【地震ハザード評価結果を反映】



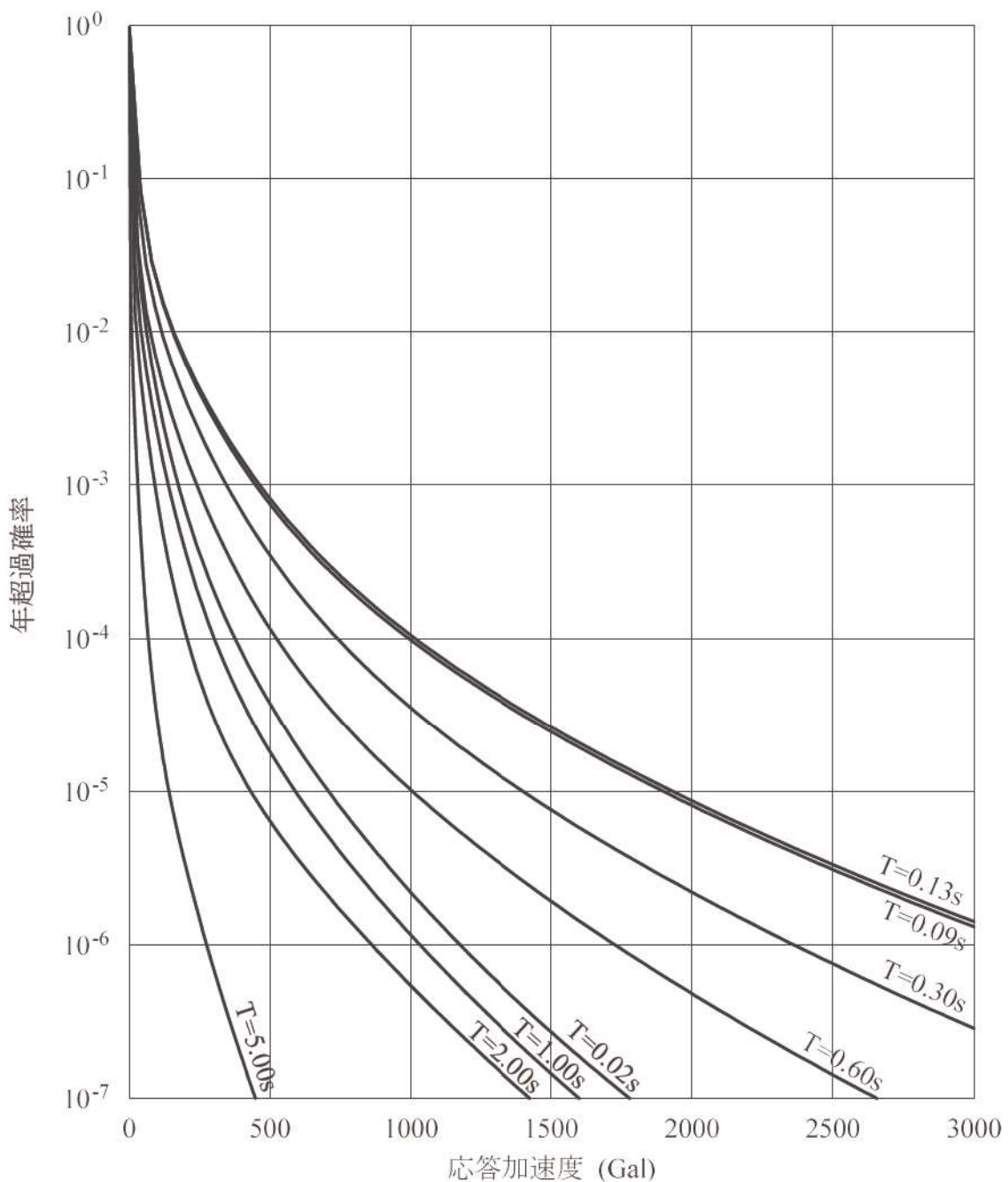
第3.2.1.b-7図(5/6) 基準地震動Ssの応答スペクトルと年超過確率ごとの  
一様ハザードスペクトル(領域震源)との比較(水平方向)

追而【地震ハザード評価結果を反映】



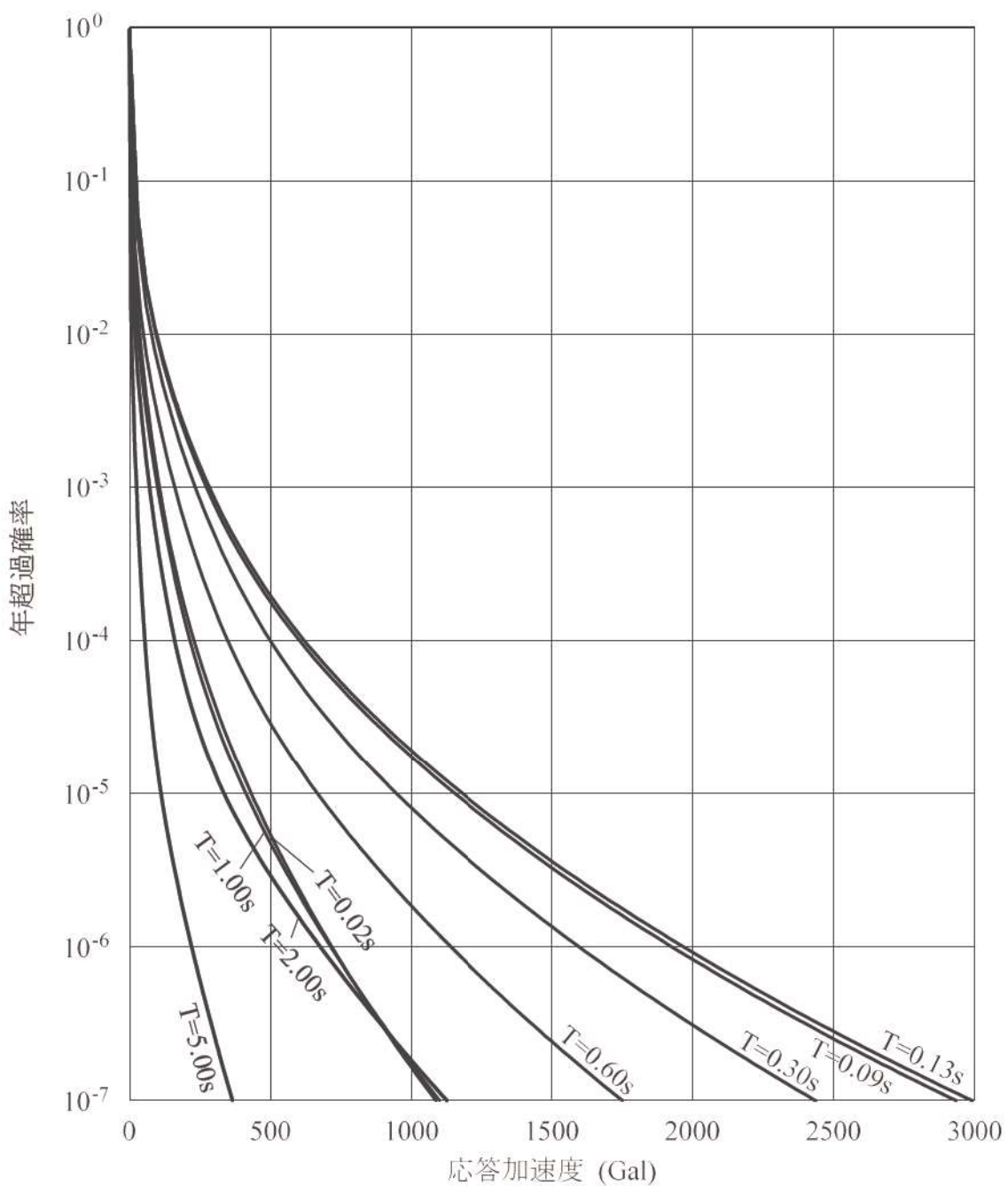
第3.2.1.b-7図 (6/6) 基準地震動 Ss の応答スペクトルと年超過確率ごとの  
一様ハザードスペクトル（領域震源）との比較（鉛直方向）

追而【地震ハザード評価結果を反映】



第3.2.1.b-8図 (1/2) 周期ごとの平均ハザード曲線 (水平方向)

追而【地震ハザード評価結果を反映】

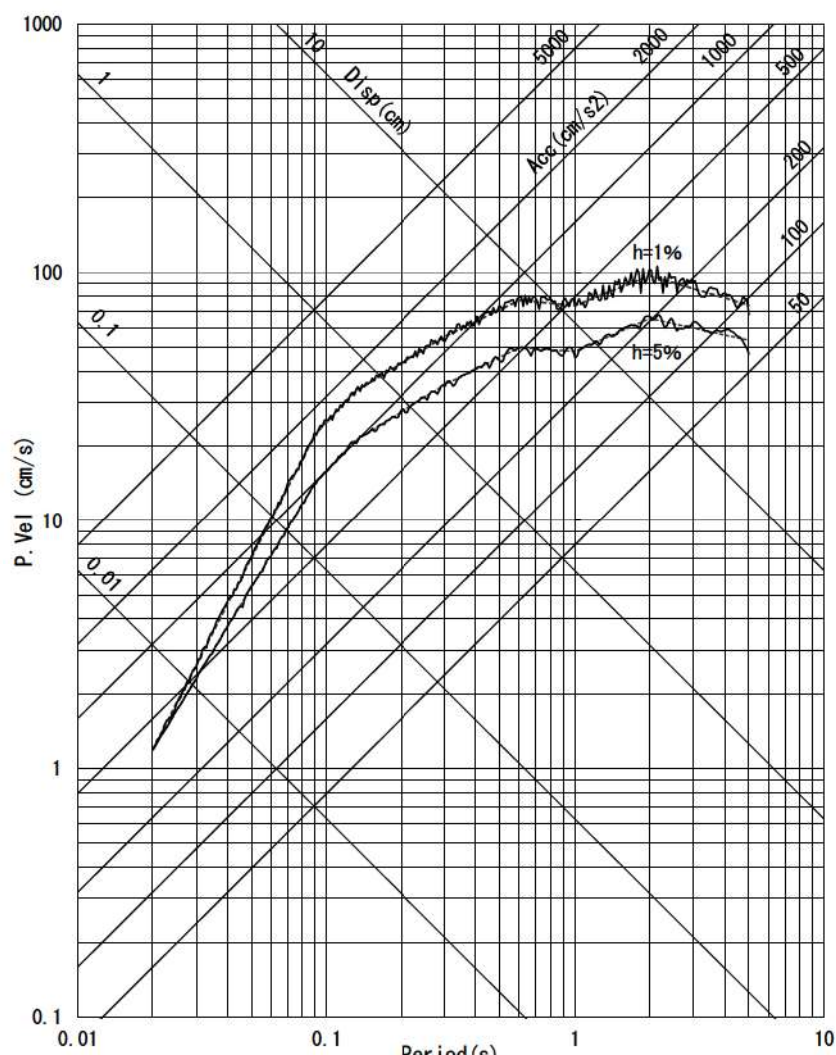


第3.2.1.b-8 図 (2/2) 周期ごとの平均ハザード曲線（鉛直方向）

追而【地震ハザード評価結果を反映】



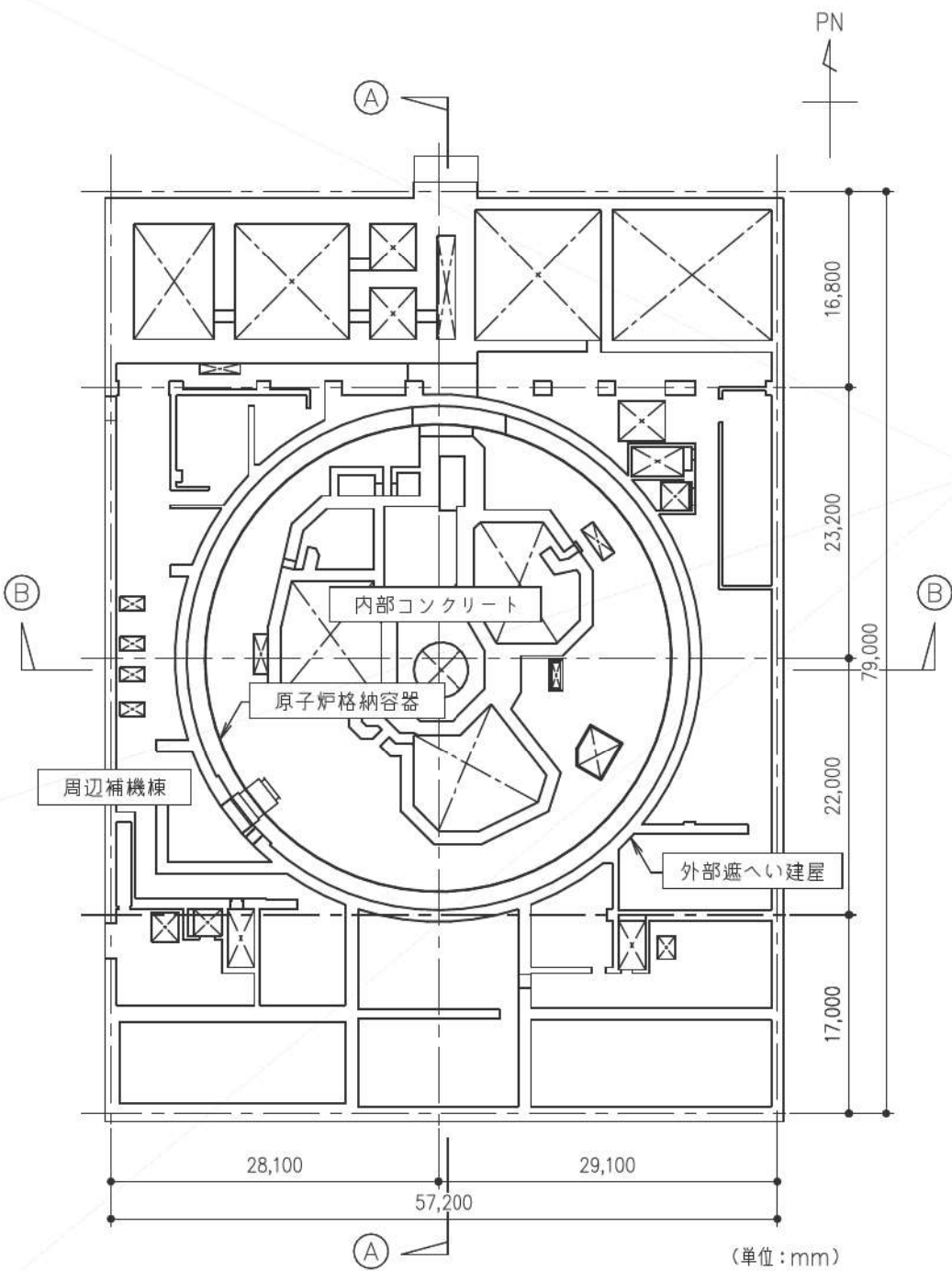
(1) 加速度時刻歴波形



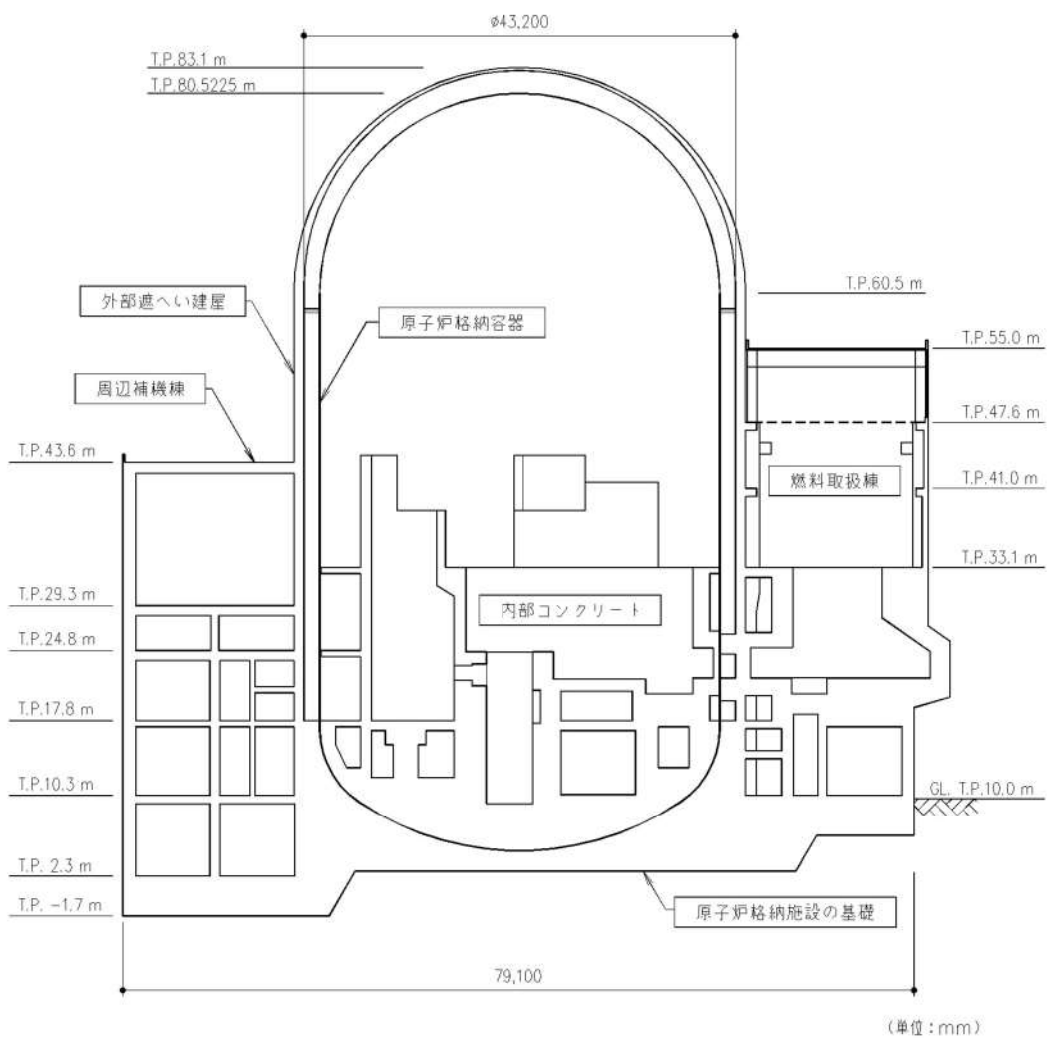
(2) 応答スペクトル

第3.2.1.b-9図 フラジリティ評価用地震動  
(年超過確率 $10^{-4}$ 一様ハザードスペクトル適合模擬波)

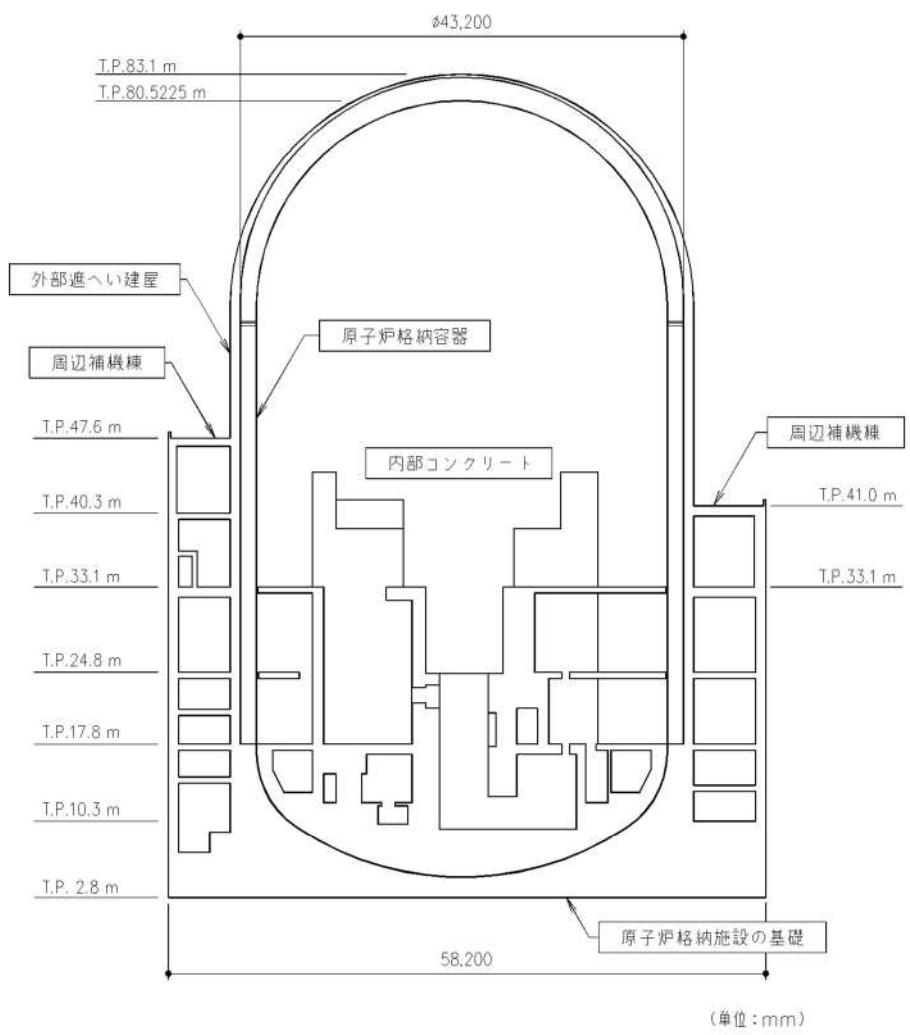
追而【地震ハザード評価結果を反映】



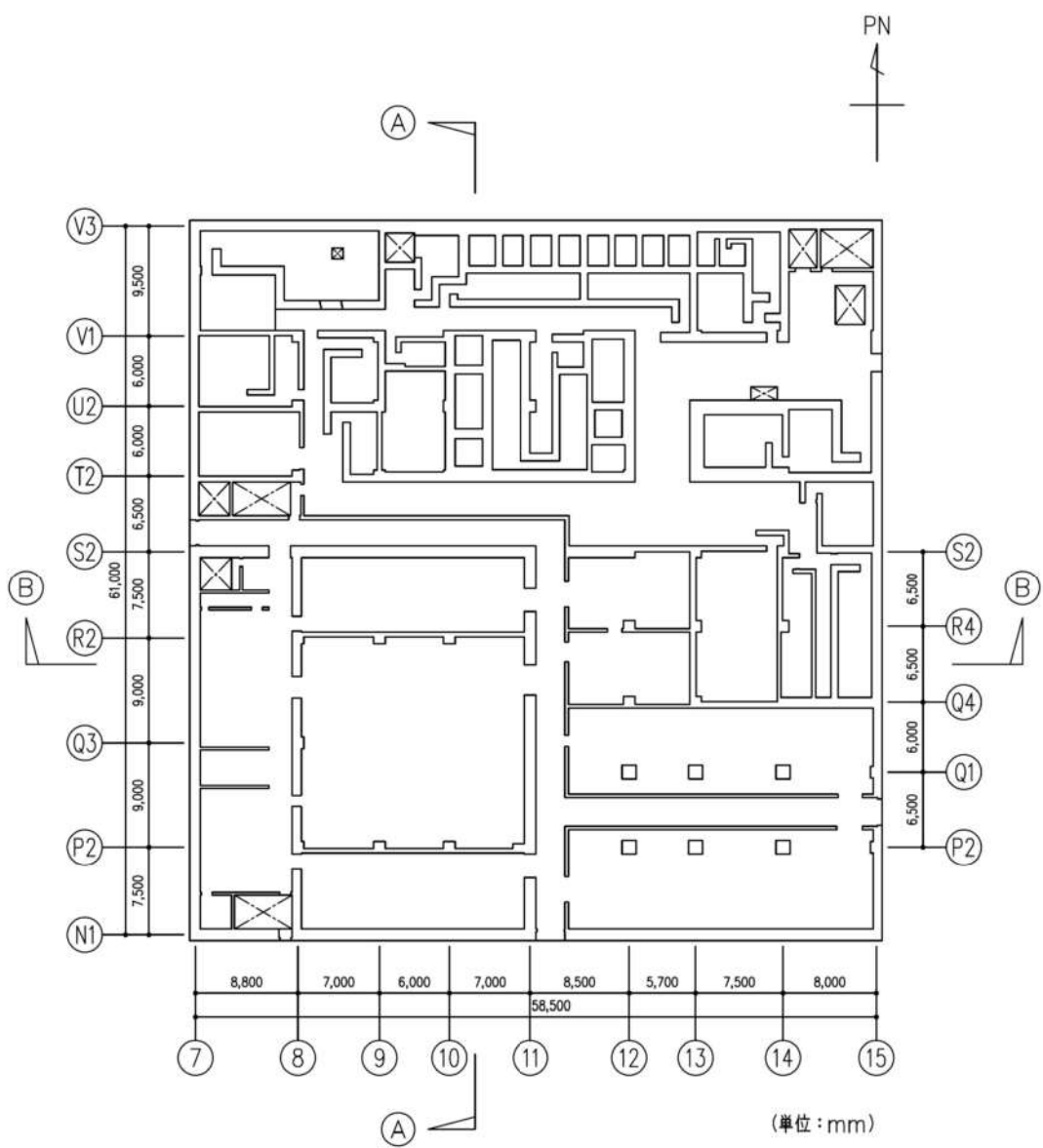
第3.2.1.c-1-1図(1/3) 原子炉建屋の概要(平面図)(T.P.24.8m)



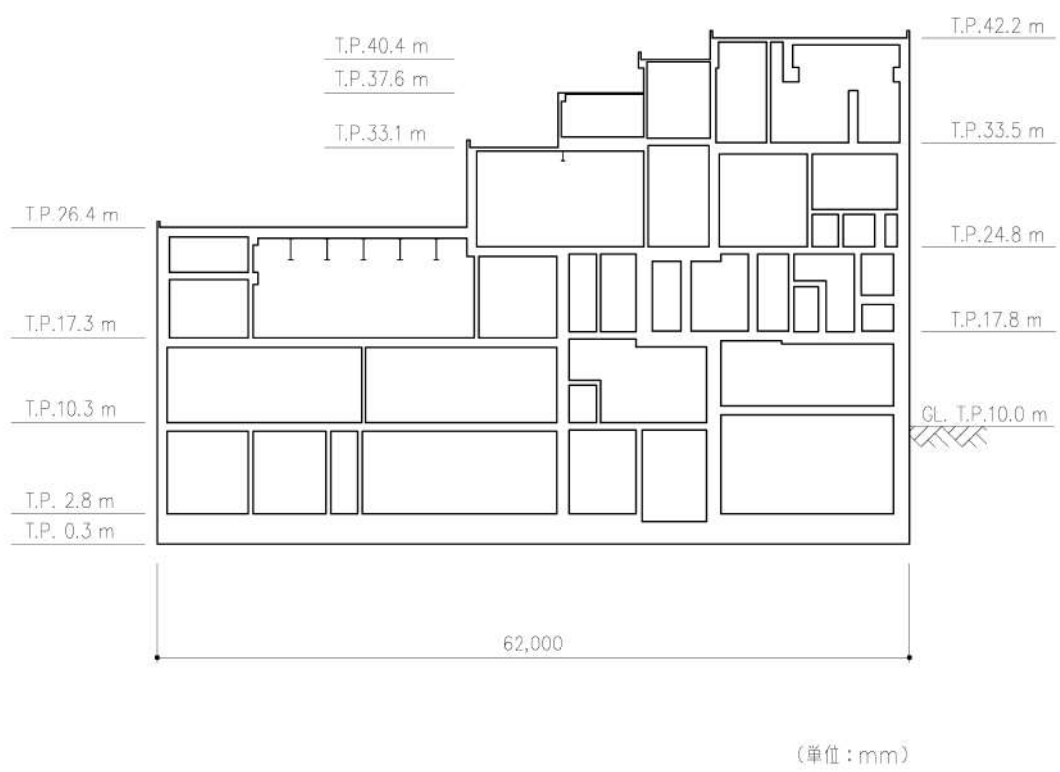
第3.2.1.c-1-1図(2/3) 原子炉建屋の概要(平面図)(A-A断面)



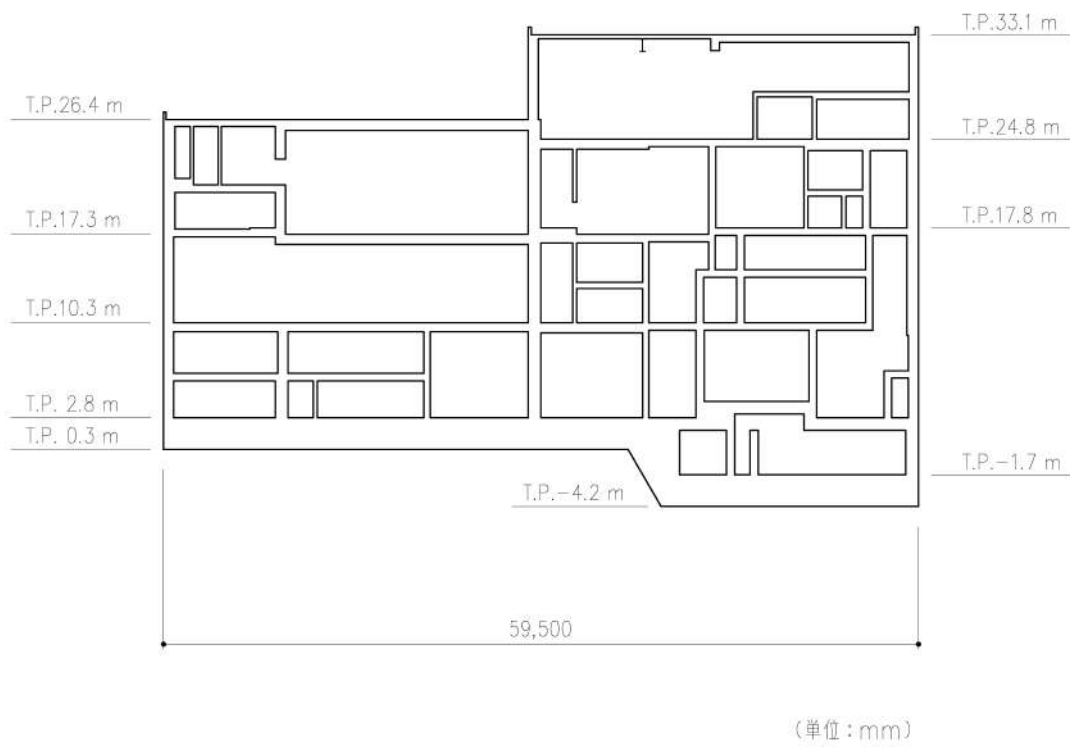
第3.2.1.c-1-1図(3/3) 原子炉建屋の概要(断面図)(B-B断面)



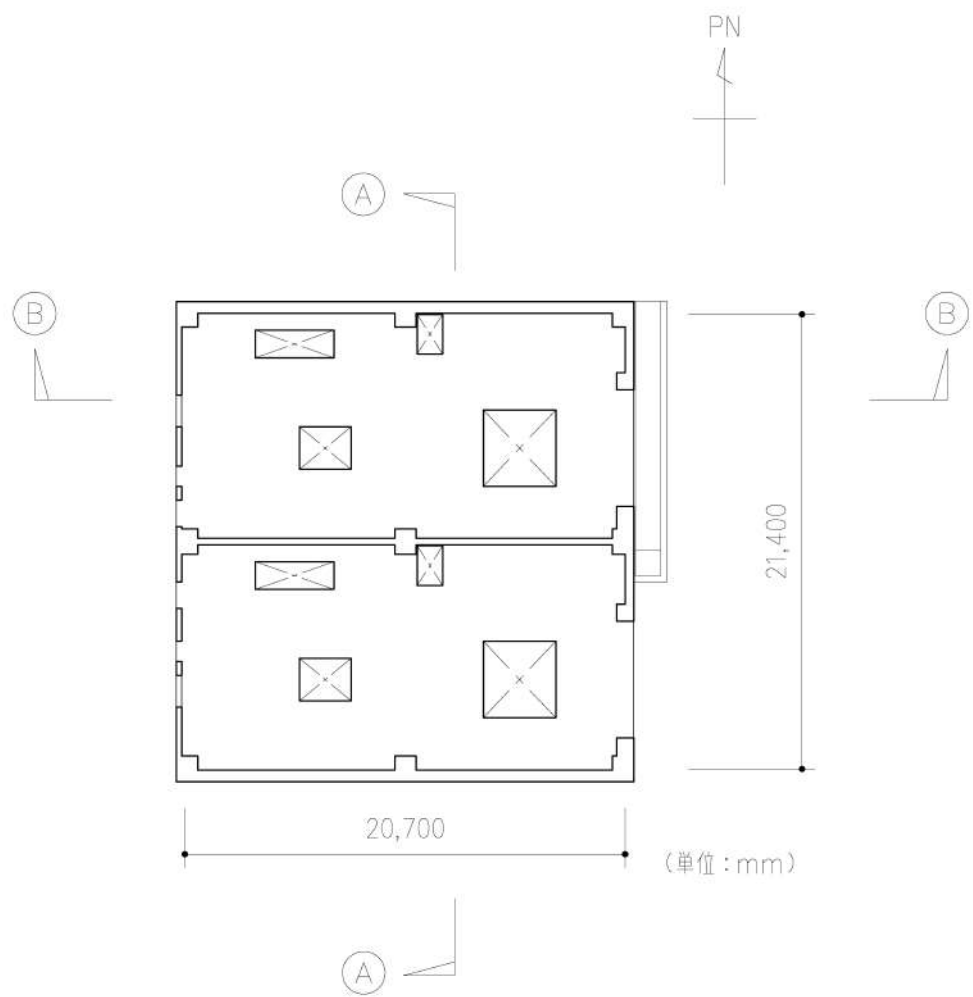
第3.2.1.c-1-2図 (1/3) 原子炉補助建屋の概要 (平面図) (T.P. 17.8m)



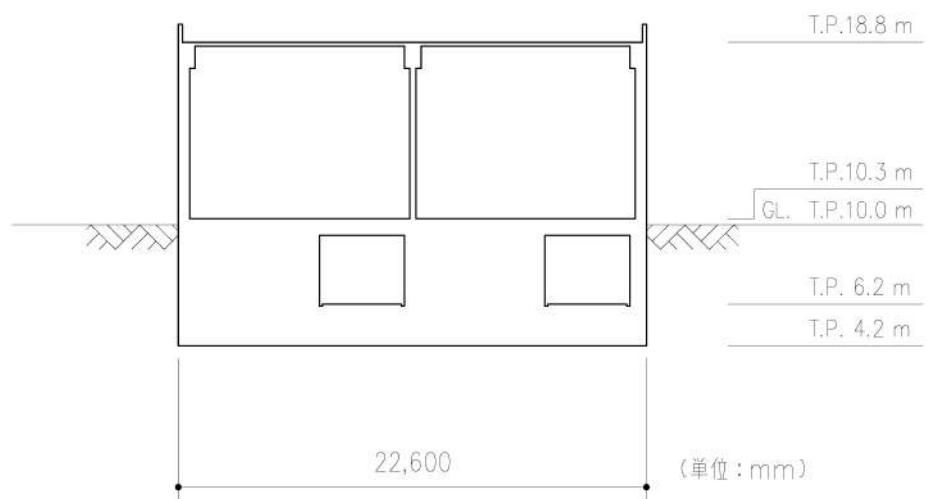
第3.2.1.c-1-2図(2/3) 原子炉補助建屋の概要(断面図)(A-A断面)



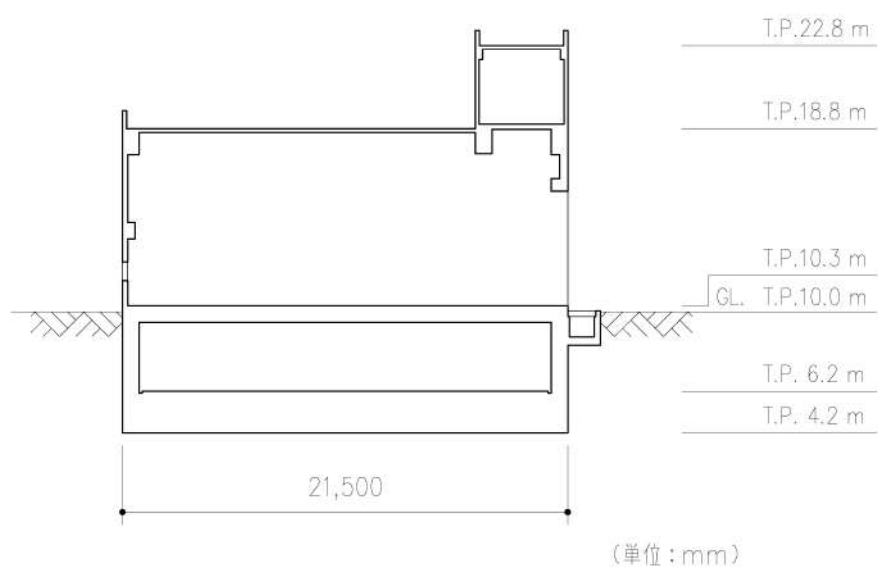
第3.2.1.c-1-2図 (3/3) 原子炉補助建屋の概要 (断面図) (B-B断面)



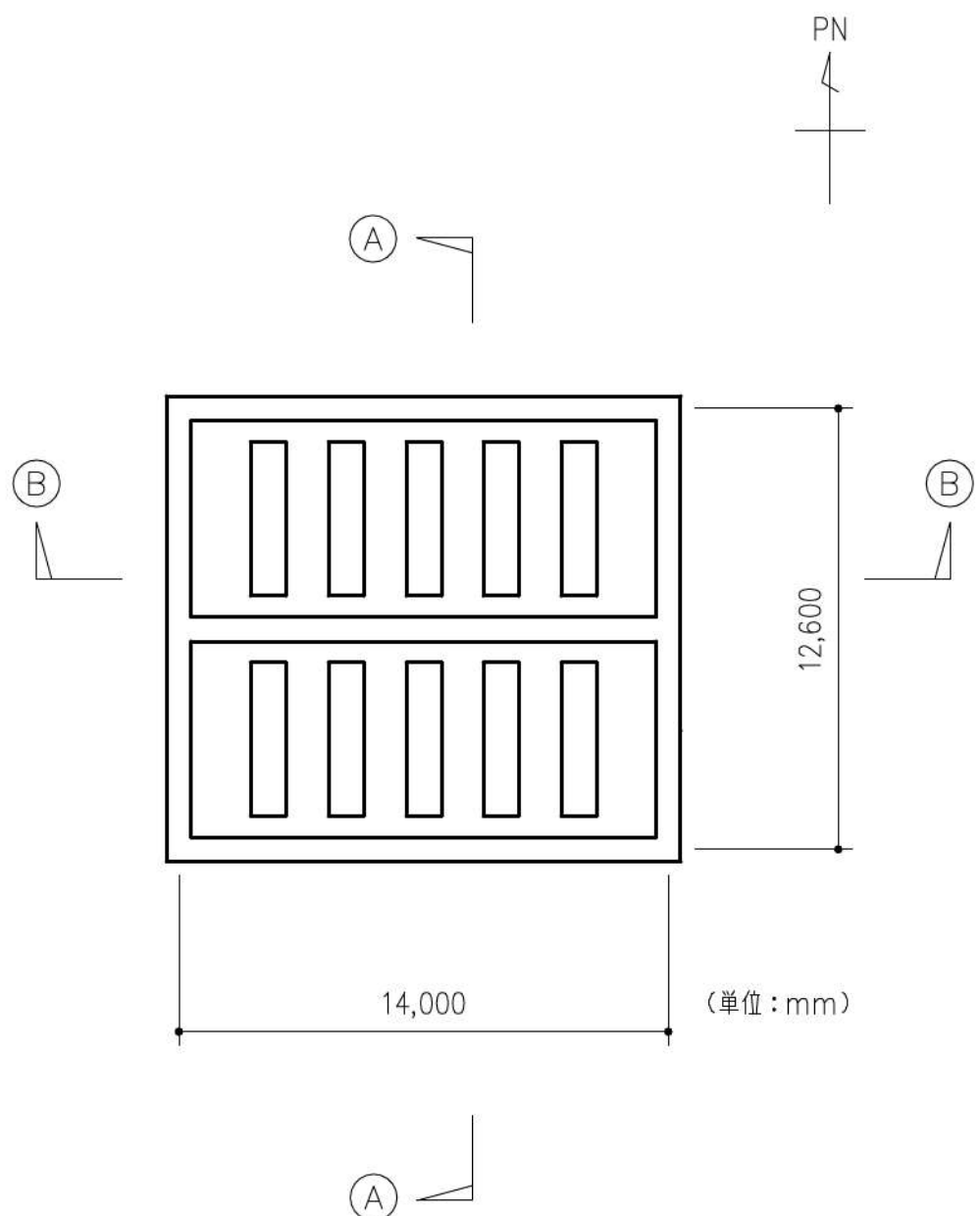
第3.2.1.c-1-3図(1/3) ディーゼル発電機建屋の概要(平面図)(T.P.10.3m)



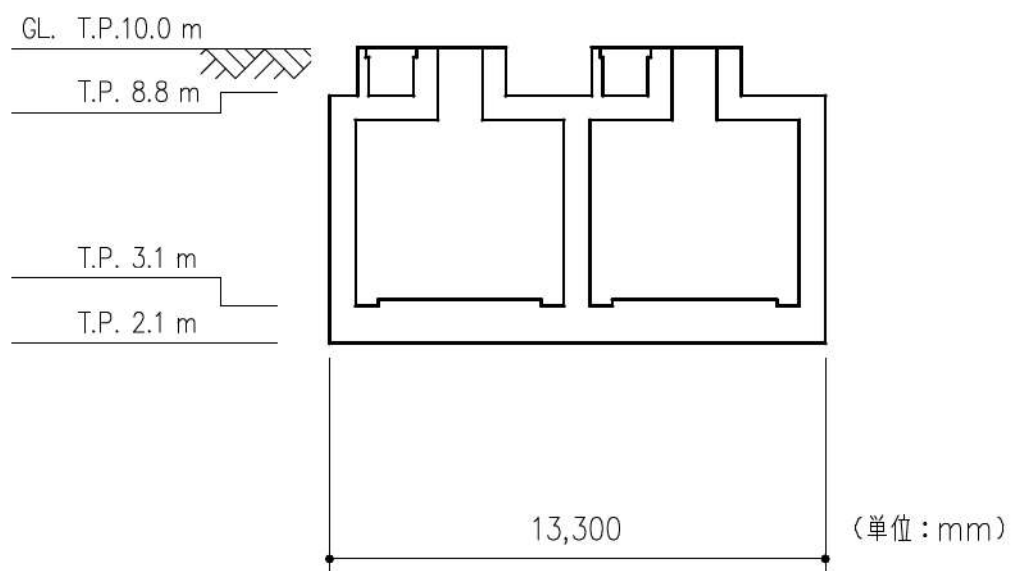
第3.2.1.c-1-3図(2/3) ディーゼル発電機建屋の概要(断面図)(A-A断面)



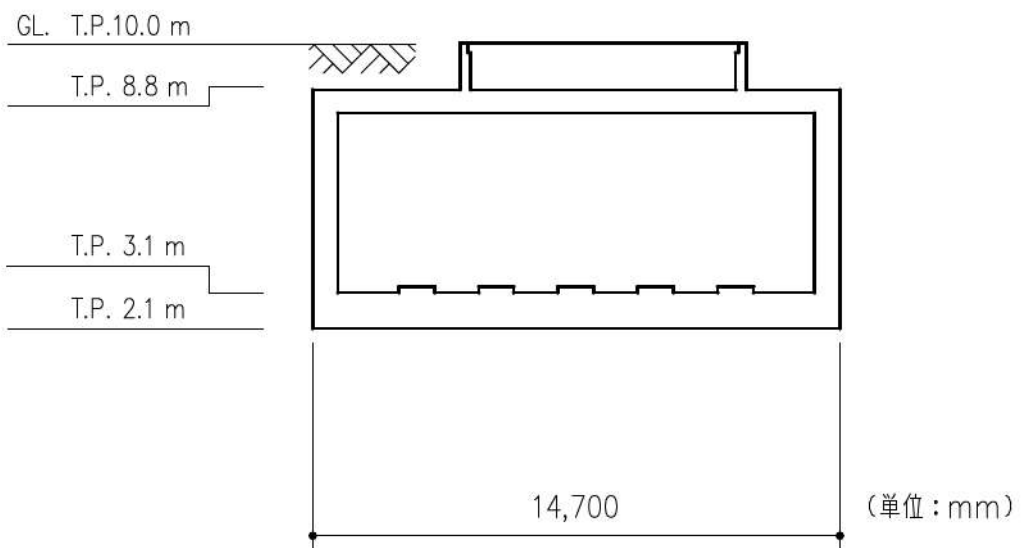
第3.2.1.c-1-3図(3/3) ディーゼル発電機建屋の概要(断面図)(B-B断面)



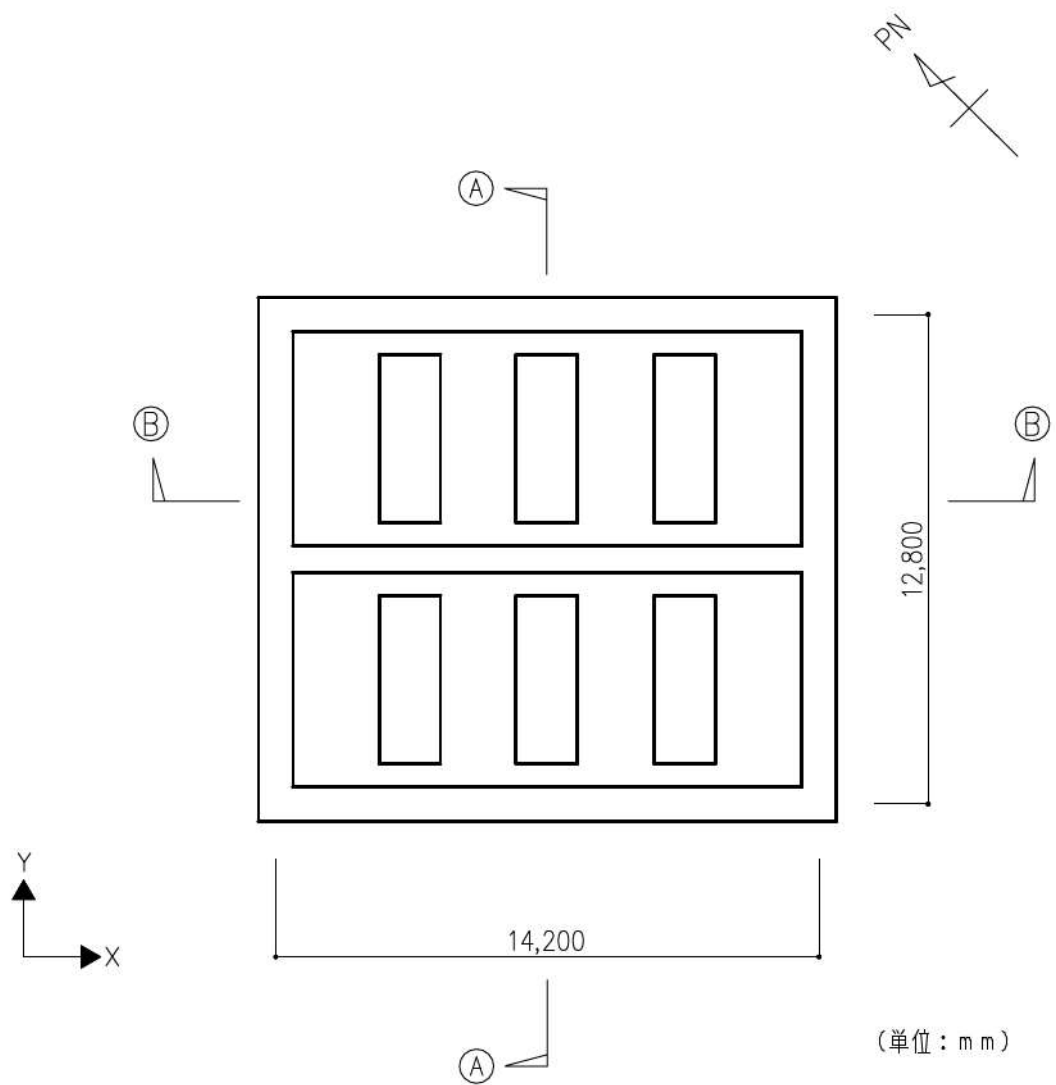
第3.2.1.c-1-4図 (1/3) A1, A2-燃料油貯油槽タンク室の概要 (平面図) (T.P. 3.1m)



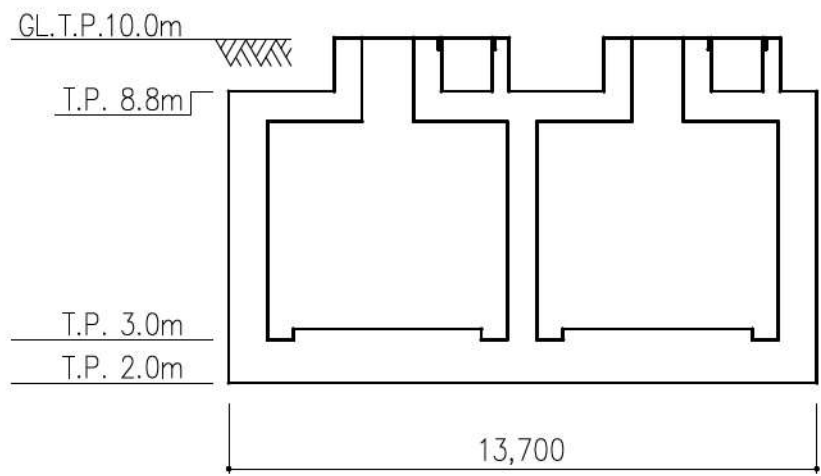
第3.2.1.c-1-4図 (2/3) A1, A2-燃料油貯油槽タンク室の概要 (断面図) (A-A断面)



第3.2.1.c-1-4図 (3/3) A1, A2-燃料油貯油槽タンク室の概要 (断面図) (B-B断面)

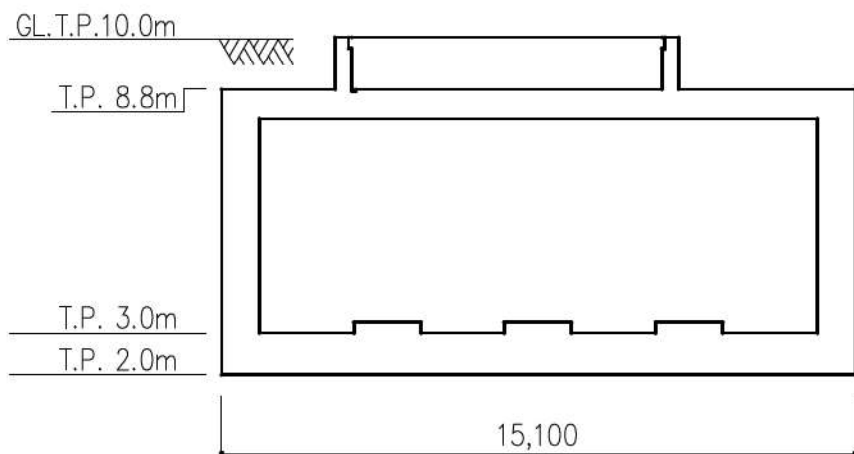


第3.2.1.c-1-5図 (1/3) B1, B2-燃料油貯油槽タンク室の概要 (平面図) (T.P. 3.0m)



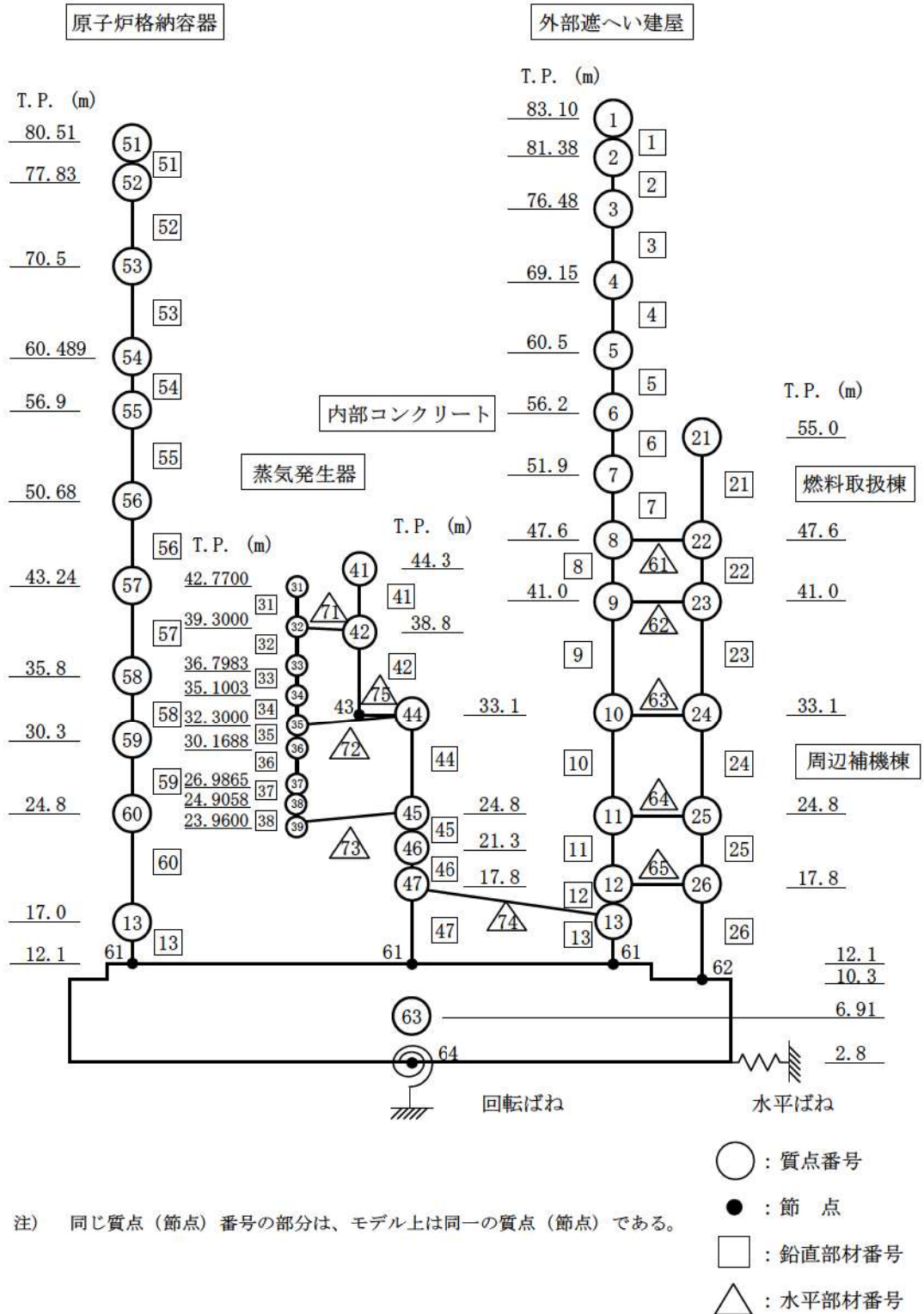
(単位 : m m )

第 3.2.1.c-1-5 図 (2/3) B1, B2-燃料油貯油槽タンク室の概要 (断面図) (A-A 断面)

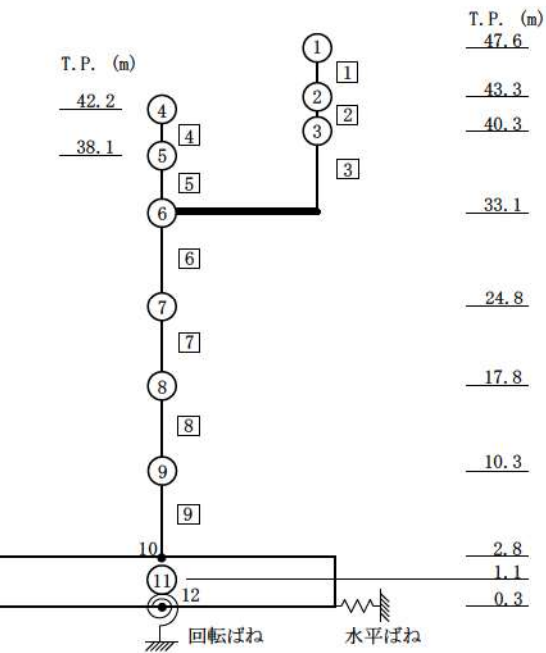


(単位 : m m )

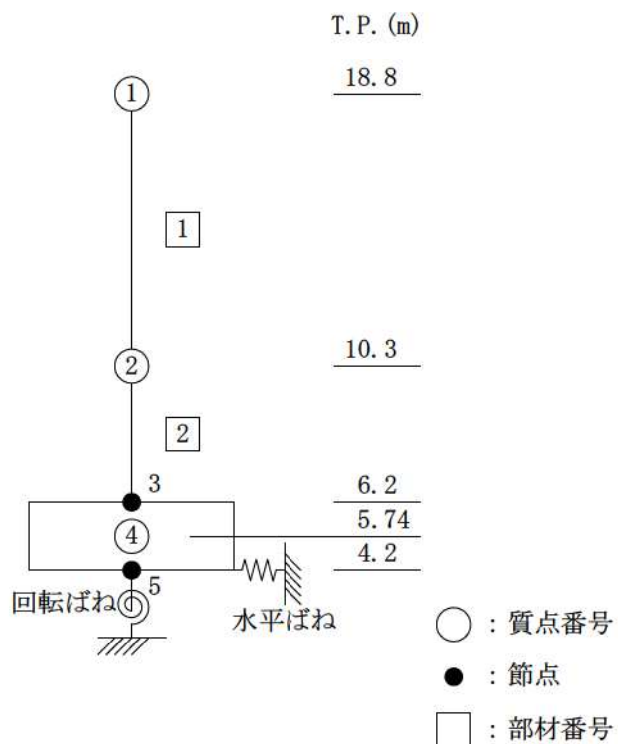
第 3.2.1.c-1-5 図 (3/3) B1, B2-燃料油貯油槽タンク室の概要 (断面図) (B-B 断面)



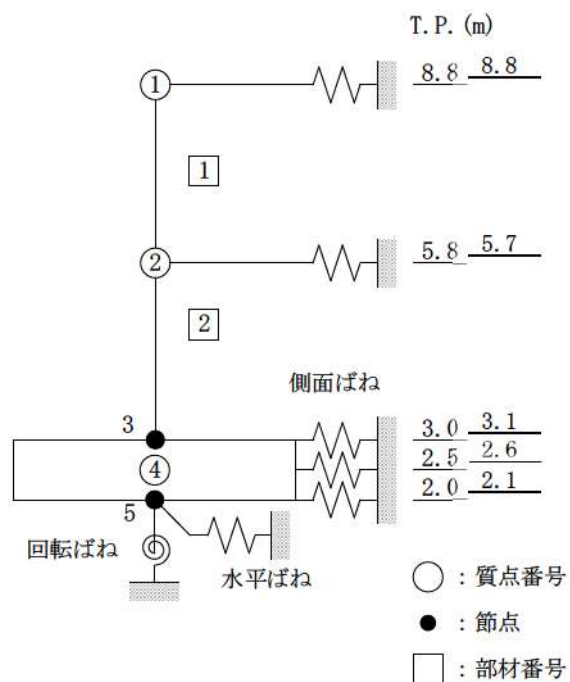
第3.2.1.c-1-6図 解析モデル（原子炉建屋 水平方向）



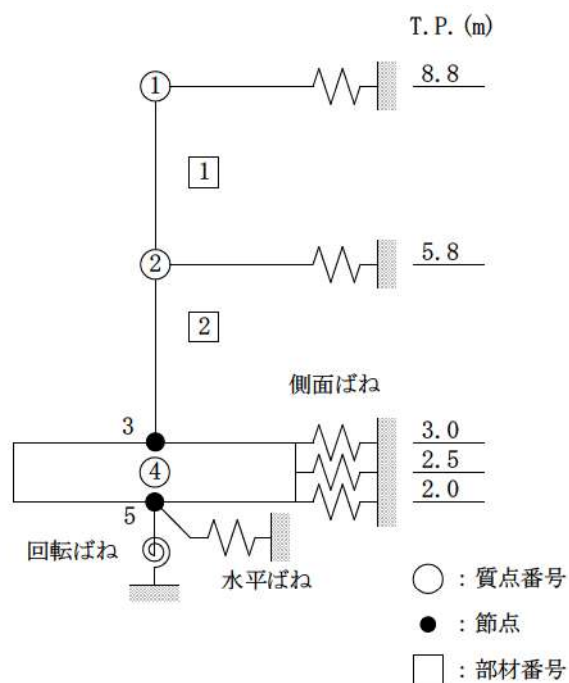
第3.2.1.c-1-7図 解析モデル（原子炉補助建屋 水平方向）



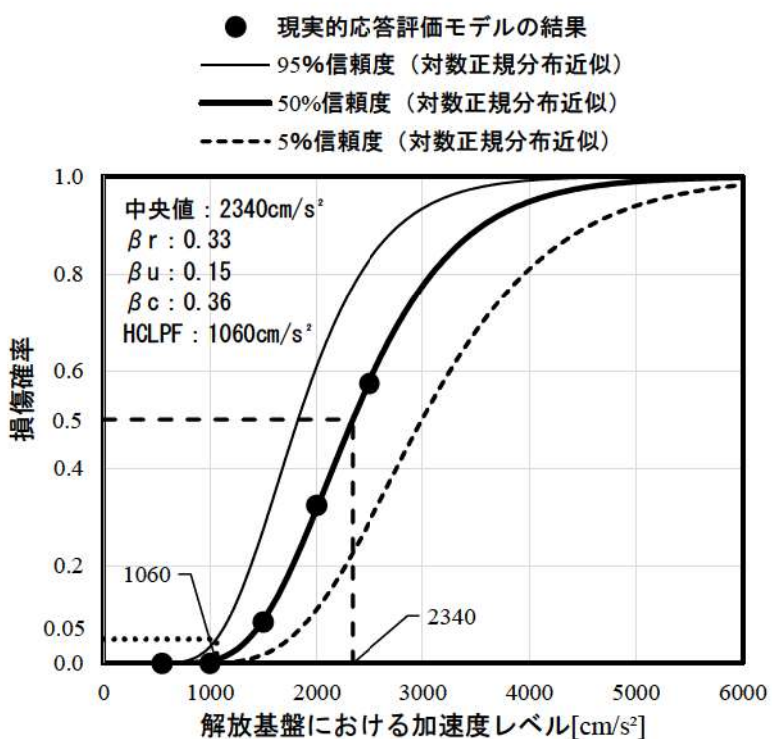
第3.2.1.c-1-8図 解析モデル（ディーゼル発電機建屋 水平方向）



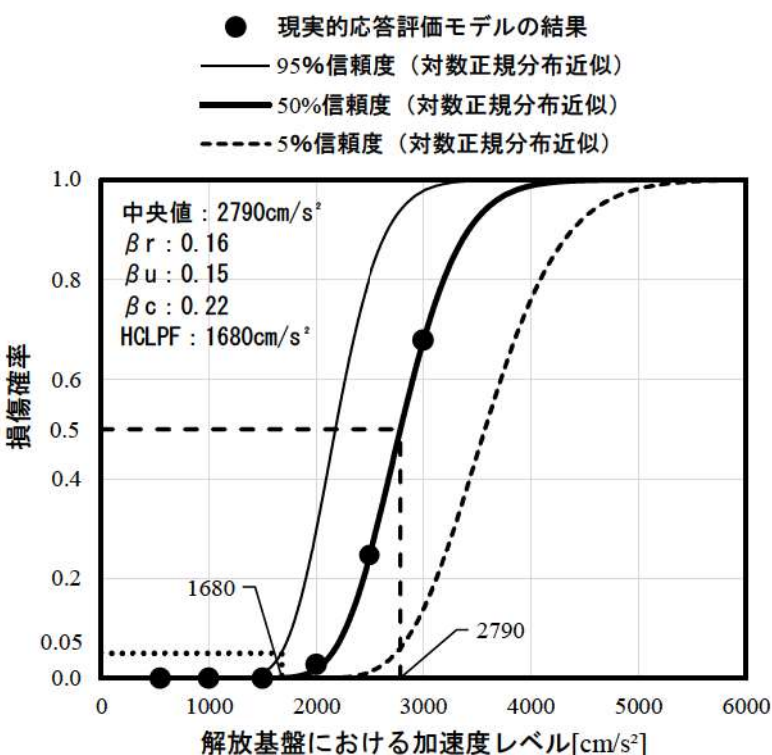
第3.2.1.c-1-9図 地震応答解析モデル（A1, A2-燃料油貯油槽タンク室 水平方向）



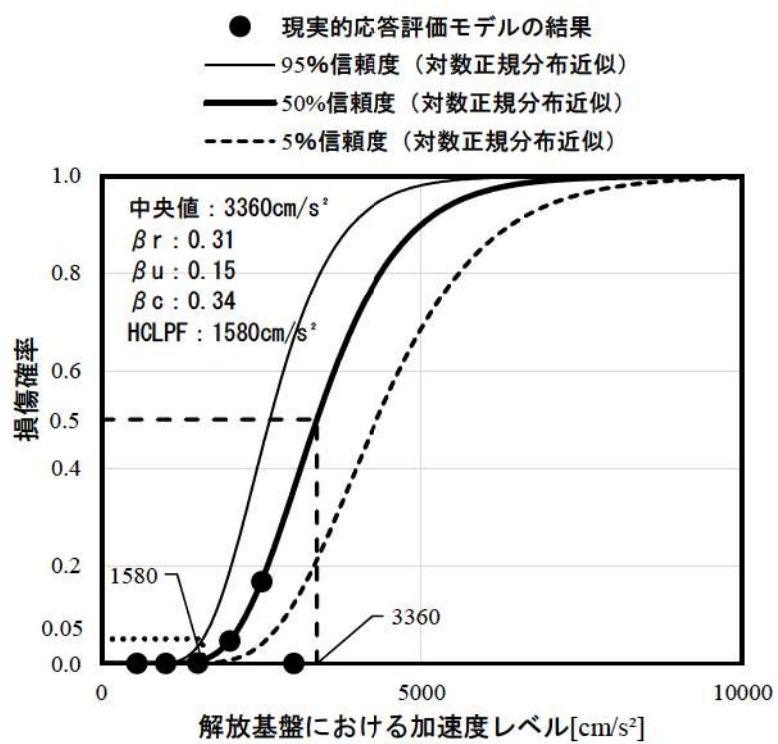
第3.2.1.c-1-10図 地震応答解析モデル（B1, B2-燃料油貯油槽タンク室 水平方向）



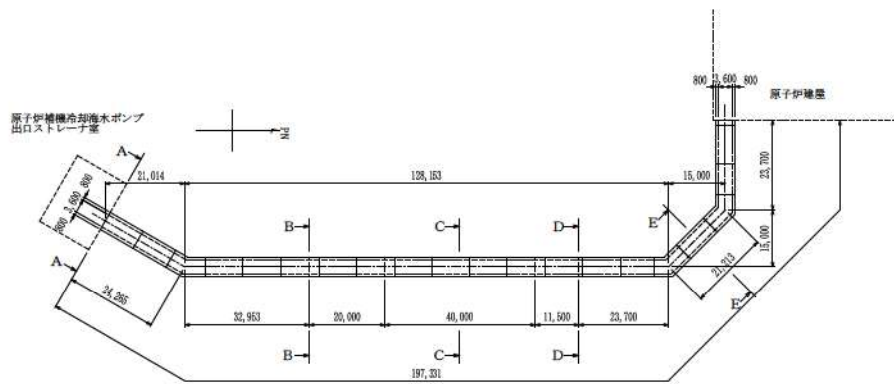
第 3.2.1.c-1-11 図 原子炉建屋のフラジリティ曲線 (NS 方向, 部材 6)



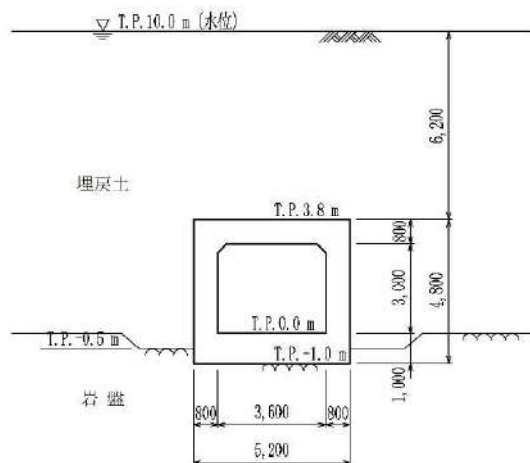
第 3.2.1.c-1-12 図 原子炉補助建屋のフラジリティ曲線 (EW 方向, 部材 9)



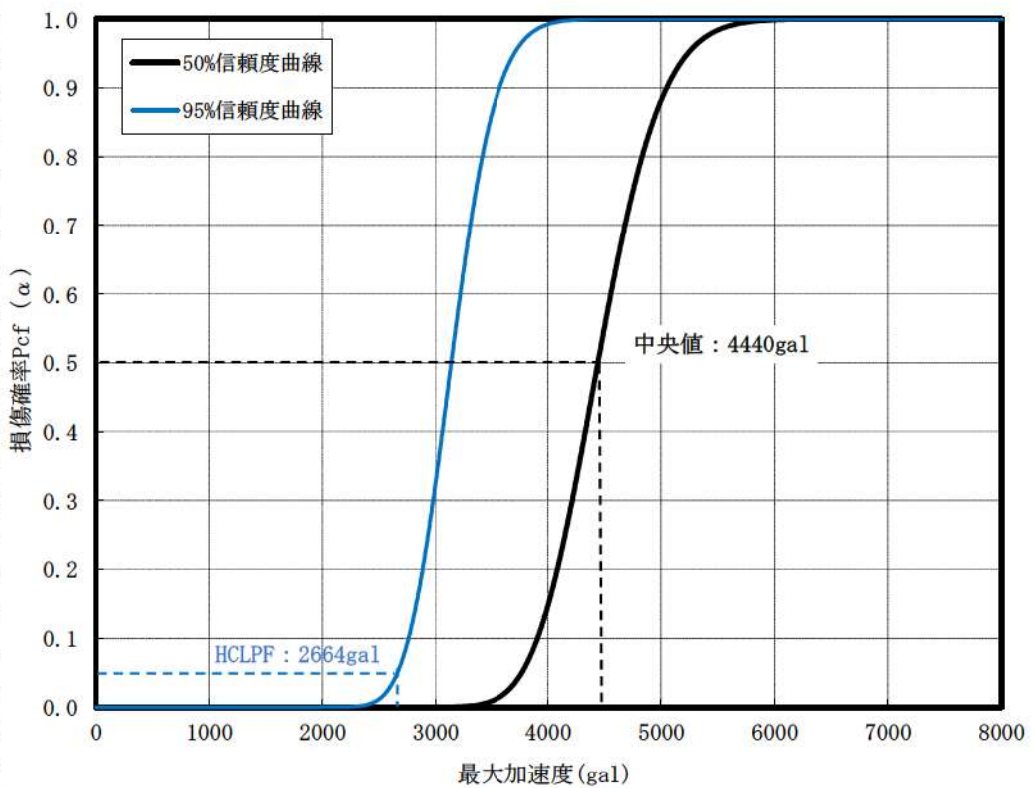
第 3.2.1.c-1-13 図 ディーゼル発電機建屋のフラジリティ曲線 (NS 方向, 部材 1)



第3.2.1.c-2-1図 原子炉補機冷却海水管ダクト平面図

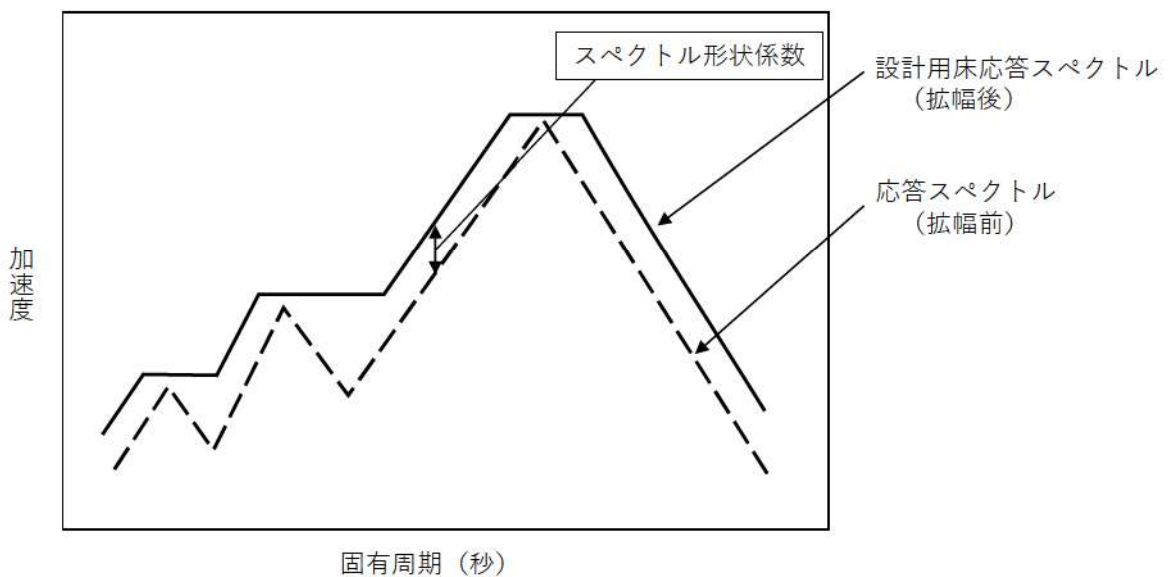


第3.2.1.c-2-2図 原子炉補機冷却海水管ダクト断面図(C-C断面)

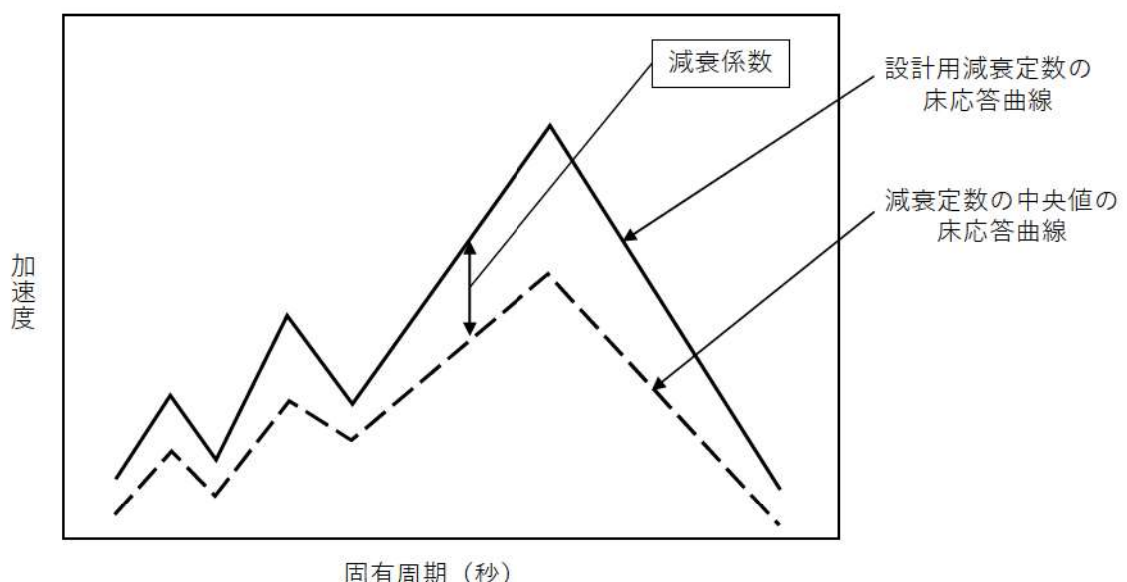


第3.2.1.c-2-3図 原子炉補機冷却海水管ダクトのフラジリティ曲線

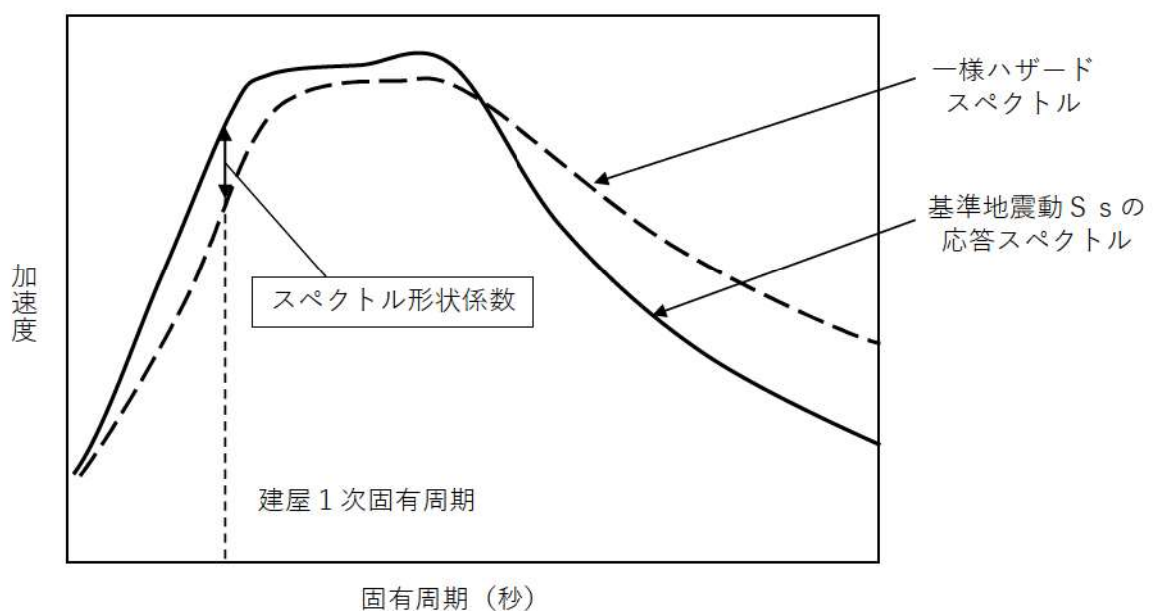
追而【原子炉補機冷却海水管ダクトのフラジリティは暫定値】



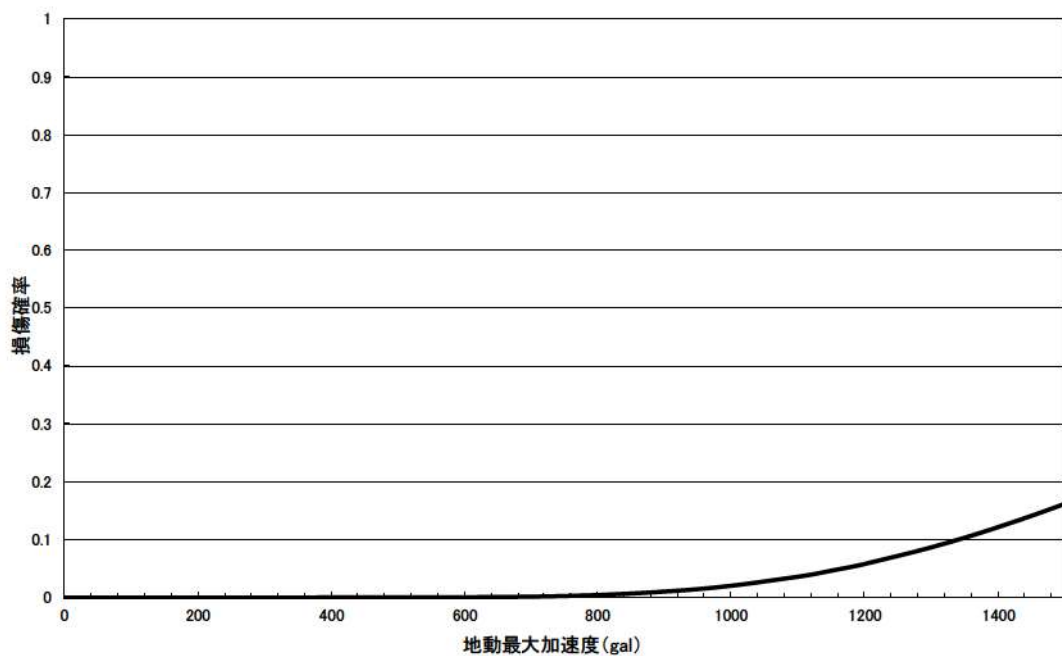
第3.2.1.c-3-1図 スペクトル形状係数の概念図



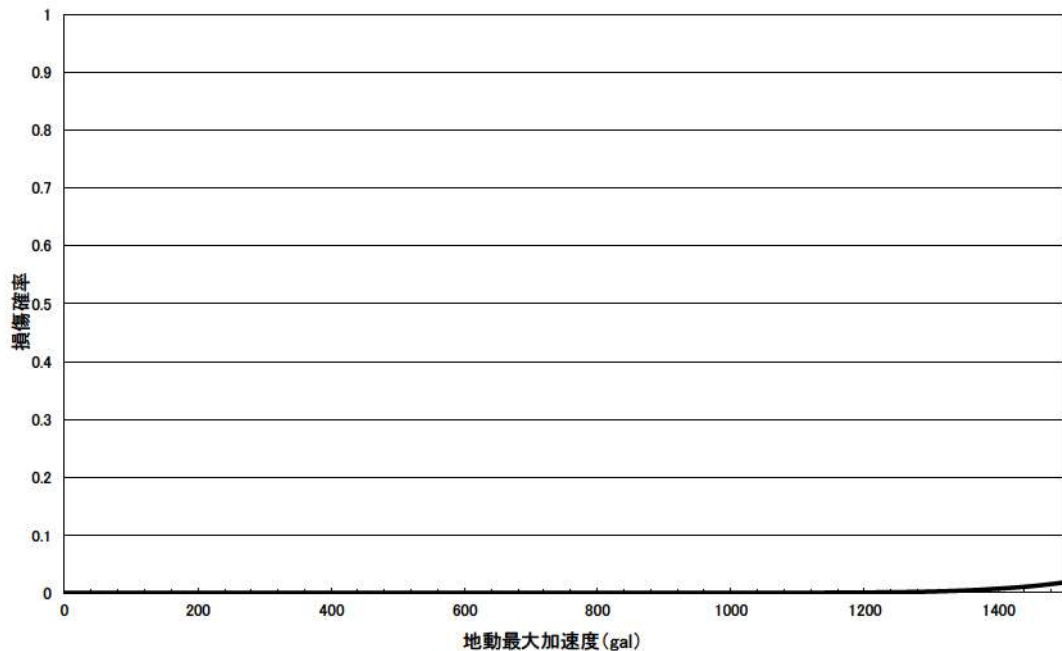
第3.2.1.c-3-2図 減衰係数の概念図



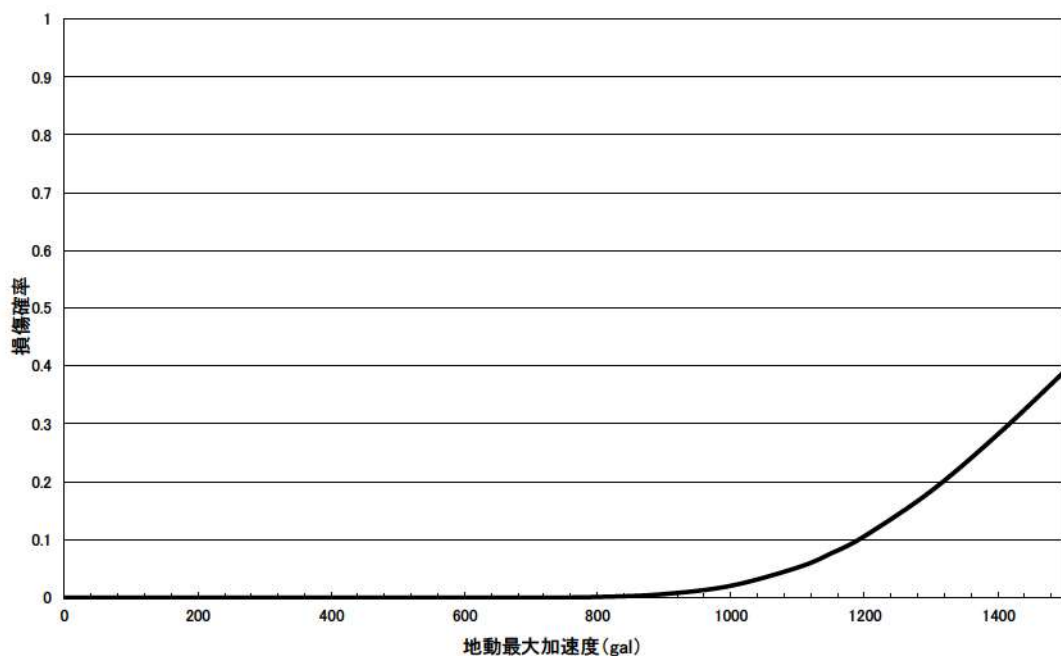
第3.2.1.c-3-3図 建屋のスペクトル形状係数の概念図



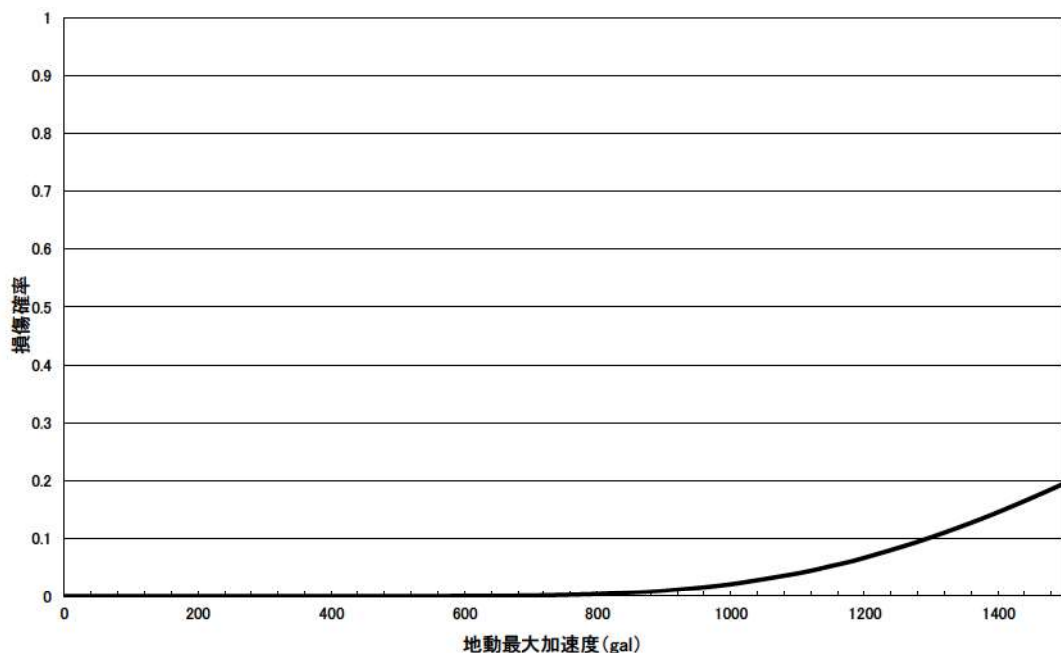
第3.2.1.c-3-4図 1次冷却材ポンプのフラジリティ曲線



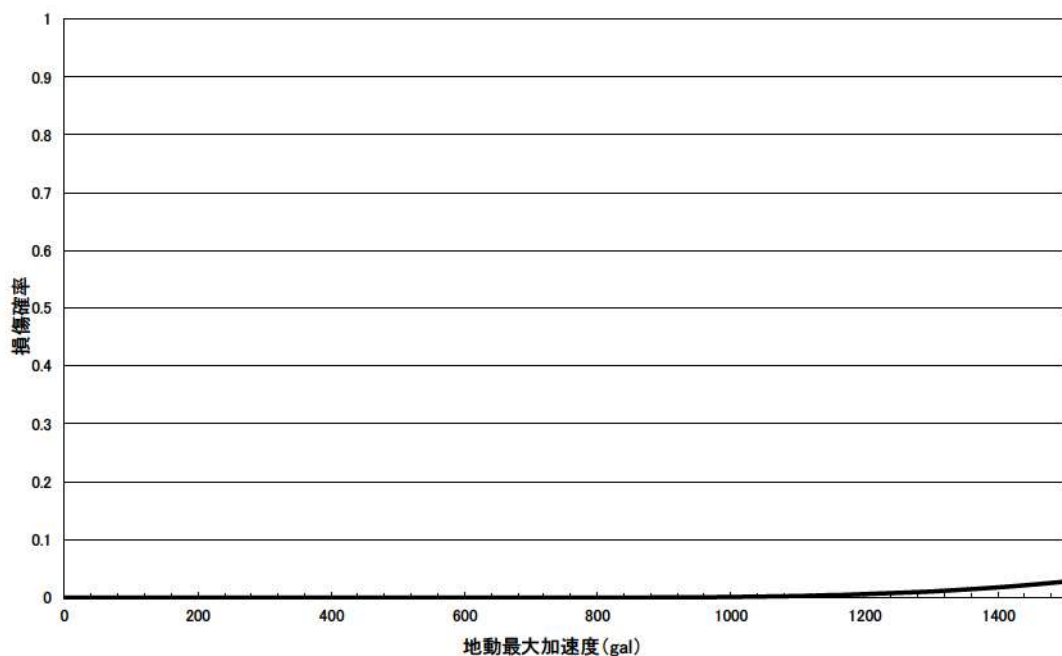
第3.2.1.c-3-5図 余熱除去冷却器のフラジリティ曲線



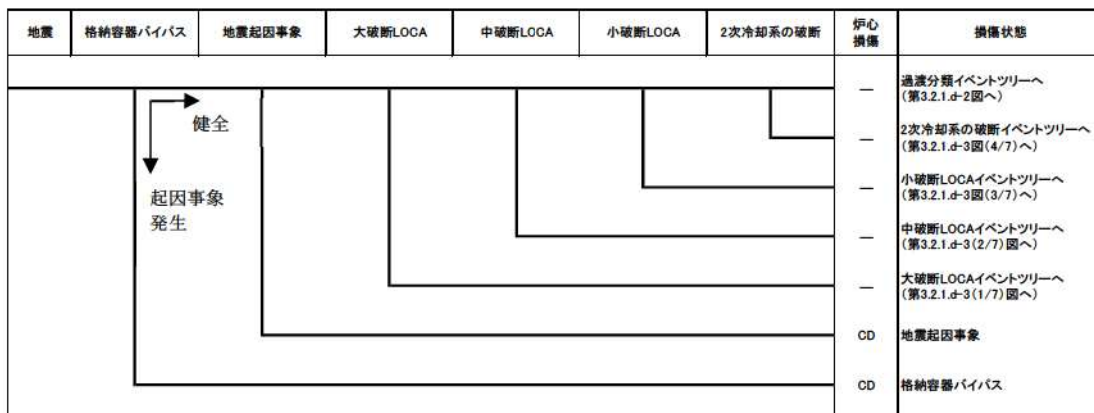
第3.2.1.c-3-6図 内燃機関のフラジリティ曲線



第3.2.1.c-3-7図 ディーゼル発電機制御盤のフラジリティ曲線



第 3.2.1.c-3-8 図 一般代表弁のフラジリティ曲線



### 【地震起因事象】

- ・ 大破断LOCAを上回る規模のLOCA (Excess LOCA)
- ・ 原子炉建屋損傷
- ・ 原子炉格納容器損傷
- ・ 原子炉補助建屋損傷
- ・ 電動弁損傷による原子炉補機冷却機能喪失
- ・ 1次系流路閉塞による2次系除熱機能喪失
- ・ 複数の信号系損傷
- ・ 燃料集合体及び制御棒クラスタ損傷による原子炉停止機能喪失

### 【格納容器バイパス】

- ・ 蒸気発生器伝熱管破損 (複数本破損)

第3.2.1.d-1図 地震 PRA 起因事象階層イベントツリー

全交流動力 電源喪失	原子炉補機 冷却機能喪失	外部電源喪失	炉心 損傷	損傷状態
			—	主給水流量喪失イベントツリーへ (第3.2.1.d-3図(7/7)へ)
			—	外部電源喪失イベントツリーへ (第3.2.1.d-3図(6/7)へ)
			—	原子炉補機冷却機能喪失イベントツリーへ (第3.2.1.d-3図(5/7)へ)
			CD	全交流動力電源喪失

第 3.2.1.d-2 図 過渡分類イベントツリー

大破断 LOCA	低圧注入	蓄圧注入	格納容器 スプレイ注入	低圧再循環	高圧再循環	格納容器 スプレイ再循環	炉心 損傷	損傷状態
							—	
							—	
							CD	大破断LOCA+低圧再循環失敗 +格納容器スプレイ再循環失敗
							CD	大破断LOCA+低圧再循環失敗 +高圧再循環失敗
							—	
							CD	大破断LOCA+低圧再循環失敗 +格納容器スプレイ注入失敗
							CD	大破断LOCA+蓄圧注入失敗
							CD	大破断LOCA+低圧注入失敗

第3.2.1.d-3図 フロントラインイベントツリー (1/7) (大破断LOCA)

中破断 LOCA	高圧注入	蓄圧注入	格納容器 スプレイ注入	高圧再循環	格納容器 スプレイ再循環	炉心 損傷	損傷状態
						—	
						CD	中破断LOCA+格納容器スプレイ再循環失敗
						CD	中破断LOCA+高圧再循環失敗
						CD	中破断LOCA+格納容器スプレイ注入失敗
						CD	中破断LOCA+蓄圧注入失敗
						CD	中破断LOCA+高圧注入失敗

第3.2.1.d-3図 フロントラインイベントツリー (2/7) (中破断LOCA)

小破断 LOCA	原子炉トリップ	補助給水	高圧注入	格納容器スプレイ注入	高圧再循環	格納容器 スプレイ再循環	炉心 損傷	損傷状態
							—	
							CD	小破断LOCA +格納容器スプレイ再循環失敗
							CD	小破断LOCA+高圧再循環失敗
							CD	小破断LOCA+格納容器スプレイ注入失敗
							CD	小破断LOCA+高圧注入失敗
							CD	小破断LOCA+補助給水失敗
							CD	原子炉トリップが必要な起因事象 +原子炉トリップ失敗

第3.2.1.d-3図 フロントラインイベントツリー (3/7) (小破断LOCA)

2次冷却系の 破断	原子炉トリップ	主蒸気隔離	補助給水	炉心 損傷	損傷状態
				—	
				CD	2次冷却系の破断+補助給水失敗
				CD	2次冷却系の破断+主蒸気隔離失敗
				CD	原子炉トリップが必要な起因事象 +原子炉トリップ失敗

第3.2.1.d-3図 フロントラインイベントツリー (4/7) (2次冷却系の破断)

原子炉補機 冷却機能喪失	原子炉トリップ	補助給水	加圧器逃がし弁／ 安全弁LOCA	1次冷却材ポンプ 封水LOCA	炉心 損傷	損傷状態
					—	
					CD	原子炉補機冷却機能喪失 +RCPシールLOCA
					CD	原子炉補機冷却機能喪失 +加圧器逃がし弁／安全弁LOCA
					CD	原子炉補機冷却機能喪失＋補助給水失敗
					CD	原子炉トリップが必要な起因事象 +原子炉トリップ失敗

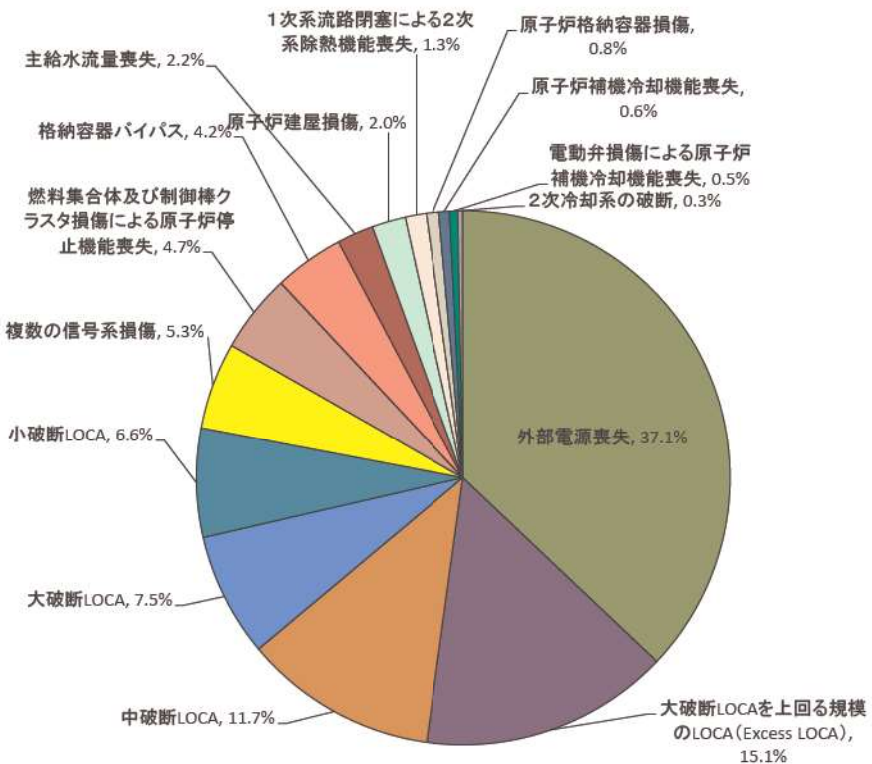
第3.2.1.d-3図 フロントラインイベントツリー (5/7) (原子炉補機冷却機能喪失)

外部電源 喪失	原子炉トリップ	非常用所内 交流電源	補助給水	炉心 損傷	損傷状態
				—	
				CD	外部電源喪失＋補助給水失敗
				CD	外部電源喪失＋非常用所内交流電源喪失
				CD	原子炉トリップが必要な起因事象 +原子炉トリップ失敗

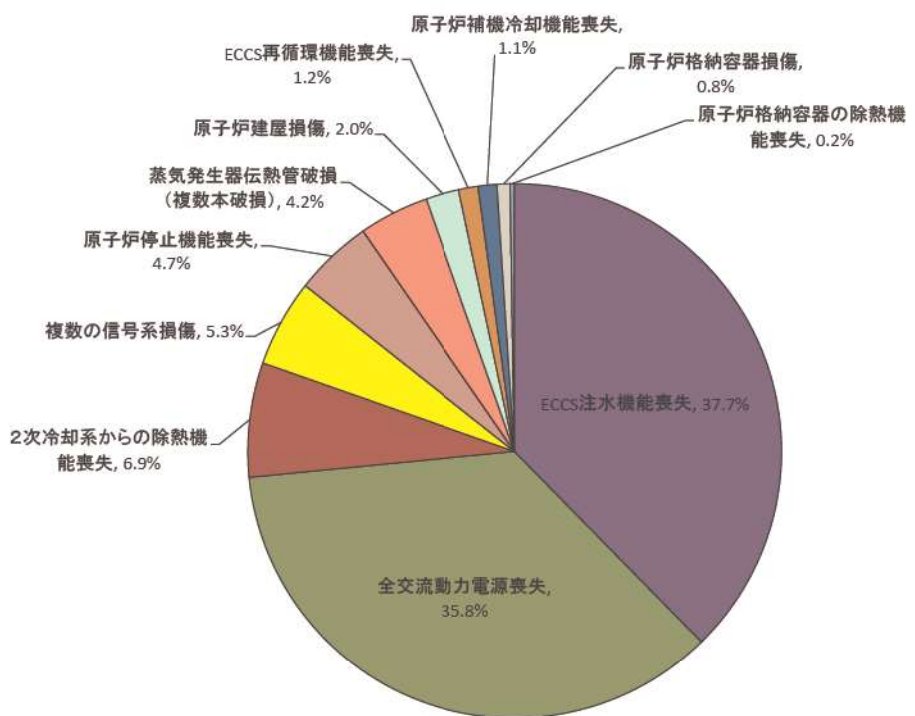
第3.2.1.d-3図 フロントラインイベントツリー (6/7) (外部電源喪失)

主給水流量喪失	原子炉トリップ	補助給水	炉心損傷	損傷状態
			—	
			CD	主給水流量喪失 + 補助給水失敗
			CD	原子炉トリップが必要な起因事象 + 原子炉トリップ失敗

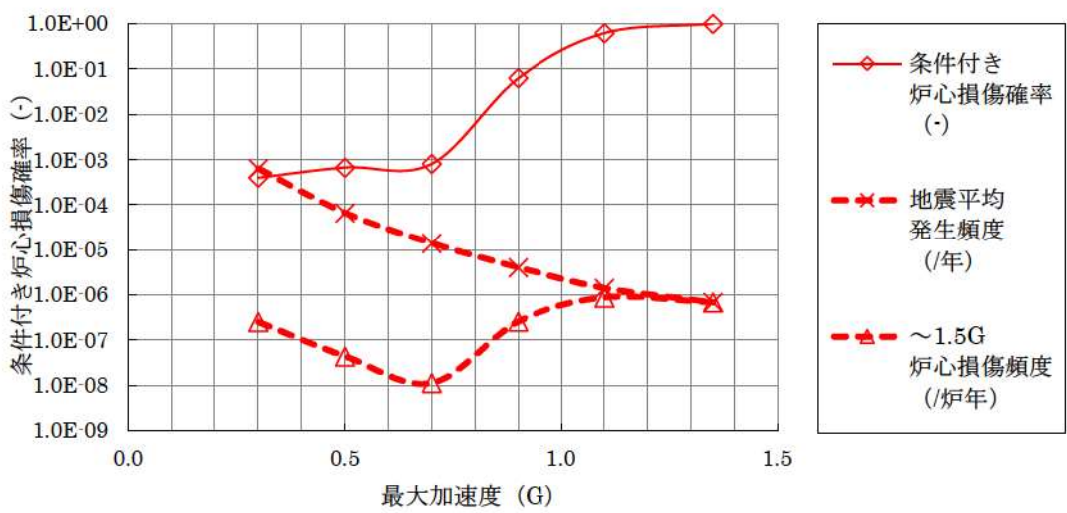
第3.2.1.d-3図 フロントラインイベントツリー (7/7) (主給水流量喪失)



第3.2.1.d-4図 起因事象別炉心損傷頻度寄与割合



第3.2.1.d-5図 事故シーケンスグループ別炉心損傷頻度寄与割合



第 3.2.1. d-6 図 地震加速度に対する炉心損傷頻度及び条件付炉心損傷確率



第 3.2.1. d-7 図 事故シーケンスグループ別の不確実さ解析結果



第3.2.1.d-8図 相関仮定に係る炉心損傷頻度比較

【確率論的地震ハザード確定後の  
地震 PRA 評価完了後にご説明】

### 地震、津波 PRA 学会標準の主要な改定点及び結果への影響について

地震及び津波 PRA の評価では、先行実績を踏まえそれぞれ「原子力発電所の地震を起因とした確率論的安全評価に関する実施基準：2007」及び「原子力発電所に対する津波を起因とした確率論的リスク評価に関する実施基準：2011」を参照しているが、評価時点での最新の学会標準は、それぞれ「原子力発電所に対する地震を起因とした確率論的リスク評価に関する実施基準：2015」（以下、「2015 年地震 PRA 学会標準」という）及び「原子力発電所に対する津波を起因とした確率論的リスク評価に関する実施基準：2016」（以下、「2016 年津波 PRA 学会標準」という）となっている。

2015 年地震 PRA 学会標準及び 2016 年津波 PRA 学会標準の解説に記載されている主要な改定点の結果への影響について、それぞれ第 1 表及び第 2 表のとおり確認した。

第1表 2015年地震PRA学会標準の主要な改定点及び結果への影響

項目	主要な改定点（2015年地震PRA学会標準より引用）	結果への影響
a) 適用範囲の拡張	地震PRA実施基準：2007で対象としていた炉心損傷評価に加えて、 使用済燃料プール内の燃料損傷評価も対象とした。	<p>・使用済燃料プール内の燃料損傷評価については、使用済燃料貯蔵槽内の燃料損傷防止対策の有効性評価において、「実用発電する規則の解釈」（以下、「規則解釈」という）に基づき想定事故1及び想定事故2を対象としており、PRAの評価対象ではないことから、シーケンス選定への影響はない。（確認結果①）。</p> <p>地震起因事象の幅広いPRAが可能なように、この標準において担うべき点を規定した。地震により誘起される事象は内部火災、内部溢水、そして津波との重畳と、多岐多様な事故様態を示すが、ハザード評価はこの標準から提供されよう、フライジリティ評価評価の方法を提供できることは、対象となる機器・構造物のフライジリティ評価の方法を提供できるようとした。例えば、地震と津波の重畳のPRAの場合には地震動震源モデルと津波震源モデルを整合させる考え方、津波対策の機器（防潮堤、水密扉など）のフライジリティ評価を規定している。</p>
b) サイト・プラン	サイト・プラン情報の収集・分析	<p>・「補足 3.2.1.a-5 起因事象の抽出に対する網羅性について」において、震害事例から新たな起因事象が抽出されなかつたことを確認していることから、シーケンス選定への影響はない。</p> <p>サイト・プラント情報の収集・分析においては、東北地方太平洋沖地震をはじめとする最近の震害事例などの情報を充実した。</p>
c) 事故シナリオの拡張と充実		<p>・今回の地震PRAでは、シビアアクシデント対策を考慮していないことから、シーケンス選定への影響はない。（確認結果③）。</p> <p>サイト・プラントウオーターダウンの対象範囲として、原子炉建屋から離して整備される移動式のシビアアクシデント対策設備を含むシビアアクシデント対策などを、並びに防潮堤等の津波PRAに関する設備を追加した。さらに、ウォーターダウン実施時の具体的な着眼点を充実し、ウォーターダウンの実施事例やアクセス性の成立性に関する現場確認の例を追加した。</p> <p>事故シナリオの分析・選定においては、“複数基立地”、“緊急時対策所における緊急時の復旧対応”、“シビアアクシデント対策の考慮”、“地盤変状の影響”などの新たな課題を新たに特出しする形で反映するとともに、この標準の対象とした燃料プール内燃料の損傷シナリオの分析・選定を新たに規定した。</p>

項目	主要な改定点（2015年地震PRA学会標準より引用）	結果への影響
	<ul style="list-style-type: none"> <li>・“シビアアクシデント対策の考慮”については、確認結果③の通り。</li> <li>・“地盤変状の影響”について、基準地震動による建屋間の相対変位によって設計基準対象設備が影響を受けることを確認しており、また建屋の傾斜の影響については、「原子力発電所に対する断層変位を起因とした確率論的リスク評価に関する実施基準：2021」において、「建屋で現実的に発生し得る傾斜によって機器の機能が損なわれると考えにくく、本損傷モードは除外する」と記載されている。仮にSSCs（構造物・系統・機器）の損傷を考慮した場合であっても、損傷原因は異なるものの、損傷した場合の影響については考慮しており、新たな事故シナリオが発生することはない（確認結果⑤）。</li> <li>・燃料プール内燃料の損傷シナリオの分析・選定については、確認結果①の通り。</li> </ul>	<ul style="list-style-type: none"> <li>・“シビアアクシデント対策の考慮”については、確認結果③の通り。</li> <li>・“地盤変状の影響”について、基準地震動による建屋間の相対変位によって設計基準対象設備が影響を受けることを確認しており、また建屋の傾斜の影響については、「原子力発電所に対する断層変位を起因とした確率論的リスク評価に関する実施基準：2021」において、「建屋で現実的に発生し得る傾斜によって機器の機能が損なわれると考えにくく、本損傷モードは除外する」と記載されている。仮にSSCs（構造物・系統・機器）の損傷を考慮した場合であっても、損傷原因は異なるものの、損傷した場合の影響については考慮しており、新たな事故シナリオが発生することはない（確認結果⑤）。</li> <li>・燃料プール内燃料の損傷シナリオの分析・選定については、確認結果①の通り。</li> </ul>
d) 地震ハザード評価	<p>地震 PRA 実施基準：2007 の発行以来発生した耐震設計に大きく影響を及ぼす地震の中で、地震ハザード評価の枠組みに最も大きく影響を及ぼした、新潟県中越沖地震と東北地方太平洋沖地震の知見を中心にして、地震ハザード評価手法に反映した。主な反映内容を以下に示す。</p> <ol style="list-style-type: none"> <li>①サイト周辺の深部地下構造のモデル化の地震動評価への影響</li> <li>②巨大地震に伴う大きな余震や誘発地震の扱い方</li> <li>③地盤変動ハザードと断層変位ハザードの評価</li> <li>④地震動と津波の重量</li> <li>⑤複数基立地の取り扱い 等</li> </ol>	<ul style="list-style-type: none"> <li>・確率論的地震ハザードの評価では、2015年地震PRA学会標準を参照して評価している。</li> <li>・「①サイト周辺の深部地下構造のモデル化の地震動評価への影響」は深部地下構造の影響によって地震動伝播特性が異なることに留意するものであるが、泊発電所では地震動が特異な増幅をする地盤構造ではないことを確認している。</li> <li>・「②巨大地震に伴う大きな余震や誘発地震の扱い方」は、プレート境界におけるM9級巨大地震に関する内容であるが、泊発電所では敷地に影響を及ぼす地震としてプレート境界地震を考慮していないことから、余震等を考慮していない。</li> <li>・「③地盤変動ハザードと断層変位ハザードの評価」については、地盤変状の影響を評価するものであるが、確認結果⑤の通りであることから、今回の確率論的地震ハザードの評価では考慮は不要である。</li> <li>・「④地震動と津波の重量」については、確認結果②の通りであることから、今回の確率論的地震ハザードの評価では考慮は不要である。</li> <li>・「⑤複数基立地の取り扱い」については、確認結果④の通りであることから、今回の確率論的地震ハザードの評価では考慮</li> </ul>

項目	主要な改定点（2015年地震PRA学会標準より引用）	結果への影響
e) 建屋・機器フライテイ評価	津波をはじめとする地震に起因する他のリスク評価に関連する要評価事項を明確にした。例えば、本震経験後の津波による現実的構造的損傷後への影響を資するために、本震による構造的損傷を必要に応じて評価することを要求している。	<ul style="list-style-type: none"> <li>は不要である。</li> <li>・確認結果②の通り。</li> </ul>
	2007年以降に得られた基準地震動を超える地震動による被害及びシミュレーション解析等を踏まえた新たな知見を追加した。例えば、応答解析に基づく方法及び応答係数に基づく方法による現実的応答の評価において、地震応答解析に用いる解分析モデルは、地震観測記録のシミュレーション解析等や使用実績に基づき、建物・構築物の三次元応答やそれが安全上重要な機器・配管系に及ぼす影響に留意し、損傷限界までの現実的応答の評価に適したものとし、三次元応答による影響として、床の変形、ねじれ及びロッキング等に配慮することを規定している。	<ul style="list-style-type: none"> <li>・フライテイ評価方法について、応答解析に基づく方法を用いる場合では、現実的応答の評価における地震応答解析に用いる解分析モデルは、三次元応答による影響に留意した妥当なモデルを用いており、標準の改訂による影響はない。</li> </ul>
f) 事故シーケンス評価	福島第一原子力発電所事故等の知見を踏まえて、シビアアクシデント対策設備及びそれらの搬入路、使用済燃料プール、免震重要棟、のフライテイ評価を要求事項として明確化した。また、地震起因の斜面崩壊による建屋や施設への影響を斜面の安定性による間接評価のみならず、崩壊後の土塊の移動や構造物への衝突による衝撃力などを考慮した直接評価についても要求事項として明確化した。本震以外の余震及び断層変位に起因した地盤変状によるフライティ評価を要求事項として明確化した。	<ul style="list-style-type: none"> <li>・確認結果③の通り。</li> <li>・余震の影響については、第3.2.1.a-2表 地震による事故シナリオのスクリーニング（5/5）において評価技術は研究段階にあることから今後の課題としているが、「補足3.2.1.a-4 フライテイ評価における余震の考え方について」のとおり余震の影響はないまたは小さいものと考えられる（確認結果⑥）。</li> <li>・地盤変状の影響については、確認結果⑤の通り。</li> <li>・確認結果①の通り。</li> </ul>

項目	主要な改定点（2015年地震PRA学会標準より引用）	結果への影響
	<p>福島第一原子力発電所事故以降配備されたシビアアクシデント対策設備・運転員操作を事故シーケンス評価において緩和設備として適切に考慮するため、シビアアクシデント対策に期待する場合の要項を強化した。</p> <p>近年あがつてきた新たな課題のうち具体的な手法がまだ確立されていないものについては、重大な燃料の損傷頻度へのそれらの課題の影響への理解を少しでも助けるため、感度解析を導入した。感度解析の例としては、余震の影響、リレーチャタリングの影響、地盤変状の影響、をあげている。</p>	<ul style="list-style-type: none"> <li>・確認結果③の通り。</li> <li>・地震PRAにおける課題に係る感度解析の実施例を挙げており、点推定評価への影響はないことから、シーケンス選定への影響はない。</li> <li>・余震の影響については、確認結果⑥の通り。</li> <li>・リレーチャタリングの影響については、耐震試験において機能喪失として扱っているため機器フランジリティにて考慮済みである。</li> <li>・地盤変状の影響については、確認結果⑤の通り。</li> </ul>

第2表 2016年津波PRA学会標準の主要な改定点及び結果への影響

項目	主要な改定点（2016年津波PRA学会標準より引用）	結果への影響
a) 適用範囲	2011年東北地方太平洋沖地震はマグニチュード9.0以上の巨大地震であり、このような未経験の津波災害についても備える必要があることから、地震によって発生する津波、及び地震以外の要因（陸上の山体崩壊物（斜面崩壊含む）の海中突入、海底地すべり、海底陥没）に起因して発生する津波についても適用範囲とした。地震以外の要因に起因して発生する津波については、解説2.1適用範囲とする津波についてにも対象を記載する。また、これらの取扱いは、7.3.8 地震以外の要因の津波に規定した。	・地震以外の要因により発生する津波の評価手法は確立していないため、今回の津波PRAでは地震によって発生する津波のみを考慮している。なお、地震によって直接的に発生する津波の方が支配的であり、地震以外の要因により発生する津波と重量し、発電所に同時に影響を及ぼす可能性は極めて小さいと考えられることから、結果への影響はない（確認結果①）。
b) プラント構成・特性及びサイト状況の調査	5.2.3 対象構築物・機器の選定において、a) 耐震安全性の確認、b) 地震による設備間の相互干渉と二次的影響の確認、c) 地震・津波後のアクセス性の確認、等の記載内容に対し、地震による影響の考慮として地震PRA標準に準ずる実施の規定内容についての追加/改定を行った。	・今回の津波PRAでは、津波単独の影響のみを評価しておらず、地震との重畠事象は対象としていないが、地震による影響を考慮して事故シナリオを分析し、耐震性を有していない機器には期待していないため、結果への影響はない（確認結果②）。
c) 事故シナリオの同定	6.2 自然現象の影響を考慮した津波による事故シナリオの広範な分析・選定を追加し、地震及びその他の自然現象による津波を起因とした事故シナリオの考慮について追加/改定を行った。また、附属書A(規定) A.3 地震の影響を考慮した津波による事故シナリオの広範な分析・選定において、地震及び津波の損傷の影響があるシナリオの組合せとスクーリングについての内容の追加/改定を行った。	・今回の津波PRAでは、津波単独の影響のみを評価しており、その他の自然現象との重畠事象は対象としていない。しかし、設計基準を超える自然現象の重畠によるシナリオの確認については、先行実績と同様に「別紙1 有効性評価の事故シケンスグループ等の選定に際しての外部事象の考慮について」において、定性的評価を実施しており、単独事象での評価において抽出されたシナリオ以外のシナリオは生じないことを確認していることから、結果への影響はない。
d) 津波ハザード評価	地震の発生モデル等における地震以外の要因の取扱いについて、追加/改定を行った。津波高さの定義点を、最新知見の結果より、海岸線からコントロールポイントに変更し、フジリティ評価用の津波諸元に必要な情報、津波パラメータとして整理して改定を行った。また規定として、7.7.5 地震動と津波の結合確率の評価を追加した。	・地震以外の要因の取扱いについては、確認結果①の通り。・津波高さの定義点の変更については、防潮堤や敷地高さが敷地内への浸水に与える影響を適切に事故シナリオに反映するために、敷地前面における津波高さの年超過確率を参照して評価を実施することから、シーケンス選定への影響はない。
	附属書G(参考)津波ハザード評価に2011年東北地方太平洋沖地震の研究成果等の最新知見を踏まえた更新内容を反映した。	・今回の津波PRAでは、最新の知見を反映して確率論的津波ハザードを評価していることから、結果への影響はない。

項目	主要な改定点（2016年津波PRA学会標準より引用）	結果への影響
e) 建屋・機器フランジリティ評価	構造的損傷及び機能的損傷の影響として地震PRA標準による損傷モードの変化或いは部位の特定等の影響の考慮として地震PRA標準に準ずる実施の規定内容についての追加/改定を行った。また、津波防護施設・浸水防止設備の現実的応答の評価、海底砂移動による閉塞等の機能的損傷モードの評価、屋外設置の機器配管系の津波の波力・浮力、漂流物衝突、被水・没水の累積効果について附属書（参考）に各評価方法の解析例を追記した。	・今回の津波PRAでは、没水及び被水を津波損傷モードとしており、機器の設置高さまで浸水した場合には保守的に当該機器が必要喪失するものとして累積効果を考慮していないため、結果への影響はない。
f) 事故シケンス評価	全般による影響の考慮として地震PRA標準に準ずる実施の規定内容についての追加/改定を行った。  9.3.2 安全機能の設定において“反応度制御機能”を追加した。ただし、地震による影響を考慮する必要がない場合は除外する、と規定した。津波による漂流物の影響や地震による構内通行道路の影響の他、可搬設備の繋ぎ込み先の耐震性などについての考慮を追記し、9.5.1 炉心損傷頻度の算出において条件付発生確率に地震動強さaの影響を追加した。	・“反応度制御機能”について、地震により原子炉が自動トリップに至っている場合は地震PRA、津波警報により手動トリップに至っている場合は内部事象PRAに包含されるため、シーケンス選定への影響はない。 漂流物の影響について、プラントオーダークダウンにより確認し、また現場操作には期待していないことに加え、今回の津波PRAでは、シビアアクシデント対策を考慮しておらず、可搬設備の繋ぎ込み操作は発生しないことから、結果への影響はない。 ・地震動強さの条件付発生確率への影響について、確認結果②の通りであることから、今回の津波PRAでは算出していないが、設計基準を超える自然現象の重量によるシナリオの確認については、先行実績と同様に「別紙1 有効性評価の事故シケンスグループ等の選定に際しての外部事象の考慮について」において、定性的評価を実施しており、単独事象での評価において抽出されたシナリオ以外のシナリオは生じないことを確認していることから、結果への影響はない。

### プラントウォークダウン対象設備の選定について

プラントウォークダウンでは、以下に示す基準によりスクリーニングを実施し、地震PRA上有意な機器をプラントウォークダウン対象設備として選定する。

- 過去に実施した地震PRAにおいて有意な機器であることが確認されておりプラントウォークダウンの対象とした機器については今回のプラントウォークダウンにおいても対象とする。
- 重要事故シーケンス選定のための地震PRAの知見から新たに追加された機器は対象とする。
- プラントウォークダウンが有効かつ可能な機器を対象とする。（目視による調査を実施しても調査目的の達成が期待できないと考えられる機器、目視による確認が不可能な機器、高線量区域にあるため接近することが困難な機器等については対象外とする。ただし、これらの機器で調査が必要な場合は図書等を用いて机上での確認を行う。）

なお、地震PRAのシステム評価モデルの観点等からプラントウォークダウンの対象設備（調査箇所）を特定できない場合について以下の対応とする。

- a. 電動弁や逆止弁は、安全系に多数用いられているため、対象とする代表機器を選定して調査する。
- b. ケーブルトレイは長尺の設備であるため、対象とする代表部位を選定して調査する。
- c. 配管は長尺の設備であるため、対象とする代表部位を選定して調査する。

なお、a～cの要件では、フラジリティの観点も踏まえて調査箇所を選定する。

### 地震 PRA におけるプラントウォークダウンの点検項目について

「原子力発電所の地震を起因とした確率論的安全評価実施基準：2007」においてプラントウォークダウンにおける着眼点が整理されている。それらを参考として、重要事故シーケンス選定のための地震 PRA のプラントウォークダウンにおいて実施されるべきチェック項目を設定した。

#### A) 耐震安全性の確認

##### (i) 対象 S S C 本体に対するチェック項目

1. 対象 S S C の図面（外形図・耐震計算書等）と外見上相違点は無い
2. 対象 S S C と支持構造物との接合部に外見上の異常（腐食・亀裂等）は無い
3. 配管接合部と図面に外見上の相違点は無い
4. 配管接合部に外見上の異常（腐食・亀裂等）は無い

##### (ii) アンカーボルトに対するチェック項目

1. 図面（外形図・耐震計算書等）と外見上の相違は無い
2. 周辺のコンクリート部を含めて外見上の異常（腐食・亀裂等）は無い
3. 締め付け強度は適切に管理されている（ゆるみ止め対策がされているか等）

##### (iii) 二次的影響に対するチェック項目

1. 周辺の耐震クラスが低い S S C 等の倒壊・落下により被害を受けない
2. 倒壊により被害を与える周辺の S S C の耐震性は問題ない  
(対象 S S C 本体の評価に準じた評価)
3. 無筋のブロック壁が近傍にない
4. 周辺 S S C の損傷時、周辺 S S C の保有水による影響はない
5. 周辺に仮置の火災源はない

## B) リカバリー操作の確認

本項目は、地震 PRA でリカバリーを考慮している、又は考慮する可能性のある機器へのクレジットを検討するにあたっての技術的根拠として、地震後に作業員が対象機器まで、(i) アクセスできるかどうか、(ii) 操作できるかどうか、について確認する。

### (i) 地震後のアクセス性及び現場操作に対するチェック項目

1. 対象 S S C の識別が可能である
2. 周辺斜面及び周辺設備からの被害を受けない
3. 周辺設備に可動部分のある器具は存在しない
4. 周辺斜面のすべりによる土砂の流れ込みや近傍の設備の倒壊によりアクセスルート及び S S C 搬入路が塞がれる可能性はない

### (ii) 現場操作性に対するチェック項目

1. 現場での操作が可能である
2. 操作のための場所が確保できる
3. S S C の作動状態が確認できる

## C) モデル化の前提条件の確認

本項目は、地震 PRA でモデル化されている設備（その設備に関連する操作も含む）の前提条件、又は新たにモデル化する可能性のある設備（その設備に関連する操作も含む）の条件について、その技術的根拠として確認を行う。

### モデル化の前提条件に関するチェック項目

- ・モデル化の前提条件が適切である

## プラントウォークダウンの実施について

### 1. プラントウォークダウン実施の目的

机上で行うプラント情報の妥当性確認の他、机上検討だけでは不十分な情報を確認するため平成24年12月17日から平成26年4月25日の期間及び令和4年11月24日で実施した。

### 2. 実施内容

#### (1) 耐震安全性の確認

##### ①対象機器本体の評価

対象機器及び配管が設計図面等と相違がないこと、外見上腐食、亀裂等がないことを確認。

##### ②アンカーボルト評価

耐震性を評価する上で最重要である基礎部分に異常がないことを確認。

##### ③二次的影響について

周辺の耐震クラスが低い機器の倒壊等により、調査対象機器に波及的影響を及ぼすことがないこと、周辺機器の損傷時に当該機器の保有水による影響がないこと、周辺に仮置の火災源がないことを確認。

#### (2) リカバリー操作の確認

##### ①アクセス性の確認

モデルで考慮した、又は考慮する可能性のある現場操作を対象に、操作対象機器の識別が可能であること、周辺設備による波及的影響がないこと及びアクセスが可能であることを確認。

##### ②現場操作性の確認

現場で操作できる設計であるか、操作のための場所が確保できるか及び作動状態の確認ができるか等、現場での操作が可能であるかを確認。

#### (3) モデル化の前提条件の確認

地震PRAでモデル化している設備（その設備に関連する操作も含む）の前提条件、又は新たにモデル化する可能性のある設備（その設備に関連する操作も含む）の前提条件について、妥当であることを確認。

### 3. 実施結果

調査対象に対する耐震安全性、二次的影響、アクセス性及び現場操作性、更には運転員に対するインタビューにおいて、フラジリティ評価及びシステム評価への影響を与えるような新たな知見はなく、重要事故シーケンス選定のためのモデルは適切であると評価した。

- ・実施時期：平成25年11月29日から平成26年4月25日、令和4年11月24日
- ・メンバー：当社技術者、プラントメーカ技術者
- ・対象エリア：泊発電所3号炉原子炉建屋、原子炉補助建屋、ディーゼル発電機建屋、電気建屋
- ・実施方法：学会標準及び過去に実施した当社のプラントウォークダウン実績※を元に、重要事故シーケンス選定に当たって確認が必要な機器の抽出を行い、プラントウォークダウンの実施目的に沿って作成したチェックシートに基づき調査を実施した。

※：平成24年12月に泊発電所において実施。

表 プラントウォークダウン調査対象機器リスト(抜粋)

No.	機器
1	運転コンソール
2	原子炉安全保護盤
3	工学的安全施設作動盤
4	安全系マルチプレクサ
5	共通要因故障対策操作盤
6	安全系FDPプロセッサ
・	・
・	・
65	換気空調系集中現場盤

<p><b>A) 耐震安全性の確認</b></p> <p>各機器について図面との相違や、腐食及び亀裂等の地盤に対する耐力の低下につながる要因の確認。</p> <ul style="list-style-type: none"> <li>・各機器について図面との相違や、設置本数及、設置状況及び健全性の確認。</li> <li>・基礎ボルトについて図面との相違や、対象機器周辺の耐震クラスの低い機器等の損壊により対象機器を破損させることがないかの確認。</li> </ul>	<p><b>B) リカバリー操作の確認</b></p> <p>(リカバリー操作をモデル化する可能性がある場合に確認)</p> <ul style="list-style-type: none"> <li>・銘板等により操作対象機器の識別ができるか、当該設備にアクセスできるかの確認。</li> </ul>	<p><b>C) モデル化の前提条件の確認</b></p> <p>地震 PRA でモデル化している設備（その設備に関連する操作も含む）の前提条件、又は新たにモデル化する可能性のある設備（その設備に関する操作も含む）の前提条件について、妥当であるかの確認。</p>
--	--	---

—補足 3.2.1. a-3-3—

図 プラントオーファンに使用したチェックシート (例)

## フラジリティ評価における余震の考え方について

余震がフラジリティ評価に及ぼす影響に関して、以下の「地震 PSA 学会標準」の附属書にて検討例が示されている。

「(社) 日本原子力学会標準 原子力発電所の地震を起因とした確率論的安全評価実施基準: 2007」の【解説 10】建物・構築物・機器に対する余震の影響について

上記検討では、加振試験により設計基準を上回る高いレベルの地震動を繰り返し受けても損傷に至らないことが確認されており、余震の影響は小さいと判断している。

ここでは、上記検討結果を参考に、余震がフラジリティ評価に及ぼす影響について、静的機器、動的機器及び電気品、建屋に類別して考察する。

### 1. 静的機器に対する余震の影響

静的機器に対する余震の影響について配管系を例にとって示す。

旧原子力発電技術機構では、現行の耐震設計法で設計された一般的な配管系の弾塑性応答挙動及び終局強度を把握し、許容応力に対する安全裕度を把握するための試験及び解析を実施している。安全裕度の確認では、特に設計許容応力を超えた弾塑性領域での配管の応答挙動で問題となるラチェット変形を伴う低サイクル疲労に着目して評価を実施しており、本震と余震による地震動を繰り返し受けた場合の配管系への影響を検討する上で有用な知見が得られている。

それらの結果によれば、現行耐震設計法によって設計された配管系は、基準地震動  $S_2$  に対する許容応力( $3\text{ Sm}$ )の 10 倍以上の応力強さにおいても塑性崩壊又は疲労による破損は生じないこと、低サイクル疲労強度は設計疲れ線図を上回る強度を有していることなどが確認されている。したがって、配管系は、破損に対して非常に大きな安全裕度を保有しており、余震による地震動の影響は小さいものと考えられる。

また、プラントの耐震設計で用いる地震の等価繰り返し回数は一律に保守的な回数を設定しており、実際の繰り返し回数に比べ多めになっている。以上のことから、現状の静的機器の構造強度に対する耐震設計手法は、疲労損傷に対して十分な余裕を含んでおり、余震による地震動の影響は小さいといえる。

### 2. 動的機器及び電気品に対する余震の影響

動的機器の地震時機能については、加振試験等により動的機能に係る各部位が弾性範囲内であることで、その機能が維持されていることを確認する。また、電気品も同様であり、例えば加振時にチャタリングが起きた場合でも、加振終了後はもとの状態に復帰し、物理的な損傷が無い事を確認している。

以上より、動的機器及び電気品は、機能維持が確認された範囲内であれば、各部位は弾性範囲内であり、余震による繰り返し荷重の影響は受けないことになる。

また、動的機能に関する加振試験結果から次のことがいえる。

旧原子力安全基盤機構では、地震 PRA 上重要度が高い横形ポンプ及び電気品の耐力を把握することを目的として、部分品及び実機に対して設計条件を大きく超える加速度を入力した加振実験を実施している。

実機試験では、横形ポンプの代表機種として原子炉補機冷却ポンプ（RCW ポンプ）（PWR の原子炉補機冷却水ポンプ（CCW ポンプ）と同等の構造）を対象に最大約  $6 \times 9.8\text{m/s}^2$  の加速度による振動試験を行い、ポンプの運転状態・外観などに異常が見られないことを確認している。また、電気品の実機試験では、原子炉補助盤、中央制御盤、計装ラック及び論理回路制御盤などについて最大約  $6 \times 9.8\text{m/s}^2$  の加速度による振動試験を行い、電気的に異常がないことが確認されている。

これらの振動試験では、1 試験体に対して加振レベルを上げながら繰り返し加振試験を実施して、最終的に機能維持が確認された最大加速度を地震 PRA における現実的耐力値として採用している。したがって、これらの耐力評価結果において、余震による地震動の繰り返しの影響はないものと考えられる（あるいは繰り返しの影響を含めた耐力評価結果となっている）。

### 3. 建屋に対する余震の影響

原子炉建屋の主要耐震要素である RC 造耐震壁等については、最大耐力あるいは耐力低下後の破壊に至るまでの静的試験、振動台等による動的試験はこれまで数多く実施されている。これらの試験結果より地震 PSA 学会標準の【解説 10】においては、「本震あるいは余震による応答が、耐力以下であれば、本震と余震の地震動の大きさに係わらず、原子炉建屋は健全性を保つことができる。」とされており、余震による建屋への影響は小さいと考えられる。

## 起因事象の抽出に対する網羅性について

### 1. 概要

起因事象の抽出に関しては地震 PSA 学会標準で挙げられている事象を考慮したほか、国内で発生した地震による発電所への影響事例の調査、及び海外文献調査を実施し、抽出結果の網羅性を確認した。

### 2. 国内で発生した地震による発電所への影響事例調査

#### 2. 1 概要

国内で発生した地震による発電所への影響として、次に挙げる地震に対し、施設に影響した地震規模、安全上重要な設備への影響（AM設備への影響及び波及的影響を含む）、外部電源への影響及び復旧操作へのアクセス性の観点で事例を抽出した。

- 宮城県沖地震（2005年8月）による女川原子力発電所に対する影響
- 能登半島地震（2007年3月）による志賀原子力発電所に対する影響
- 新潟県中越沖地震（2007年7月）による柏崎刈羽原子力発電所に対する影響
- 駿河湾の地震（2009年8月）による浜岡原子力発電所に対する影響
- 東北地方太平洋沖地震（2011年3月）による福島第一原子力発電所、福島第二原子力発電所、東通原子力発電所、女川原子力発電所、及び東海第二発電所に対する影響

上記の震害事例を調査した結果、一部の地震において、地震観測記録が発電所設計時に設定された基準地震動  $S_2$  若しくは耐震安全性評価で設定された基準地震動  $S_s$  を上回ることが確認されたが、安全上重要な設備に対する地震による直接的な異常は確認されなかった。また、波及的影響の可能性としては、点検及び仮置き中の重量物の移動又は遮へいブロック崩れによる安全上重要な設備への接触、低耐震クラス配管の損傷による溢水、又は津波による浸水、並びに電気盤火災による波及的影響が確認されている。

地震随伴溢水及び火災については、今回の評価では評価技術の成熟度から随伴事象の影響評価は困難であると判断し、評価対象外としている。

#### 2. 2 震害事例調査結果

##### 2. 2. 1 宮城県沖地震（2005年8月）による女川原子力発電所に対する影響

地震発生時に運転中であった1号機、2号機及び3号機は、地震に伴い自動停止。発電所敷地内で観測した地震データを解析した結果、一部の周期で発電所設計時に設定された基準地震動  $S_2$  を上回ることが確認されたが、耐震安全性の評価によって健全性が確保されていることが確認されており、安全上重要な設備に対

する影響はなかった。

施設に影響した地震規模及び原子力発電所に対する影響について第1表に示す。

## 2. 2. 2 能登半島地震（2007年3月）による志賀原子力発電所に対する影響

敷地地盤や1／2号機原子炉建屋において観測された地震記録を分析した結果、観測した地震動の応答スペクトルが基準地震動 $S_2$ を長周期側の一部の周期帯において超えている部分があったが、耐震安全性の評価によって健全性が確保されていることが確認されており、安全上重要な設備に対する影響はなかった。

施設に影響した地震規模及び原子力発電所に対する影響について第2表に示す。

## 2. 2. 3 新潟県中越沖地震（2007年7月）による柏崎刈羽原子力発電所に対する影響

地震発生時に運転中又は起動中であった2号機、3号機、4号機及び7号機は、地震に伴い自動停止。（1号機、5号機及び6号機は定期検査のため停止中）発電所敷地内で観測した地震データを解析した結果、耐震設計上考慮すべき地震による地震動の周期帯のほぼ全域にわたって発電所設計時に設定された基準地震動 $S_2$ を上回ることが確認され、機器によっては構造強度や機能維持に影響を与えると考えられる異常が確認されているものの、重大な損傷をもたらしたものではなく、原子炉の安全性を阻害する可能性のない軽微な事象であった。

安全上重要な設備への影響については、点検及び仮置き中であった重量物の移動又は遮へいブロック崩れによる安全上重要な設備への接触事例や、地震に伴う消火系配管の損傷による一部AM設備の浸水事例が確認されたものの、地震による直接的な異常は確認されなかった。なお、3号機の所内変圧器のダクトの基礎が不等沈下したことによって火災が発生した。

施設に影響した地震規模及び原子力発電所に対する影響について第3表に示す。

## 2. 2. 4 駿河湾の地震（2009年8月）による浜岡原子力発電所に対する影響

地震発生時に運転中であった4号機及び5号機は、地震に伴い自動停止。（3号機は定期検査のため停止中。1号機及び2号機は廃止措置準備中。）発電所敷地内で観測した地震データを解析した結果、3号機及び4号機については、発電所設計時に設定された基準地震動 $S_2$ による床応答スペクトルを超えるものではなく、設備の健全性が確保されていることが確認されている。5号機については、観測された地震データによる床応答スペクトルが一部の周期帯において基準地震動 $S_1$ による床応答スペクトルを上回っていたが、主要な耐震設計上重要な機器及び配管の固有周期では下回っていたこと、また床応答スペクトルの一部が超えたことについては観測記録による地震応答解析結果によって全ての設備が弾性状態にあったことから、設備の健全性が確保されていることが確認されている。以上のことから、安全上重要な設備に対する影響はなかった。

施設に影響した地震規模及び原子力発電所に対する影響について第4表に示す。

## 2. 2. 5 東北地方太平洋沖地震（2011年3月）による原子力発電所に対する影響

### 1) 福島第一原子力発電所に対する影響

地震時、運転中であった1号機、2号機、3号機は、地震に伴い自動停止（4号機、5号機、6号機は定期検査中）。原子炉建屋及び原子炉建屋に設置されている安全上重要な設備（原子炉格納容器、残留熱除去系配管など）について、地震観測記録及び基準地震動 $S_s$ それぞれによる応答解析を比較した結果、基準地震動による地震荷重より耐力の方が大きく、地震直後、各安全機能は保持されていたものと評価されている。

しかし、1～5号機については、地震後の津波によって、非常用ディーゼル発電設備、電源設備などが被水、機能喪失したことで全交流電源喪失に至り、1～3号機については最終的に炉心損傷に至った。5号機及び6号機については、原子炉に燃料が装荷されている状態で、1～3号機同様、津波による影響によって海水系が機能喪失に至ったものの、6号機の空冷式ディーゼル発電設備による電源確保（5号機については、6号機から電源融通実施）を行うとともに、仮設海水系ポンプによる冷却機能確保などの復旧措置によって冷温停止状態への移行及び維持が図られた。

また、全燃料が使用済燃料プールへ取り出されていた4号機をはじめとする、各号機の使用済燃料プール内の燃料については、注水又は冷却によって使用済燃料プール水位を確保し、燃料損傷防止が図られた。

施設に影響した地震規模及び原子力発電所に対する影響について第5表に示す。

### 2) 福島第二原子力発電所に対する影響

地震時、1～4号機は運転中であったが、地震に伴い全号機自動停止。原子炉建屋及び原子炉建屋に設置されている安全上重要な設備（原子炉格納容器、残留熱除去系配管など）について、地震観測記録及び基準地震動 $S_s$ それぞれによる応答解析を比較した結果、基準地震動 $S_s$ による地震荷重より耐力の方が大きく、地震後、各安全機能は保持されていたものと評価されている。

3号機を除く、1号機、2号機及び4号機については、地震後の津波によって、海水系設備が被水することでヒートシンク喪失に至ったものの、外部電源及び3号機非常用ディーゼル発電設備、電源車による電源確保、海水系ポンプのモータ取り替えなどの復旧措置によって、冷却機能を確保することで、各号機とも冷温停止状態への移行、維持が図られた。

施設に影響した地震規模及び原子力発電所に対する影響について第6表に示す。

### 3) 東通原子力発電所に対する影響

地震時において1号機は定期検査のため停止中。発電所敷地内で観測された地

震加速度は 17gal であり、地震による設備への影響はなかった。また、地震後に外部電源が全て喪失したが、非常用ディーゼル発電機が自動起動し全交流電源喪失には至らなかった。

施設に影響した地震規模及び原子力発電所に対する影響について第 7 表に示す。

#### 4) 女川原子力発電所に対する影響

地震時に運転中又は起動中であった 1 号機、2 号機及び 3 号機は、地震に伴い自動停止。発電所敷地内で観測した地震データを解析した結果、観測された地震データによる床応答スペクトルが一部の周期帯において発電所設計用の基準地震動  $S_s$  による床応答スペクトルを上回っていたが、地震観測結果に基づく原子炉建屋及び耐震安全上重要な主要設備の地震時における機能を概略評価（建屋については最大応答せん断ひずみ及び層せん断力、設備については影響構造強度評価及び動的機能維持評価）した結果、機能維持の評価基準を下回っていることが確認されている。今後は詳細なシミュレーション解析によって健全性を確認するとともに主要設備以外の耐震安全上重要な設備を含め設備の健全性を確認することとしている。

安全上重要な設備への影響については次のとおりである。1 号機において常用系の高圧電源盤火災によって地絡した同期検定器の出力回路ケーブルから非常用母線と予備変圧器の連絡しや断器投入コイルに電圧が印加され、非常用母線電圧が瞬時低下したため、同母線から受電していた残留熱除去系ポンプ 2 台の自動停止が確認された。2 号機において海水ポンプ室に流入した海水が地下トレーンを通じて原子炉建屋の一部に流入し、原子炉補機冷却水系の一系統及び高圧炉心スプレイ補機冷却水系の機能喪失が確認された。同冷却水系の喪失によって非常用ディーゼル発電機一系統及び高圧炉心スプレイ系ディーゼル発電機の自動停止が確認された。さらに、常用系の高圧電源盤火災の影響により、非常用ディーゼル発電機が起動していない状態でしや断器投入が発生し、非常用ディーゼル発電機界磁回路損傷が確認されたものの、地震による直接的な異常は確認されなかった。

施設に影響した地震規模及び原子力発電所に対する影響について第 8 表に示す。

#### 5) 東海第二発電所に対する影響

地震時に運転中であった東海第二発電所は、地震に伴い自動停止。発電所敷地内で観測した地震データを解析した結果、観測された地震データによる原子炉建屋の最大応答加速度は、設計時に用いた最大応答加速度及び新耐震指針に基づく耐震安全性評価で設定した基準地震動  $S_s$  の最大応答加速度以下であった。また、観測された地震データによる原子炉建屋の床応答スペクトルが一部の周期帯において発電所設計時に用いた床応答スペクトルを上回っていたが、主要な周期帯で観測地震記録が下回っていることが確認されている。安全上重要な設備への影響については、津波対策工事が完了していなかった一部の海水ポンプ室に海水が浸

水し 3 台ある非常用ディーゼル発電機用海水ポンプのうち 1 台が停止したこと及び 125V 蓄電池 2B 室の ドレンファンネルからの逆流によって床面に 3cm の深さで溢水が確認されたものの、地震による直接的な異常は確認されなかった。

施設に影響した地震規模及び原子力発電所に対する影響について第 9 表に示す。

第1表 2005年8月に発生した宮城県沖地震による女川原子力発電所に対する影響

確認項目	確認結果
①施設に影響した地震規模 (地震観測記録と基準地震動の関係)	<p>女川原子力発電所1, 2, 3号機は、定格熱出力運転中のところ平成17年8月16日に発生した宮城沖を震源とするマグニチュード7.2(震源深さ72km, 震央距離73km, 震源距離84km)の地震の影響によって、11時46分に1号機, 2号機, 3号機は地震加速度大信号によって原子炉自動停止した。なお、観測された保安確認用地震動は、最大で251.2ガルであった。</p> <p>1号機, 2号機, 3号機の原子炉建屋で観測された地震動から求めた加速度応答スペクトル(周期ごとの加速度の最大値)は、機器の設置されていない屋上を除き、全ての周期において基準地震動 <math>S_2</math> による応答スペクトルを下回っていることを確認した。また、岩盤上で観測された地震データから上部地盤の影響を取り除いたデータを解析したところ、一部周期において基準地震動 <math>S_2</math> を超えている部分があることを確認した。今回の地震で、一部の周期において基準地震動の応答スペクトルを超えることとなった要因分析及び評価を行った結果、これは、宮城県沖近海のプレート境界に発生する地震の地域的な特性によるものと考えられるとの結論が得られた。</p>
②-1 安全上重要な設備への影響(波及影響も含む)	<p>無し</p> <p>今回観測された地震データを用いて、安全上重要な設備(建屋及び機器)の耐震安全性の評価を実施し、耐震安全性が確保されていることを確認した。</p>
②-2 既存のAM設備への影響(波及影響も含む)	無し
③-1 外部電源への影響	無し
③-2 D/Gへの影響	無し
③-3 据機冷却系への影響	無し
③-4 電源融通の可能性	可能
③-5 復旧操作へのアクセス性	重大な影響無し。ただし、構内道路アスファルト亀裂、波うち及び段差が発生した。
④その他(安全機能には影響しないもの、留意しておく必要のある事項)	無し

第2表 2007年3月に発生した能登半島地震による志賀原子力発電所に対する影響

確認項目	確認結果
①施設に影響した地震規模 (地震観測記録と基準地震動の関係)	<p><b>【志賀1, 2号機】</b></p> <p>敷地地盤や1／2号機原子炉建屋において観測された地震記録を分析した結果、観測した地震動の応答スペクトルが基準地震動 <math>S_2</math> を長周期側の一部の周期帯において超えている部分があったが、この周期帯には、安全上重要な施設がないことを確認した。</p> <p>また、1／2号機の原子炉建屋で観測された地震記録に基づいて原子炉建屋及び同建屋内の安全上重要な機器について検討した結果、各施設とも弾性範囲内に十分収まっており、施設の健全性が十分確保されていることを確認した。</p> <p>タービン建屋内及び海水熱交換器建屋内の安全上重要な機器及び配管、並びに排気筒について、敷地地盤で観測された地震記録に基づいて検討した結果、各施設とも弾性範囲内に十分収まっており、施設の健全性が確保されていることを確認した。</p> <p>さらに、今回の地震において長周期側の一部の周期帯で基準地震動 <math>S_2</math> を上回ったことから、長周期側で今回の地震動を上回る地震動（検討に用いた地震動）を想定し、長周期側の主要施設であるタービン建屋基礎版上の原子炉補機冷却水系配管及び排気筒の耐震安全性について確認した結果、耐震安全余裕を有していることを確認した。</p> <p>以上、安全上重要な施設や長周期側の主要施設に関する一連の耐震安全性確認結果から、能登半島地震を踏まえても耐震安全性は十分確保されていることが確認できたと考えられる。</p>
②-1 安全上重要な設備への影響（波及影響も含む）	【志賀1, 2号機】無し
②-2 既存のAM設備への影響（波及影響も含む）	【志賀1, 2号機】無し
③-1 外部電源への影響	<p><b>【志賀1, 2号機】</b></p> <p>供用中の3回線すべてが喪失し外部電源喪失となったが、事象発生の6分後に復旧した。</p>
③-2 D/Gへの影響	【志賀1, 2号機】無し
③-3 補機冷却系への影響	【志賀1, 2号機】無し
③-4 電源融通の可能性	【志賀1, 2号機】可能
③-5 復旧操作へのアクセス性	【志賀1, 2号機】影響無し

確認項目	確認結果
④その他（安全機能には影響しないもの、留意しておく必要のある事項）	<p>■水銀灯の落下 1号機タービン建屋運転階の水銀灯が7個、また2号機原子炉建屋運転階の水銀灯が2個落下した。</p> <p>また、2号機で落下した水銀灯の破片は、約97%を運転階床上から回収したが、残りの破片については使用済燃料貯蔵プールなどへ落下した可能性があったため、これらの箇所での点検及び清掃を行った。</p>
	<p>■2号機低圧タービン組み立て中のタービンロータの位置ずれ 組み立て中の低圧タービンロータを仮止めしていた治具が変形し、わずかな位置ずれが生じた。低圧タービンを開放し点検を実施したところ、動翼に微小な接触痕が複数確認された。</p>
	<p>■1号機使用済燃料貯蔵プールからの水飛散 使用済燃料貯蔵プールの水約45リットル（放射能量約750万ベクレル）が使用済燃料貯蔵プール周辺に飛散した。そのうち、養生シート外には約8リットル（放射能量約130万ベクレル）の水が飛散した。飛散した水については速やかに拭き取った。外部への放射能の影響はなし。</p>